最先端物理学が描く宇宙 Frontiers of Physics & Cosmology

第9回 2025/11/17

第3章 現代物理学1:相対性理論(4)

真貝 寿明 Hisaaki Shinkai





11月18日(月)未明 しし座流星群 極大

しし座流星群は、母天体であるテンペル・タットル彗星の公転軌道と地球の軌道が近づいている辺りを毎年この時期に地球が通過する際に、彗星が残した塵が地球の大気と衝突し、上空100km前後で発光して見える現象である。1999年や2001年の大出現が有名だが例年の出現数は少ない。次に大規模な出現が見られるのは2030年代と予想されている。

天文年鑑による予想では1時間20個

4時ごろに細い月が昇ってくるが影響は小さく、好条件



『光子の裁判』(1949) 朝永振一郎(レポート課題 基礎資料)

光子の裁判

被告は門から前庭を通って窓のところに行き、

その窓から室内に侵入し、

光子の裁判

朝永振一郎著作集

量子力学的世界像

量打印图

みすず書房

particles".

朝永振一郎 (ノーベル賞 1965) 「超多時間理論」と「くりこみ理論」 量子電磁力学分野の基礎的研究 jointly to Sin-Itiro Tomonaga, Julian Schwinger and Richard P. Feynman "for their fundamental work in quantum electrodynamics, with deep-ploughing consequences for the physics of elementary

into which the incident beam is winto each split."

Mechanics

Mechanics

であるか」

が、であるか」

が、ここで

が、ここで

が、ここで

now describe the photon as

going partly

被告は前から室内にひそんでいたのではな

うことには確かな証拠が

すなわちそこで門衛が私を

行をおかしたらしい被告が神妙にひかえています。

何か面白い事件らし

「その部屋には二つの窓が前庭にむいて並んでいる。 被告はそのどちらの窓から侵入したの

なはだ奇想天外なもの

点は非常に重要なことだから、

て室内に入

検察官もこの論理を無視し た答に少なからず心証を害したようです。

量子論の解釈論争

課題

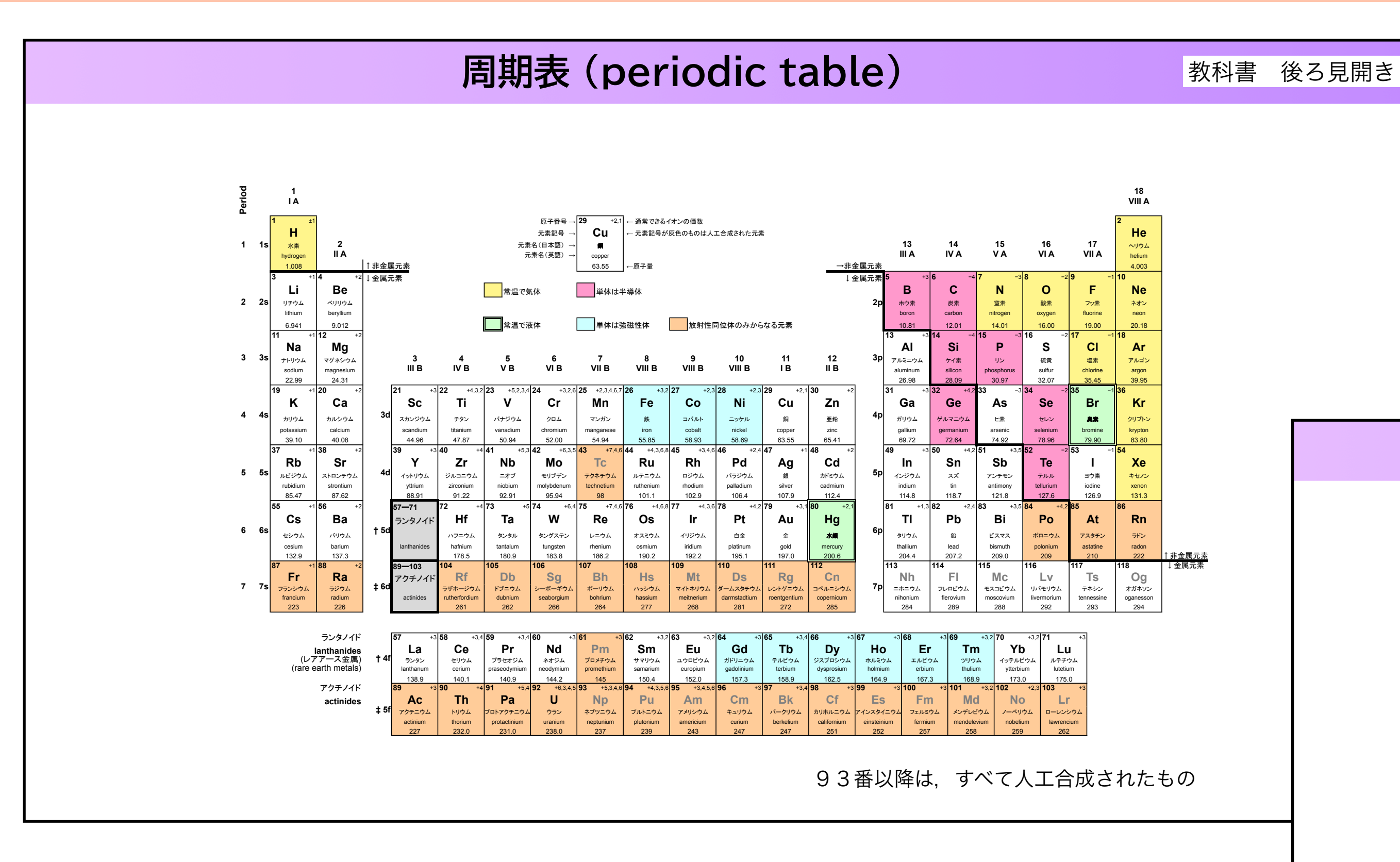
- 「光を波と考えるか,粒子と考えるか」の論争点は何か.現状ではどう理解するのが正しいか.
- 朝永振一郎の書いた『光子の裁判』(1949) のプリントを第9回の授業時に配布しています. この要旨をまとめてください.
- ◆ そして、次のキーワードから2つ以上を使って、論争点と解決案を説明してください。
 『神はサイコロをふらない』「確率解釈」「不確定性原理」「観測問題」「シュレーディンガーの猫」「EPRパラドックス」「トンネル効果」「コペンハーゲン解釈」「多世界解釈」
- 最後に、皆さんのこの問題に関する感想をお願いします。

作成要領

- A4 用紙 3-5 枚程度. 表紙は不要. 必要であれば, 図や表を添付してよい(ページ枚数に含める).
- 参考とした文献 (web ページ含む) は必ず記すこと.(剽窃, 無断転載行為が判明したら受理しない. きちんと引用するなら OK).

提出手順

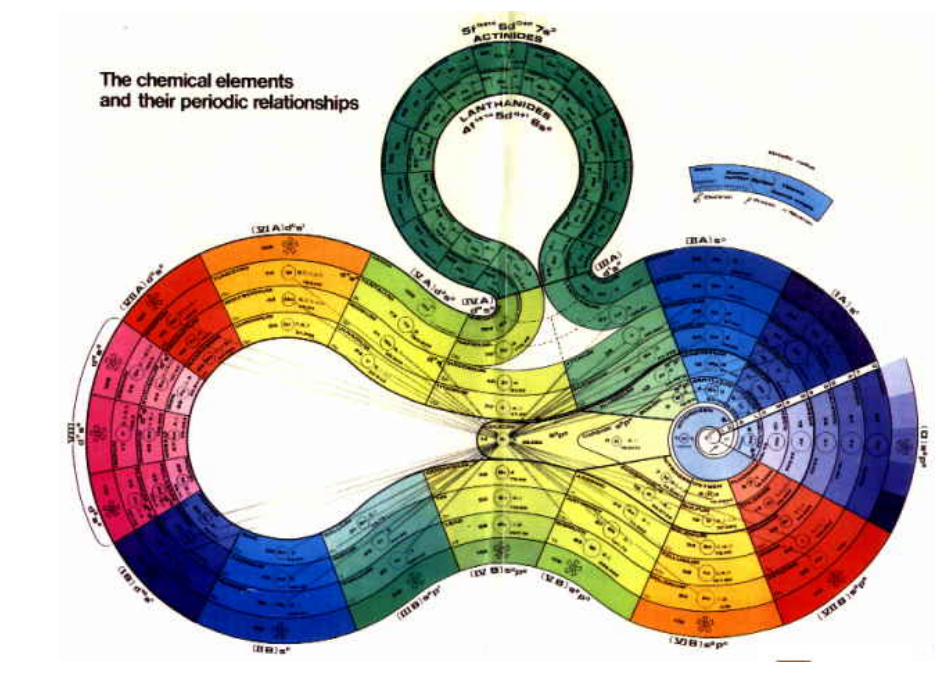
- Google Classroom の課題として提出.手書きの場合は写真撮影したものを提出.
- 提出〆切は、2025年12月28日(日)23:59
- 提出ファイルの名前は、「Q 学科 XXXXXXXX ○○○○」の形式とすること. (Q は Quantum の頭文字でレポート区別するためのもの、学科は大日/短生など 2 文字で、XXXXXXXX は学籍番号、○○○○は氏名)とすること. ファイル名には空白を入れず、学籍番号は半角で. 一括ダウンロードして読むため、このファイル名でお願いします.
- ファイル内の初めにも、タイトル・学部学科学年・学籍番号・氏名を記載すること.
- pdf ファイルが望ましいが, word ファイルでもよい.



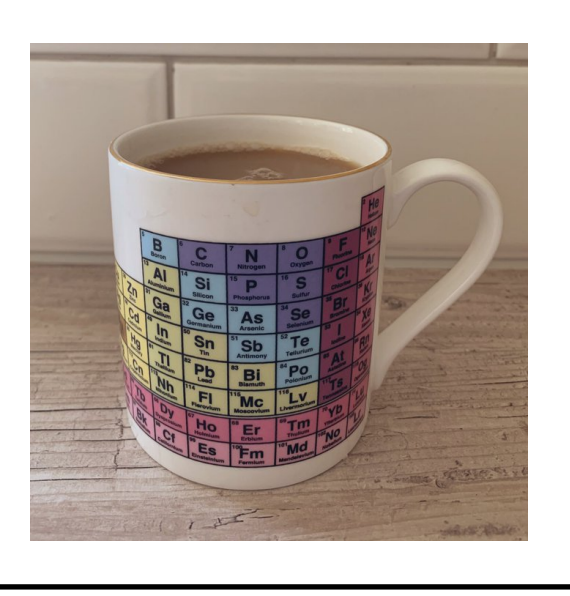
原意がピア円になるというのは、どういうことですか?

元素

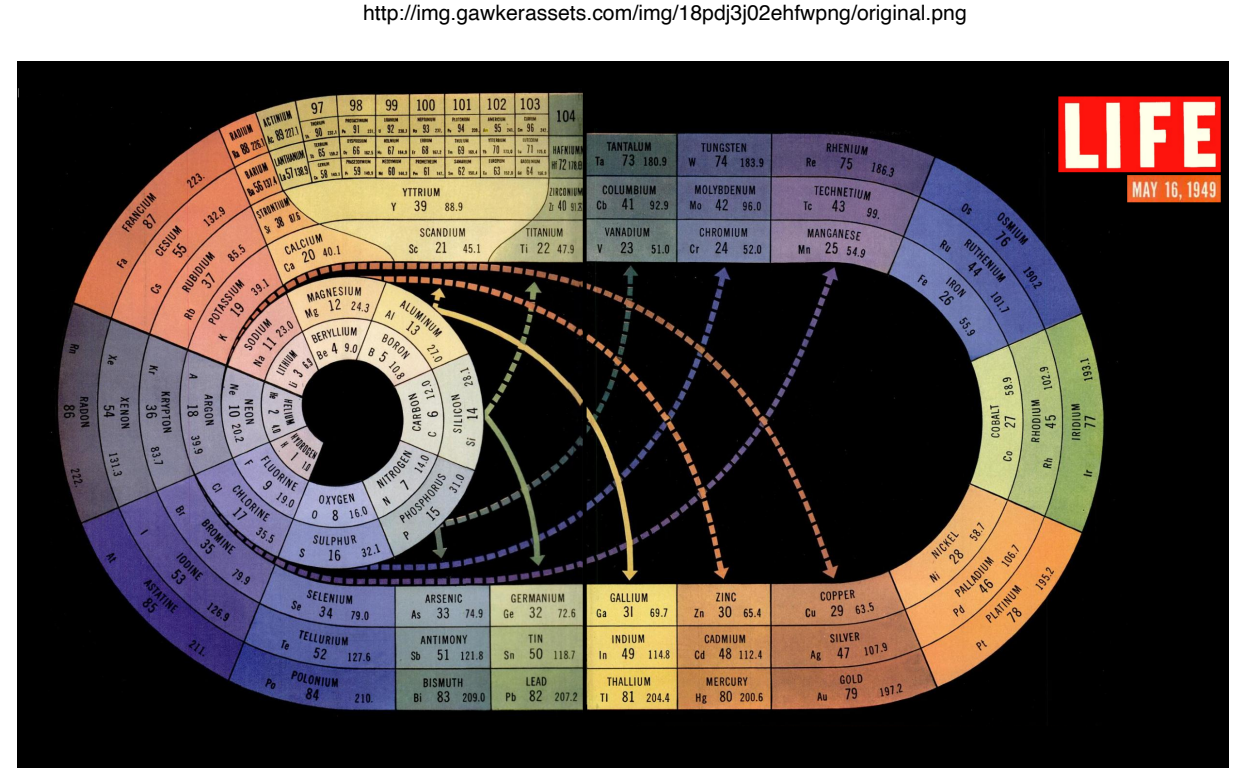
周期表 (periodic table)



http://users.erols.com/iri/show49.html



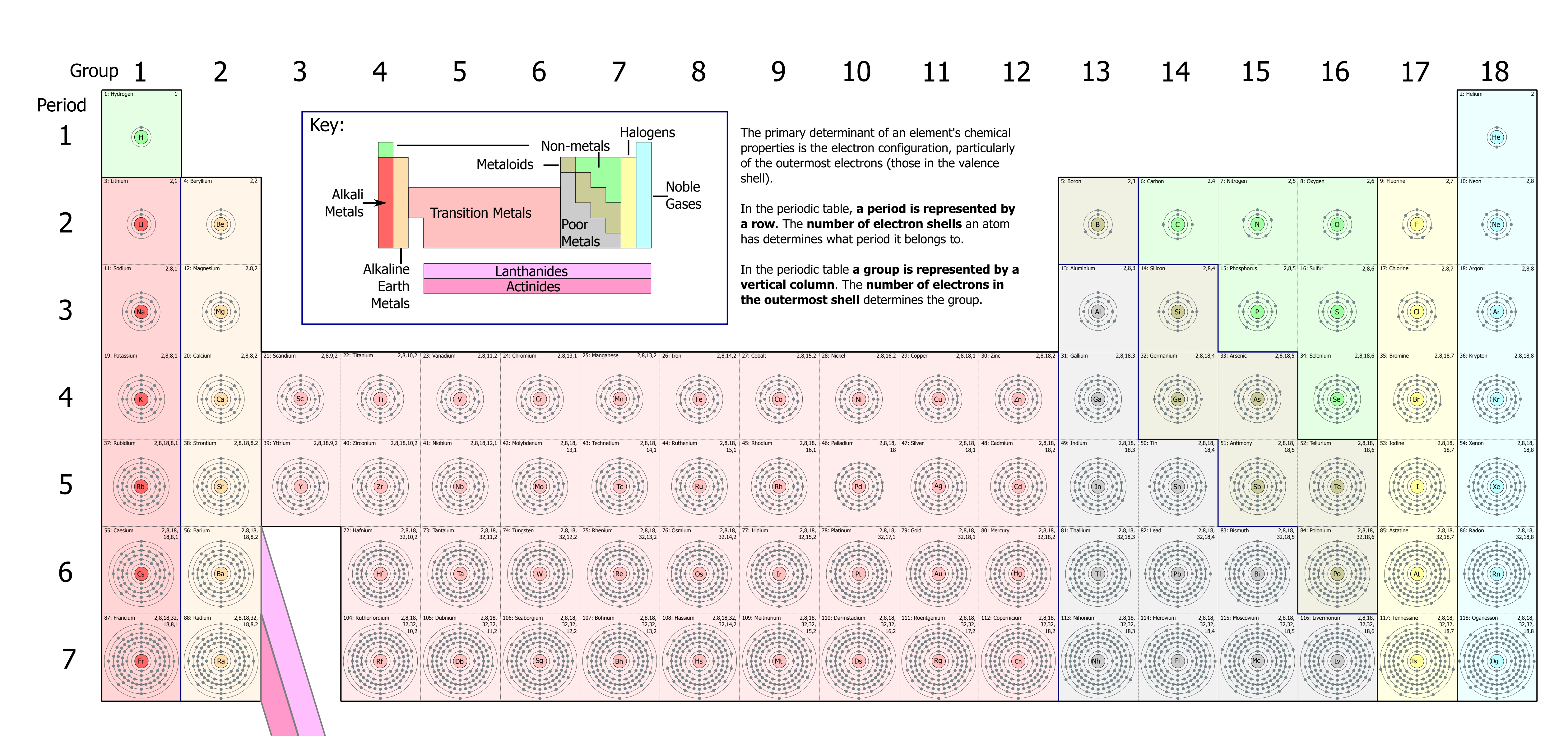
京都大学 オリジナルグッズ



. . .

周期表 (periodic table)

https://upload.wikimedia.org/wikipedia/commons/a/a8/Periodic_Table_of_Elements_showing_Electron_Shells.svg



原子力とつきあう

東日本大震災 2011/3/11 福島第一原子力発電所溶融



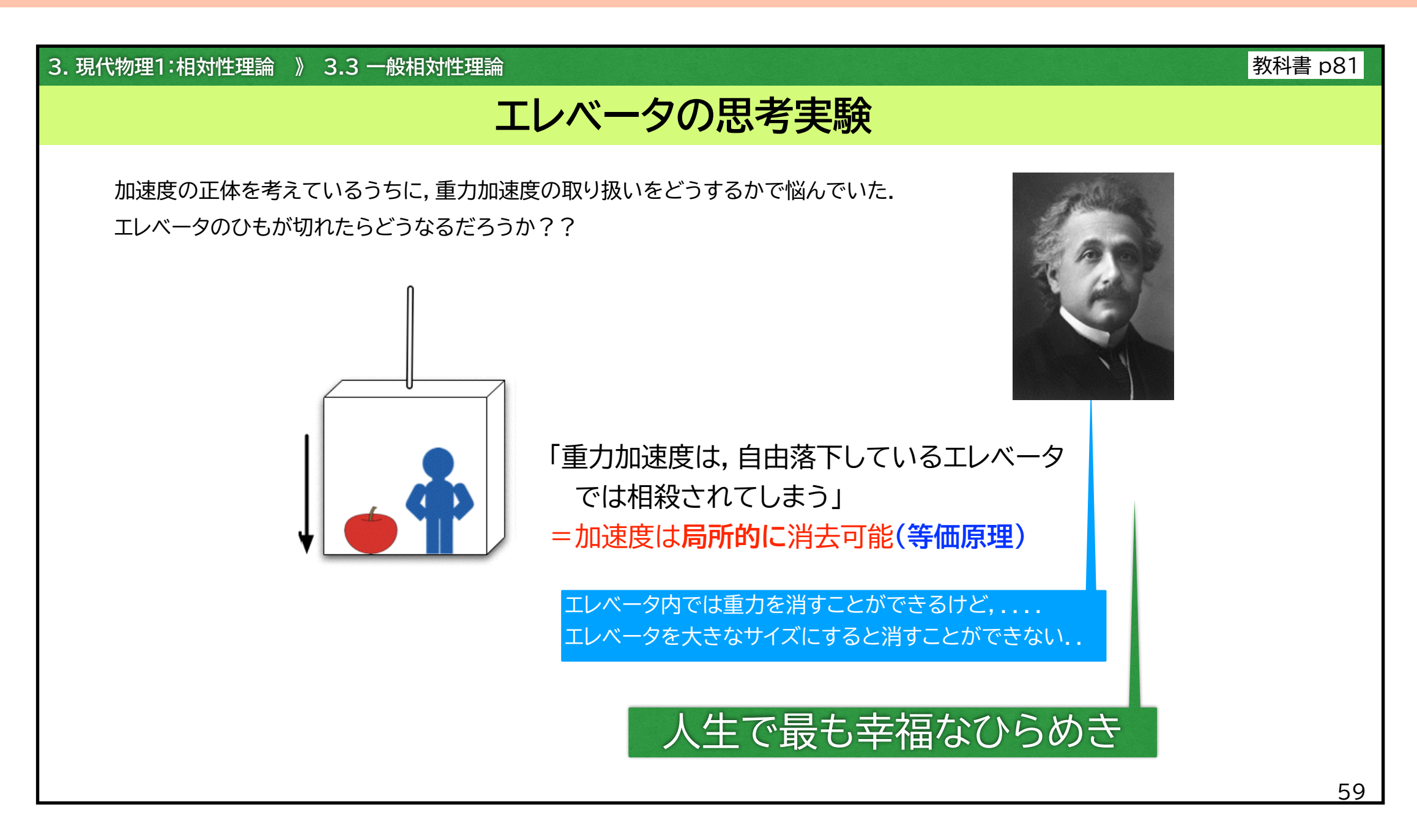


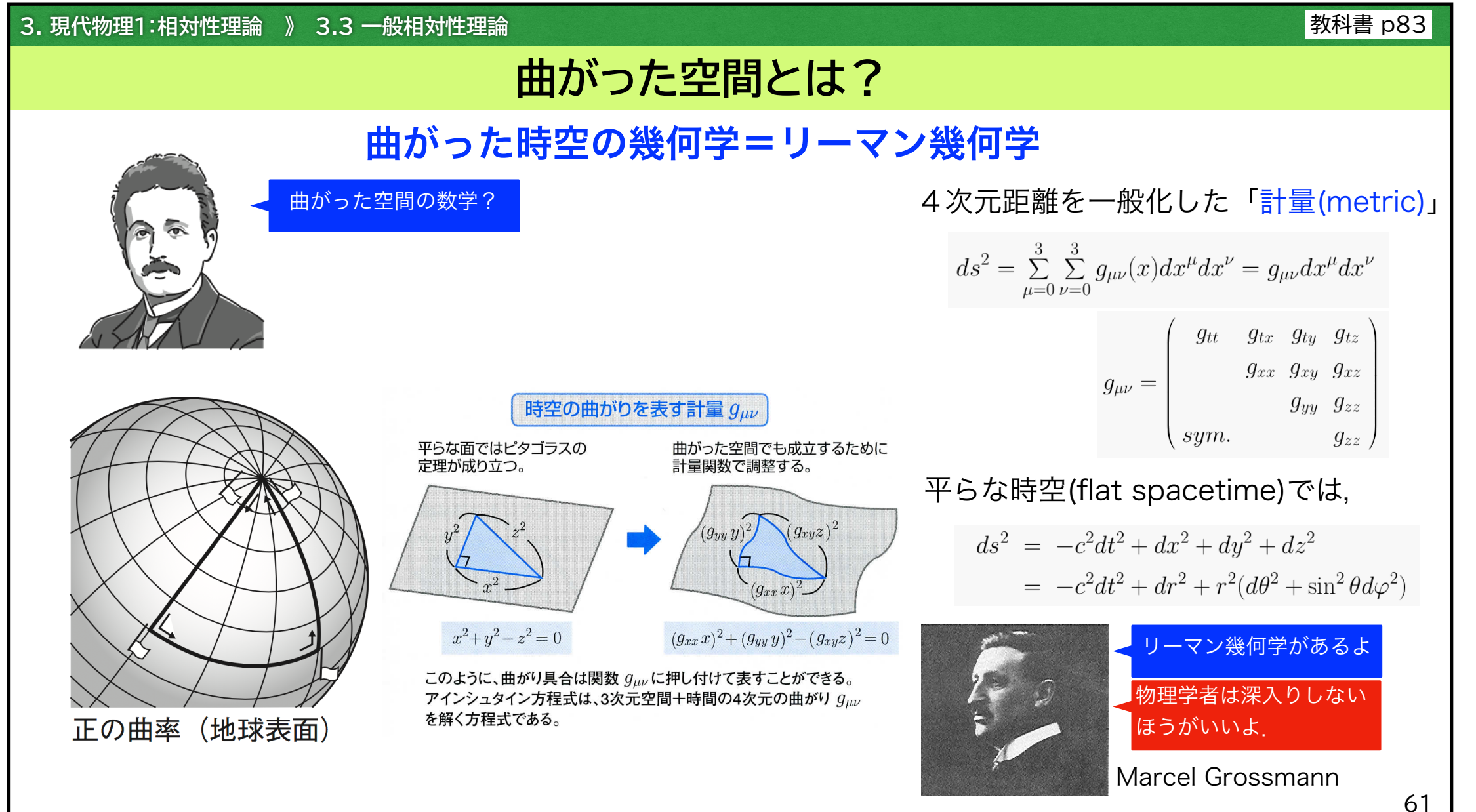


原子力の扱いは本当に難しく、終わりの見えない問題だと分かりましての

持病の定期検診で、よとしてじてき撮るのでのが、先生達はけっこう無防備は状態では最終に手にしているので、大大大かのではるかを見っていてのですが、分践が解けましたの子でもそれがいかど、放射線・放射性物質の恐ろしまる思いましたの

オッパンハイマーの予告編を見て、映像の垣かや緊張感がかまって、とても面白そうだと感じた。見てみたり!!





和大人生で香幸福はひらめまる探していです。

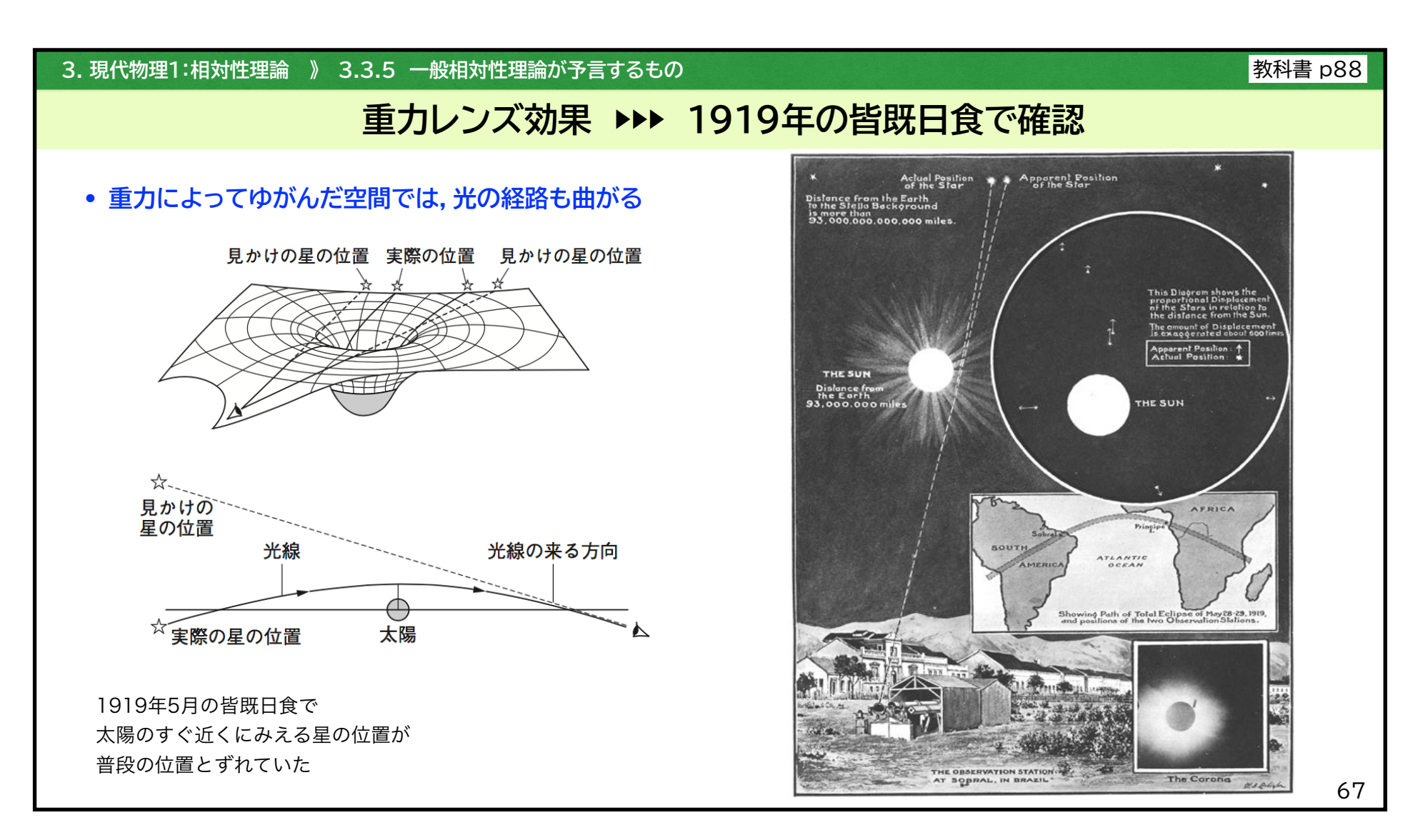
アインシュタインは日頃からずっと考え事をしているのだけと思いました。

理論を発見したり、研究する動機は何でしょうか

謎を解明すると、スッキリする知りたい、という動機

遊園地などに行くと、トリックアートが体験できる的な場所があって そこでは、空間が歪んでいて絶対にまっすぐ進めなかったり、階段を上れなかったり しました。やはり、それも重力が関係していますか? ちょっと体調悪くなってしまったので、人間が重力に耐えるのは難しいと思いました。

トリックアートは錯覚を利用して違和感を与えるもので,重力とは無関係と思います.





解室が中門でひというのが理解しらられったが 夫の田のりなってれる河町はりこのパタンかって

小学生の頃かた質問を順度や一番するかってこの

2012年の金環日食を見た記憶がありまる。

2012年の金環日展を日展メガネ?みたいなものをつけて見たのを覚えていますが、 あのメガネをつければ太陽を見ても大文をなのはなんごですか、

強い光と紫外線から目を守るためです。















スーパーム・ニ、グレルさが、た気がレチレたが、気のせいインチウ州?

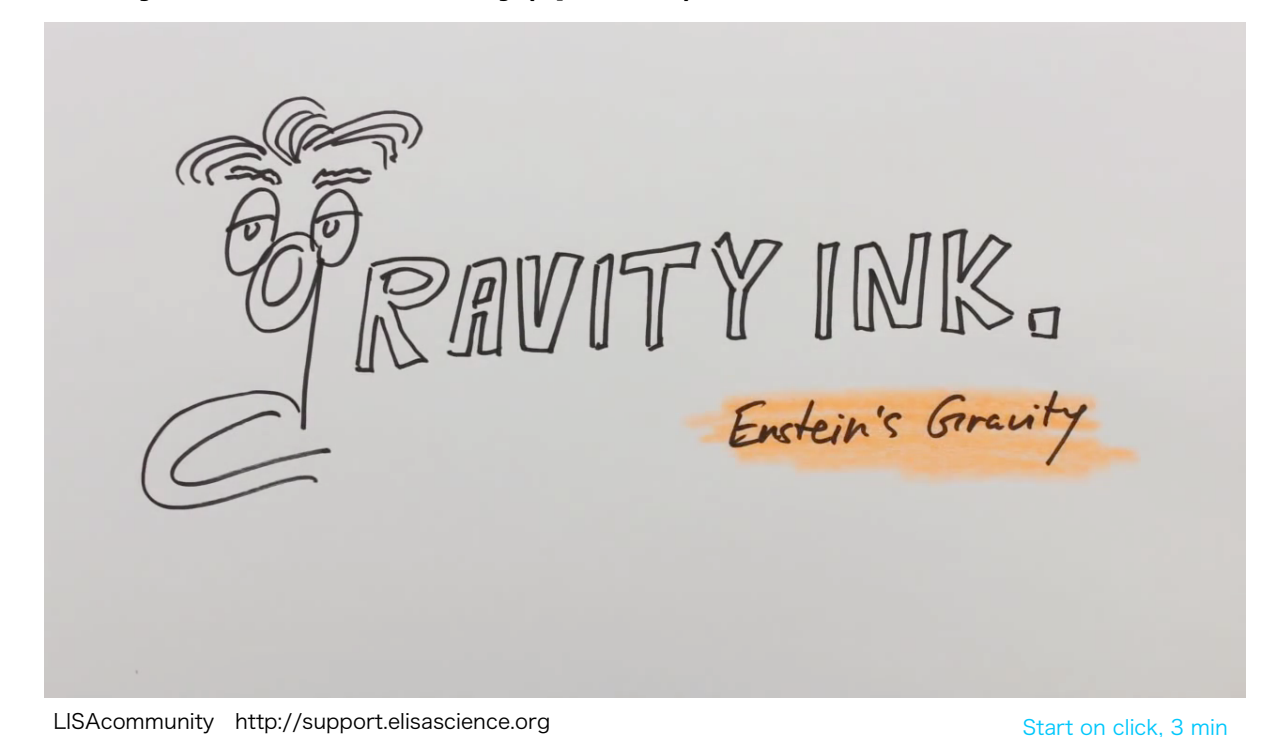
月は地平線にちかいと,建物との比較で大きく感じます.

プレークスルーで見体験できる機械は発明でれていおか?

電子レンジ、GPS、インターネットとか、いずれも軍需産業の民生転用ですが、

さいごのでのよかはといの人が生にな多りました。





http://www.youtube.com/watch?v=a zMKF66tzc

LISAcommunity http://support.elisascience.org
Hand: Pavel Gurov Voice: Heather Audley
Concept: Oliver Gerberding, Simon Barke, Heather Audley, Benjamin Knispel

これかな?

女主しいです

後期だけです

前期にもこのような授業があったら

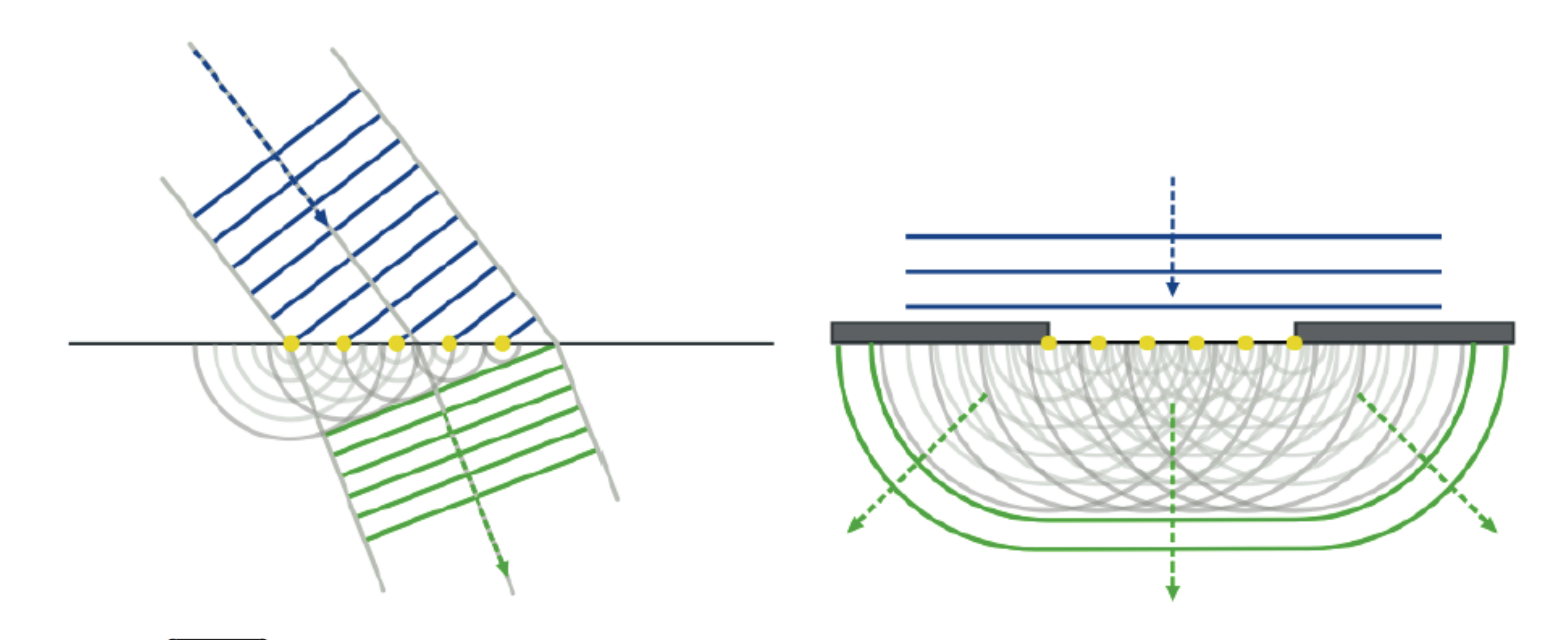
光か曲かるのは重かな外にありますか、

水面やレンズで屈折するように,異なる媒質を通ると伝播速度が変わって曲がります.

屈折と回折

波の特徴:屈折と回折

- 波は媒質が異なるところへ進むとき、**屈折**する.(ホイヘンスの原理)
- 波は障害物の後ろにも**回折**して進む.(ホイヘンスの原理)



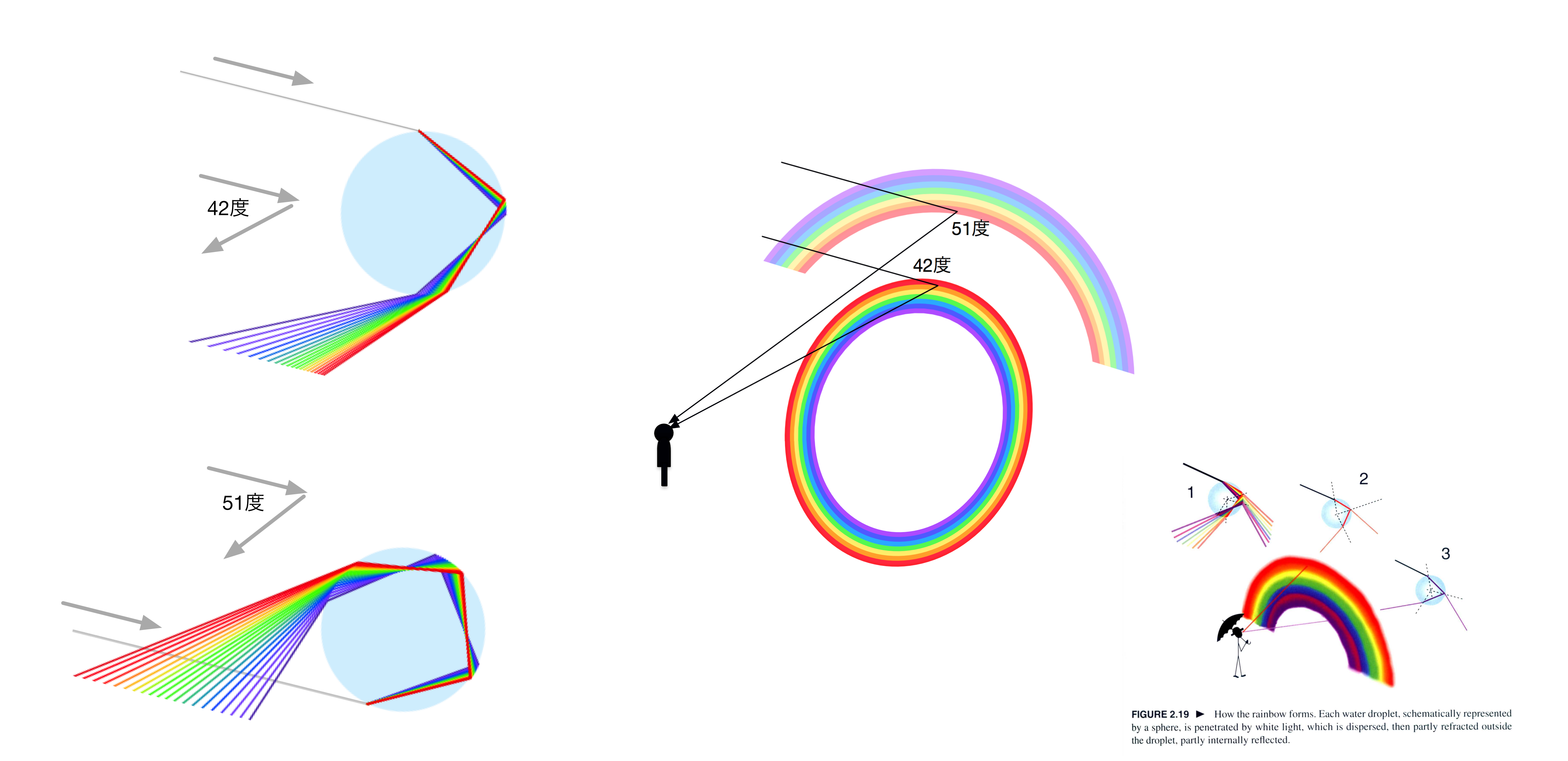
法則 ホイヘンスの原理

波面は無数の波源の集まりとみなすことができ、波の各点を波源として球面状に広がっていく**素元波**の重ね合わせとして、次の瞬間の波面が形成される.

Christiaan Huygens (1629–95)



虹のしくみ



がいりで、一ルローチがル入れてこことがある人ははますか、

人類はブラックホールに近づいたことはありません。

今日の議議であると、少してブラックホールについてかかったような気がしました。

ブラックホールは小石のイメージがあります。

2022年5月22日 国立天文台グループ「天の川ブラックホールの撮像に成功」

天の川銀河中心 (地球から3万光年, 太陽質量の400万倍)

出典 Event Horizon Telescope HP
105

でラックホールを超重量級の星と捉えるのならば、他の星と同じまうに寿命は存在するのへかの気になりました。

ブラックホールはモノを飲み込んで巨大化するだけと考えられています.

かかってホールはほんとに黒いんですがる

光を出さない、という意味では黒いです。

量子論を考えると、「ブラックホールは地平線の外側で 熱エネルギーを徐々に開放して、いずれは蒸発する」 という考えもあります。真空から粒子生成がおきて、 負のエネルギー粒子がブラックホールに吸い込まれると ブラックホールが小さくなる、という説です。



一般相対性理論

強い重力場での時空の力学 「空間が歪むのが重力の正体である」

特殊相対性理論

光の速さに近い場合の力学 「時間の進み方は観測者によって異なる」

ニュートン力学

F = ma

一般相对性理論(1915年)

◎ 発端:

1905年の相対性理論では、加速度を扱えなかった。 加速度の正体は何だろうか? 加速度を生じさせる重力とは何だろうか?

ブレークスルー:エレベータの自由落下で重力が消せる!だけど、地球の大きさのエレベータでは消せない。

○ アインシュタインの結論:
重力の正体は時空の歪みである。

A CONTRACTOR OF THE PROPERTY O

エレベータの思考実験

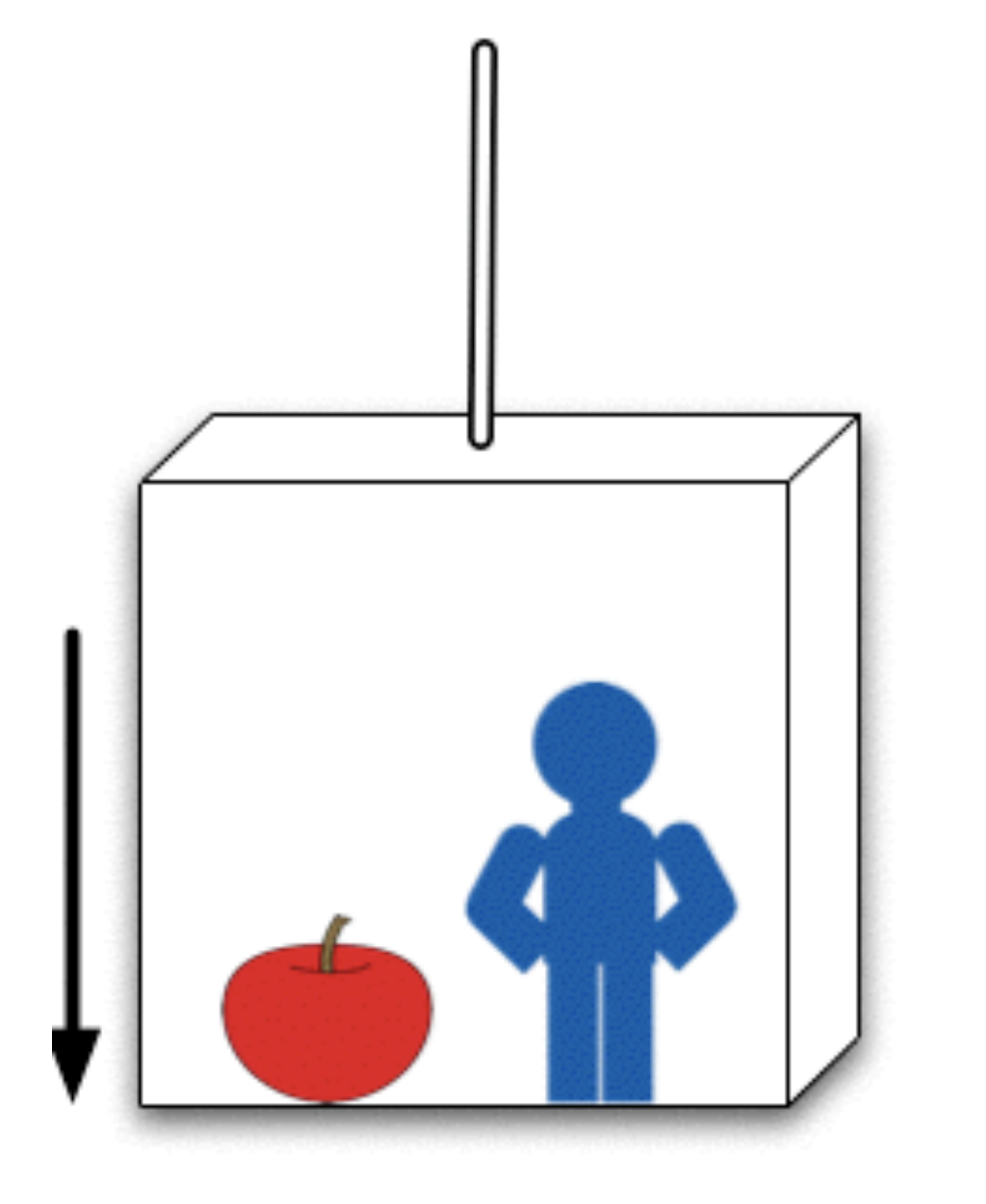
1905年の相対性原理では、等速運動しか扱っていない。加速度運動する場合の相対性理論はどうなるだろうか。

加速度運動する代表が重力のはたらきだ。重力の正体はなんだろうか。

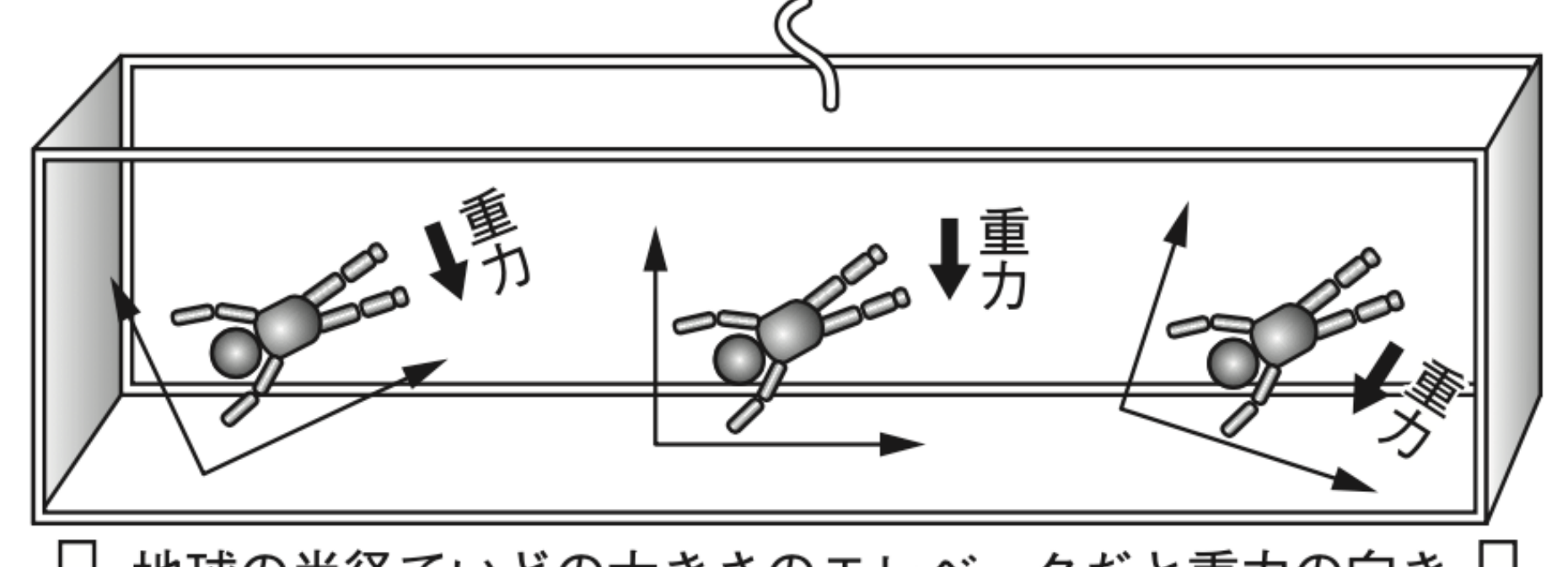
自由落下するエレベータ内では,重力がはたらいていることを感じない. 重力は局所的には消すことができるが,大域的には消せない.



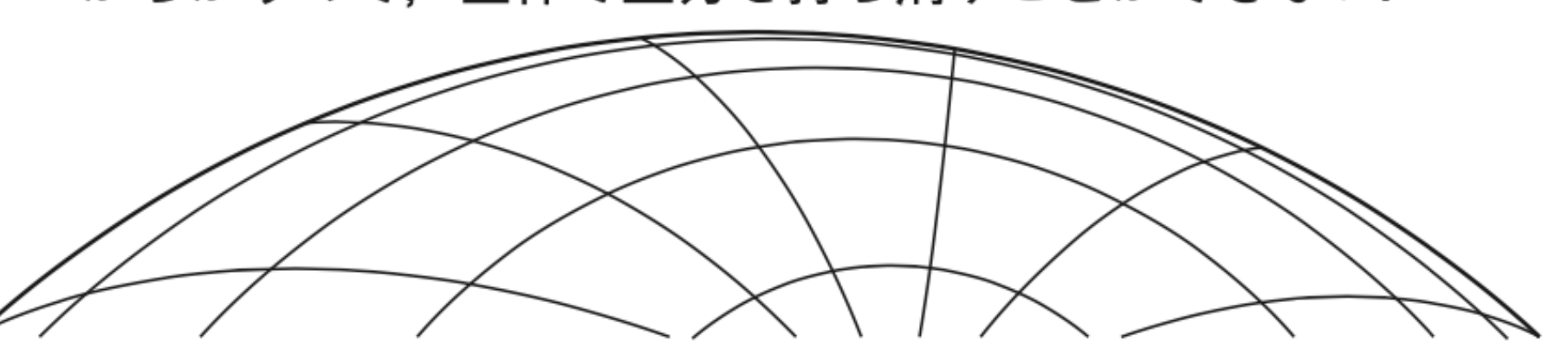
人生最大のひらめき



エレベーターの思考実験



↓ 地球の半径でいどの大きさのエレベータだと重力の向き ↓ がちがうので、全体で重力を打ち消すことができない。



重力の正体は 空間の性質だ

空間のゆがみが重力の正体だ

曲がった空間とは?



重力の正体は,空間の性質だ

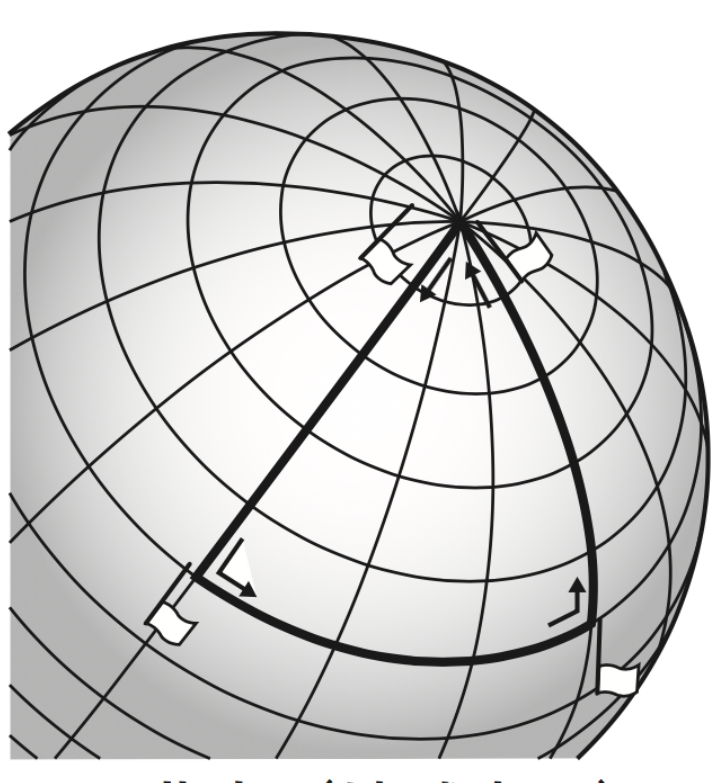
空間のゆがみが 重力の正体だ



リーマン幾何学があるよ

物理学者は深入りしない ほうがいいよ.

Marcel Grossmann



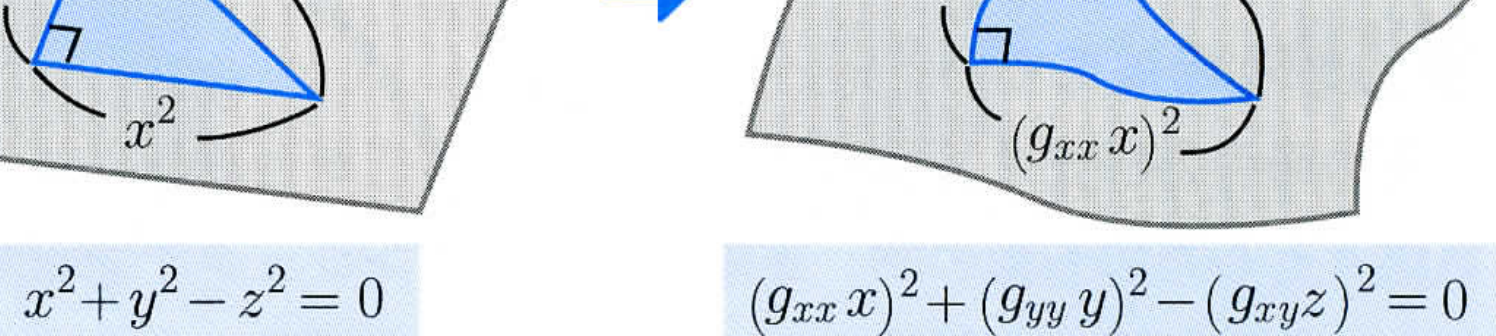
正の曲率(地球表面)

時空の曲がりを表す計量 $g_{\mu u}$

平らな面ではピタゴラスの 定理が成り立つ。

曲がった空間でも成立するために 計量関数で調整する。

 $(g_{xy}z)^2$



このように、曲がり具合は関数 $g_{\mu\nu}$ に押し付けて表すことができる。 アインシュタイン方程式は、3次元空間+時間の4次元の曲がり $g_{\mu\nu}$ を解く方程式である。

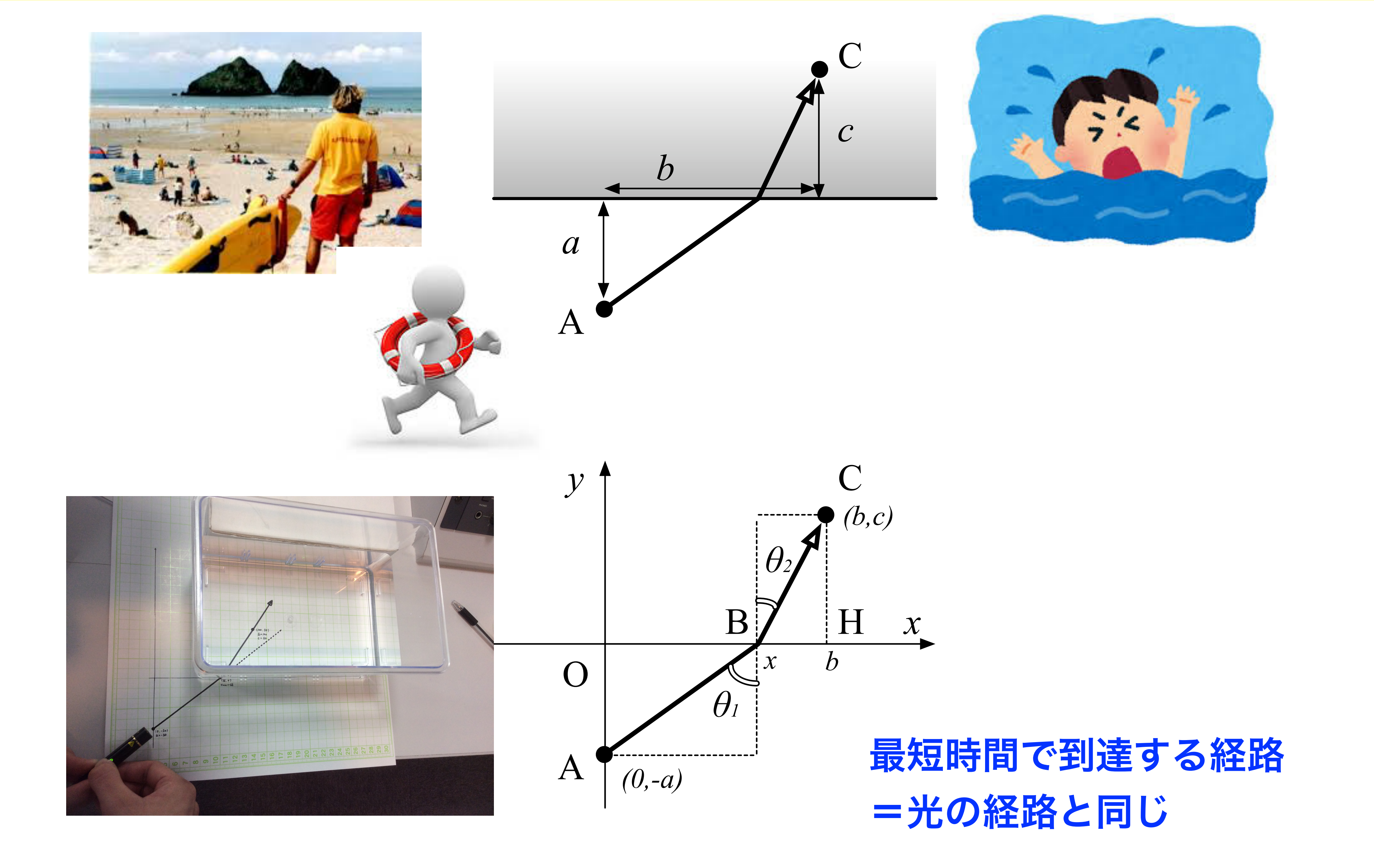
重力場の方程式(アインシュタイン方程式, 1915年)

重力の正体は、時空の歪みである. その関係は、次の式で表される.

$$R_{\mu\nu} - \frac{1}{2}g_{\mu\nu}R = \frac{8\pi G}{c^4}$$
 $T_{\mu\nu}$
時空の歪み 質量の分布

左辺はリーマン幾何学にもとづいて時空がどのように曲がっている のかを表している. 右辺は物体がどのように分布しているのかを表 す量である.

最小作用の原理 (フェルマーの原理)



水星軌道の43秒角/100年 のずれ 謎が解明

水星の近日点移動の問題(ルベリエ 1854)

100年で574秒角ずれる 2250世紀で完全な「ばら模様」

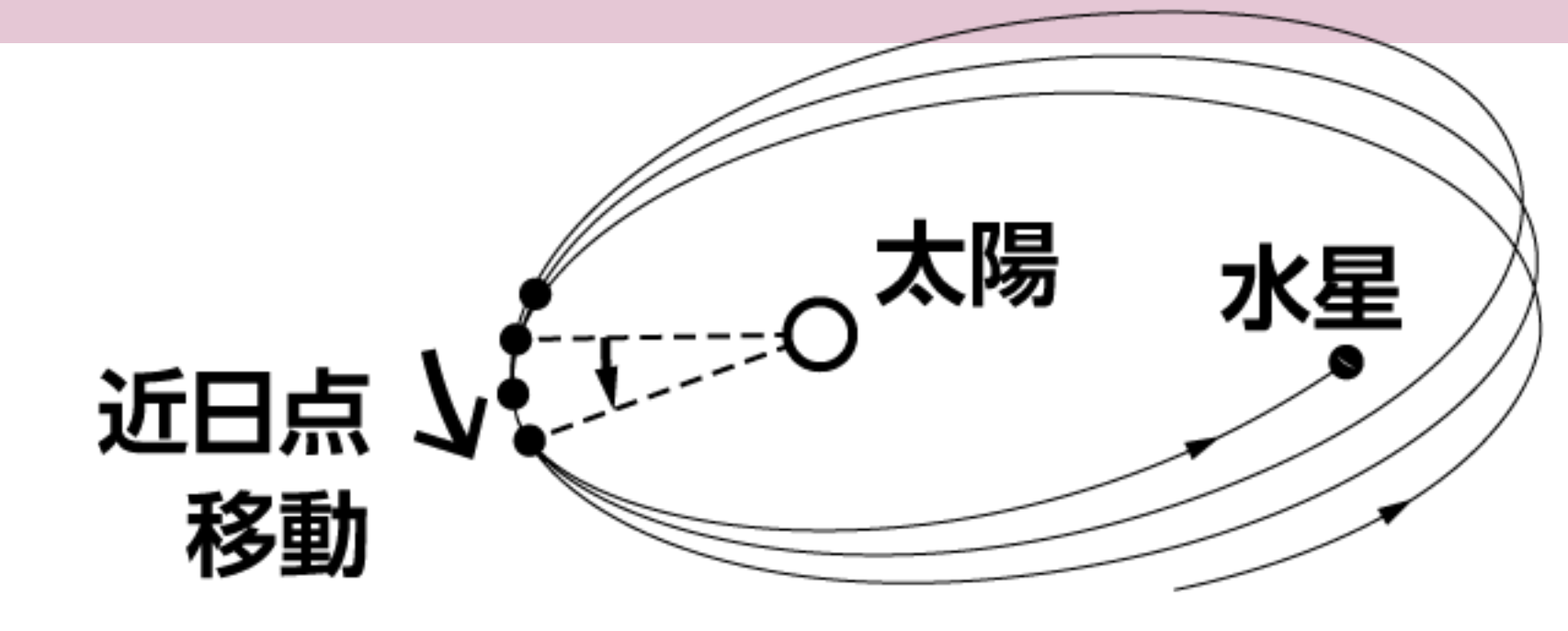
→→金星の影響で277秒角 木星で153秒角 地球で90秒角 その他の惑星で10秒角分の説明が可能

残りの43秒角は???

1915年 アインシュタインが できたばかりの一般相対性理論を適用すると「43秒角の歳差運動」が出てきた

心臓の鼓動を感じた

最終的に一般相対性理論は一つの論理的構造物としてここに完成した(1915年11月25日)





一般相対性理論が予言したもの

- 重力によってゆがんだ空間では 光の経路も曲がる(重力レンズ)
- 重力によってゆがんだ空間では 時間の進み方は遅くなる(重力赤方偏移) 🔨
- 強い重力のもとでは星はつぶれ続ける(ブラックホール)
- 宇宙全体は動的でなければならない(膨張宇宙)
- 重力波が宇宙空間を伝わる(重力波)

ンブラックホール特異点は簡単 すぎる仮定をしたからだ

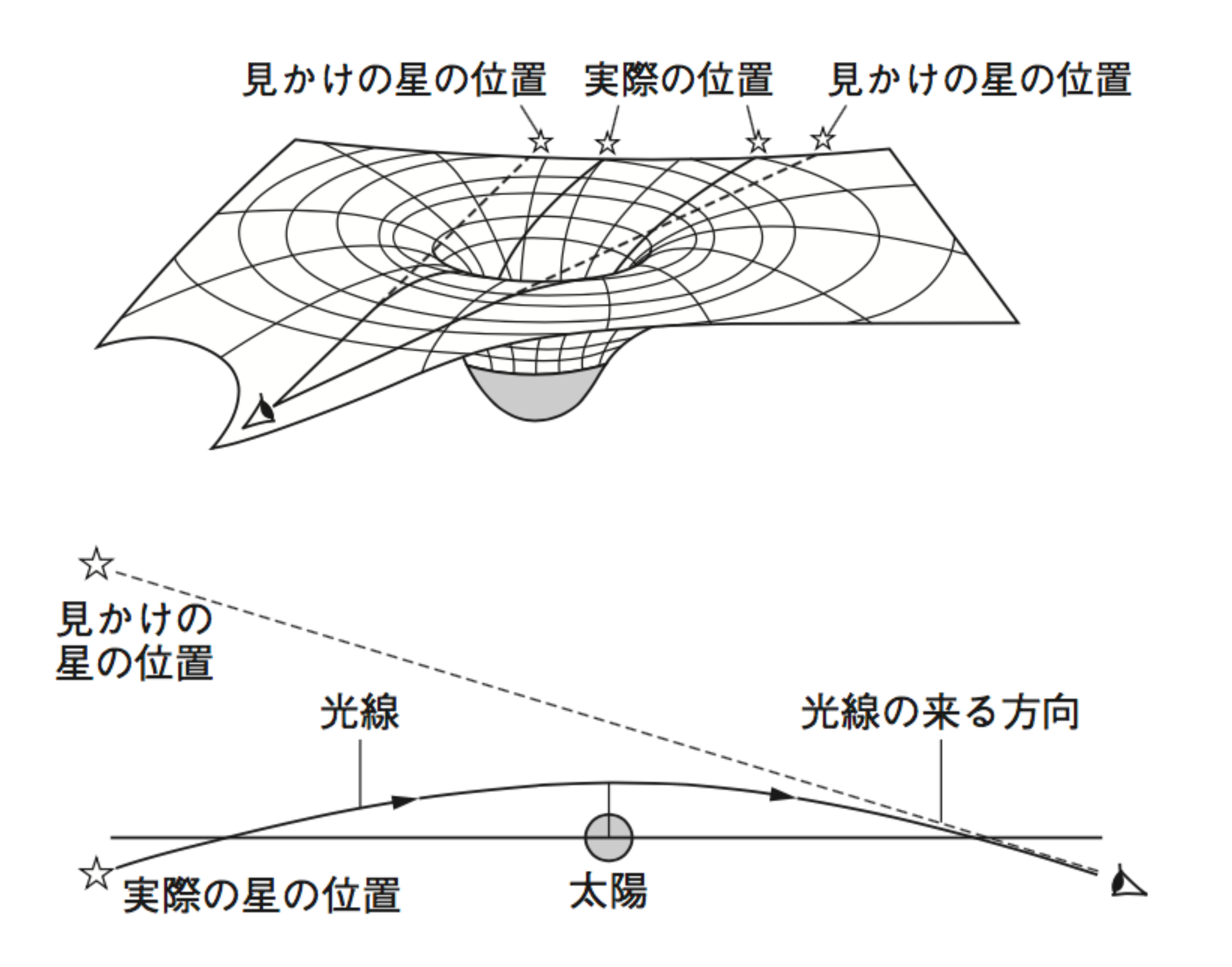
宇宙は膨張するはずない

★重力波は座標系の変換で消せる

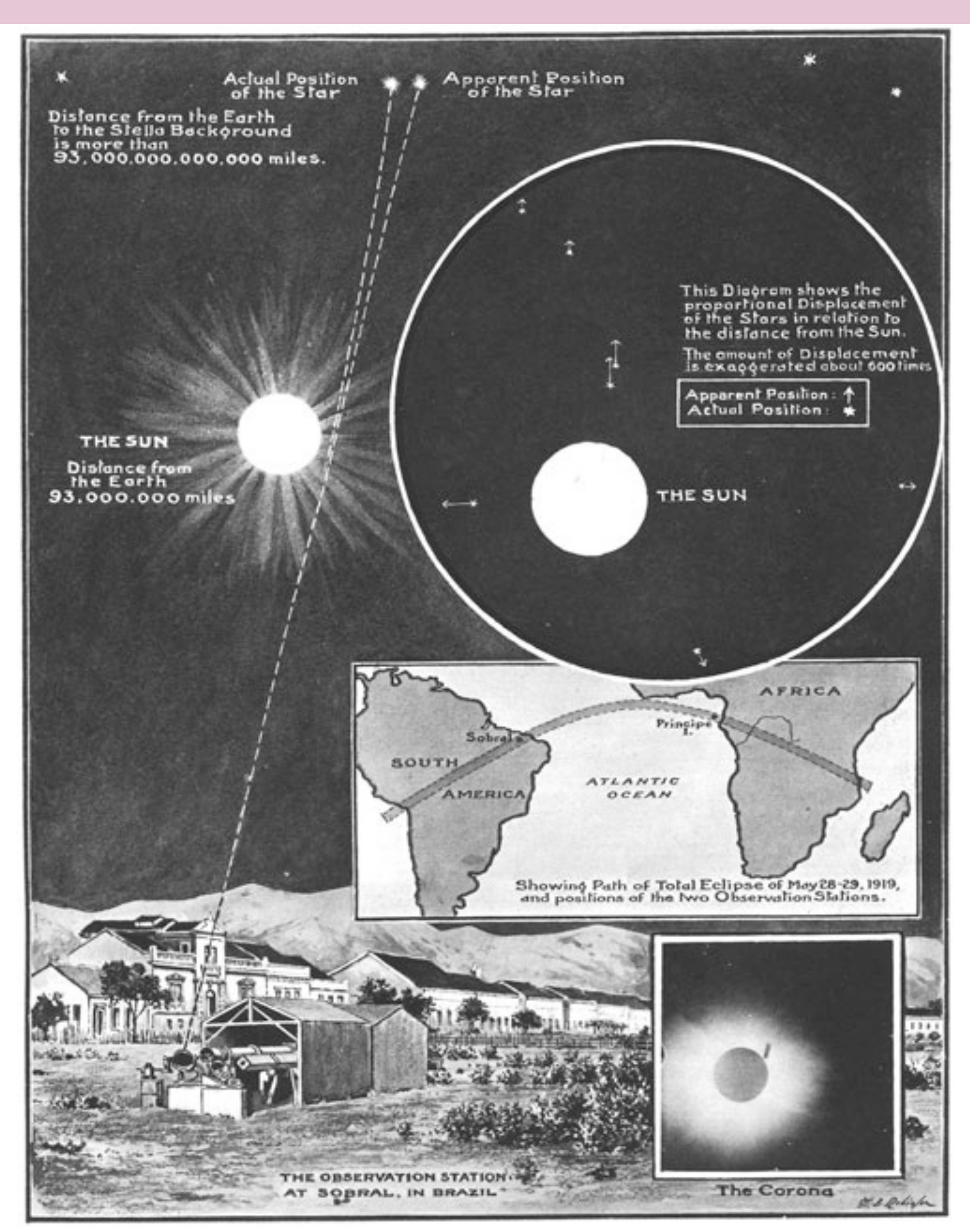
一般相対性理論は日常生活に影響することはない

1919年5月 皆既日食: 太陽の近くを通過する光は曲がる

• 重力によってゆがんだ空間では、光の経路も曲がる



1919年5月の皆既日食で 太陽のすぐ近くにみえる星の位置が 普段の位置とずれていた



皆既日食の観測によって, (a)______が確認されたことにより, 一般相対性理論の予言する(b) が確認された.

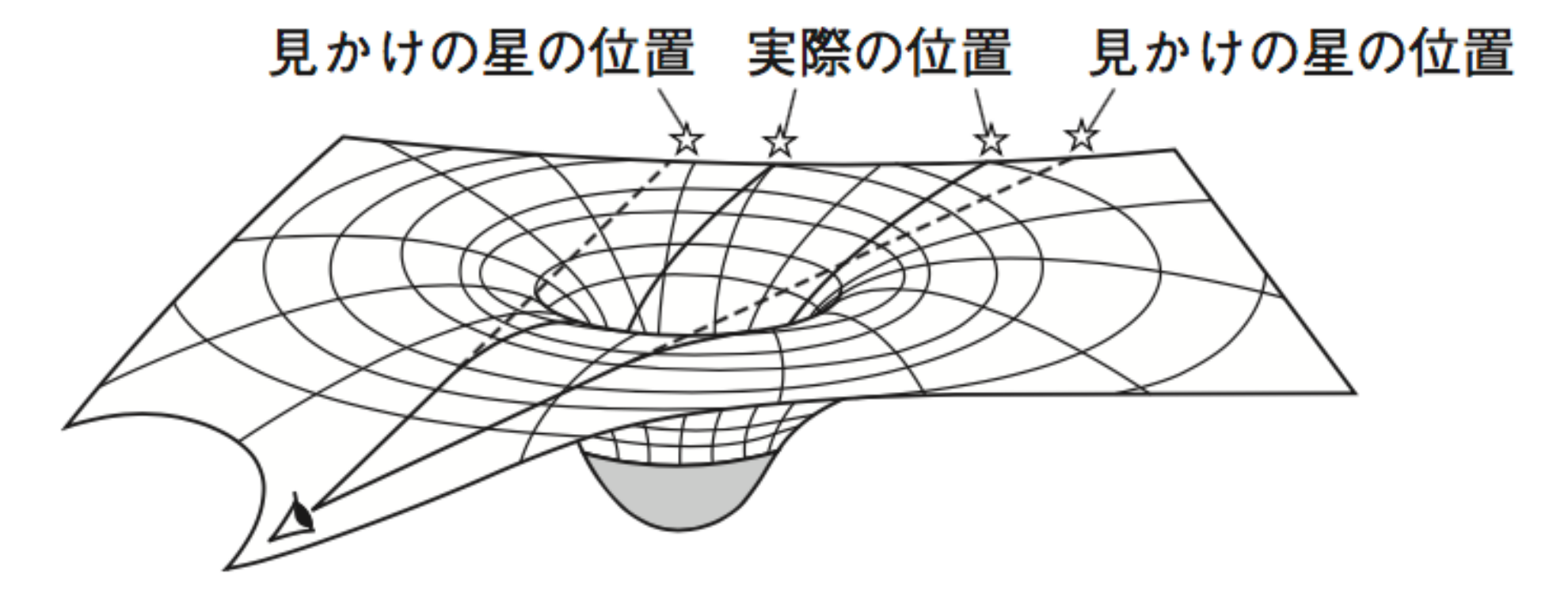
国首既日食の観測によって、太陽の近くを通る星の光が本来の位置とずれていることが確認されてことにより、一般相対性理論の予言する太陽のあるとはできるとかる程の光は重わいスが果によって曲げられることが確認されて、

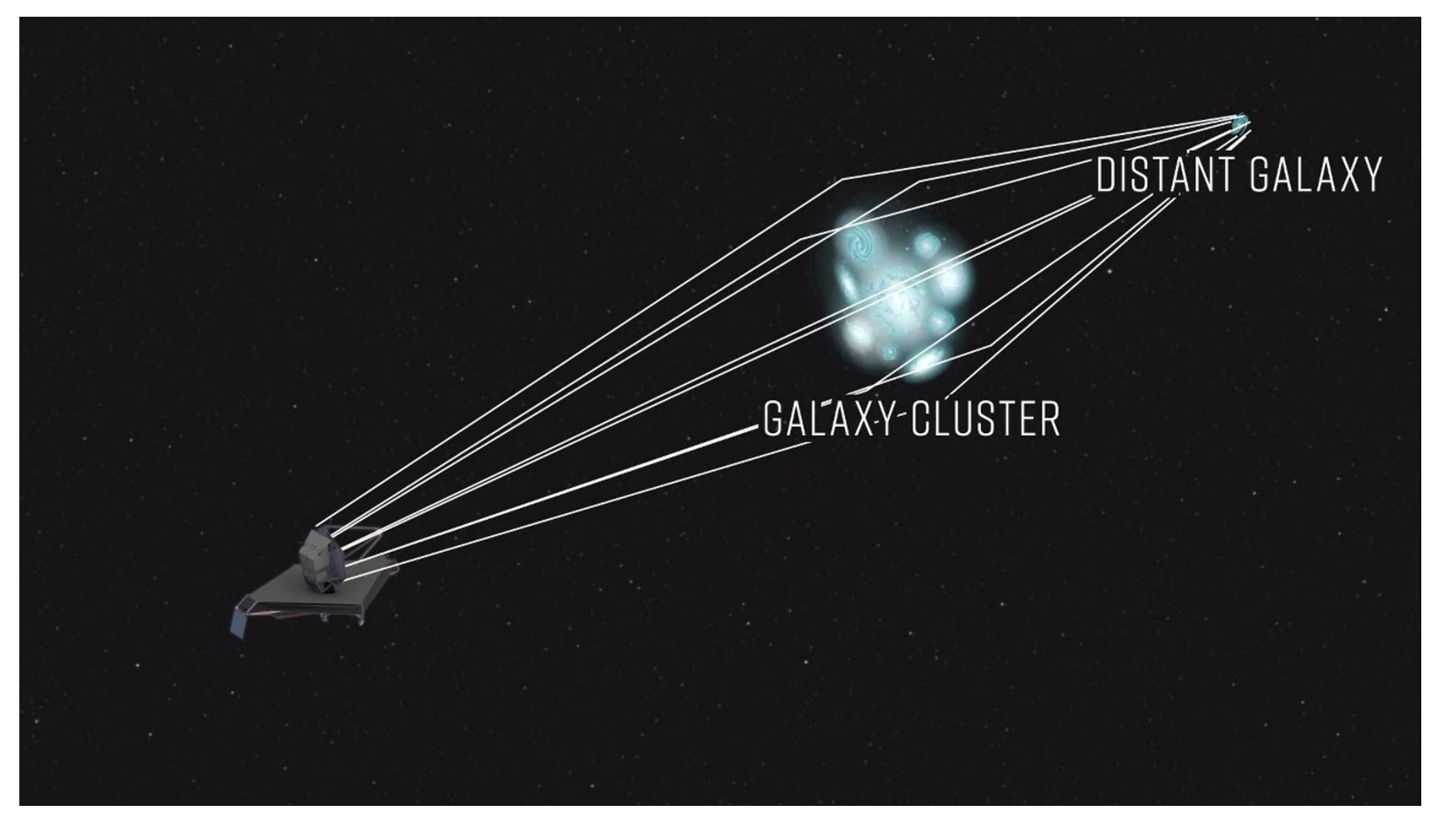
(の)太陽のする近ににみれる屋の(電が普段の(電であれていてこと)(の)重力によりて企べて)空間では光の経路も曲が多くと

- (a) 太陽の近くを通る星の位置が通常とずれること
- (b) 重い物体の周囲では空間がゆがむこと

重力レンズ効果 ▶▶▶ 銀河によるその背後の銀河からの光線湾曲

• 重力によってゆがんだ空間では、光の経路も曲がる

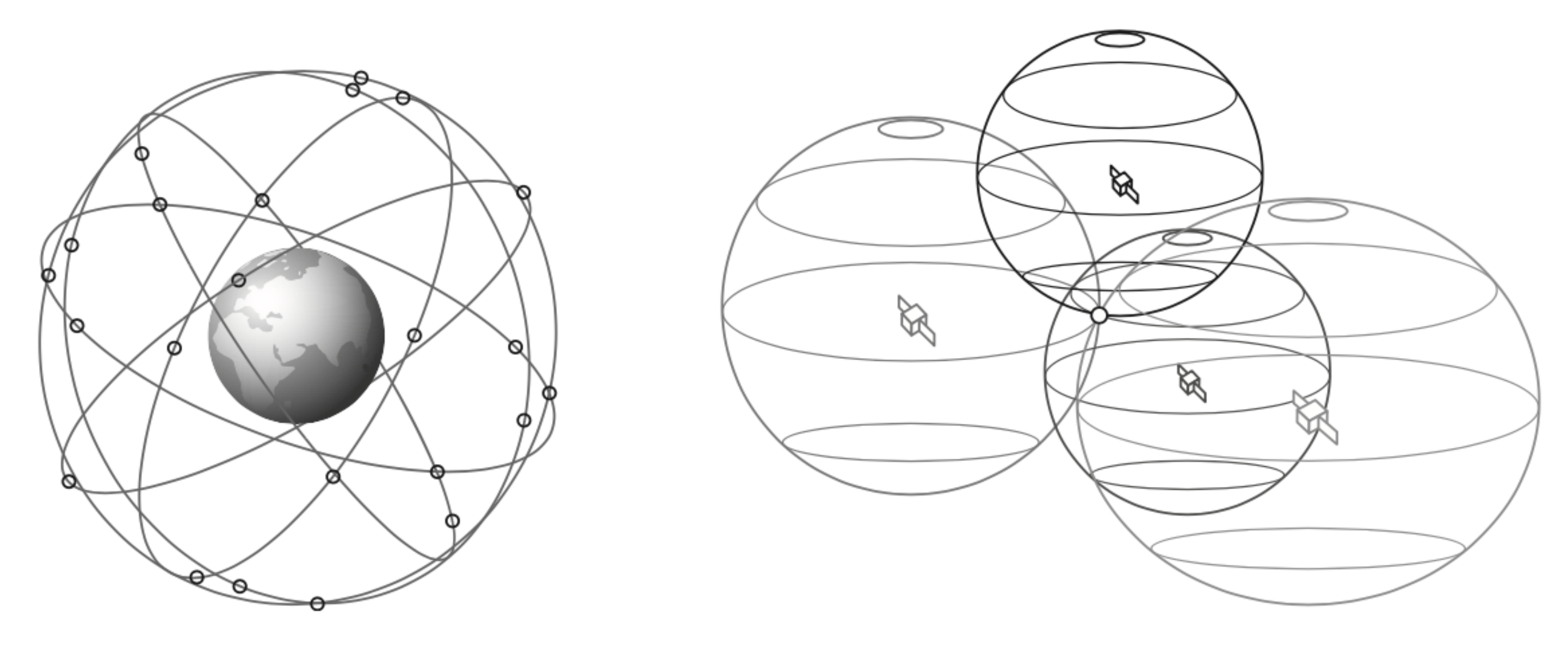


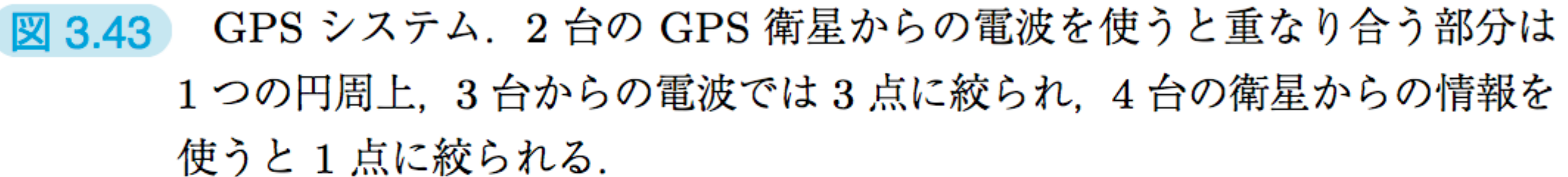




JWSTによる撮影, 2022年

GPS (Global Positioning System)





正確な位置と時刻の情報を含んだ電波で,

3角測量→精度±15m

高速飛行の特殊相対論効果と

地球重力の一般相対論効果

⇒1日につき、38x10-6秒ずつ衛星の時計を遅らせる必要あり



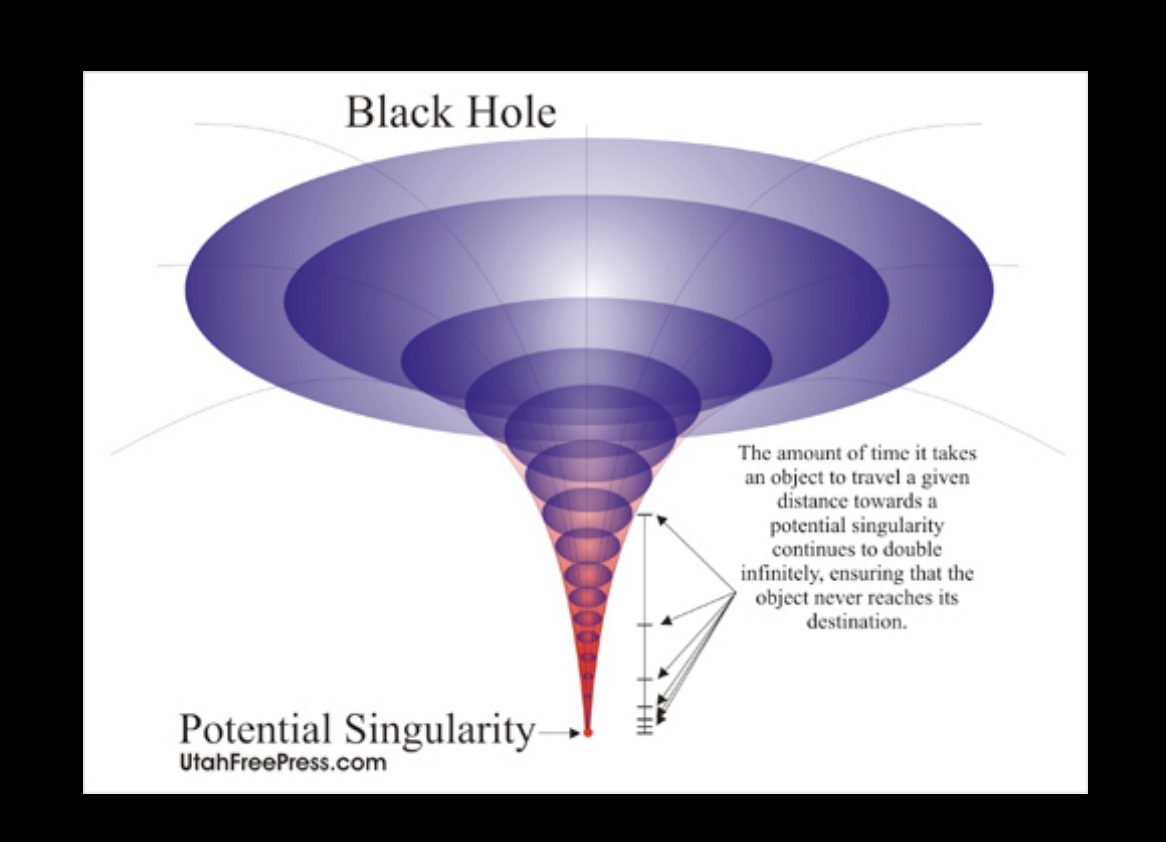


一般相対性理論は正しい

一般相対性理論は正しいか?

- 時空のゆがみ 水星の近日点移動が説明できた 地球重力の検証では理論に反しない
- *光の曲がり 重力レンズ効果、皆既日食でも、銀河レンズでも、 GPS衛星からの電波の修正項
- 強い重力の影響ブラックホール 存在は確認,直接観測ついに。宇宙論 理論どおり (ただし...)重力波 2015年9月に直接観測。

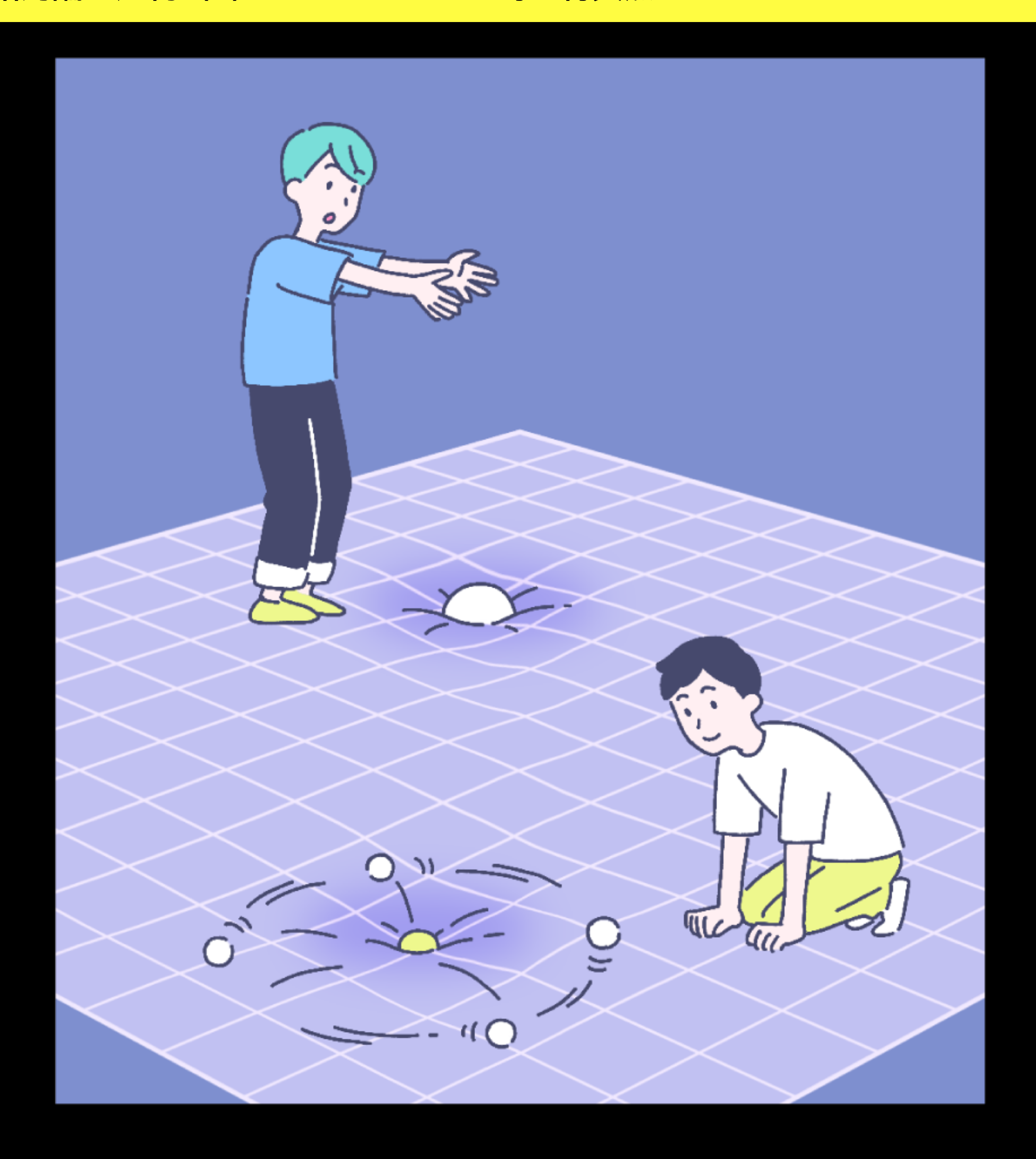
ブラックホール Black-hole



まず、方程式を解いたのは、シュバルツシルドだった。

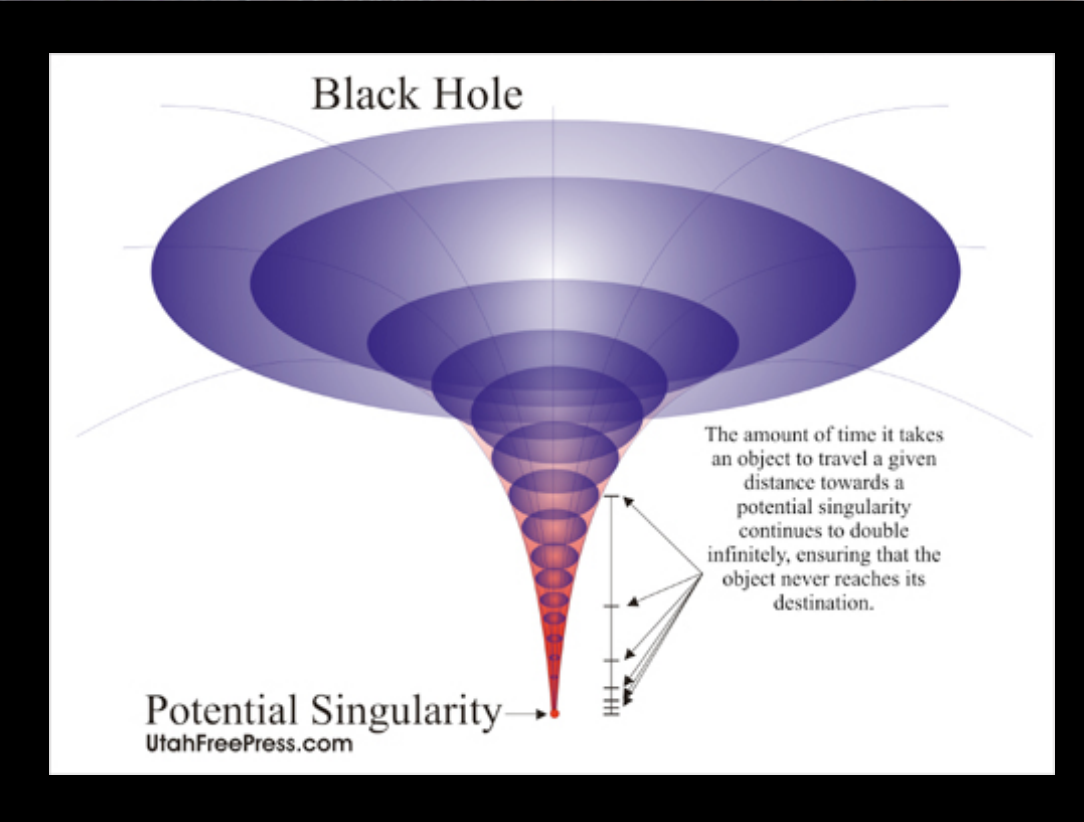
アインシュタインは信じなかったが,この答えは,ブラックホールを意味していた。

3.4 相対論の産物:(1) ブラックホールと時空特異点

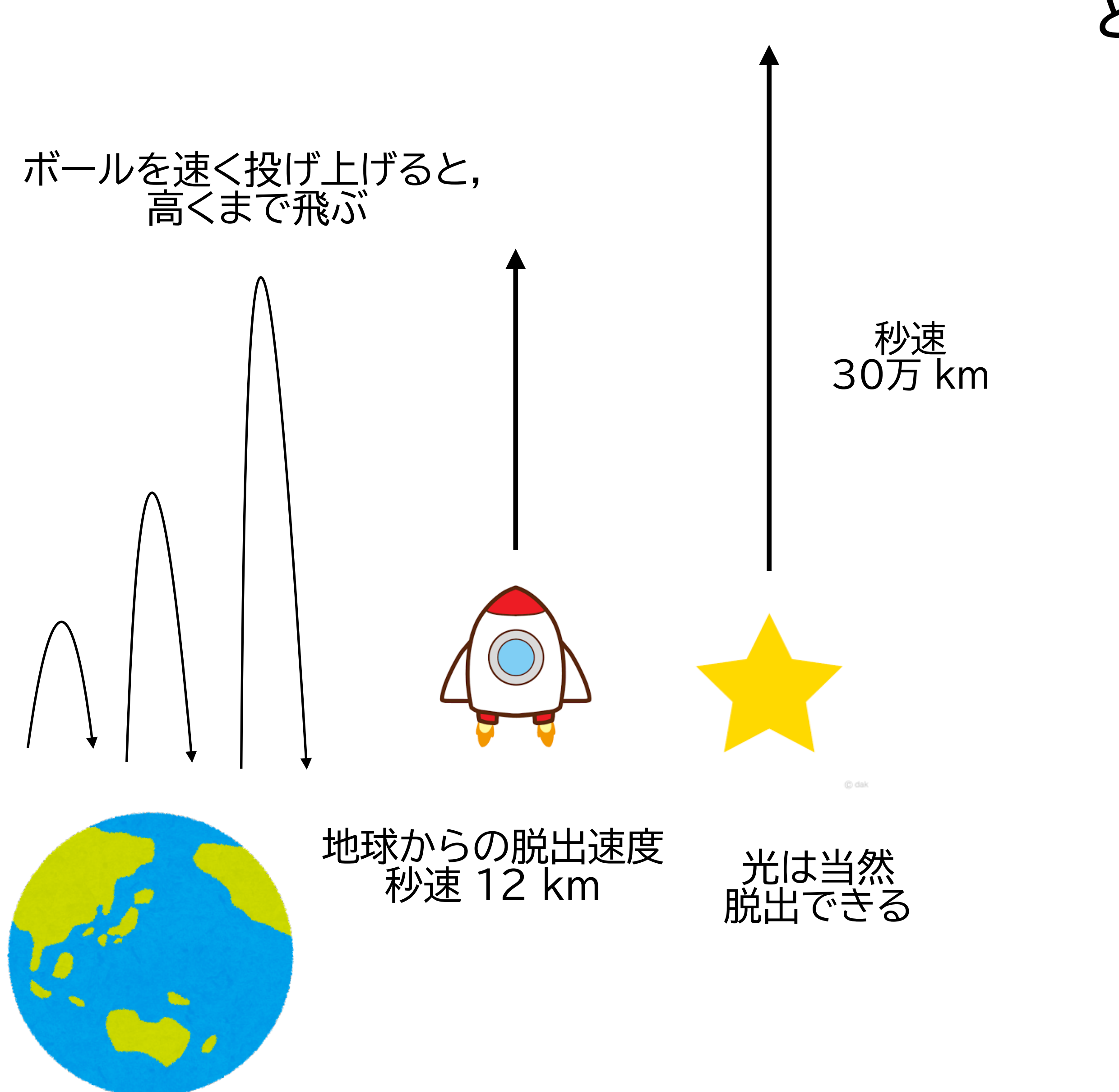




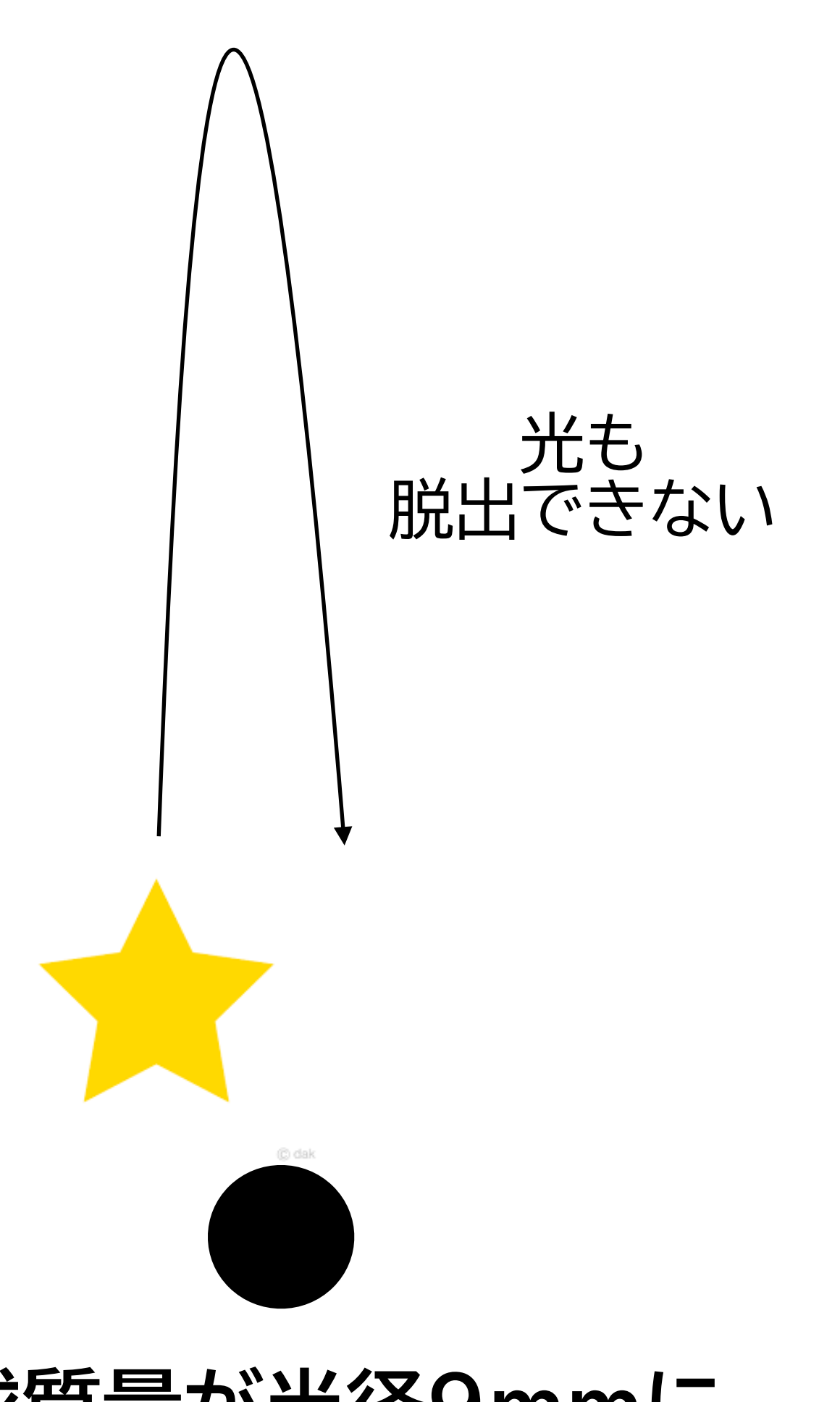




光も脱出できない天体とは・・・



とてつもなく 重くて小さな天体では



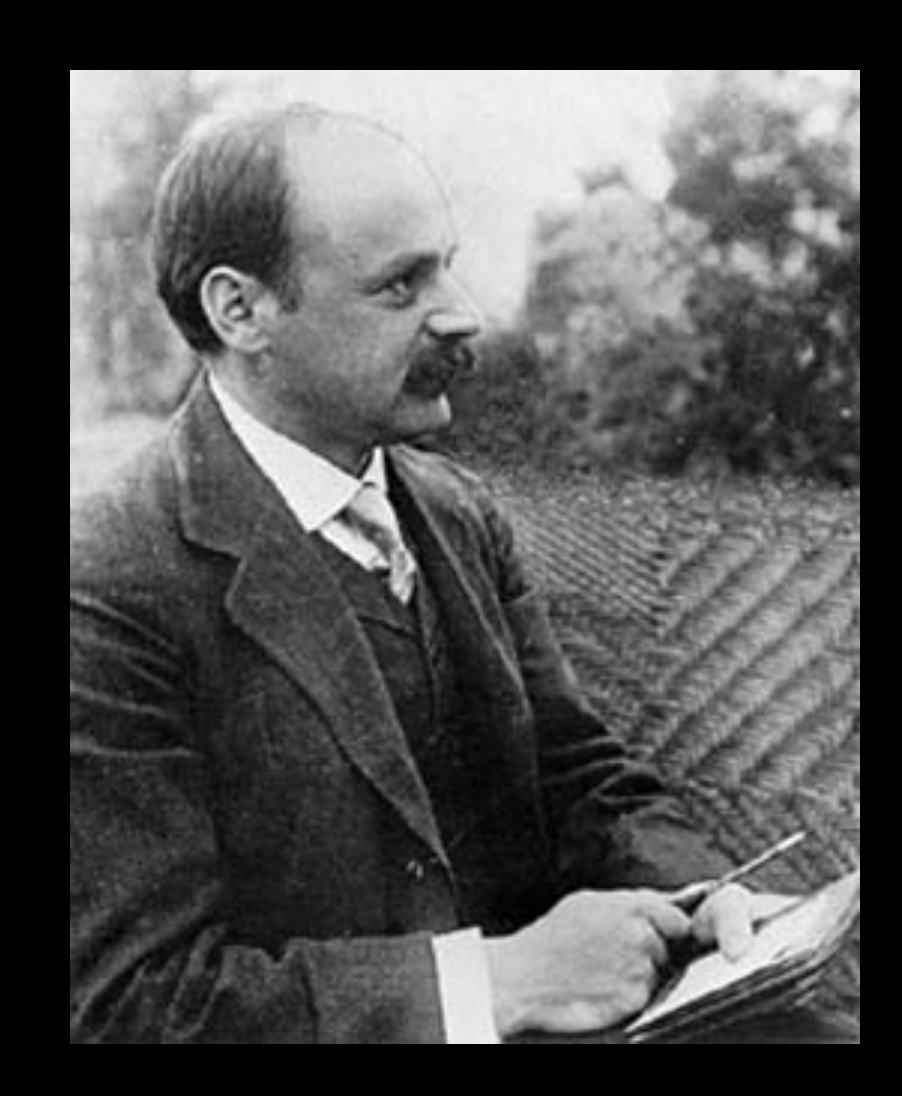
地球質量が半径9mmに なったら、

ブラックホール

アインシュタイン方程式の解 【シュヴァルツシルド解】

Schwarzschild (1916) 球対称, 真空での方程式の厳密解

$$ds^{2} = -\left(1 - \frac{2GM}{c^{2}r}\right)c^{2}dt^{2} + \frac{dr^{2}}{1 - \frac{2GM}{c^{2}r}} + r^{2}(d\theta^{2} + \sin^{2}\theta d\varphi^{2})$$



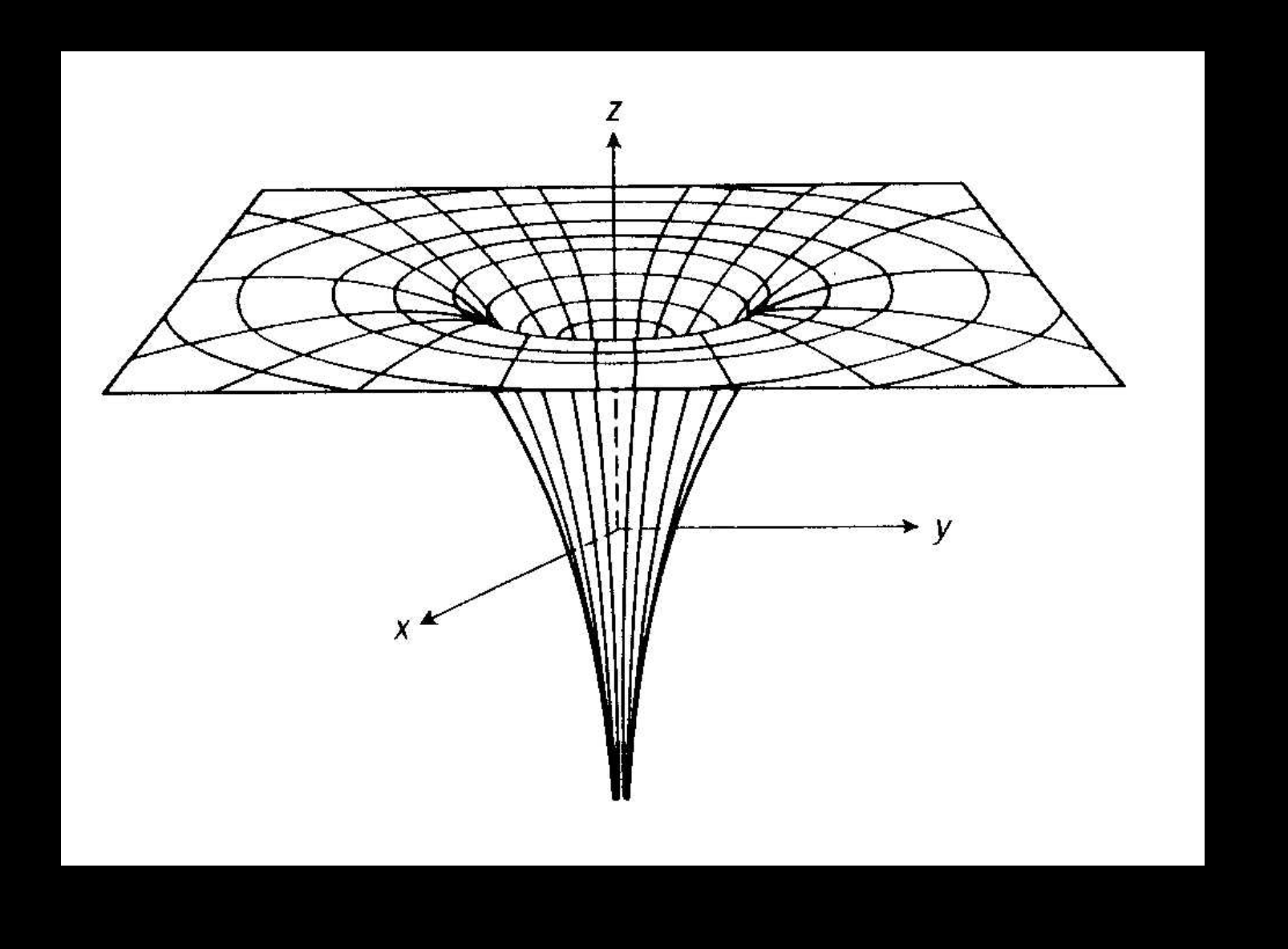
困ったことに、・・・・・・

r=0 で特異点

⇒ 今でも困ってる

r=2GM/c² でも特異点

⇒ブラックホールの境界

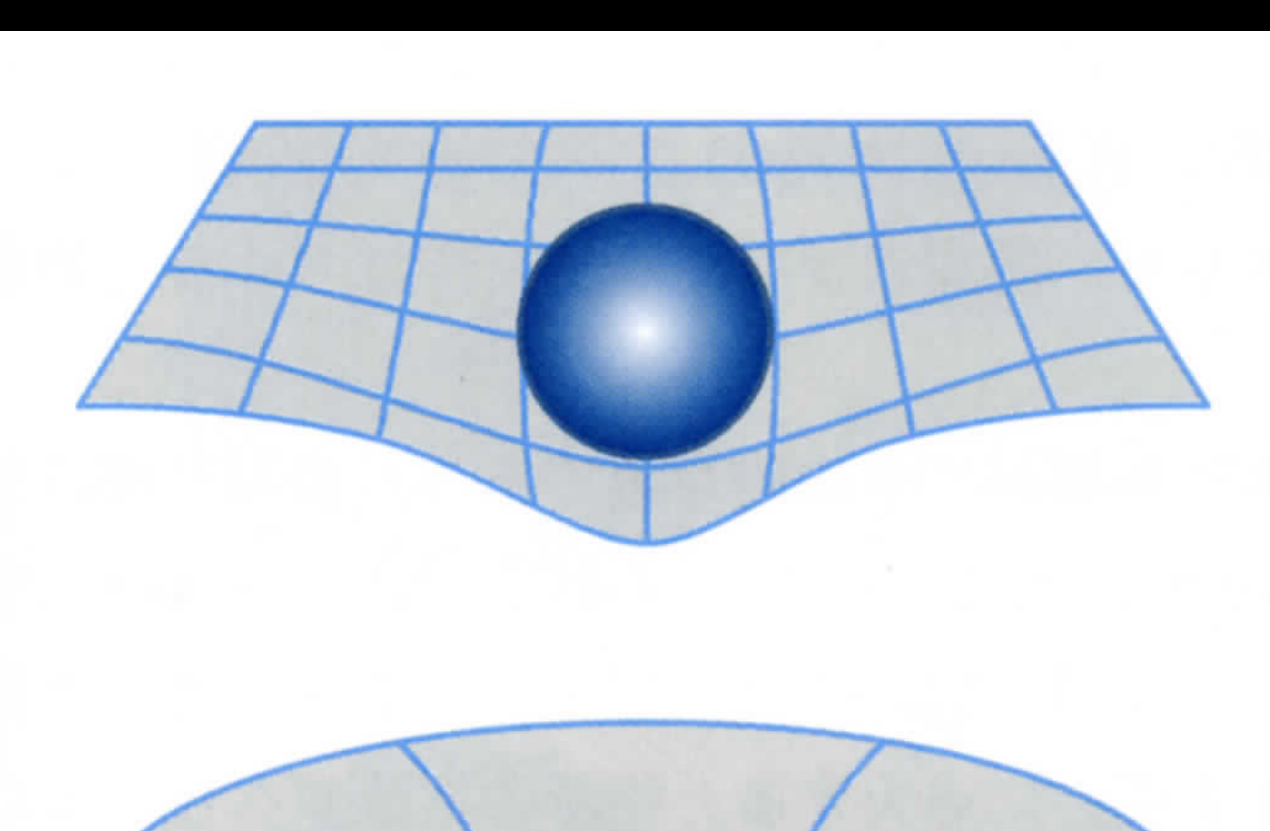


ブラックホール

ブラックホール

- =重力が強すぎて、光さえも 出られない天体
- =因果的に隔離される領域

境界=地平面 (ホライズン)



重い物体のまわりでは 時空がゆがむ。



非常に重い物体のまわりでは時空が大きくゆがんで、ブラックホールになる。

光さえも脱出できない、巨大な重力をもつこんな天体を「ブラックホール」と命名しよう。

ここから内側からは光さえも外向きに脱出できない。

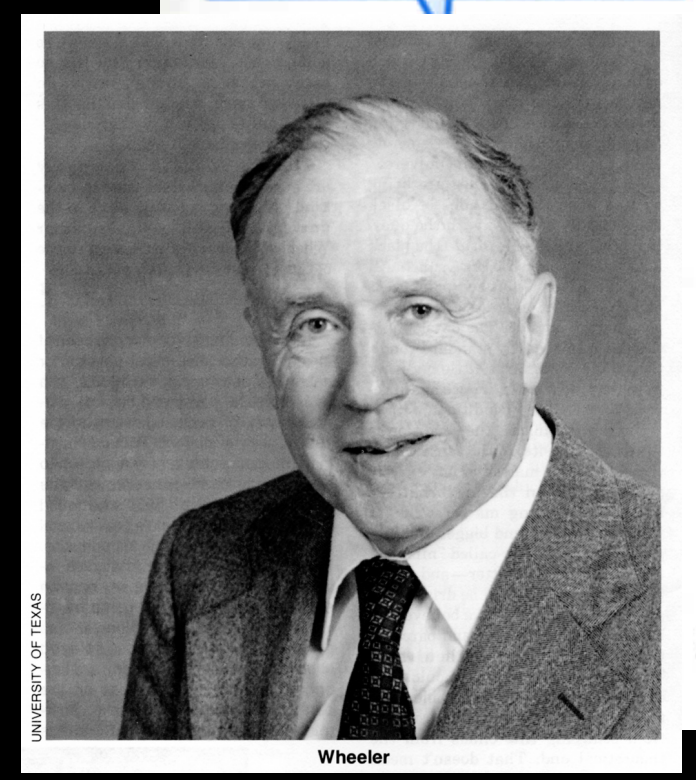
=時空の地平面 (event horizon)

大きさはシュワルツシルト半径 r

$$r = \frac{2GM}{c^2}$$

(M:物体の質量, G:重力定数, c:光速度)

太陽なら半径3km、地球なら半径9mmにそれぞれの全質量を押しこめば、ブラックホールになる。



ホィーラー

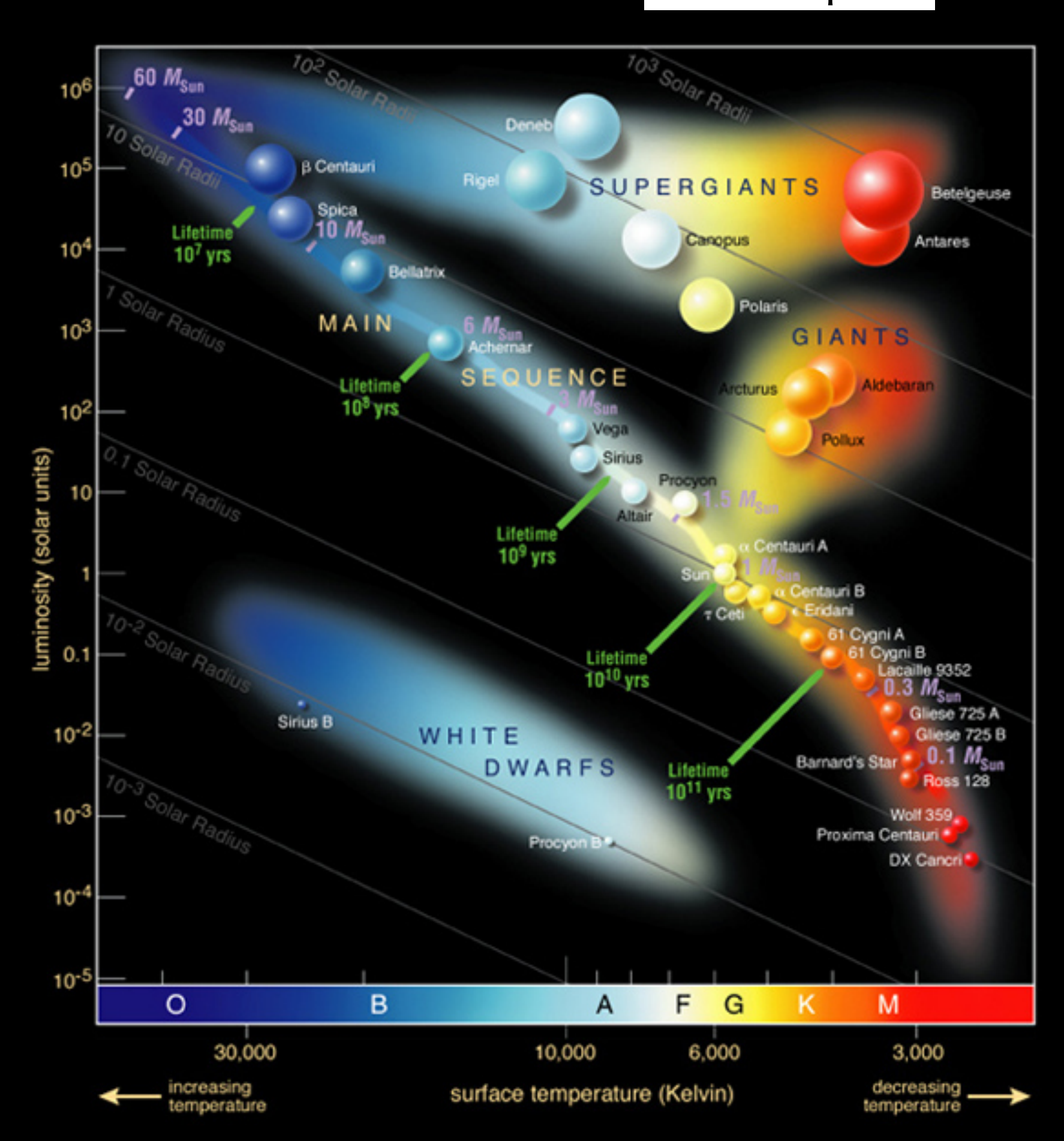
本当に、このような天体は存在するのか、

1920年代, 星の燃える理由が, 核融合による E=mc² の式で説明できることがわかった.

教科書 p79

ヘルツシュプルング・ラッセル図で、主系列な星が、星の一生の経路と理解された。

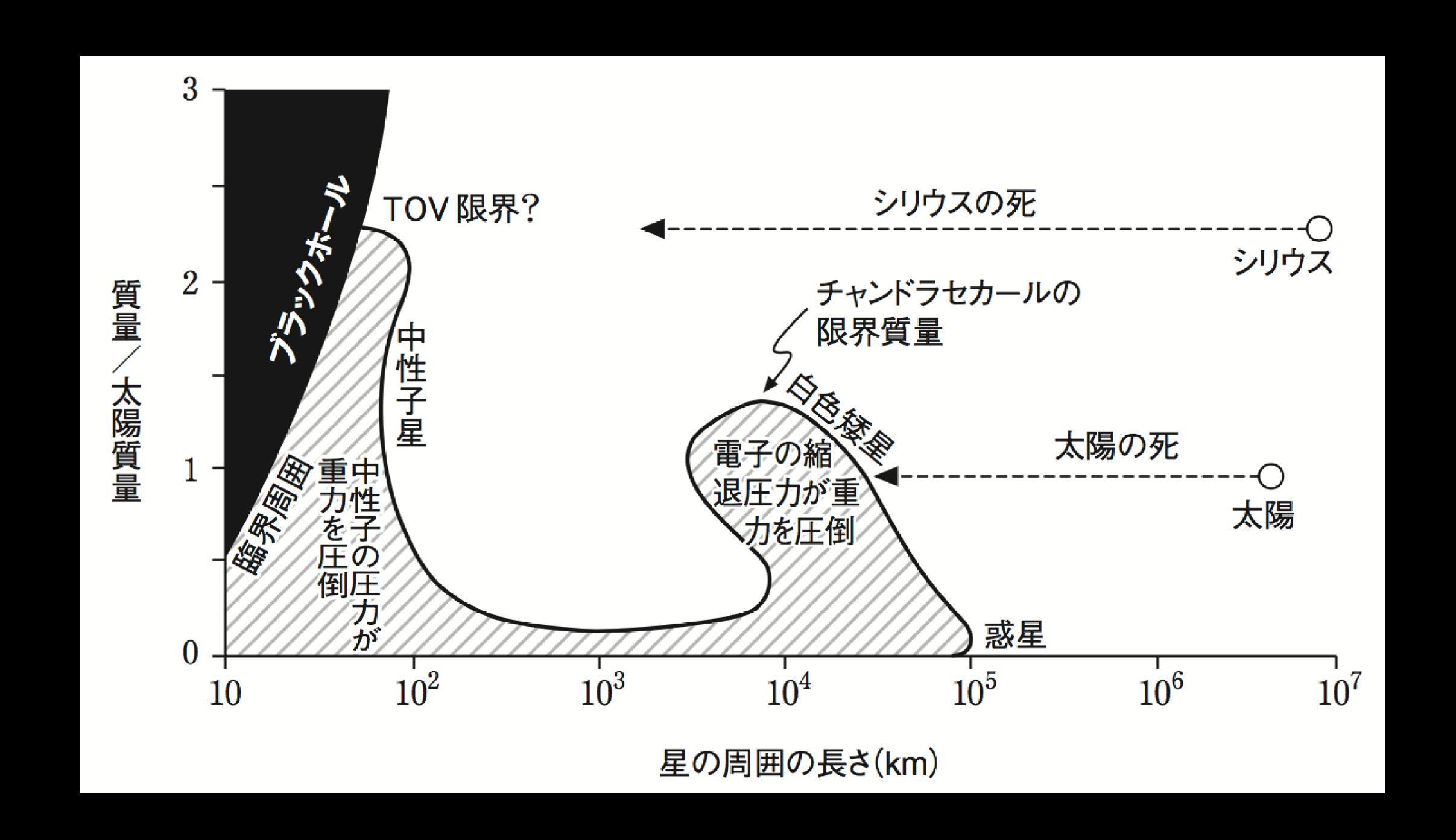
暗い星「白色矮星white dwarf」が発見される。燃え尽きた星が電子の縮退圧で支えられている星だと考えられた。



本当に、このような天体は存在するのか.

1930年代はじめ、チャンドラセカールは、白色矮星の質量に上限(1.4x太陽質量)があることを発見する.





これより重い星は永久につぶれてしまう?? 大論争がおきる

重い星が燃え尽きるとブラックホールに

星の輪廻

星(恒星)の一生を決めるのは、どれだけの質量があるか、そしてどのように燃えていくかの2つの要素だ。巨大な星は、核燃料の消費もはやく、数万年くらいの寿命しかないが、小さな星は現在の宇宙年齢の数倍も燃焼し続ける可能性がある

褐色矮星*はよく「星のなりそこない」と呼ばれる.水素の核融合反応に点火するほどの質量を持てなかった星の残骸だからだ.これらの星は,まわりの空間に熱を放出して,ゆっくりと死んでゆき,やがて消えてゆく.巨大なガス惑星と同じなので,「できすぎた惑星」と考えてもよいかもしれない.[*訳注:矮星(dwarf)は,小さな星という意味.]

赤色矮星は小さいけれども水素の核融合を起こすことのできる星だ. 低い温度で燃えるために, 宇宙が今の何倍の年齢になったとしても薄暗く輝き続けることができる. 宇宙にある多くの星は -- 全体のおよそ75パーセントの星は -- 赤色矮星である.

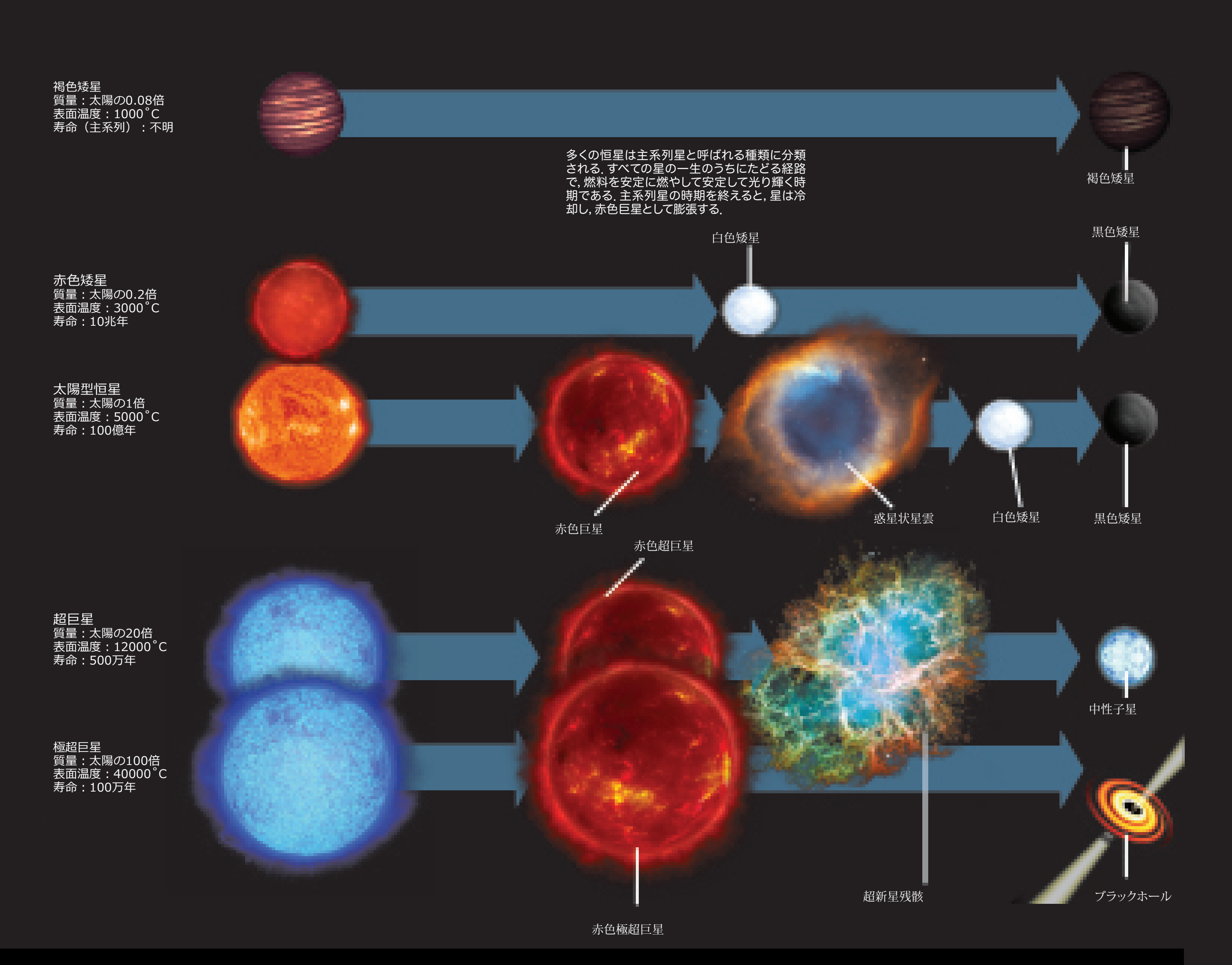
太陽型恒星(あるいは黄色矮星)は、水素とヘリウムの両方の核融合反応に点火できる十分な質量を持つ星だ、これらの星がヘリウムを失ったあとは赤色巨星になり、周囲のガス層を照らして惑星ガス雲とし、そしてやがて白色矮星となる、100億年以上の時間をかけて(もし宇宙がそれだけ長く続くならば、だが)、これらの星はゆっくりと冷却して、黒色矮星になってゆく。

超巨星や極超巨星は、星の仲間たちからみても病的に肥満している星である。太陽の10倍から数百倍の大きさの質量のものは、燃料の消費も大きく、数十万年程度の寿命である。

宇宙におけるすべての重元素の合成主の星たちは、その星のコアでひとたび鉄が合成されると、超新星として爆発する.

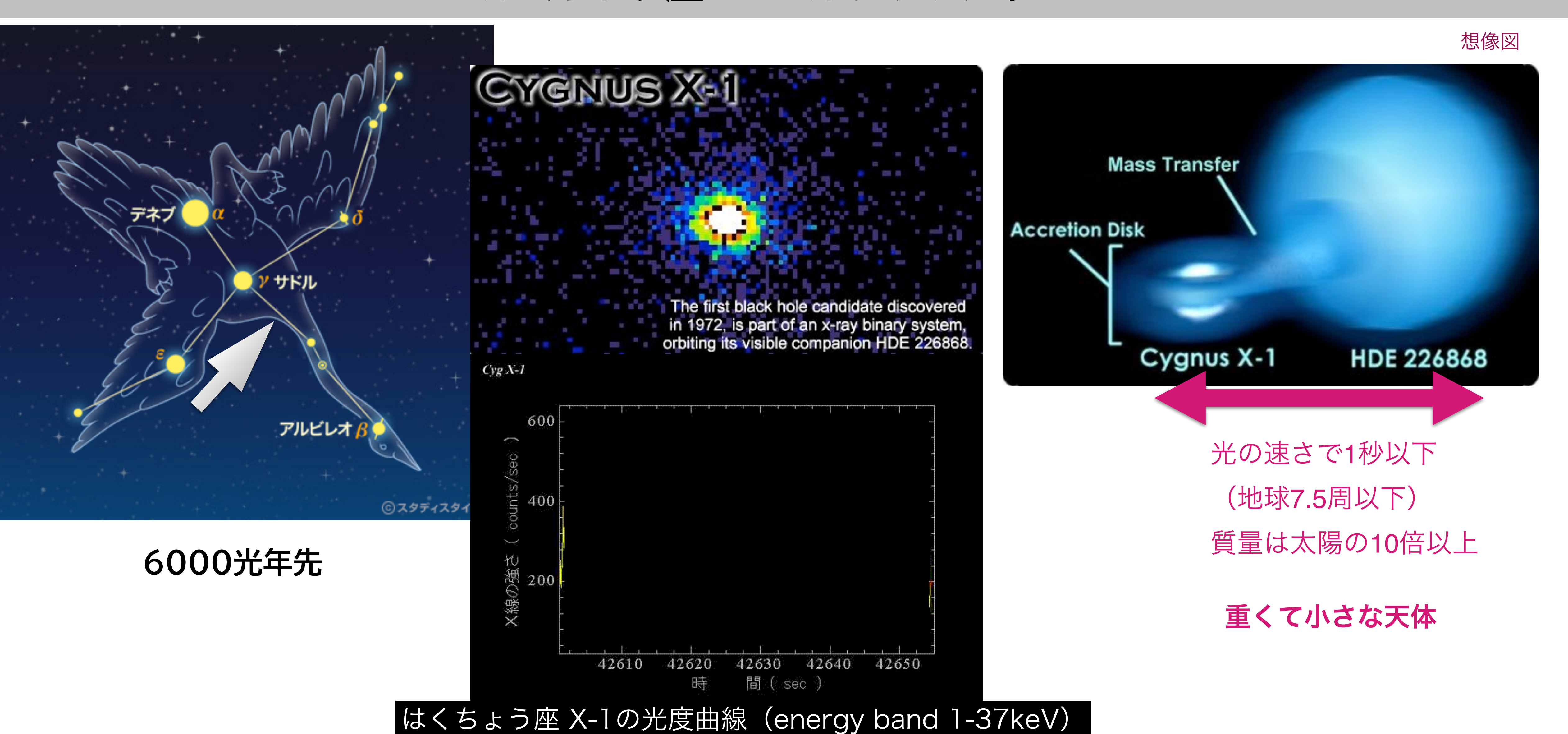
痩せている星は中性子星やパルサーとなって生き延びるが、肥満している星は、自分の巨大な体重で押しつぶされてブラックホールに変貌する.

図にした星の大きさは正しいものではない. 例えば, 太陽の20倍の質量をもつ超巨星は, 太陽の75倍の大きさになる. .



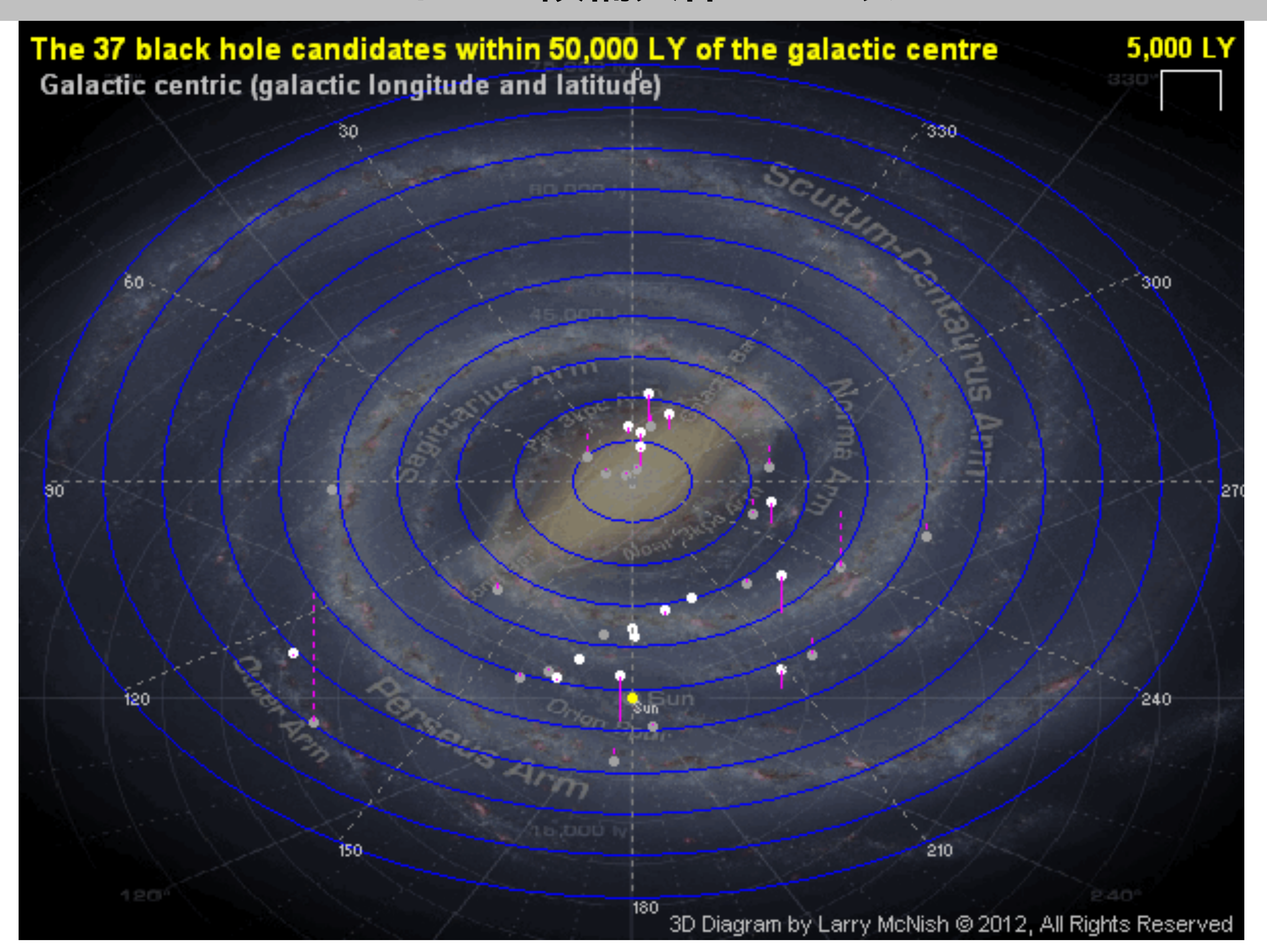
宇宙のつくり方(ギリランド著, 真貝・鳥居訳, 丸善出版, 2016年12月刊)

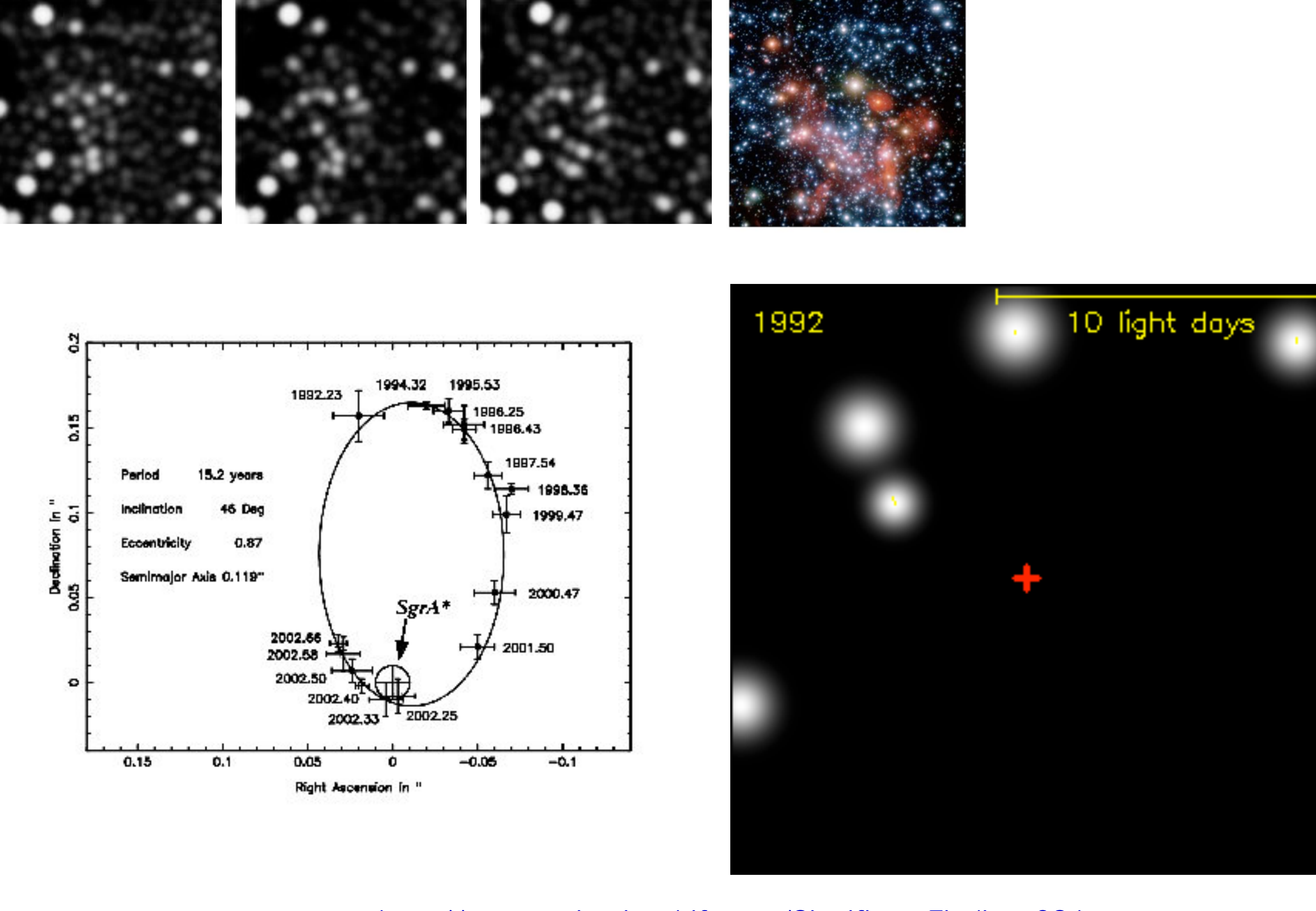
はくちょう座 X-1 はブラックホール



ブラックホール候補天体は50以上

http://calgary.rasc.ca/blackholes.htm

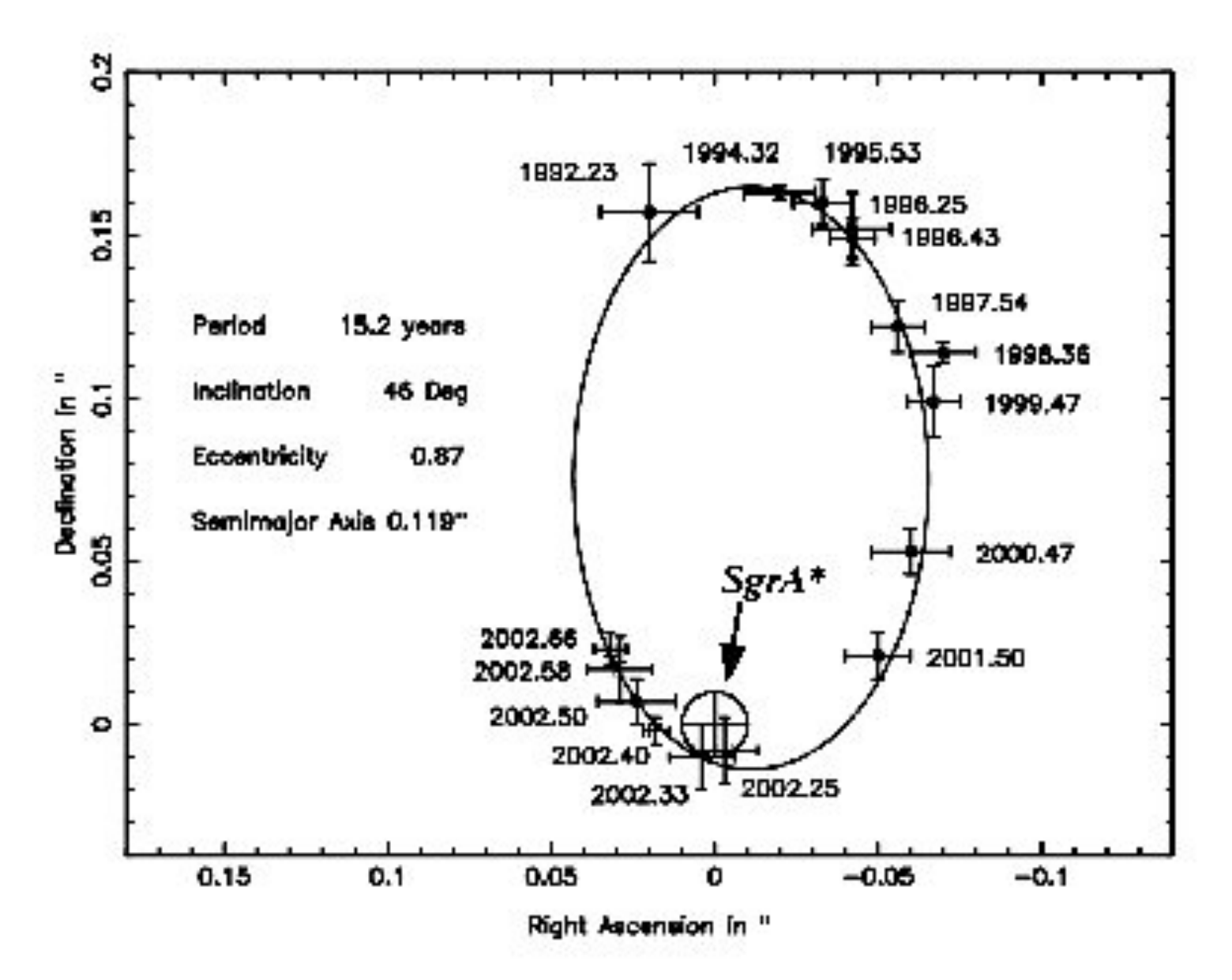




0.175 0.15 0.125 0.05 0.025 0.05 0.025 0 -0.025 -0.05 -0.075 R.A. (")

http://www.extinctionshift.com/SignificantFindings08.htm http://www.brighthub.com/science/space/articles/13435.aspx#

ブラックホールが存在することは, どうしてわかったのか?

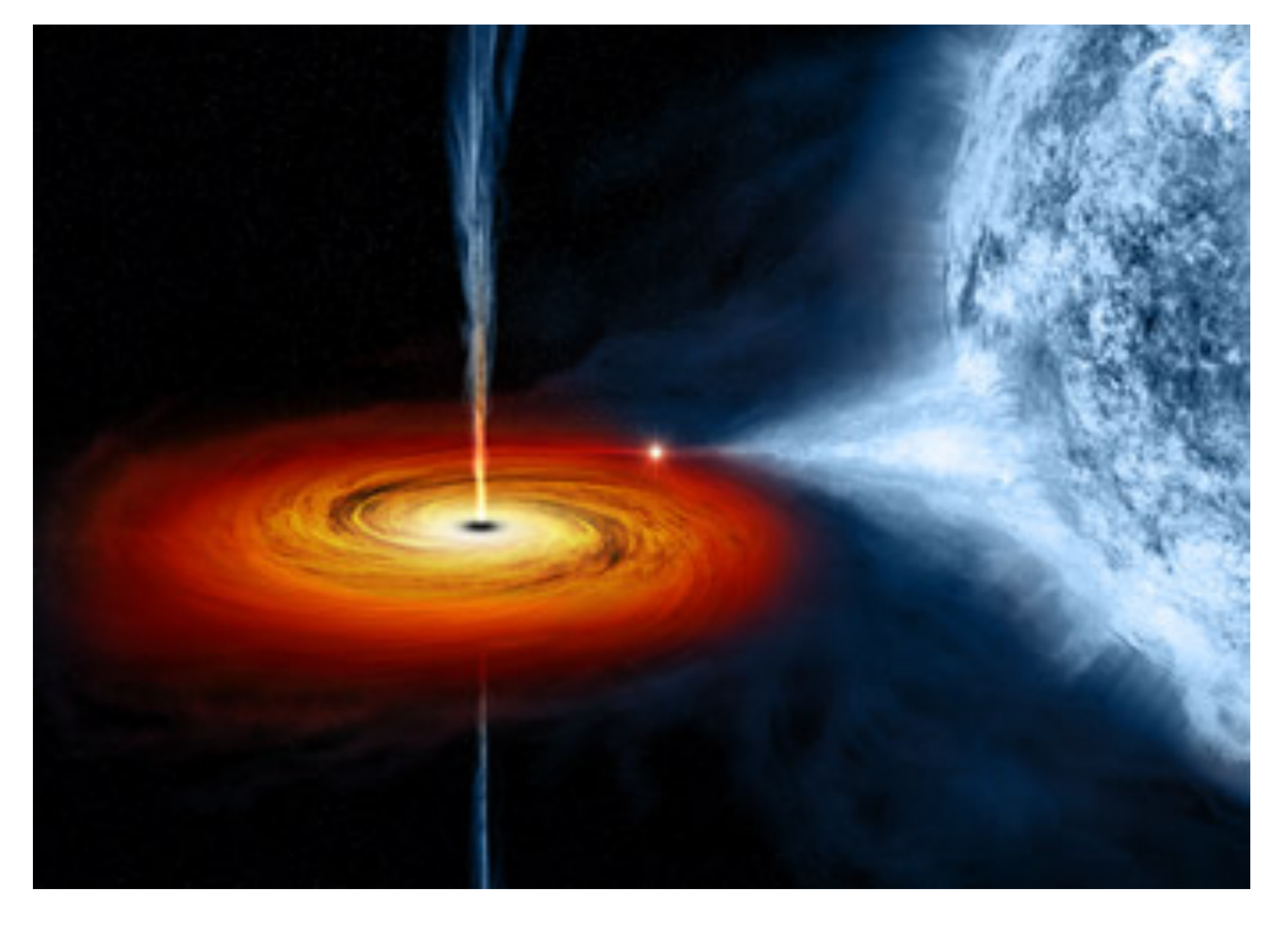


周りの星の激しい運動から 強い重力源であることがわかる

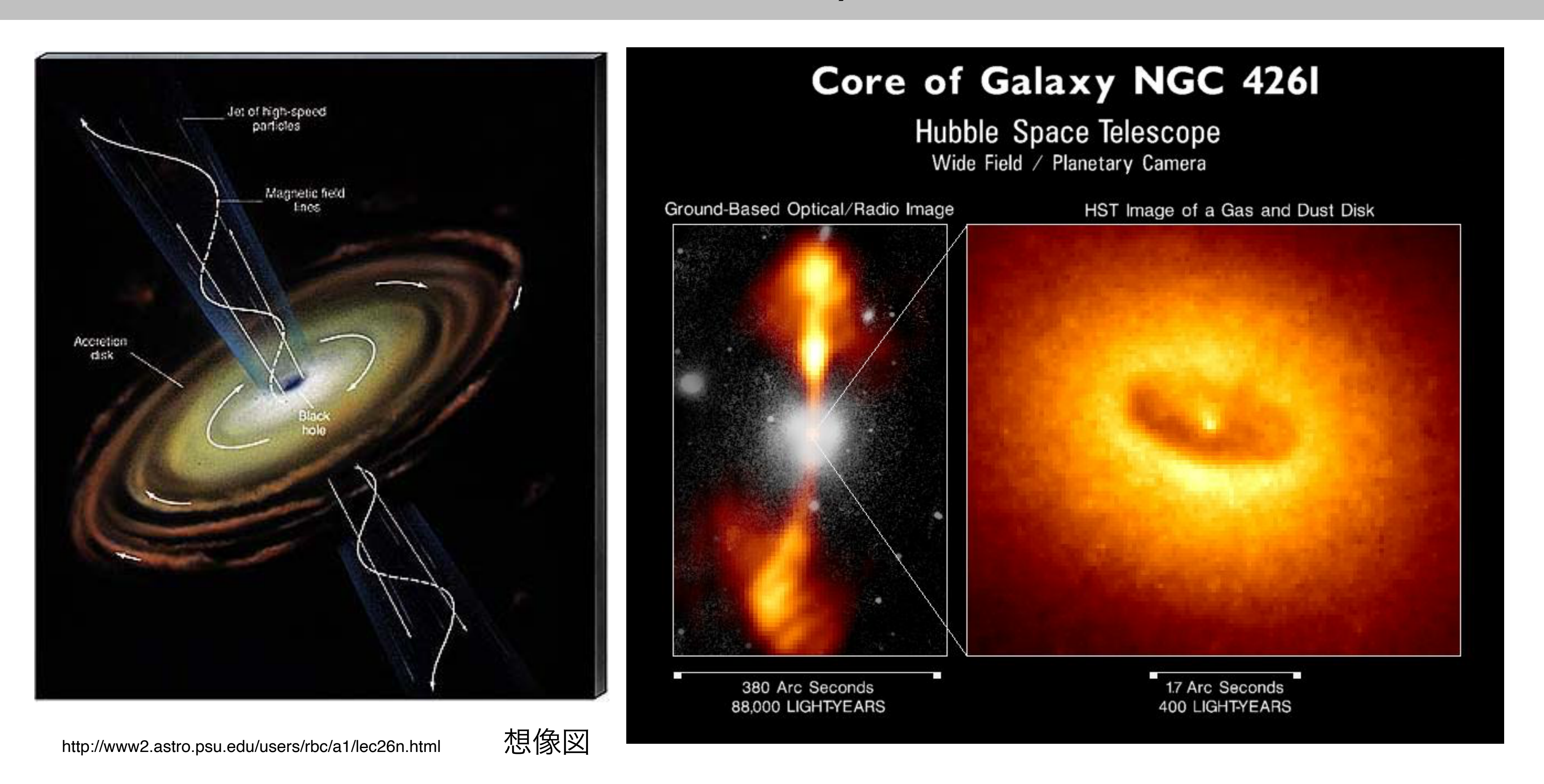
想像図

落下していくガスが 高い温度で輝く (降着円盤 accretion disk)

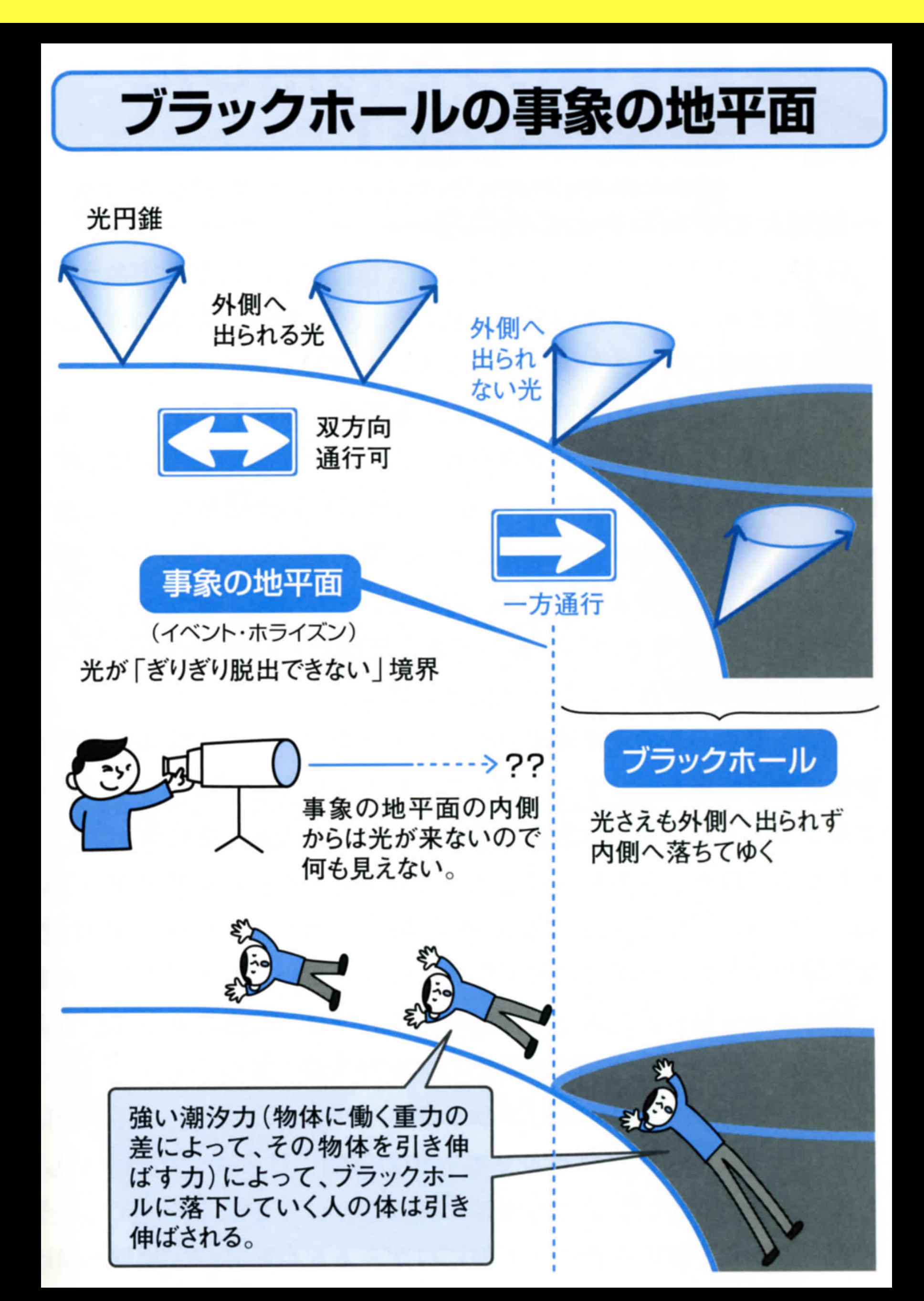
「ブラックホールは明るい天体」



ブラックホールが存在することは, どうしてわかったのか?



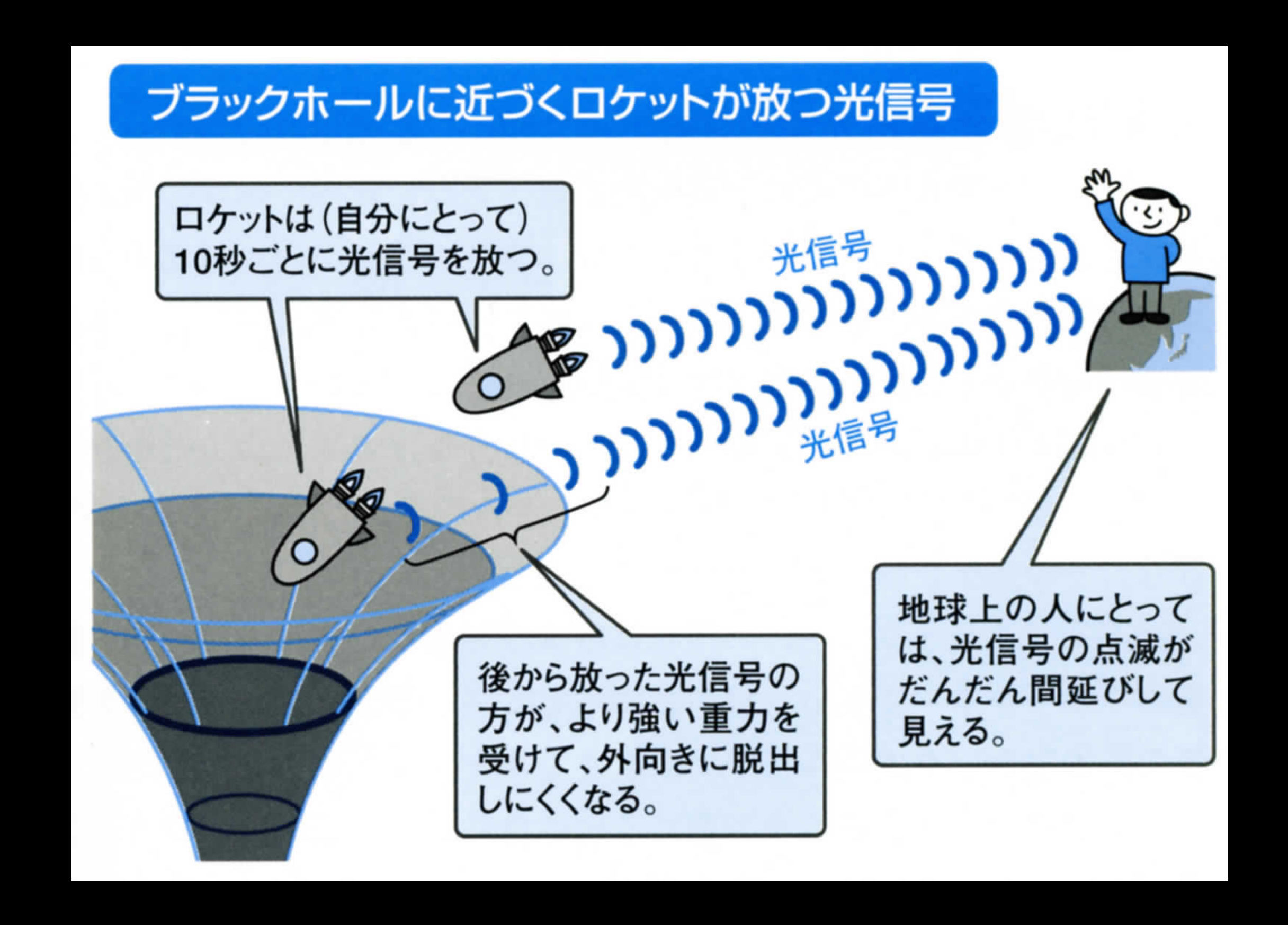
銀河中心からジェットが吹き出す (活動銀河核 active galactic nuclei)



光が無限遠方まで到達できない領域を ブラックホール とよぶ ブラックホール領域の境界を事象の地平面(Event Horizon) とよぶ

ブラックホールの内側は、非常に強い重力がはたらく強い潮汐力によって、落下する物体は引き伸ばされる





強い重力がはたらく空間と,平らな空間とでは時間の進み方が異なることになる.

強い重力のとき,時間の進み方は遅い



ブラックホールの地平面から放つ光信号

ブラックホールの

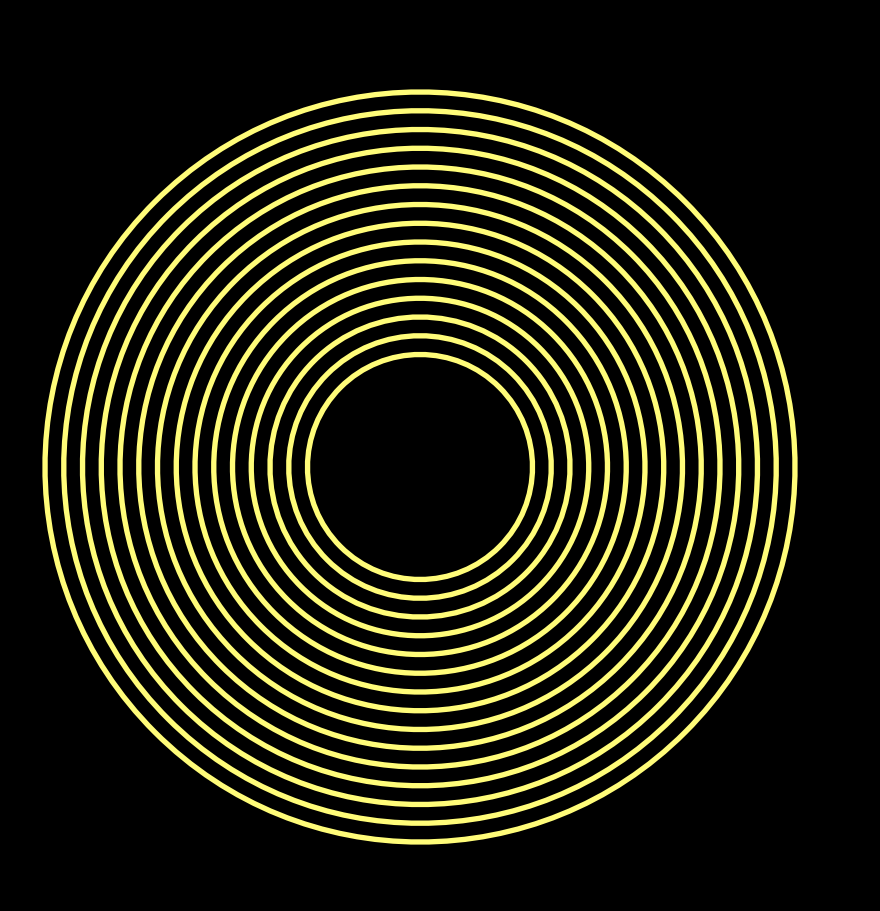
地平面

地平面から放った 光信号は外向きに 進めない。

光信号は無限に長く引き伸ばされる(つまり地球には届かない)ので、地球上の人にとっては、ロケット内の時間は止まってしまい、ロケットはいつまで経ってもブラックホールに到達できないように見える※。

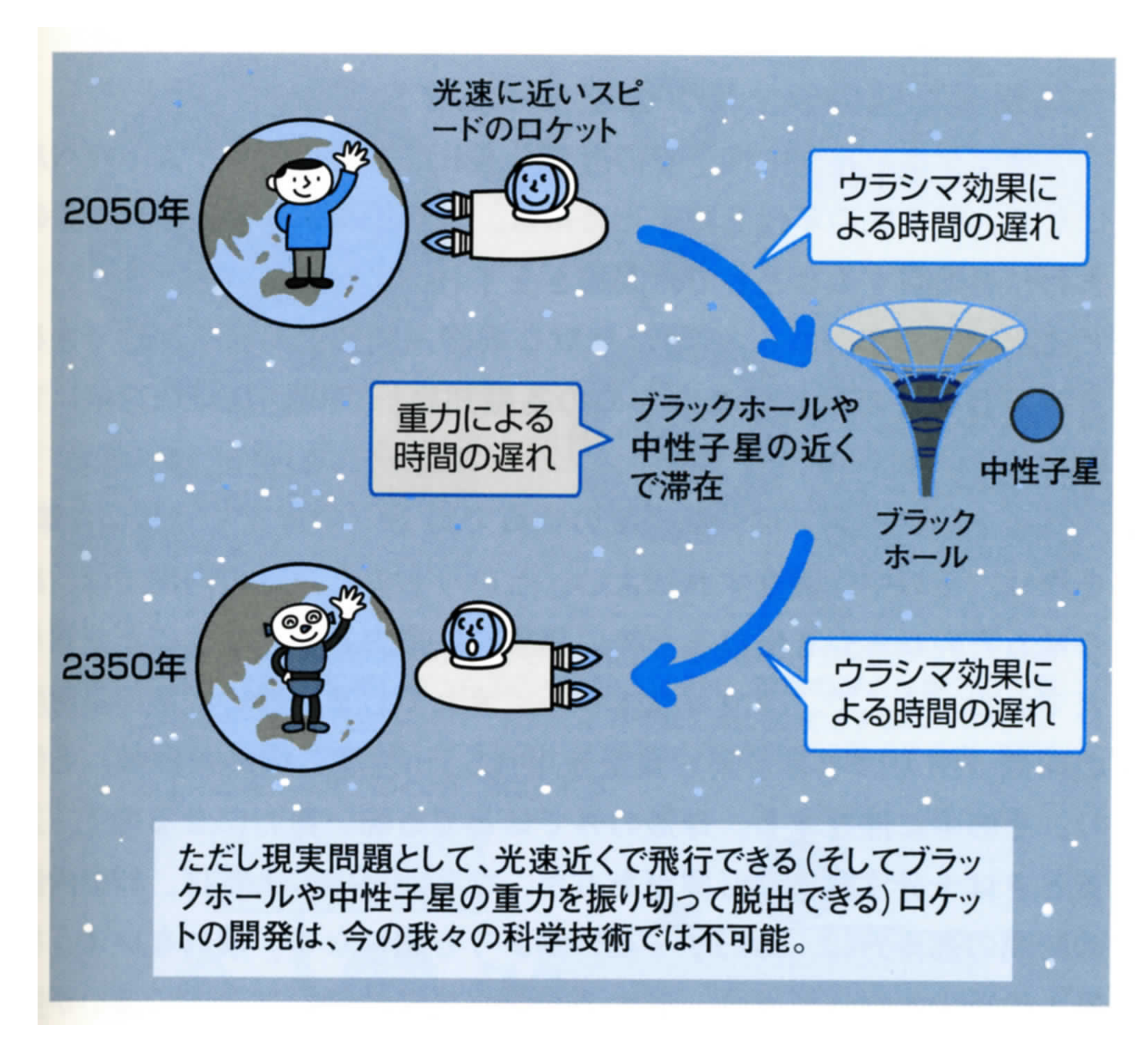


※ロケットは "実際には" 猛スピードで ブラックホールの地平面内に落下し ていくが、地球の人が「ロケットは永 遠にブラックホールに到達しない」と 見ることは誤りではなく、「時間の相 対性」に基づくものである。 ブラックホールに落下する人は,一瞬で終わり.地球上の人には無限の時間がかかるように見える.

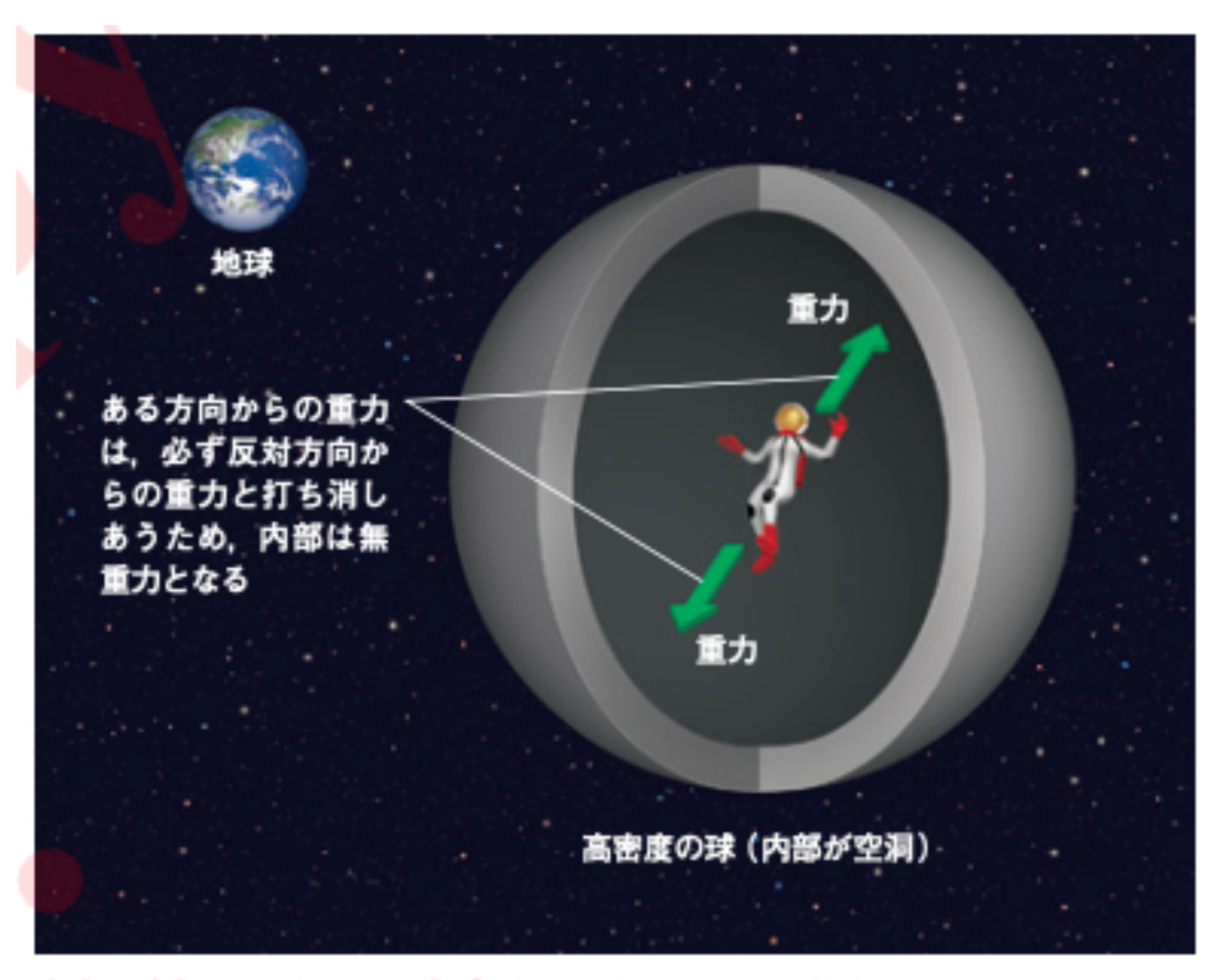


中心にあるブラックホールへ落ちていく宇宙ロケットが, 同じ間隔でパルス光信号を周囲に放つときの光信号の伝播 (光が次第にブラックホール近くから出てくるのに時間がかかる)

強い重力がはたらく空間では、時間の進み方が遅くなる



未来に行く第2の手段

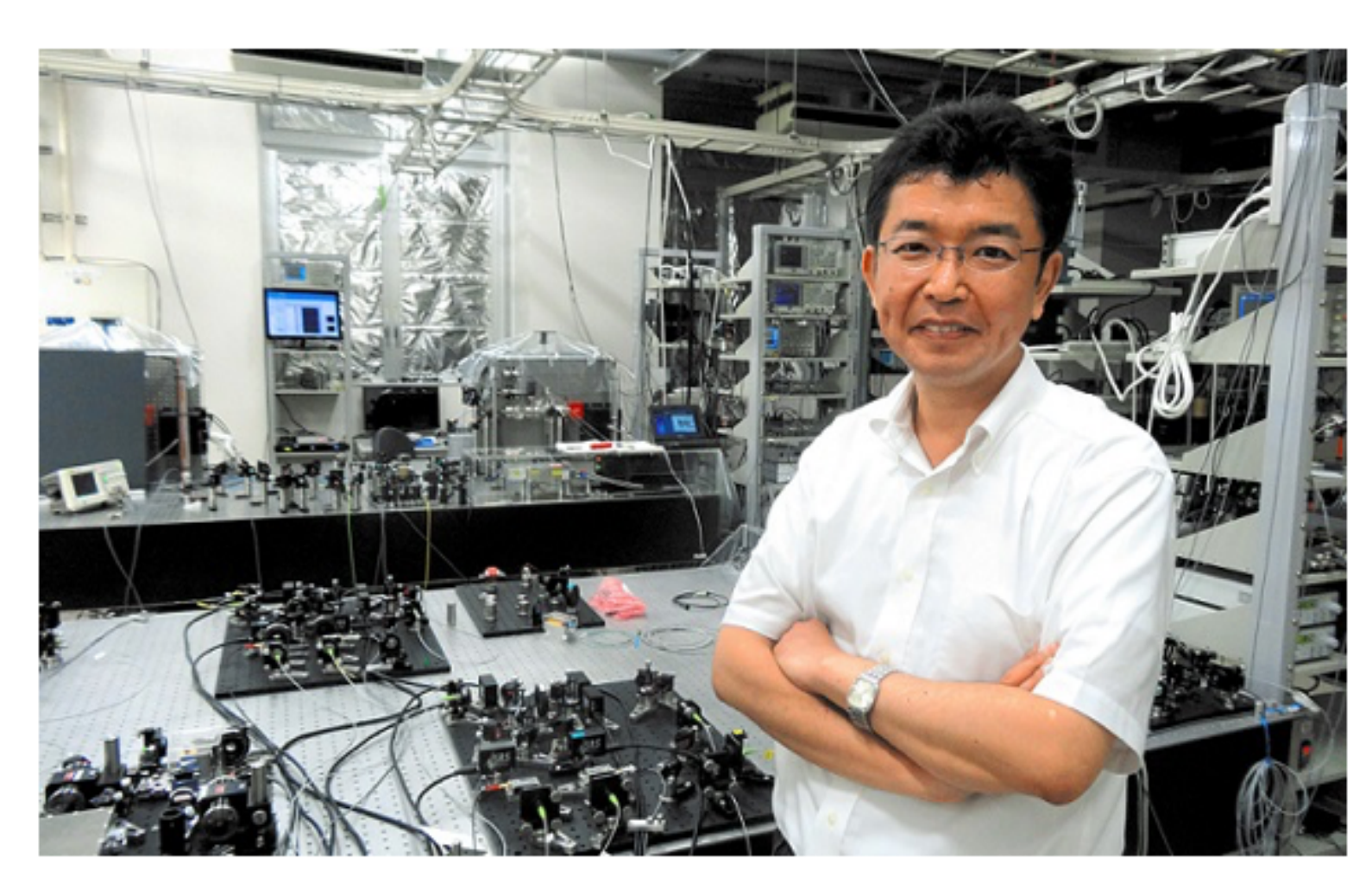


内部が空洞になった高密度の球に入って未来へ

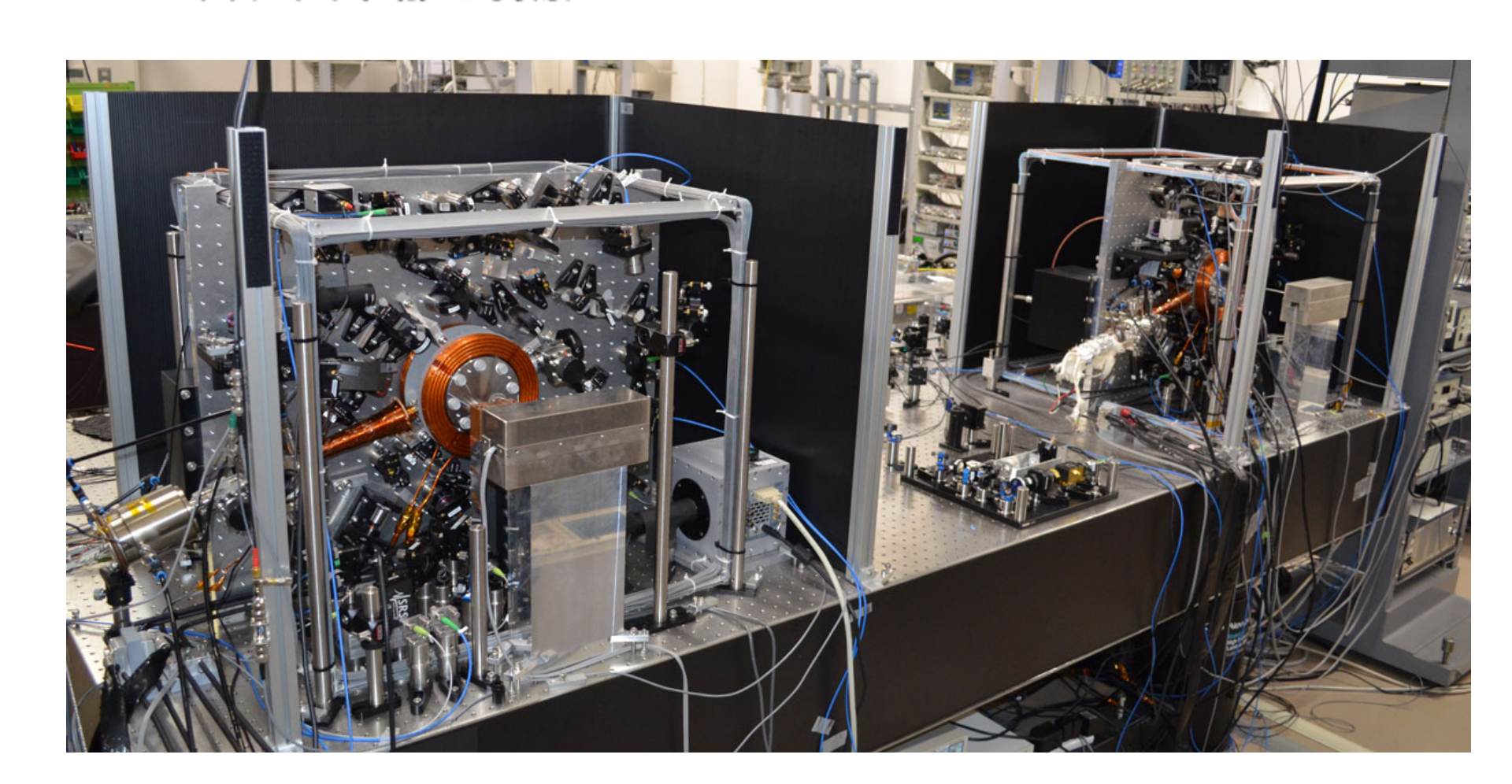
質量が大きい高密度な球をつくり、内部を空洞にします。内部では、周囲からおよぼ される重力が打ち消し合うため無重力となります。無重力ではあるものの、強い重力 をおよぼす球に囲まれているため、内部の空間の時間は地球にくらべてゆっくりと進 みます。木星程度の質量を半径6メートル程度の球にすると、その内部の時間が進む 速さは、外部にくらべて20%程度になるといいます。球の内部で1年すごせば、地球 では5年程度がすぎるのです。

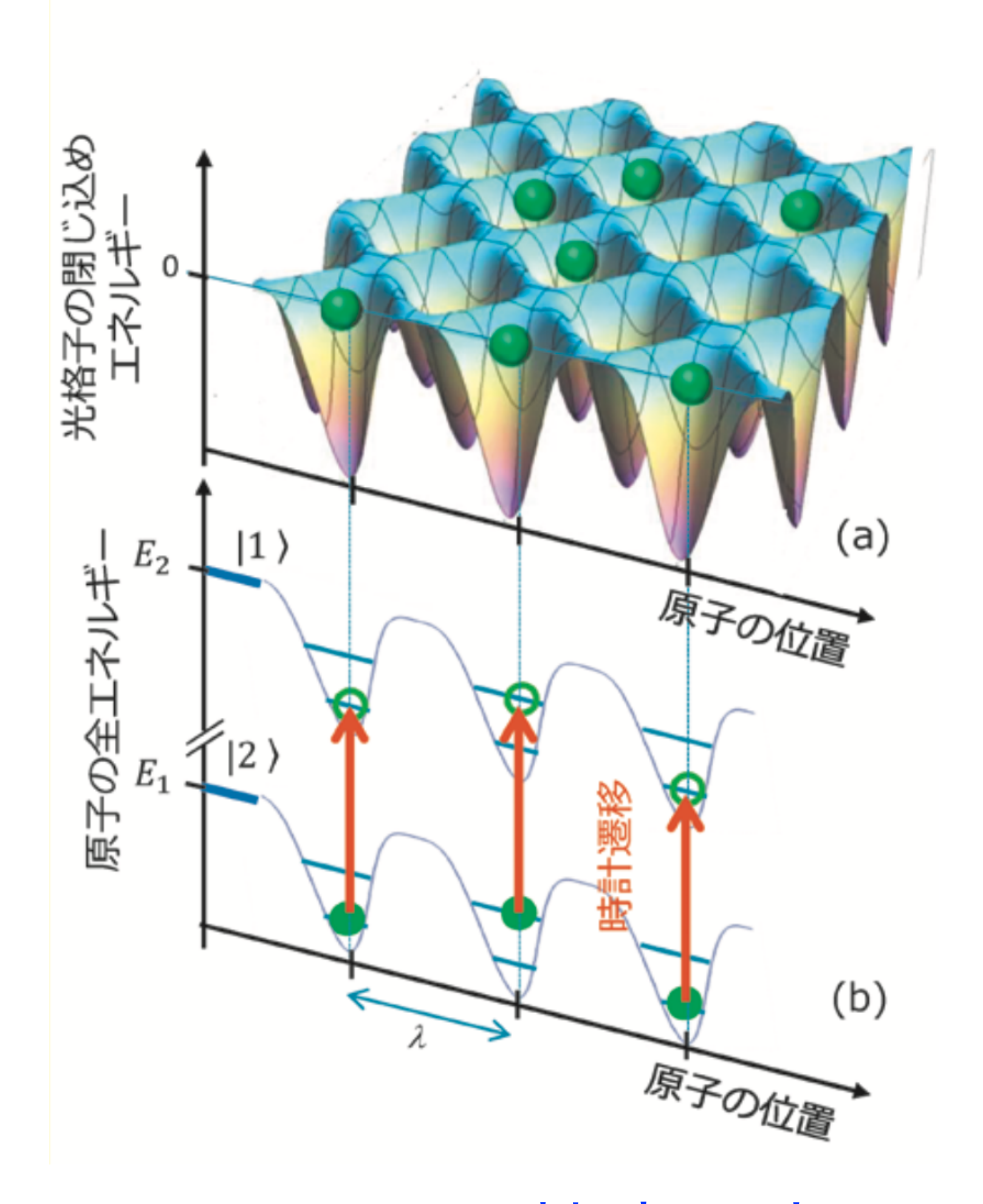
別冊ニュートン 相対性理論(2023/1)

もつとも精密な時計=光格子時計



光格子時計を開発した香取秀俊東京大学教授 兼理化学研究所招聘主任研究員=2013年7月 31日、田中郁也撮影





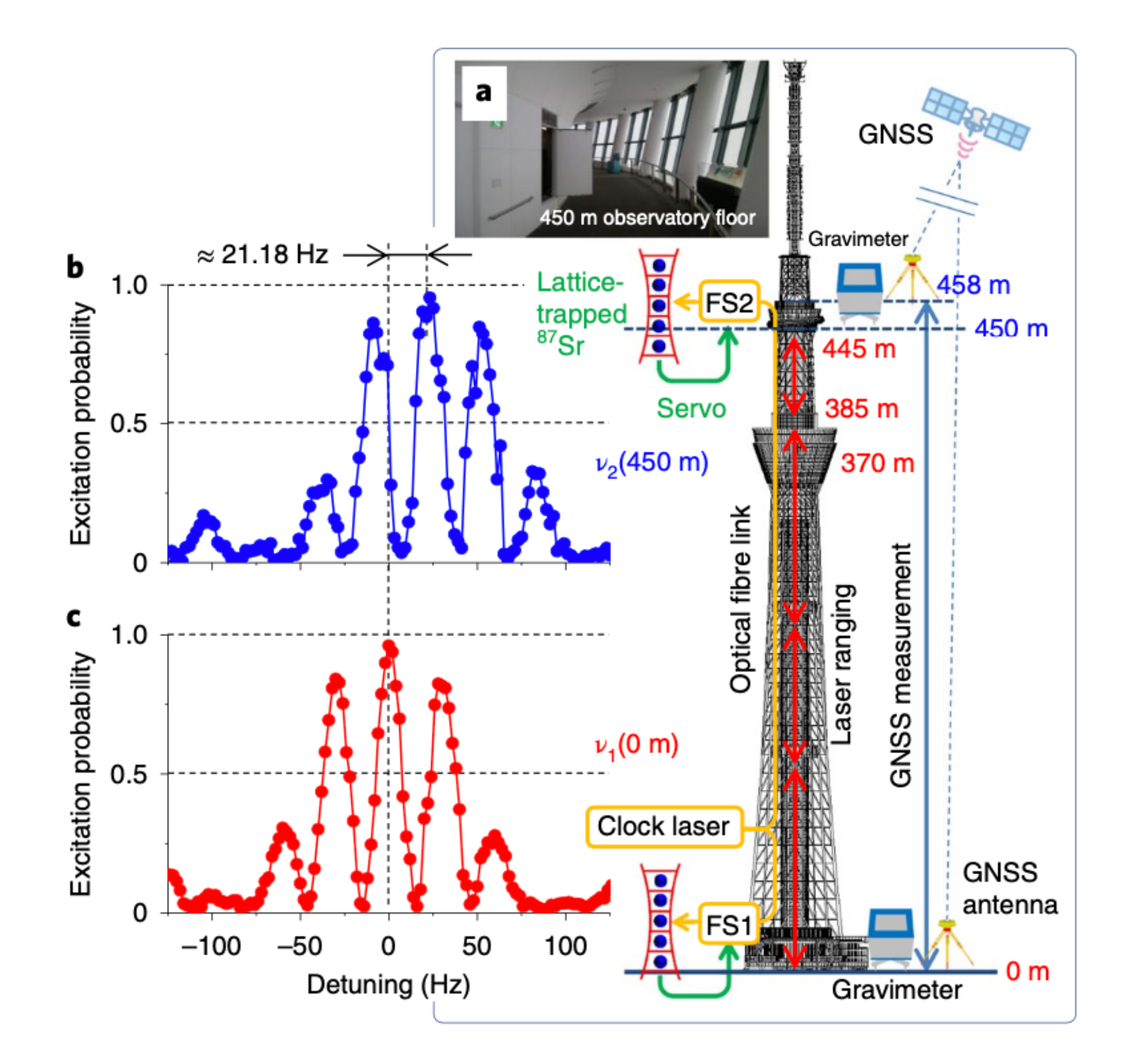
10⁻¹⁸ の精度を実現 (300億年でずれは1秒以内)

スカイツリーの上下で時間の進み方が違う

アインシュタインの相対性理論によれば, 重力の強いところでは時間の進み方が遅くなる

地上と450mの展望台に光格子時計を設置して検証

図 6: 東京スカイツリーでの一般相対論検証実験の概要. 地上階と展望台に設置した2台の可搬型光格子時計を 光ファイバーでつなぎ、周波数比較を行った. 一方、2台の時計の標高差を従来の測量手法(GNSS 測量および レーザー測距)によって計測した. 時計遷移を分光して得られたスペクトルでは、標高差450メートルに相当す る約21ヘルツの周波数シフトが観測された.



Nature Photonics, 14 (2020) 411



Test of general relativity by a pair of transportable optical lattice clocks

Masao Takamoto^{1,2}, Ichiro Ushijima^{©3}, Noriaki Ohmae^{©1,2}, Toshihiro Yahagi⁴, Kensuke Kokado⁴, Hisaaki Shinkai^{©5} and Hidetoshi Katori^{©1,2,3} ⊠

スカイツリーの上下で時間の進み方が違う

アインシュタインの相対性理論によれば, 重力の強いところでは時間の進み方が遅くなる

地上と450mの展望台に光格子時計を設置して検証

LETTERS **NATURE PHOTONICS** 49,340 49,330 49,320

1週間の計測。平均して、差が

$$\frac{\Delta\nu}{\nu} = (49337.8 \pm 4.3) \times 10^{-18}$$

レーザー測距では

$$\frac{g\Delta h}{c^2} = (49337.1 \pm 1.4) \times 10^{-18}$$

相対性理論の正しさを

$$(1.4 \pm 9.1) \times 10^{-5}$$

の精度で検証したことになる

もつとも精密な時計=光格子時計



冷蔵庫サイズの時計で、高度差450mを ±数cm で測定できる.

光格子時計の社会実装に向けた大きな一歩. 今後,地殻変動や火山活動の監視など,相対論 的測地技術の実用化が期待される.

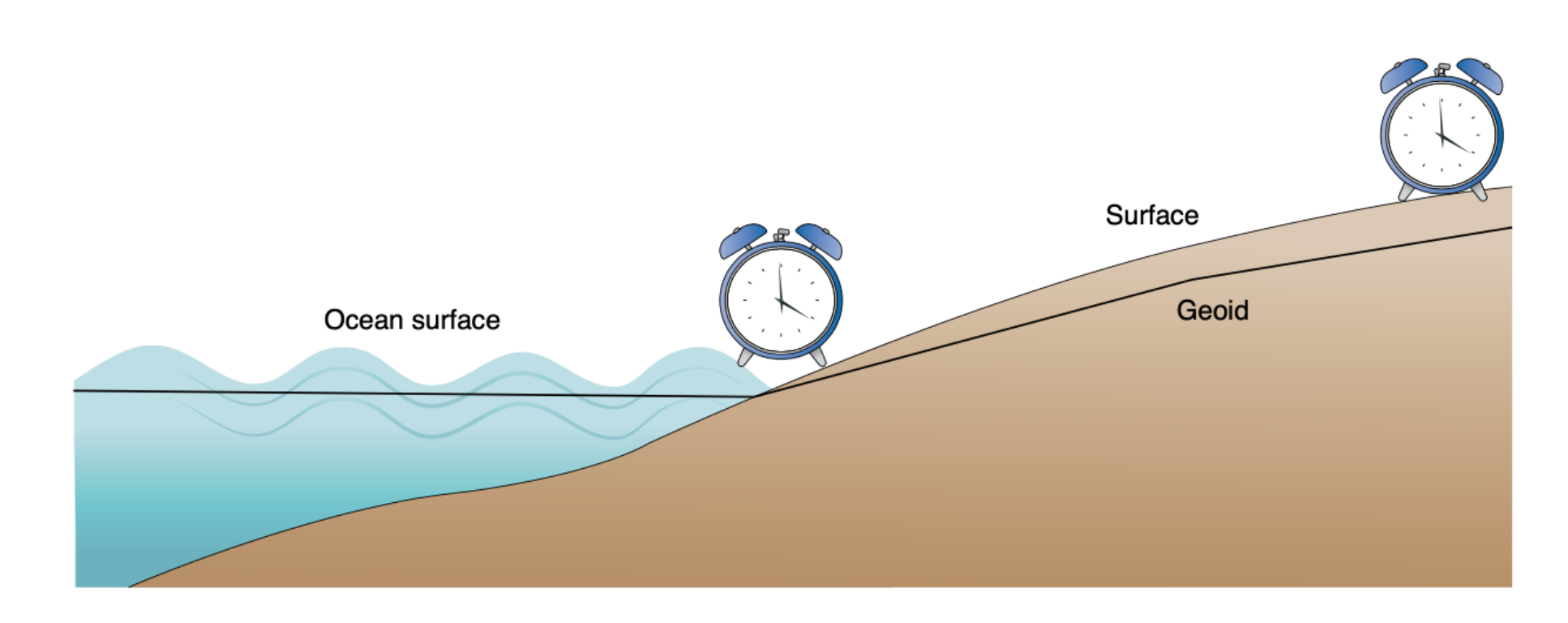
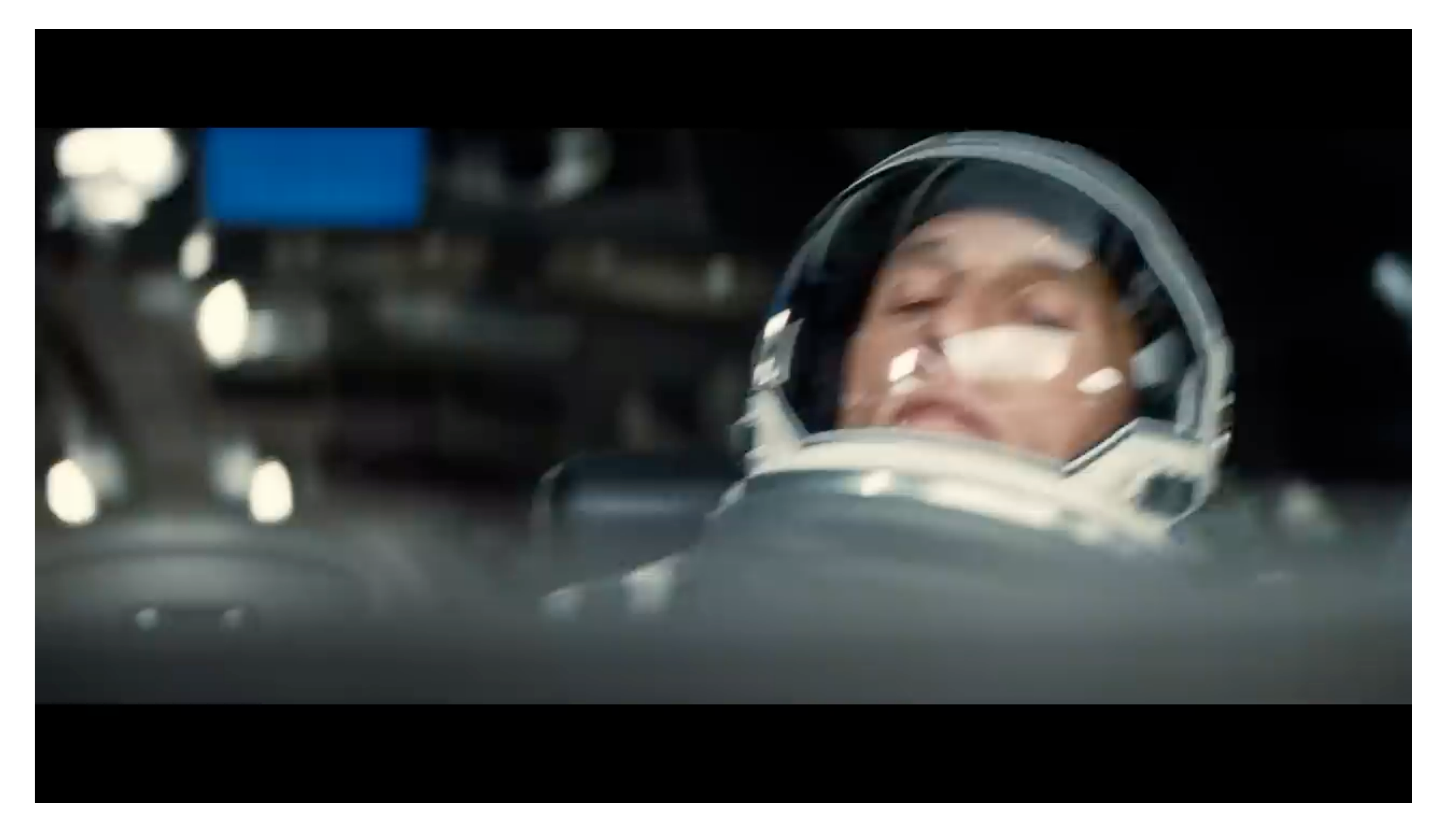


Fig. 1 | **Illustration of how in the future relativistic geodesy might be done with clocks.** The geoid is an equipotential surface of the Earth's gravitational potential, indicated by the black line. While the mean ocean surface is closely aligned with the geoid, the surface of land can significantly differ. Placing one clock at sea level and one at an inland location allows to determine the geoid height via a frequency comparison between the clocks.

K.Bongs & Y.Singh, Nature Photonics 14 (2020) 408



Interstellar | "Tidal Wave" Full Scene (Anne Hathaway, Matthew McConaughey) | Paramount Movies



チャンネル登録

△ 2.2万 ▽

7

☆ 共有 ※ クリップ



Interstellar | "Tidal Wave" Full Scene (Anne Hathaway, Matthew McConaughey) | Paramount Movies

浦島効果特殊相対性理論編

等速運動で 3年=300年

コラム 16 浦島効果:未来へ行くタイムトラベルは可能!

特殊相対性理論によれば、高速で動いている人ほど 1 秒の間隔は開いてくる。計算式で表すと、速度 v で移動している人の時間 $\Delta T'$ は、静止している人の時間 ΔT と同じではなく、次式になる。

$$\Delta T' = \sqrt{1-(v/c)^2}\,\Delta T$$
 (3.4)
東度vで移動している人の1秒 静止している人の1秒

300 year =
$$\int_0^3 \frac{\text{year}}{\sqrt{1 - (v/c)^2}} dt$$
 $\implies v = 0.9999499c$

竜宮城は、光速の99.995%の速さで動いていた!

加減速運動で 3年=300年

いきなりこんな高速の宇宙船に乗るのは不可能であるし、元の場所に戻ってくることができない。そこで、加減速する宇宙船を考えよう。速度vの宇宙船が測定する加速度a'と、地球から見る宇宙船の加速度aの間には、

$$a' = (1 - (v/c)^2)^{-3/2} a$$
 (2)

の対応が得られる (例えば [22] を参照). 宇宙船の速度が地球から見て 0 から v_1 に一定加速度 a' で到達したとき、宇宙船内の経過時間 T' と地球の経過時間 T は、

$$T' = \frac{c}{2a'} \log \frac{1 + v_1/c}{1 - v_1/c}, \tag{3}$$

$$T = \frac{v_1}{a'\sqrt{1 - (v_1/c)^2}} \tag{4}$$

で与えられる. 浦島太郎が 300 年先の未来へ 3 年で到達するには,重力加速度 $g=9.8 \text{ m/s}^2$ の 9.43 倍で加速する宇宙船で 0.75 年加速,すぐに同じ大きさで逆向きの加速度で減速して 0.75 年で停止.直ちに同じ運動で地球に帰還すればよいことがわかる.しかし,この加速度はなかなか厳しい.

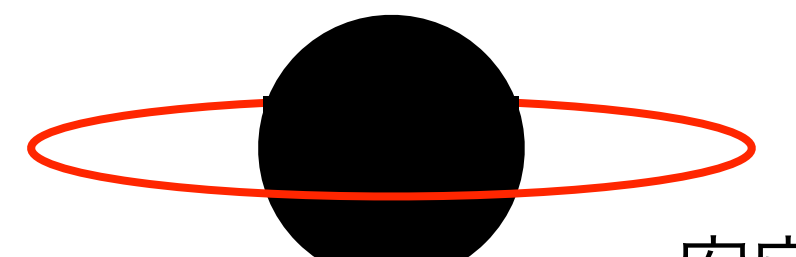
浦島効果一般相対性理論編

Schwarzschildブラックホールを周回 (回転していない)

$$(dT)^2 = \left(1 - \frac{2GM}{rc^2}\right)(dT')^2$$

静止している人の1秒

BH時空の1秒



安定円軌道はBH半径の3倍より遠く

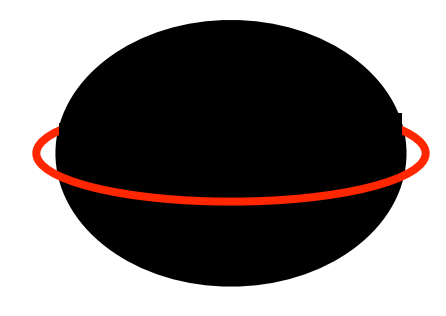
1.224倍の時間差が限界

Kerrブラックホールを周回 (回転パラメータ a)

$$(dT)^{2} = \left(1 - \frac{2GMr/c^{2}}{r^{2} + a^{2}\cos^{2}\theta}\right)(dT')^{2}$$

静止している人の1秒

BH時空の1秒



BHが最大回転をしているときは, 安定円軌道はBH半径近傍にまで近づく!

太陽質量の30倍のBH 最大回転の70%で回転

▶ BH半径の1.0001 倍のところを周回すれば100倍に

浦島効果一般相対性理論編



Interstellar (2014)



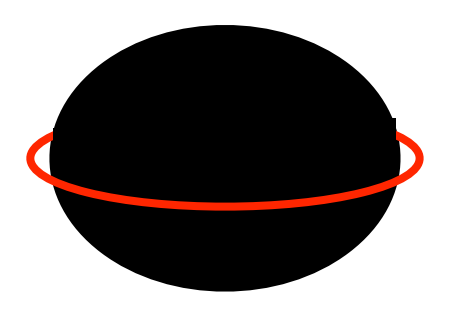
Executive Producer: Kip Thorne

Kerrブラックホールを周回 (回転パラメータ a)

$$(dT)^{2} = \left(1 - \frac{2GMr/c^{2}}{r^{2} + a^{2}\cos^{2}\theta}\right)(dT')^{2}$$

静止している人の1秒

BH時空の1秒



BHが最大回転をしているときは, 安定円軌道はBH半径近傍にまで近づく!

太陽質量の30倍のBH 最大回転の70%で回転

▶ BH半径の1.0001 倍のところを周回すれば100倍に

太陽質量の10⁸倍のBH 最大回転の99.999999999999%で回転

▶ BH半径の1.00002 倍のところを周回すれば1 時間=7年に

ノーベル物理学賞受賞者 2020年

Nobel Laureates in Physics 2020

http://www.nobelprize.org/

"ブラックホール"

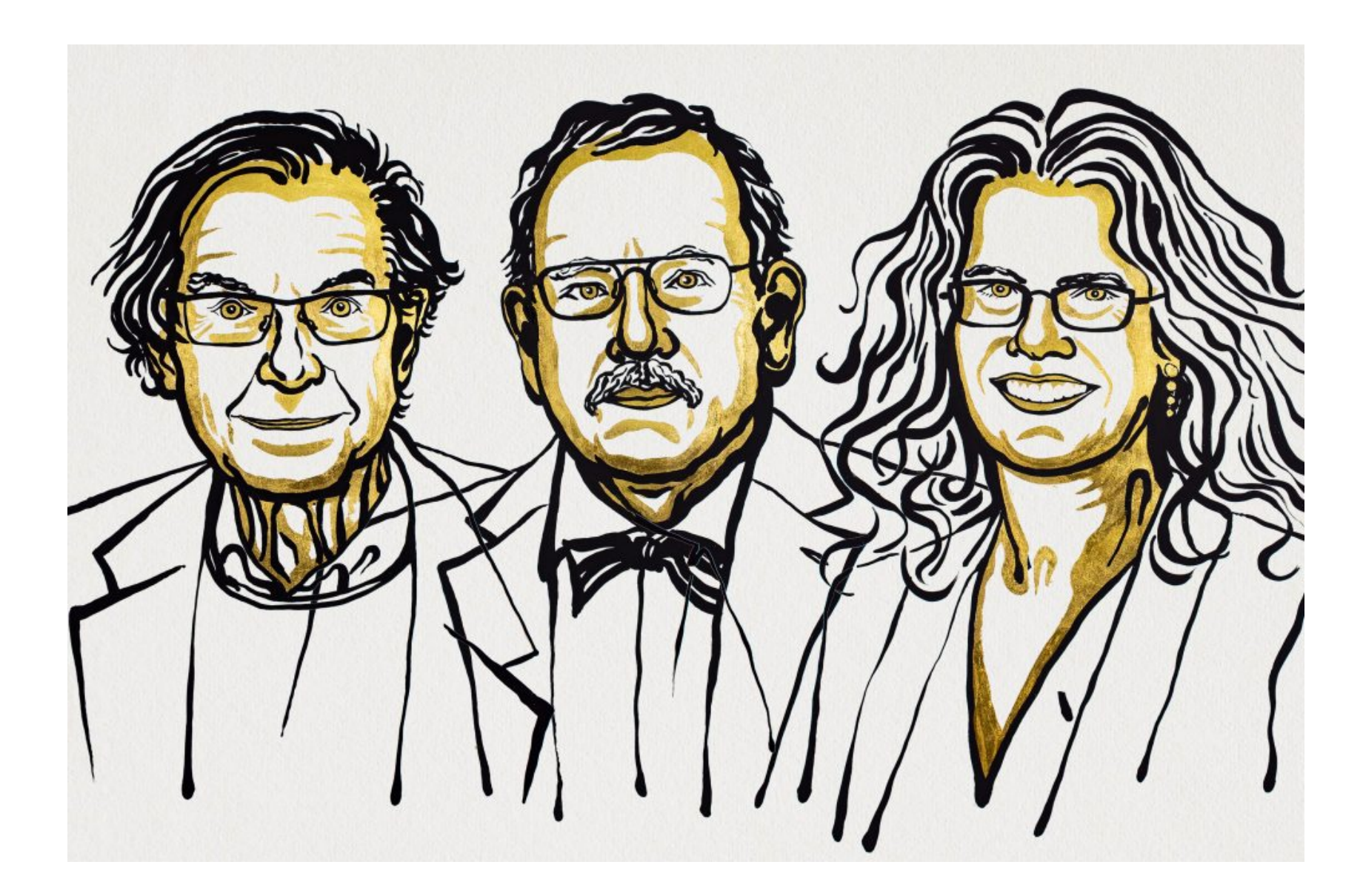
ロジャー・ペンローズ (89) 英オックスフォード大

「ブラックホール形成が一般相対性理論におけるごく自然な帰結と なることの発見に対して」

ラインハルト・ゲンツェル (68) 独マックスプランク研究所 アンドレア・ゲズ (55) 米カリフォルニア大ロサンゼルス校 「天の川銀河の中心に超大質量なコンパクト天体を発見したことに 対して」

Roger Penrose "for the discovery that black hole formation is a robust prediction of the general theory of relativity"

Reinhard Genzel and Andrea Ghez "for the discovery of a supermassive compact object at the centre of our galaxy".





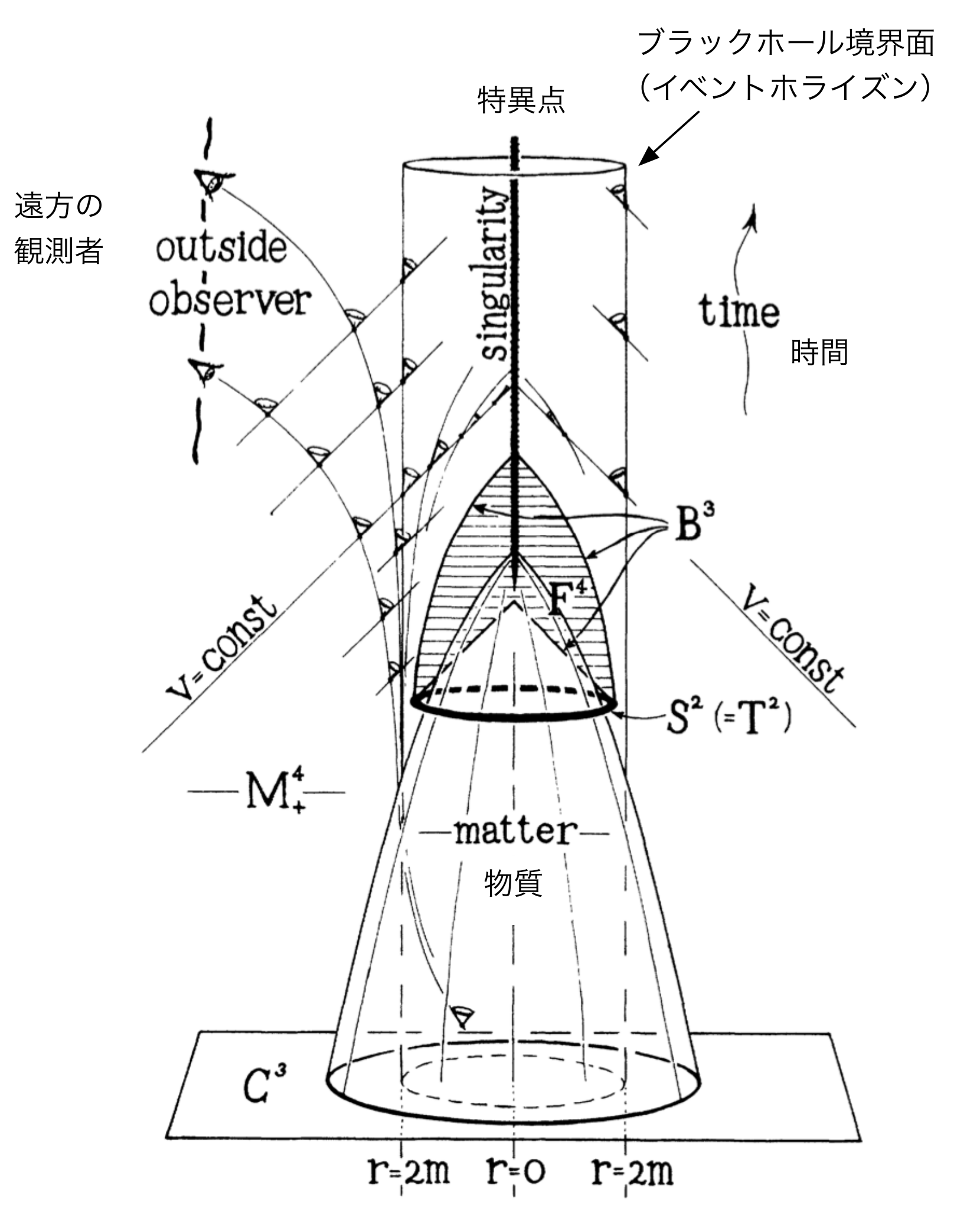
「ブラックホール形成が一般相対性理論におけるごく自然な帰結となることの発見に対して」



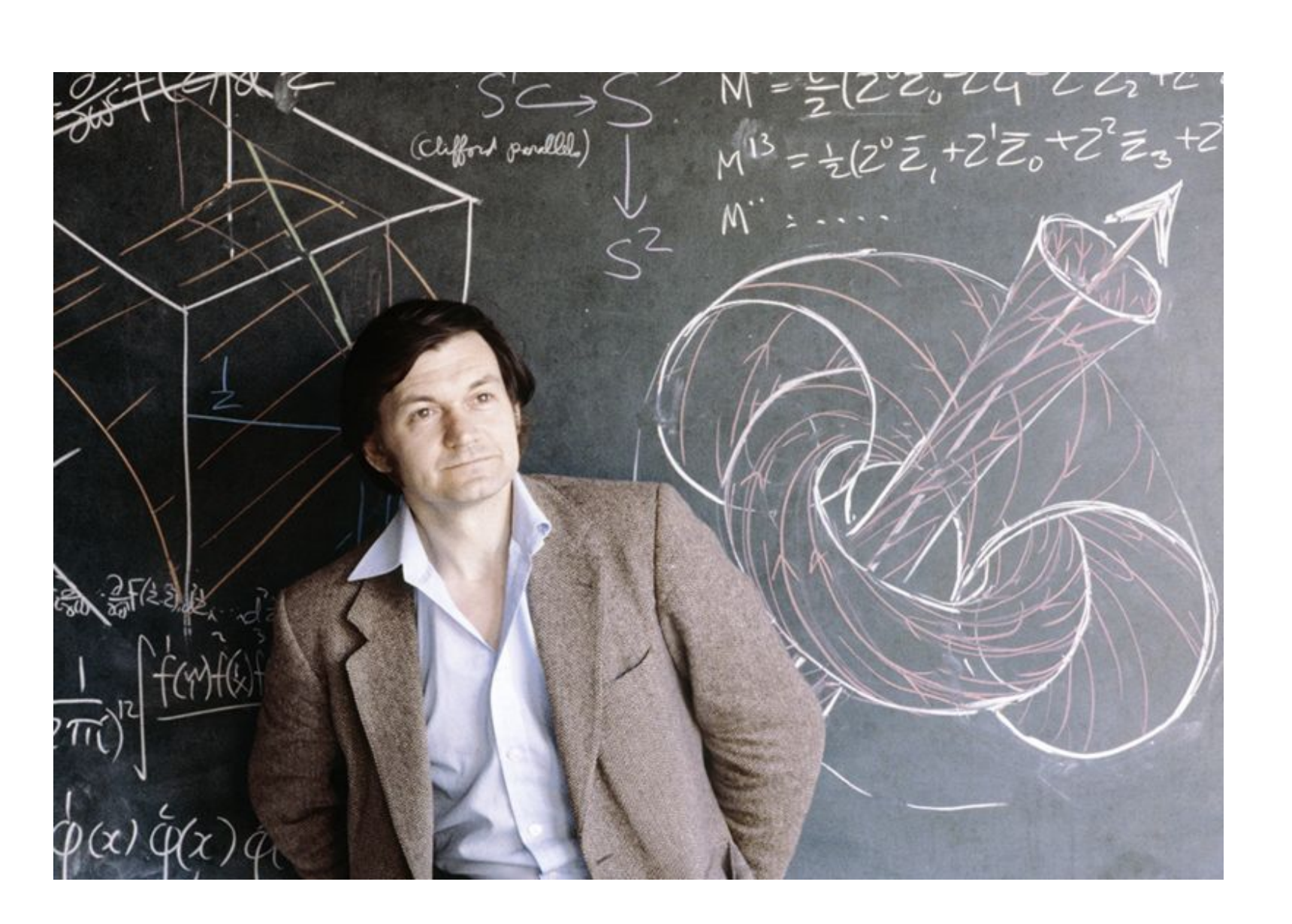
ロジャー・ペンローズ

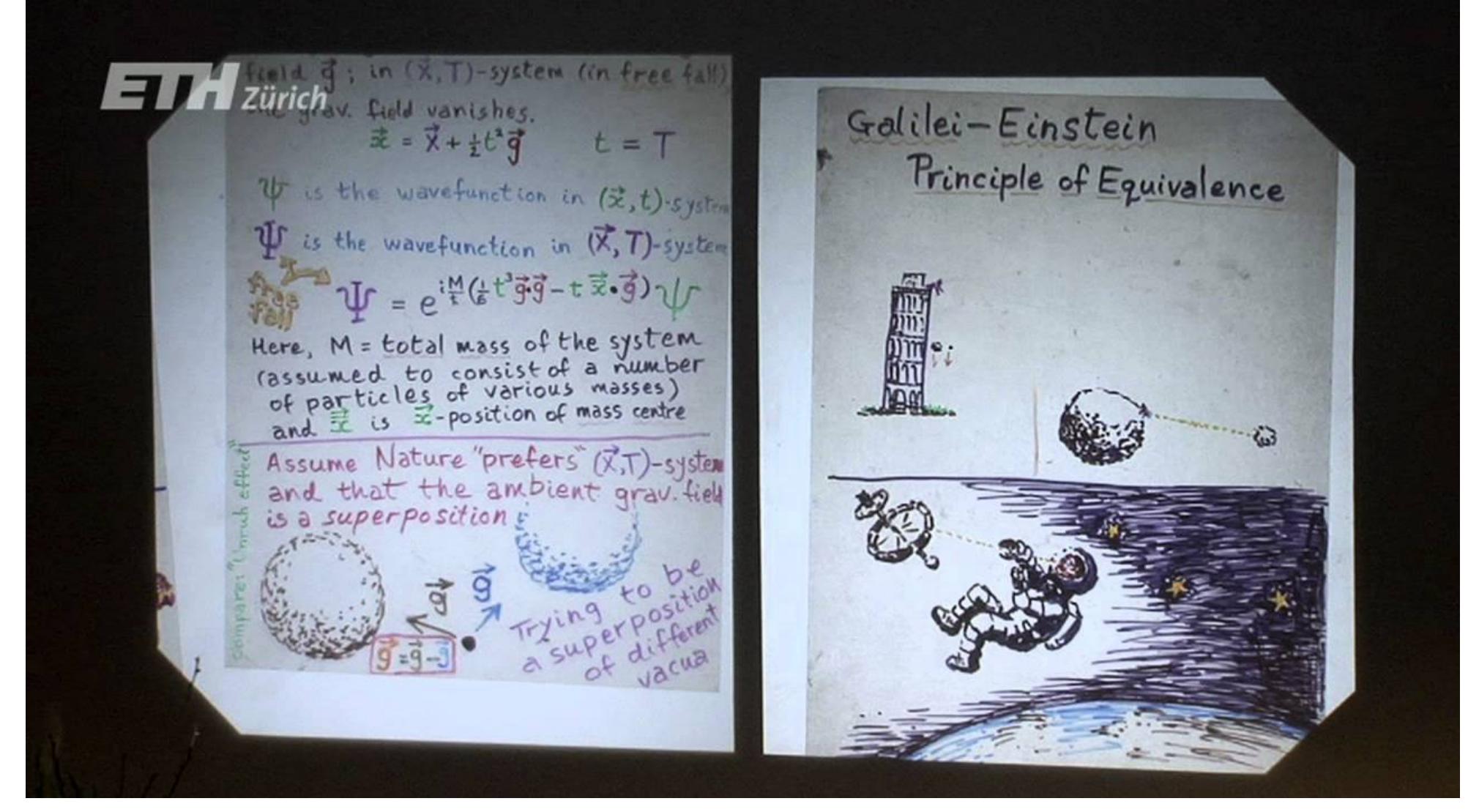
ペンローズが描いたブラックホール形成の図. 横の広がりが空間(2次元で表している), 縦方向上向きに時間の進みを表す. 物質が重力崩壊してつぶれ, 光(円錐で描かれているのが光の広がり方を示す)が遠方へ到達しない領域が出現する. 中心では特異点が発生するが, それはブラックホール境界面の内側にあるので, 遠方の物理を乱さない.

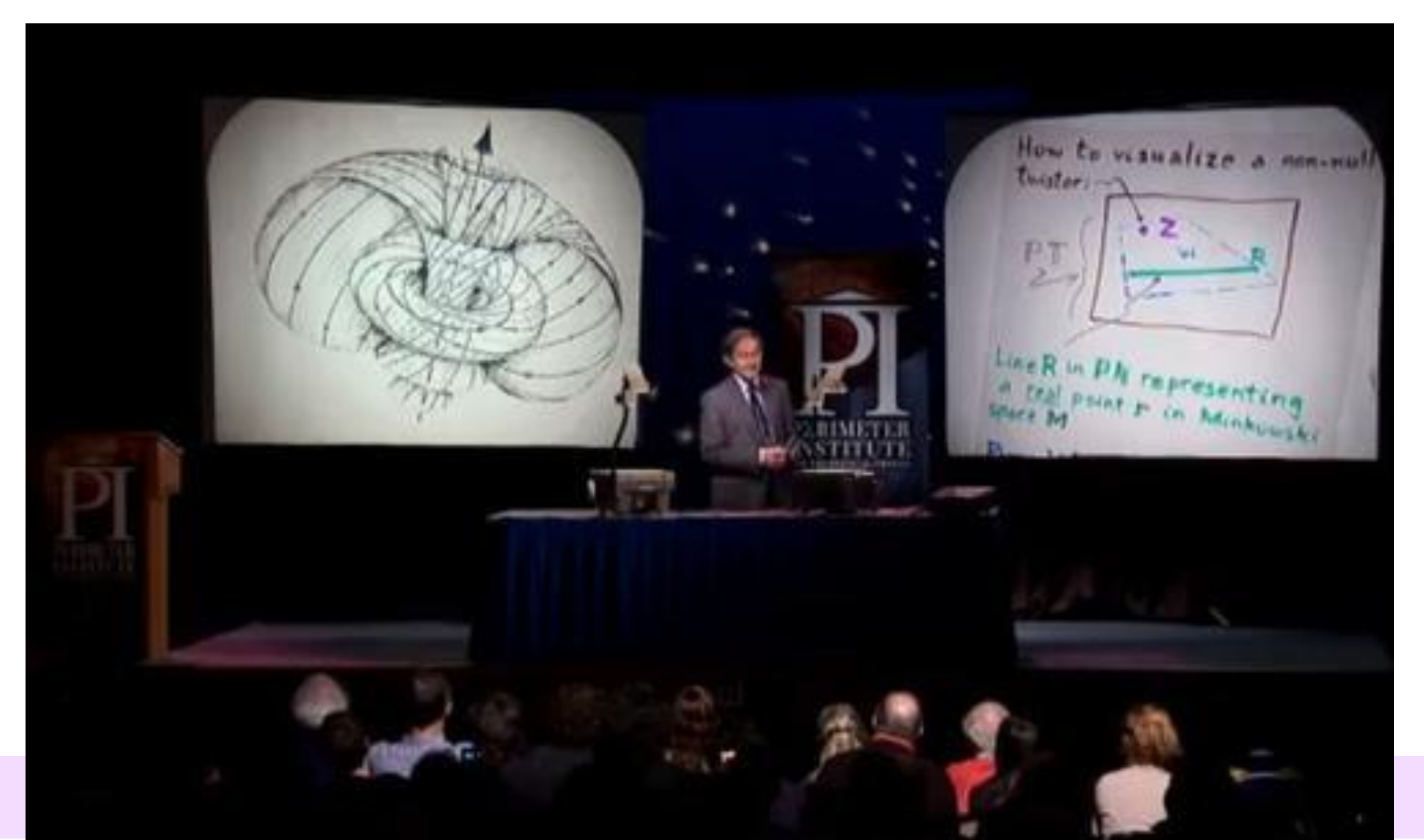
(R. Penrose, Phys. Rev. Lett. 14 (1965) 57の図を加工。)

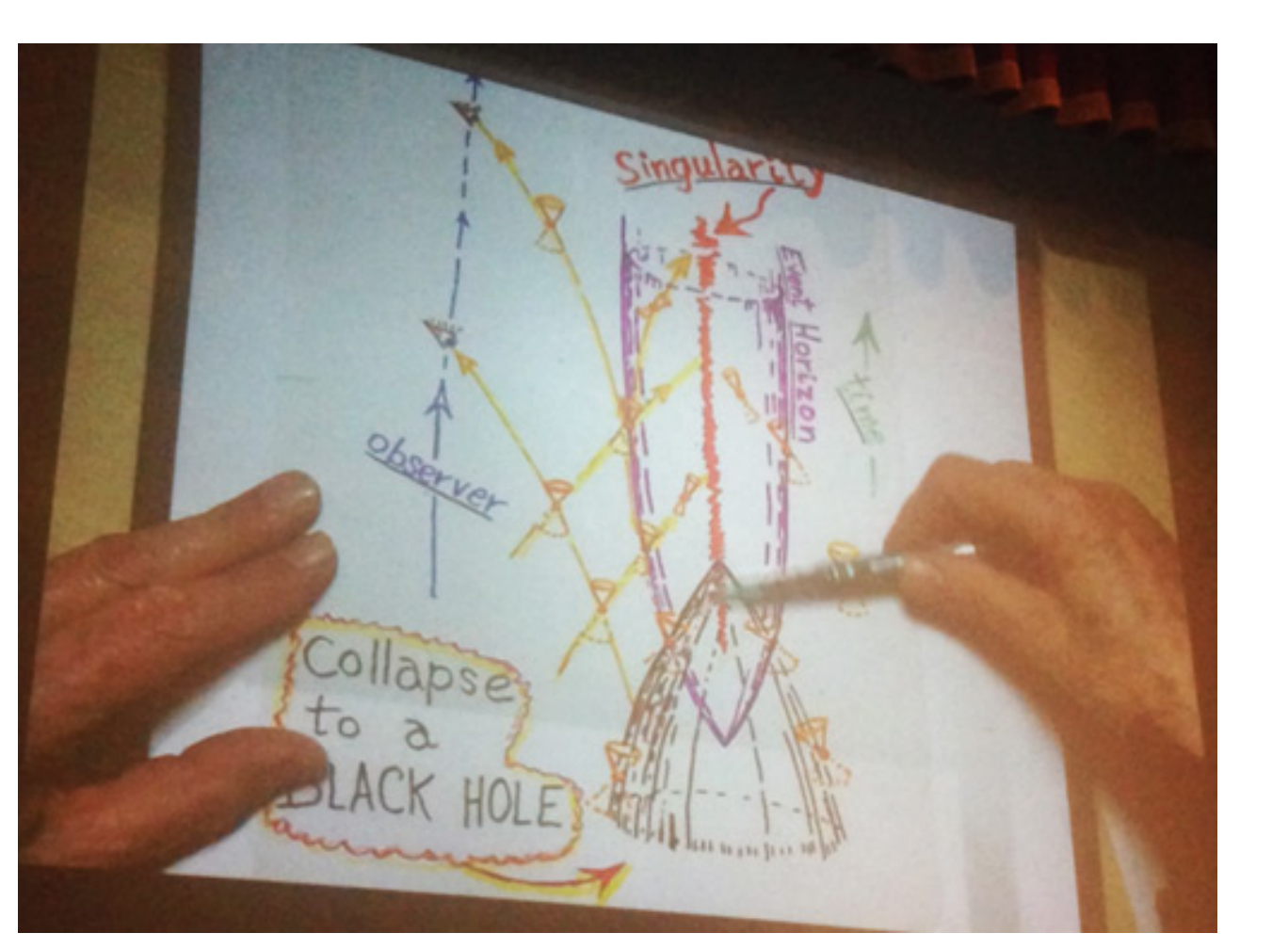


「ブラックホール形成が一般相対性理論におけるごく自然な帰結となることの発見に対して」

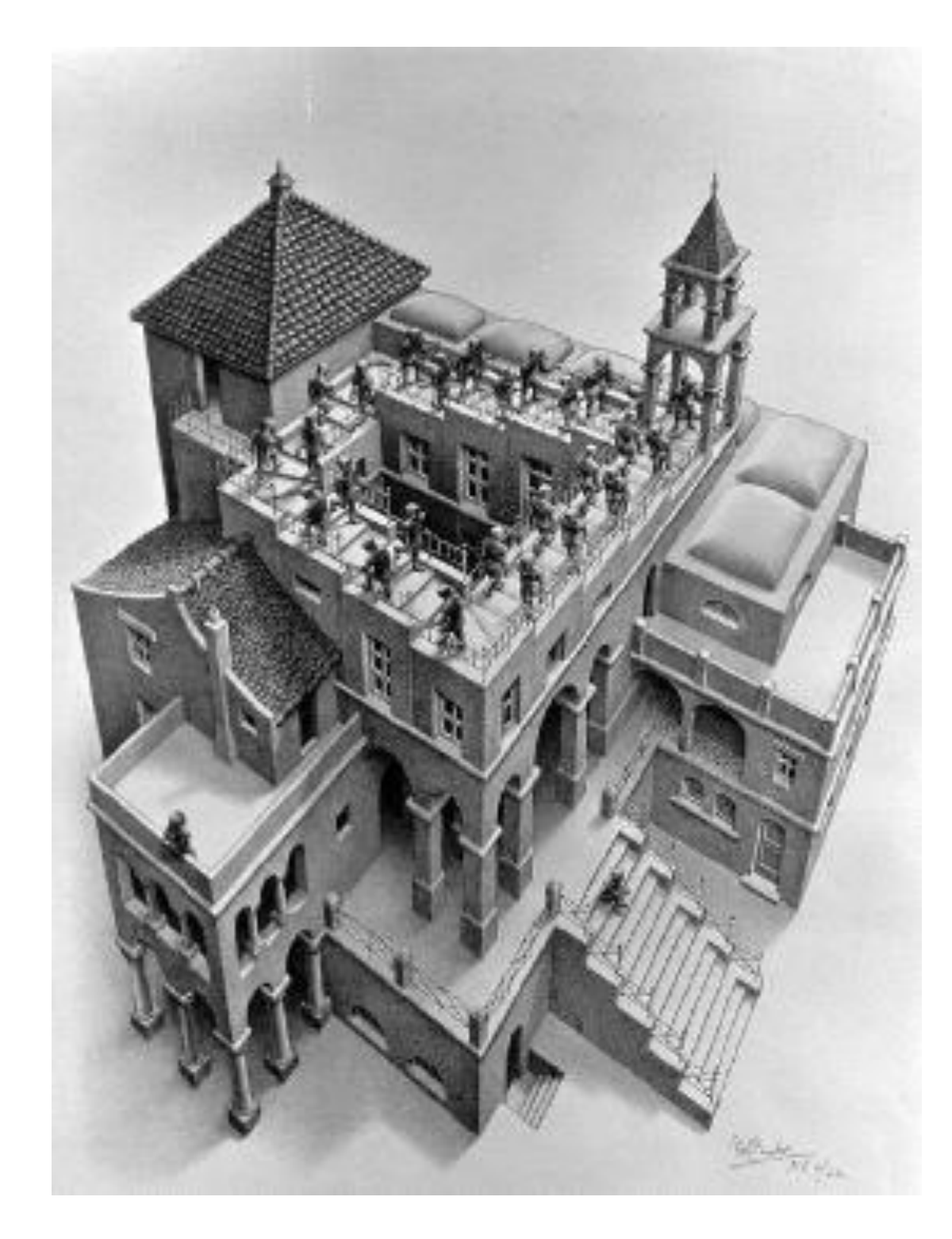




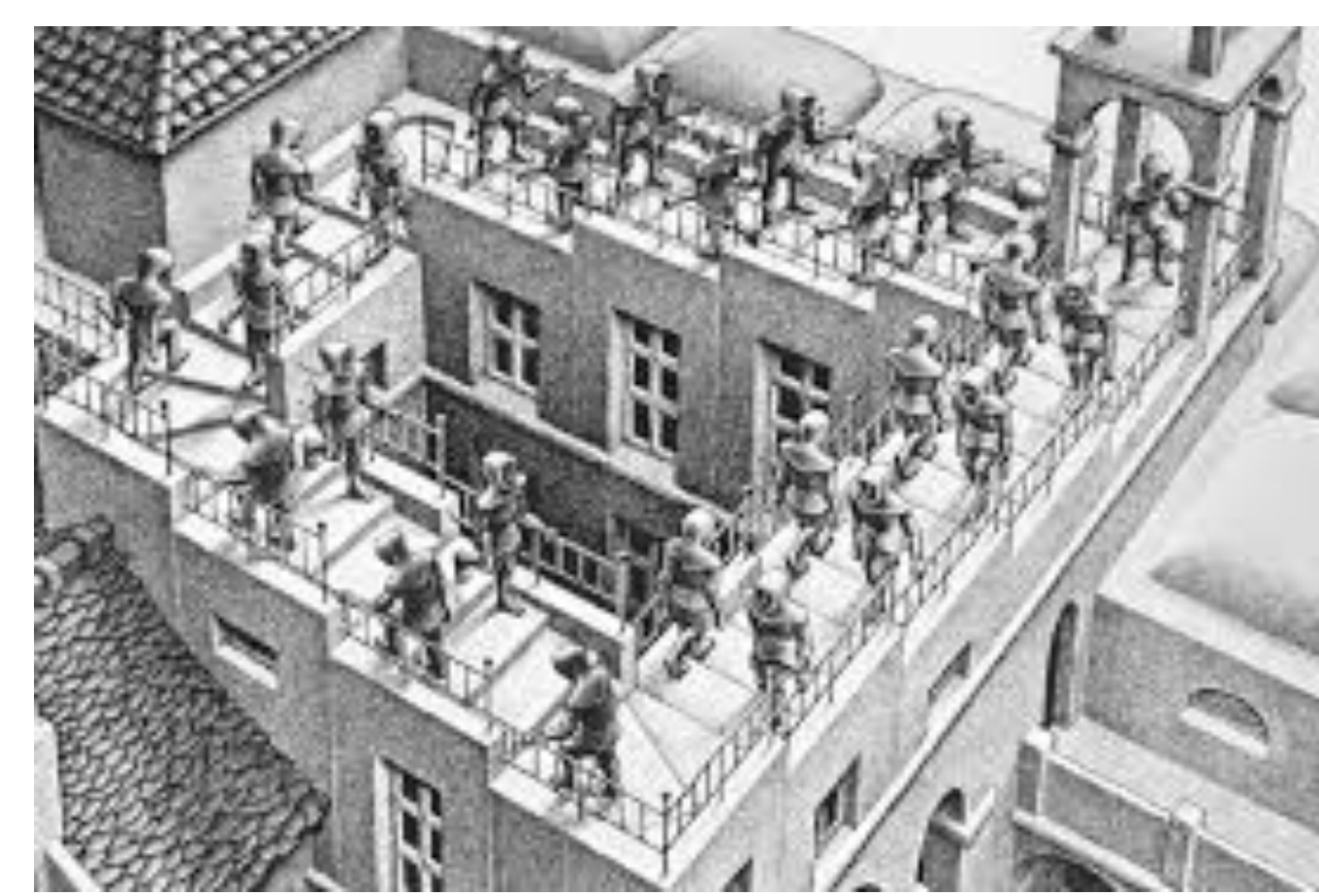




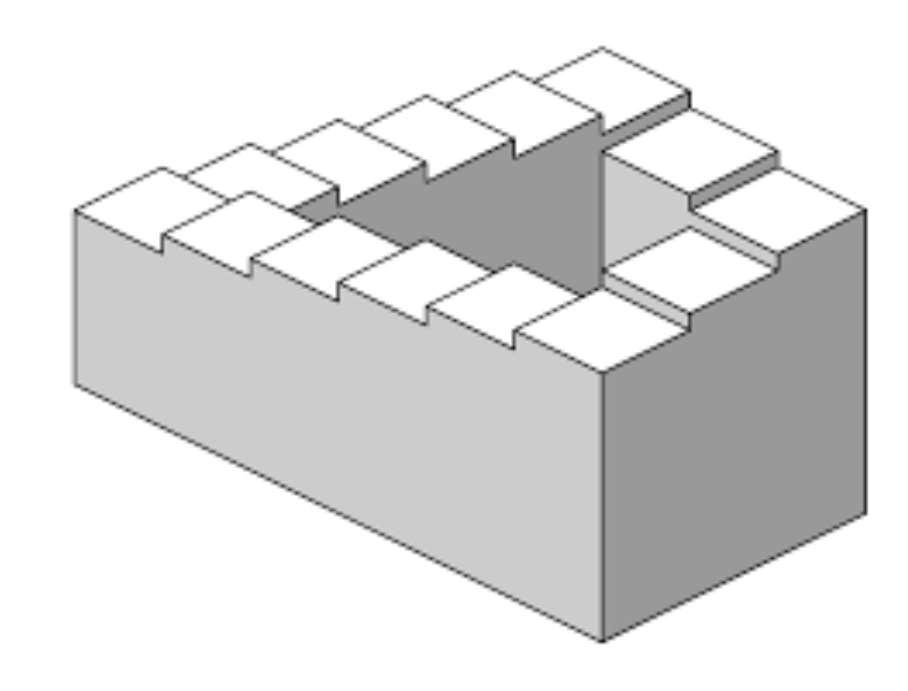
ロジャー・ペンローズ & M. C. エッシャー



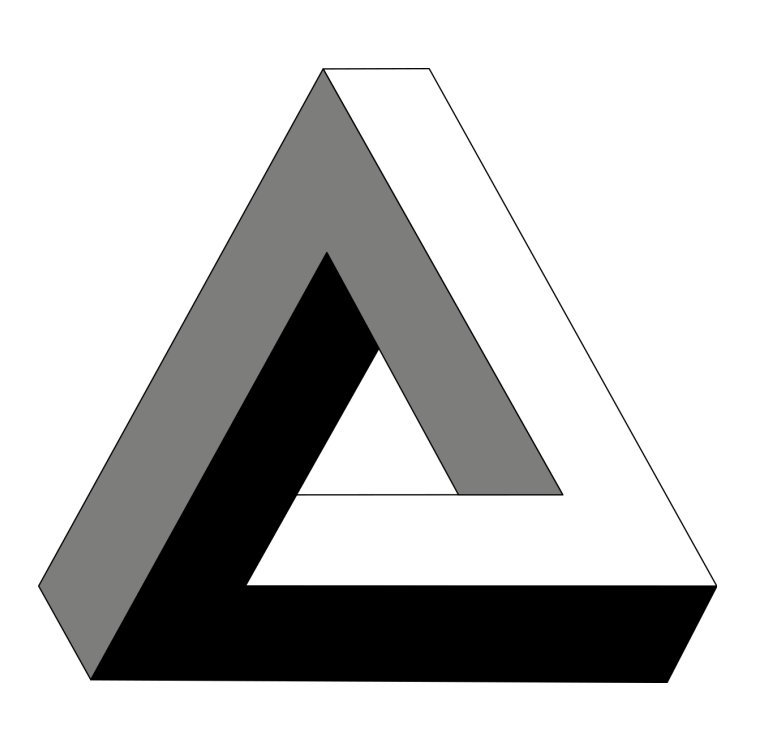
Ascending and Descending by M. C. Escher



Relativity (1953) by M. C. Escher

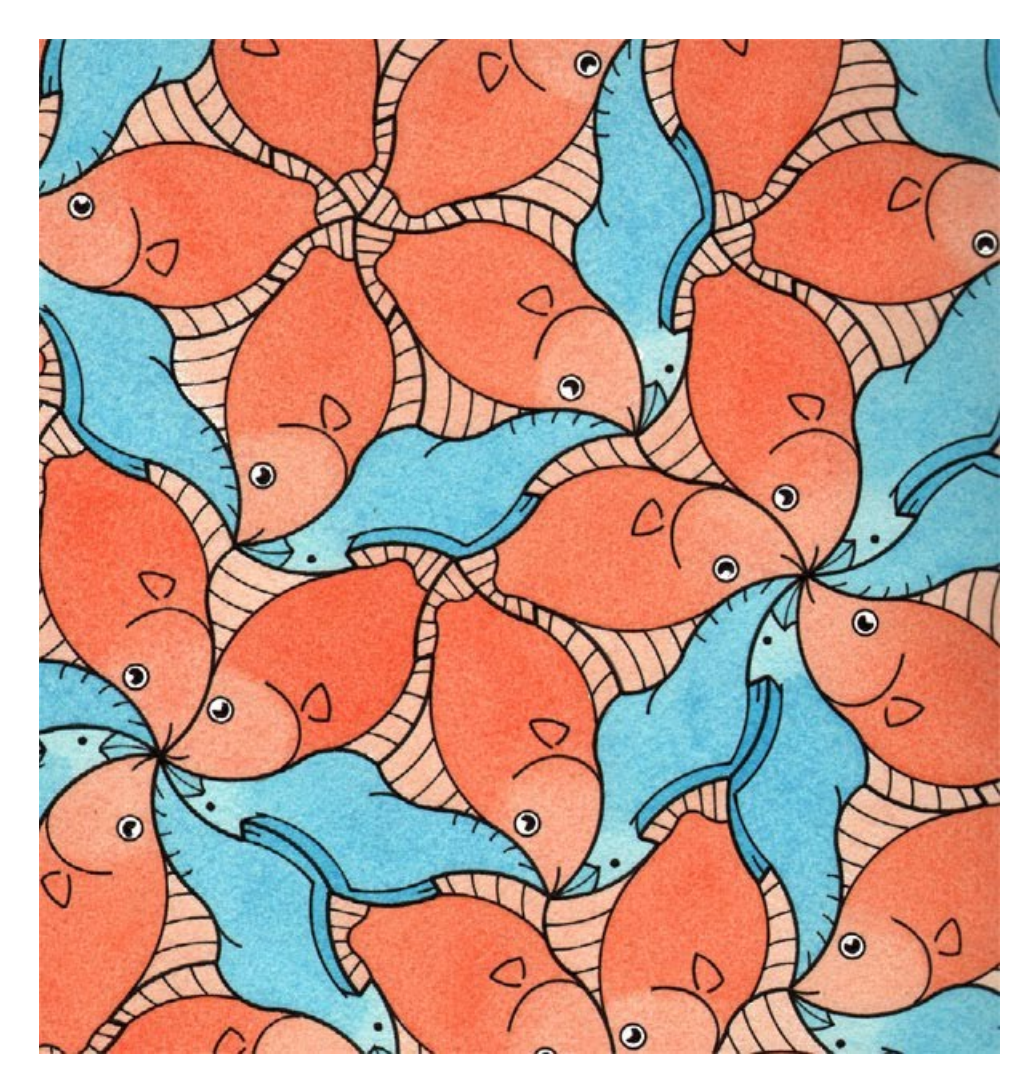


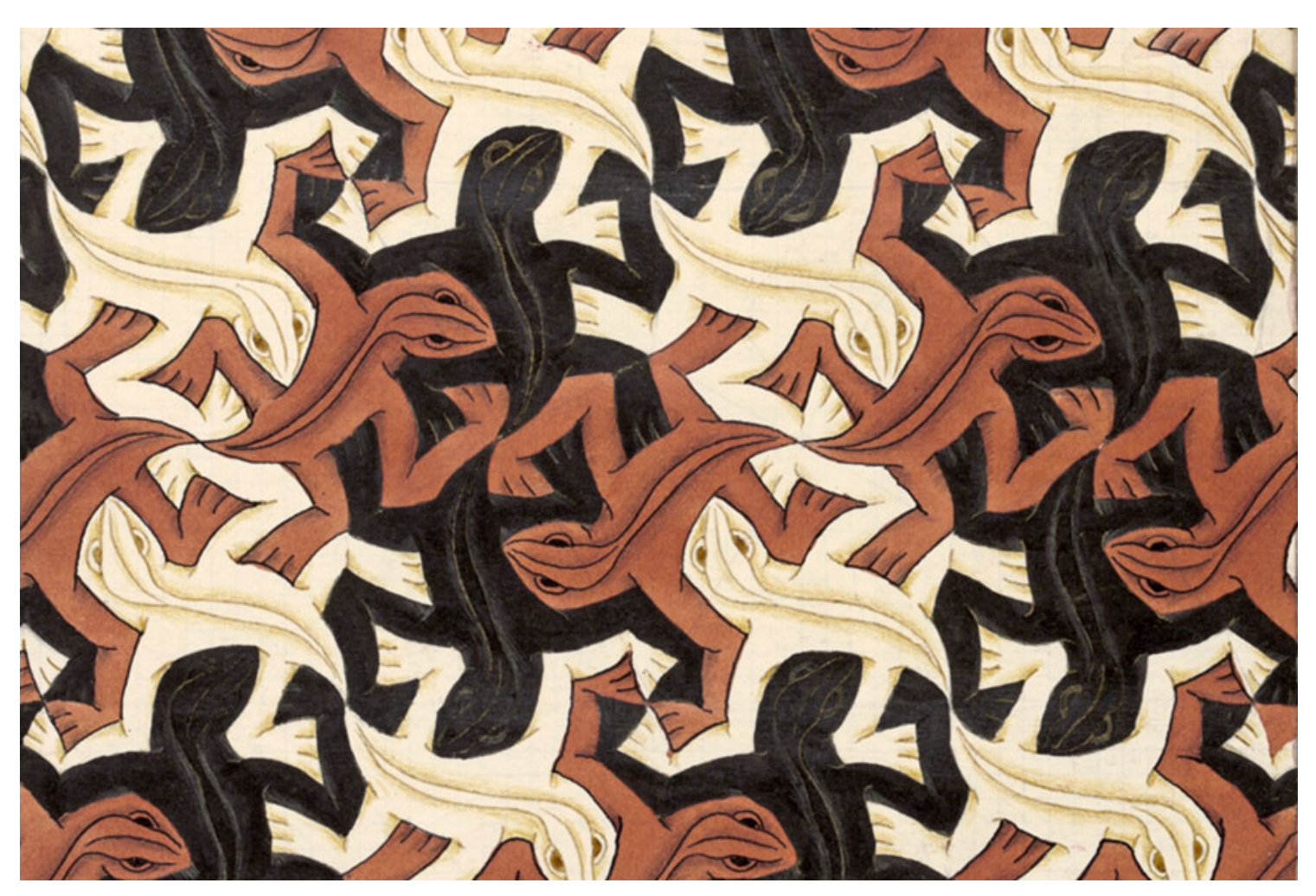
Penrose Stairs

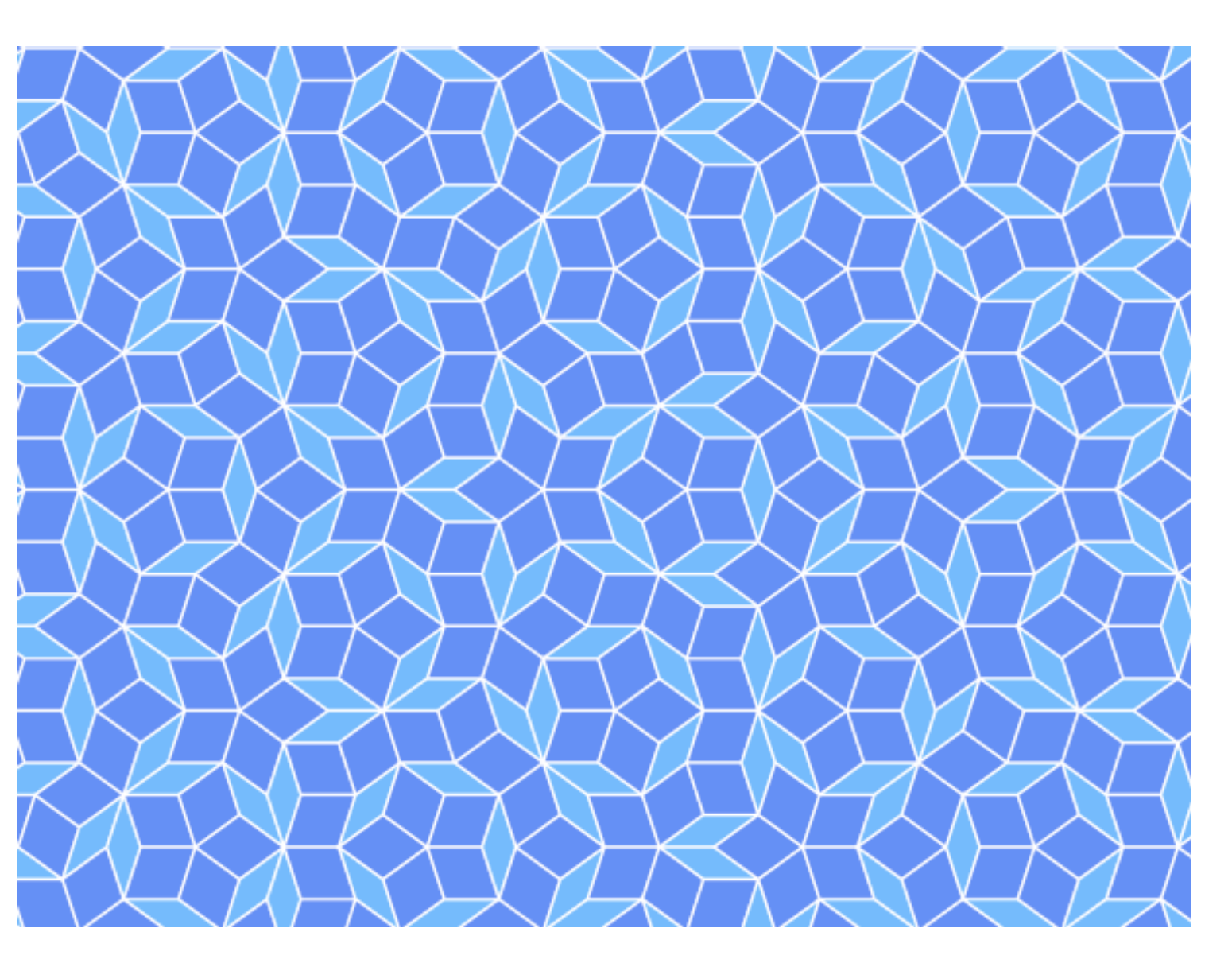


Penrose Triangle

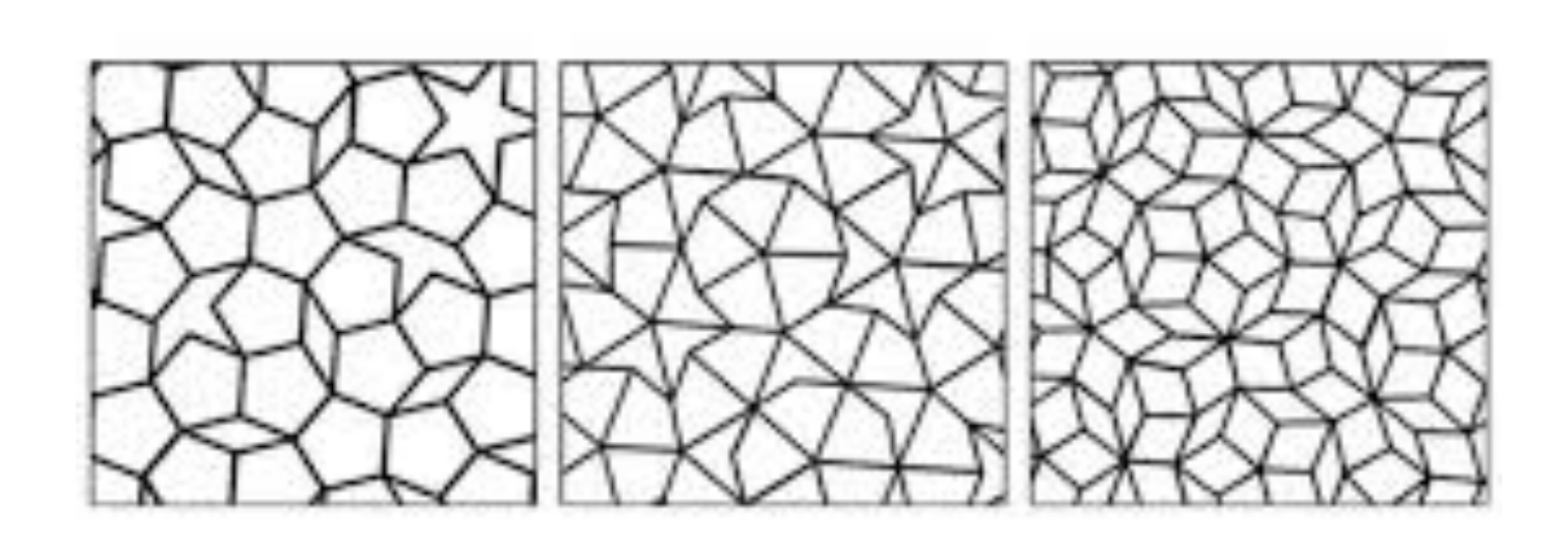
ロジャー・ペンローズ & M. C. エッシャー







Penrose Tiring



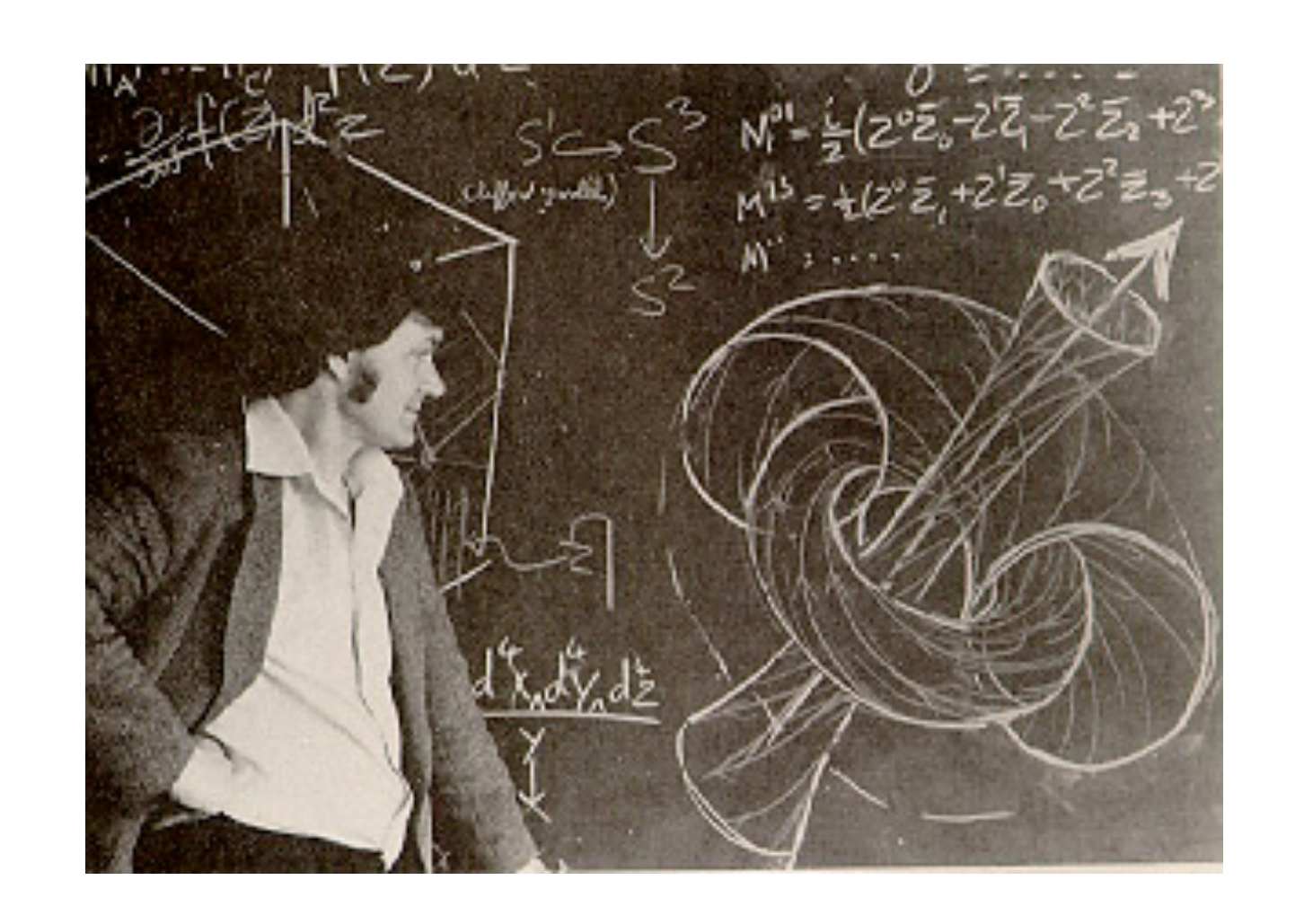
時空特異点(spacetime singularity) の問題

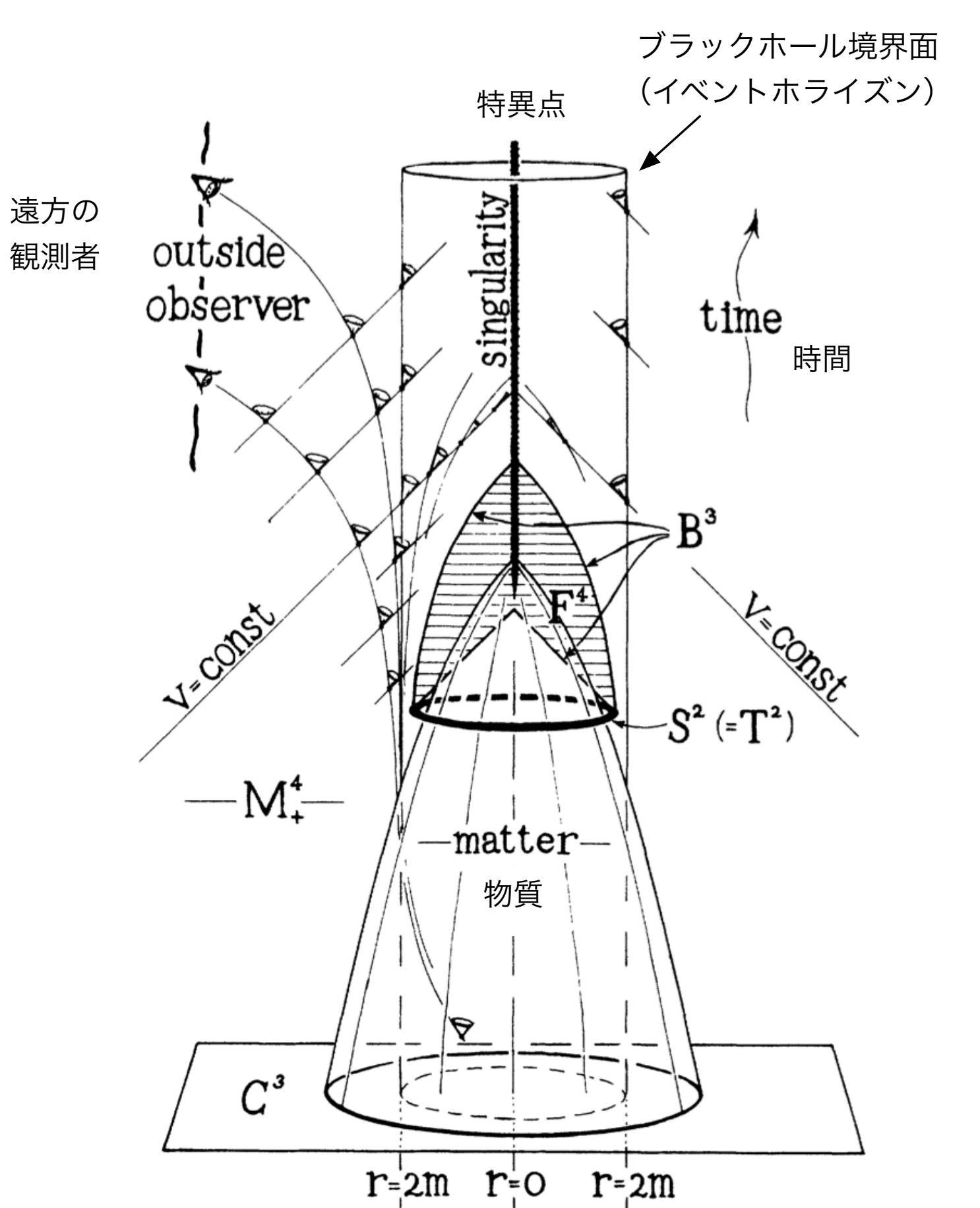
1960年代はじめまで

特異点を含む解が出てきたのは、球対称や軸対称の特殊な仮定をしたからでは? 現実には存在しない?

1965年ペンローズ、特異点定理

星が重力崩壊すれば、必ず特異点が形成される。

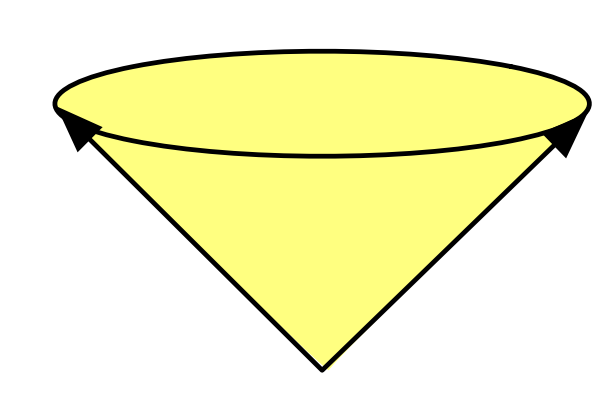




特異点定理 (ペンローズ, 1965年)

ブラックホールの定義 = 光が無限遠まで届かない空間領域(事象の地平面の内側)

光円錐(light cone)



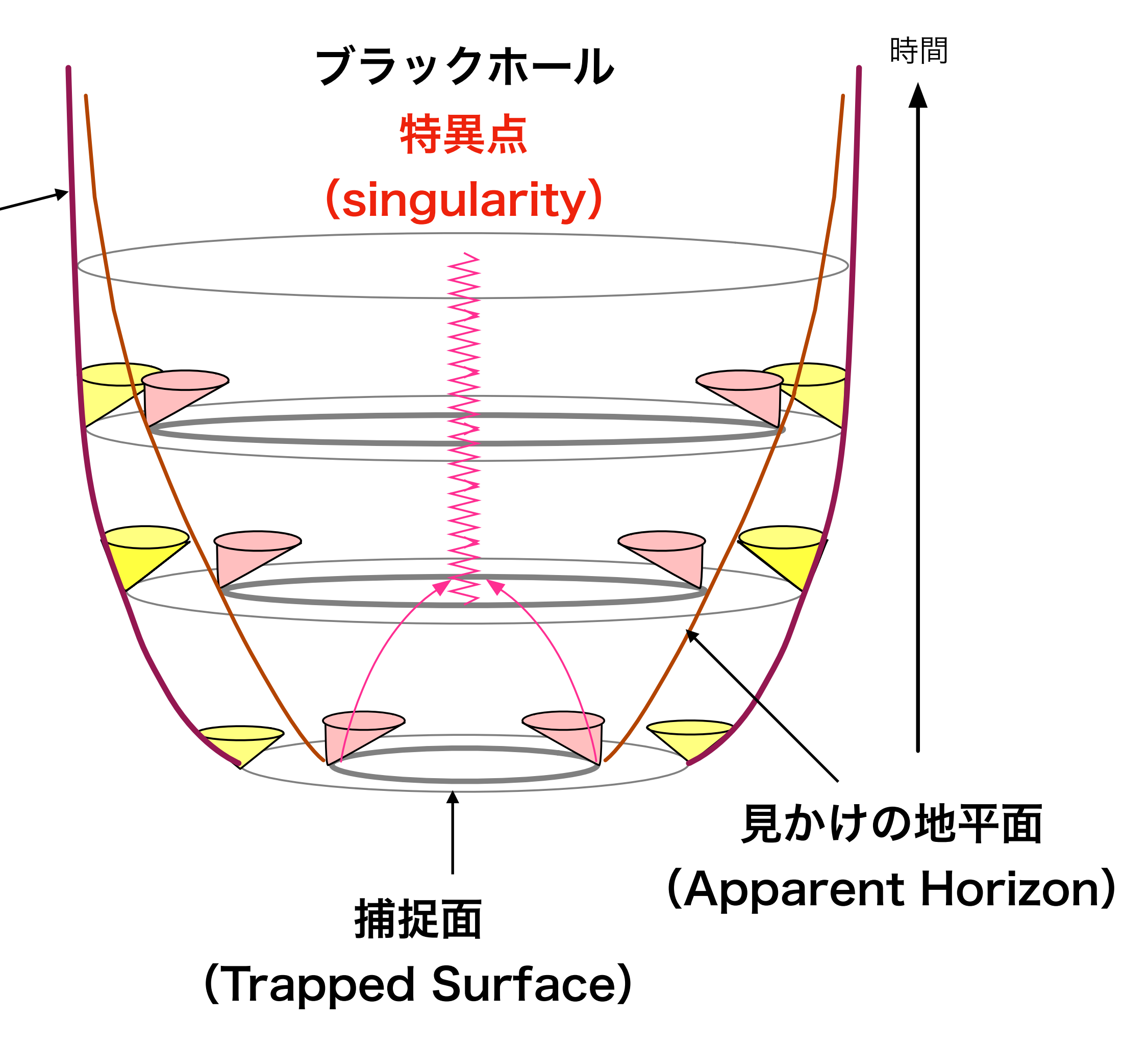
事象の地平面 / (Event Horizon)

大域的に双曲的な漸近平坦時空において, 光的エネルギー条件が成立すれば, **捕捉面はブラックホール内部に含まれる**

大域的に双曲的な漸近平坦時空が、

- (1) 光的エネルギー条件が成立
- (2) 宇宙が空間的に無限大
- (3) 捕捉面が存在
- の条件をみたせば, **特異な測地線が存在する**

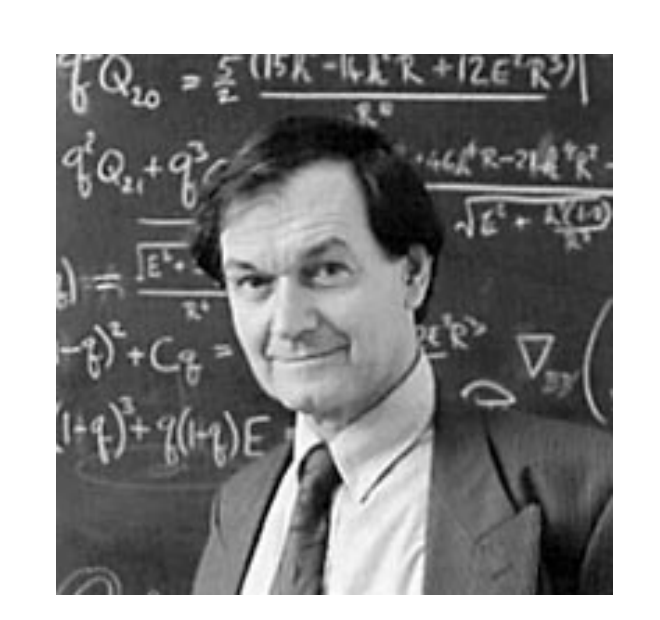
時空の対称性に関係なく、特異点は形成される!



真貝寿明

BLUE BACKS

宇宙検閲官仮説 (ペンローズ, 1969/79年)



特異点が発生すると、物理の議論ができなくなって困る. 特異点発生は、物理的に禁止されているのではないか?

cosmic censorship conjecture

弱い宇宙検閲官仮説 R. Penrose (1969)

適切なエネルギー条件をみたす漸近平坦時空では、重力崩 壊によって発生するすべての**特異点は、ブラックホールの** 事象の地平面に覆われる.

「裸の特異点は,見えてはならない」

強い宇宙検閲官仮説 R. Penrose (1979)

適切なエネルギー条件をみたす漸近平坦時空では、裸の 特異点は形成されない.

「裸の特異点は,存在しない」



裸の特異点は存在するのか?(ホーキングvsソーンの賭け)

Whereas Stephen W. Hawking firmly believes that naked singularities are an anathema and should be prohibited by the laws of classical physics,

And whereas John Preskill and Kip Thorne regard naked singularities as quantum gravitational objects that might exist unclothed by horizons, for all the Universe to see,

Therefore Hawking offers, and Preskill/Thorne accept, a wager with odds of 100 pounds stirling to 50 pounds stirling, that when any form of classical matter or field that is incapable of becoming singular in flat spacetime is coupled to general relativity via the classical Einstein equations, the result can never be a naked singularity.

The loser will reward the winner with clothing to cover the winner's nakedness. The clothing is to be embroidered with a suitable concessionary message.

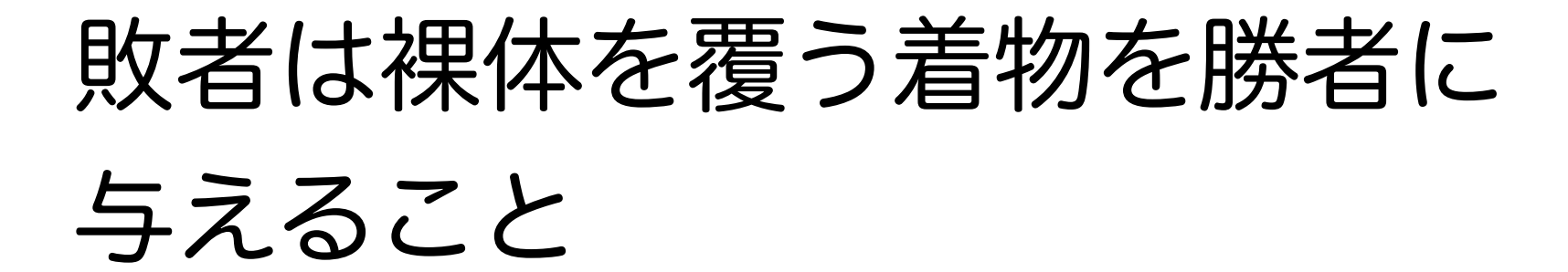
John Franky Kp Shre

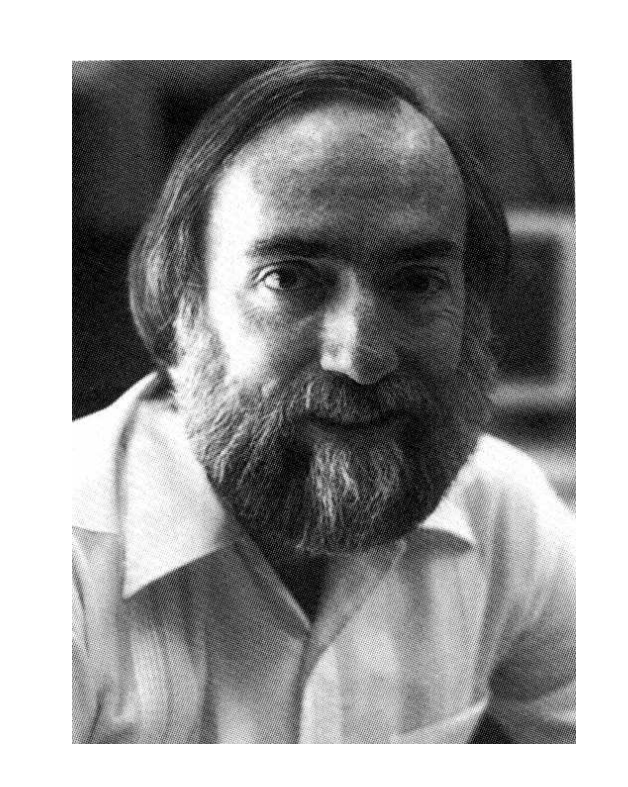
Stephen W. Hawking John P. Preskill & Kip S. Thorne Pasadena, California, 24 September 1991

ホーキング 「裸の特異点は物理法則によって 禁止されている」



ソーン,プレスキル 「あり得る」





1991年9月24日

裸の特異点は出現する!

数値シミュレーションによる実例 (1991)

VOLUME 66, NUMBER 8

PHYSICAL REVIEW LETTERS

25 FEBRUARY 1991

Formation of Naked Singularities: The Violation of Cosmic Censorship

Stuart L. Shapiro and Saul A. Teukolsky

Center for Radiophysics and Space Research and Departments of Astronomy and Physics, Cornell University, Ithaca, New York 14853 (Received 7 September 1990)

We use a new numerical code to evolve collisionless gas spheroids in full general relativity. In all cases the spheroids collapse to singularities. When the spheroids are sufficiently compact, the singularities are hidden inside black holes. However, when the spheroids are sufficiently large, there are no apparent horizons. These results lend support to the hoop conjecture and appear to demonstrate that naked singularities can form in asymptotically flat spacetimes.

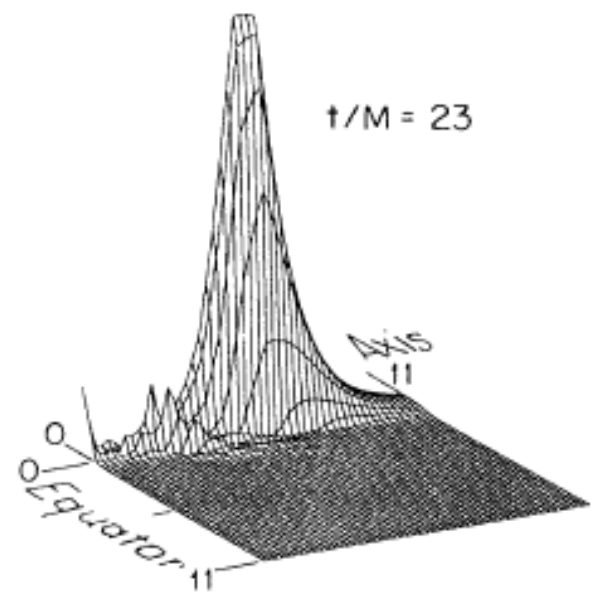
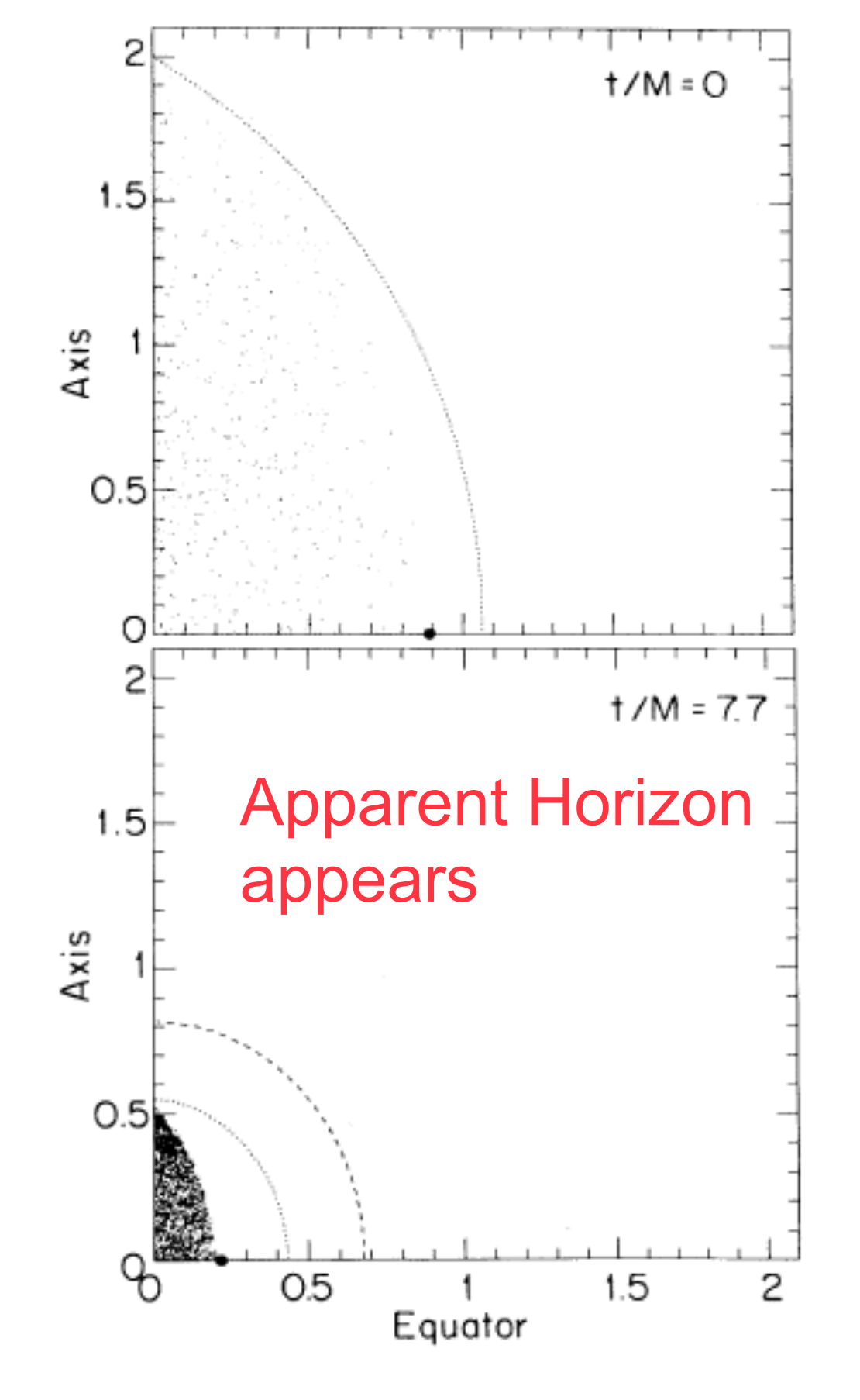
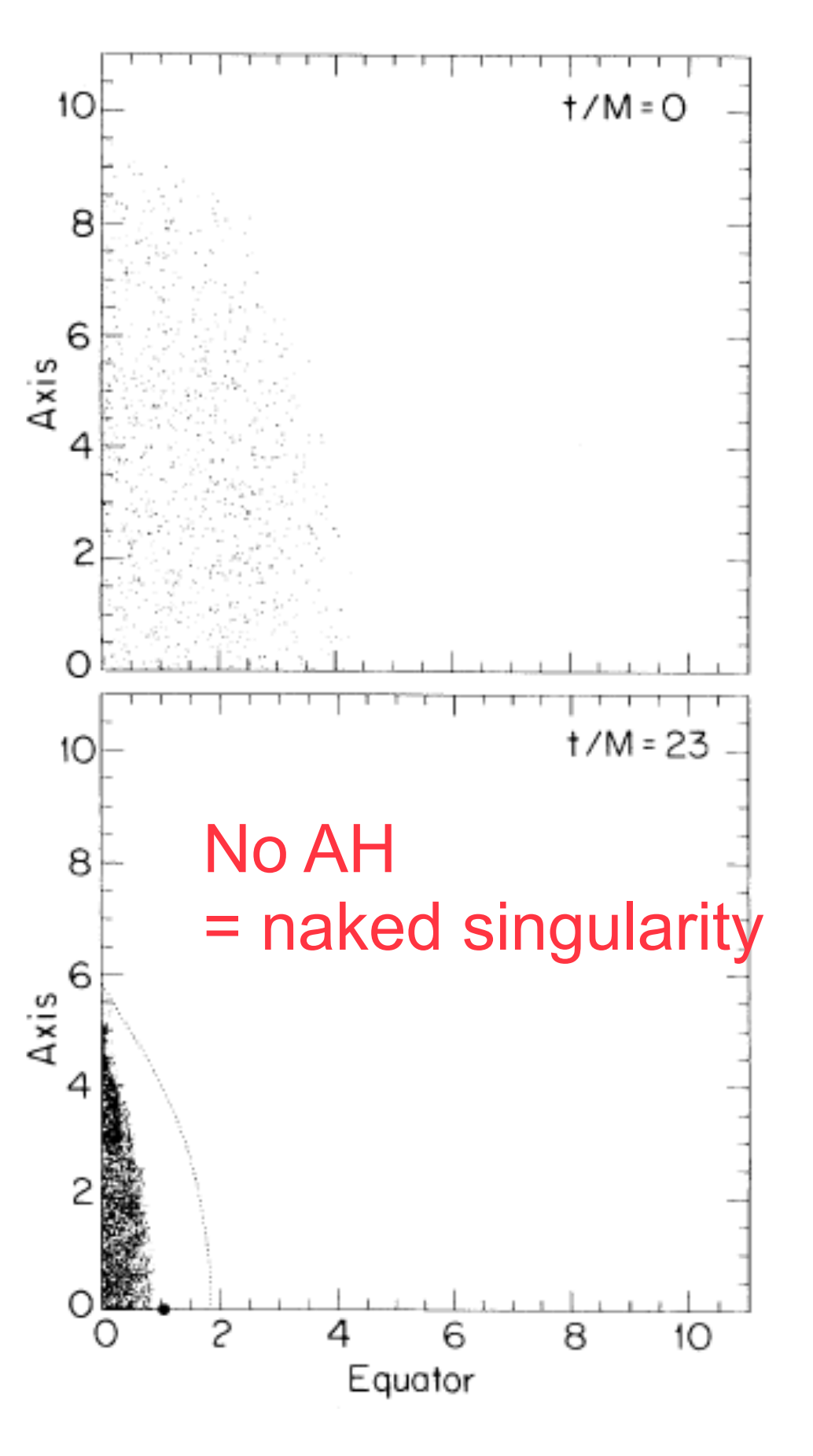


FIG. 4. Profile of I in a meridional plane for the collapse shown in Fig. 2. For the case of 32 angular zones shown here, the peak value of I is $24/M^4$ and occurs on the axis just outside the matter.

FIG. 1. Snapshots of the particle positions at initial and late times for prolate collapse. The positions (in units of M) are projected onto a meridional plane. Initially the semimajor axis of the spheroid is 2M and the eccentricity is 0.9. The collapse proceeds nonhomologously and terminates with the formation of a spindle singularity on the axis. However, an apparent horizon (dashed line) forms to cover the singularity. At t/M = 7.7its area is $A/16\pi M^2 = 0.98$, close to the asymptotic theoretical limit of 1. Its polar and equatorial circumferences at that time are $\mathcal{C}_{\text{pole}}^{\text{AH}}/4\pi M = 1.03$ and $\mathcal{C}_{\text{eq}}^{\text{AH}}/4\pi M = 0.91$. At later times these circumferences become equal and approach the expected theoretical value 1. The minimum exterior polar circumference is shown by a dotted line when it does not coincide with the matter surface. Likewise, the minimum equatorial circumference, which is a circle, is indicated by a solid dot. Here $\mathcal{C}_{\text{eq}}^{\text{min}}/4\pi M = 0.59$ and $\mathcal{C}_{\text{pole}}^{\text{min}}/4\pi M = 0.99$. The formation of a black hole is thus consistent with the hoop conjecture.





裸の特異点は出現する!

数値シミュレーションによる実例(2011)

PHYSICAL REVIEW D 83, 064006 (2011)

Formation of naked singularities in five-dimensional space-time

Yuta Yamada^{1,*} and Hisa-aki Shinkai^{1,2,†}

 ¹Faculty of Information Science and Technology, Osaka Institute of Technology, 1-79-1 Kitayama, Hirakata, Osaka 573-0196, Japan
 ²Computational Astrophysics Laboratory, Institute of Physical and Chemical Research (RIKEN), Hirosawa, Wako, Saitama 351-0198, Japan (Received 18 December 2010; published 4 March 2011)

We numerically investigate the gravitational collapse of collisionless particles in spheroidal configurations both in four- and five-dimensional (5D) space-time. We repeat the simulation performed by Shapiro and Teukolsky (1991) that announced an appearance of a naked singularity, and also find similar results in the 5D version. That is, in a collapse of a highly prolate spindle, the Kretschmann invariant blows up outside the matter and no apparent horizon forms. We also find that the collapses in 5D proceed more rapidly than in 4D, and the critical prolateness for the appearance of an apparent horizon in 5D is loosened, compared to 4D cases. We also show how collapses differ with spatial symmetries comparing 5D evolutions in single-axisymmetry, SO(3), and those in double-axisymmetry, U(1) × U(1).

DOI: 10.1103/PhysRevD.83.064006 PACS numbers: 04.20.Dw, 04.20.Ex, 04.25.dc, 04.50.Gh

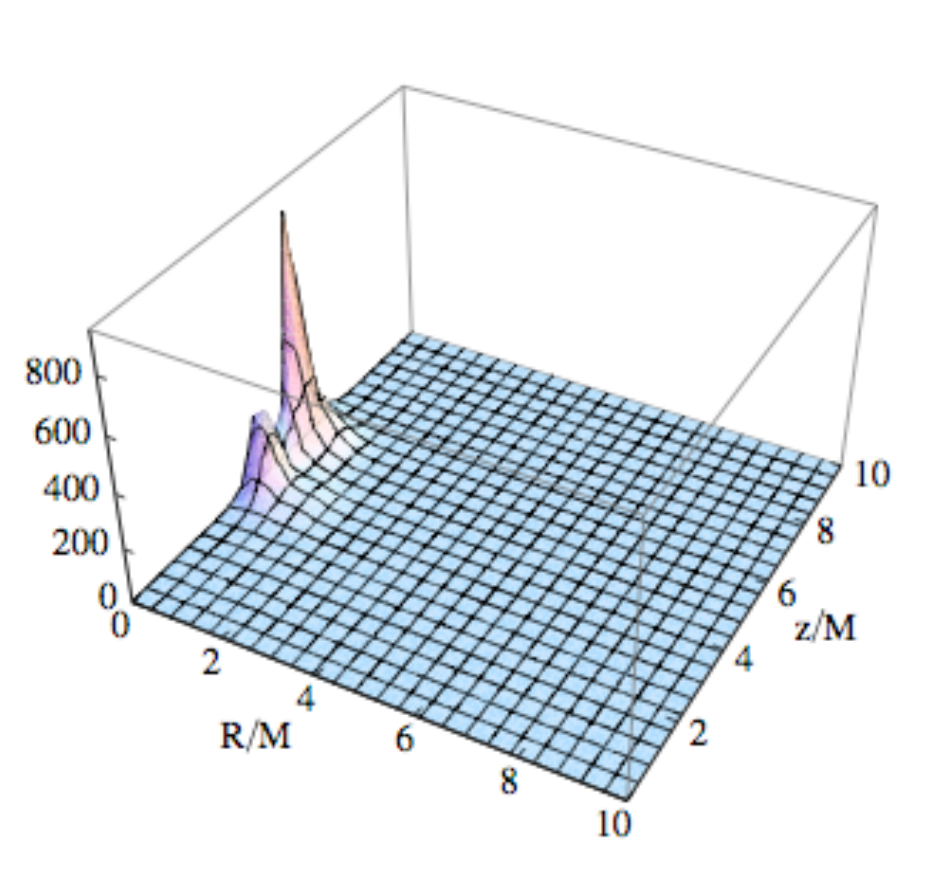


FIG. 3 (color online). Kretschmann invariant I for model 5DS δ at t/M=15.4. The maximum is O(1000), and its location is on z-axis, just outside of the matter.

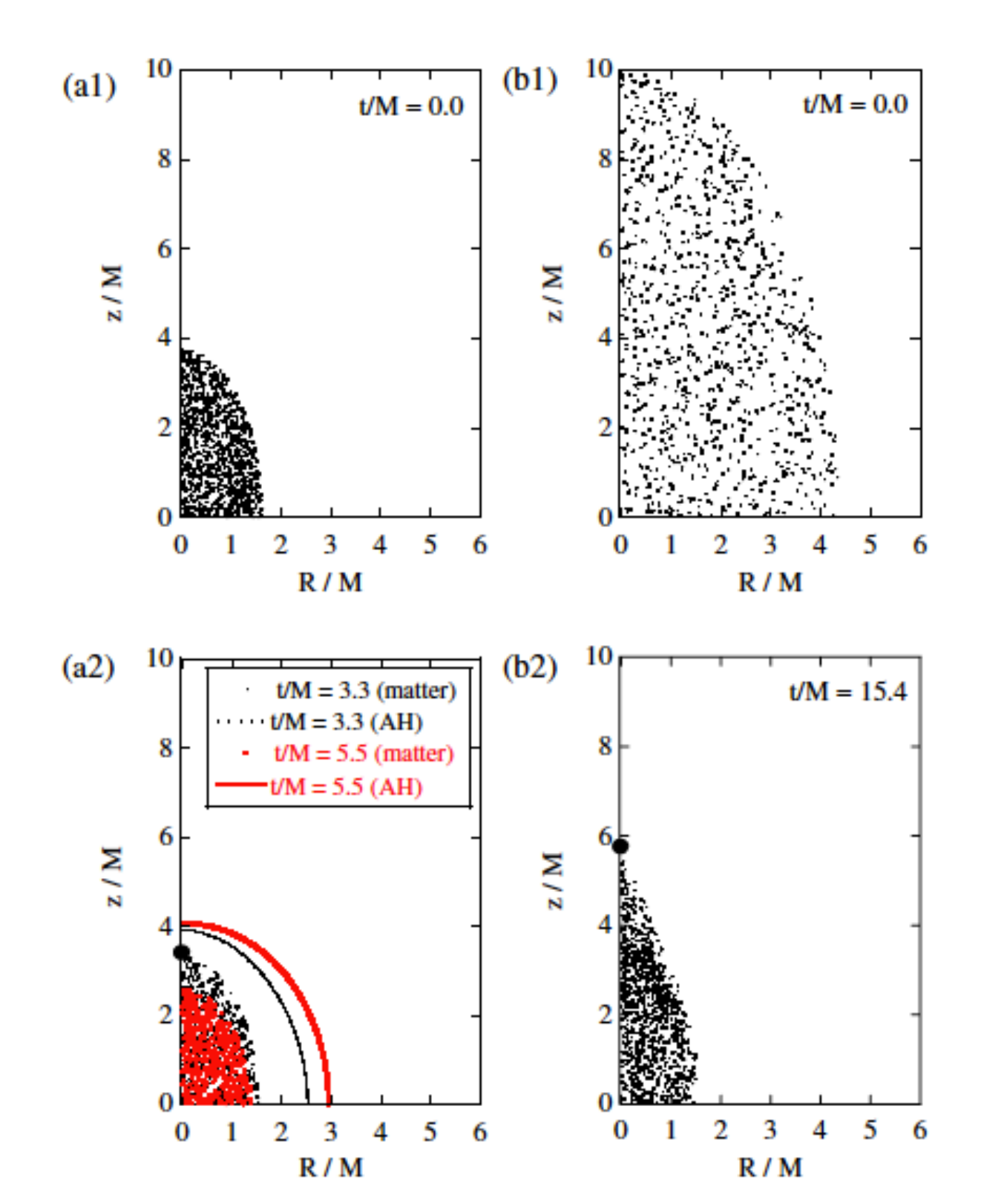


FIG. 2 (color online). Snapshots of 5D axisymmetric evolution with the initial matter distribution of b/M=4 [(a1) and (a2); model 5DS β in Table I] and 10 [(b1) and (b2); model 5DS δ]. We see the apparent horizon (AH) is formed at the coordinate time t/M=3.3 for the former model and the area of AH increases, while AH is not observed for the latter model up to the time t/M=15.4, when our code stops due to the large curvature. The big circle indicates the location of the maximum Kretschmann invariant $I_{\rm max}$ at the final time at each evolution. Number of particles are reduced to 1/10 for figures.

裸の特異点は存在するのか?(ホーキングvsソーンの賭け ver2)

Whereas Stephen W. Hawking (having lost a previous bet on this subject by not demanding genericity) still firmly believes that naked singularities are an anathema and should be prohibited by the laws of classical physics,

And whereas John Preskill and Kip Thorne (having won the previous bet) still regard naked singularities as quantum gravitational objects that might exist, unclothed by horizons, for all the Universe to see,

Therefore Hawking offers, and Preskill/Thorne accept, a wager that

When any form of classical matter or field that is incapable of becoming singular in flat spacetime is coupled to general relativity via the classical Einstein equations, then

A dynamical evolution from generic initial conditions (i.e., from an open set of initial data) can never produce a naked singularity (a past-incomplete null geodesic from \mathcal{I}_+).

The loser will reward the winner with clothing to cover the winner's nakedness. The clothing is to be embroidered with a suitable, truly concessionary message.

Stephen W. Hawking

Jel PRotter KpS. Thomas

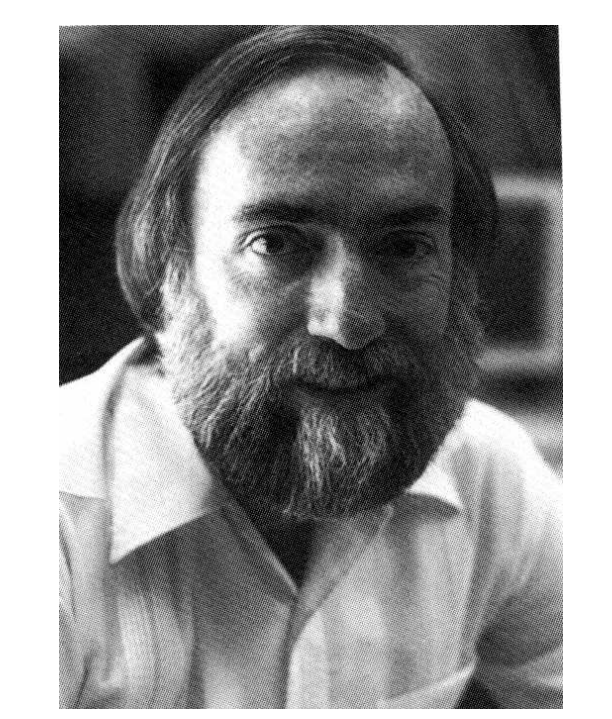
John P. Preskill & Kip S. Thorne

Pasadena, California, 5 February 1997

ホーキング 「一般的な初期条件では、裸の 特異点は発生しない」



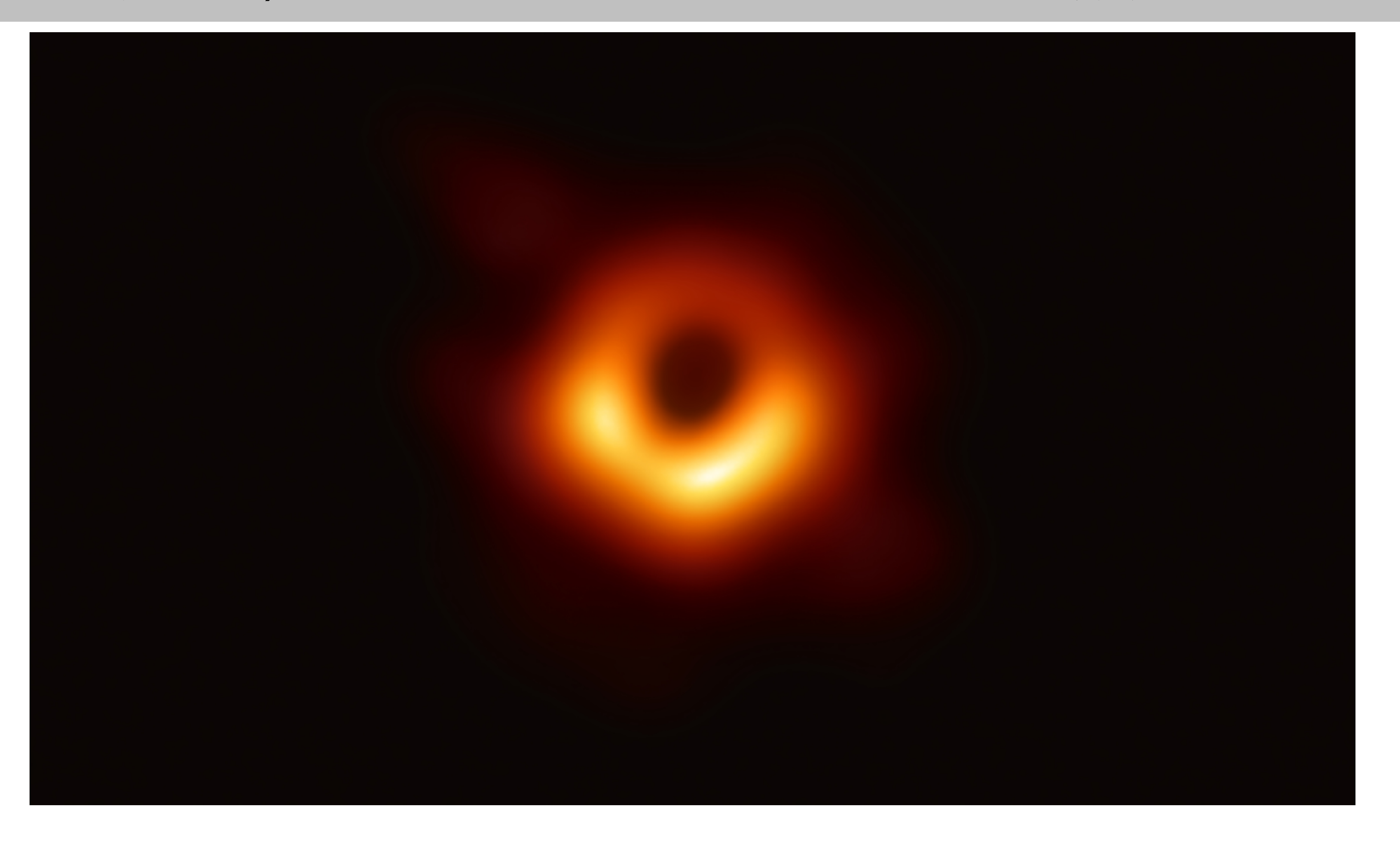
ソーン,プレスキル 「あり得る」



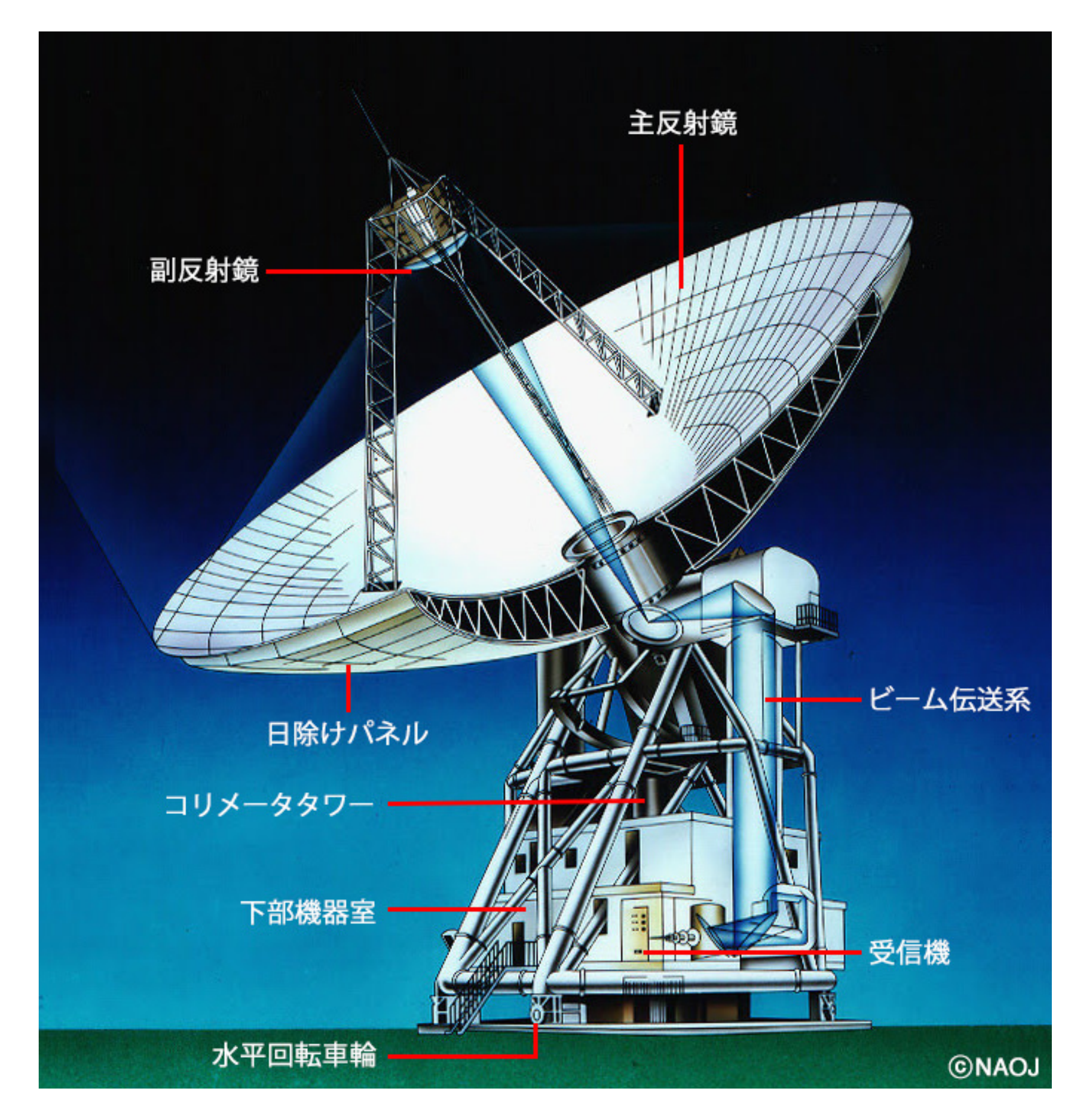
敗者は裸体を覆う着物を勝者に 与え,その着物には敗北を認め る文章を入れること.

1997年2月5日

2019年4月10日,国立天文台グループ「ブラックホールの直接撮像に初めて成功」



電波望遠鏡口径が大きいほど集光力高い,分解能高い





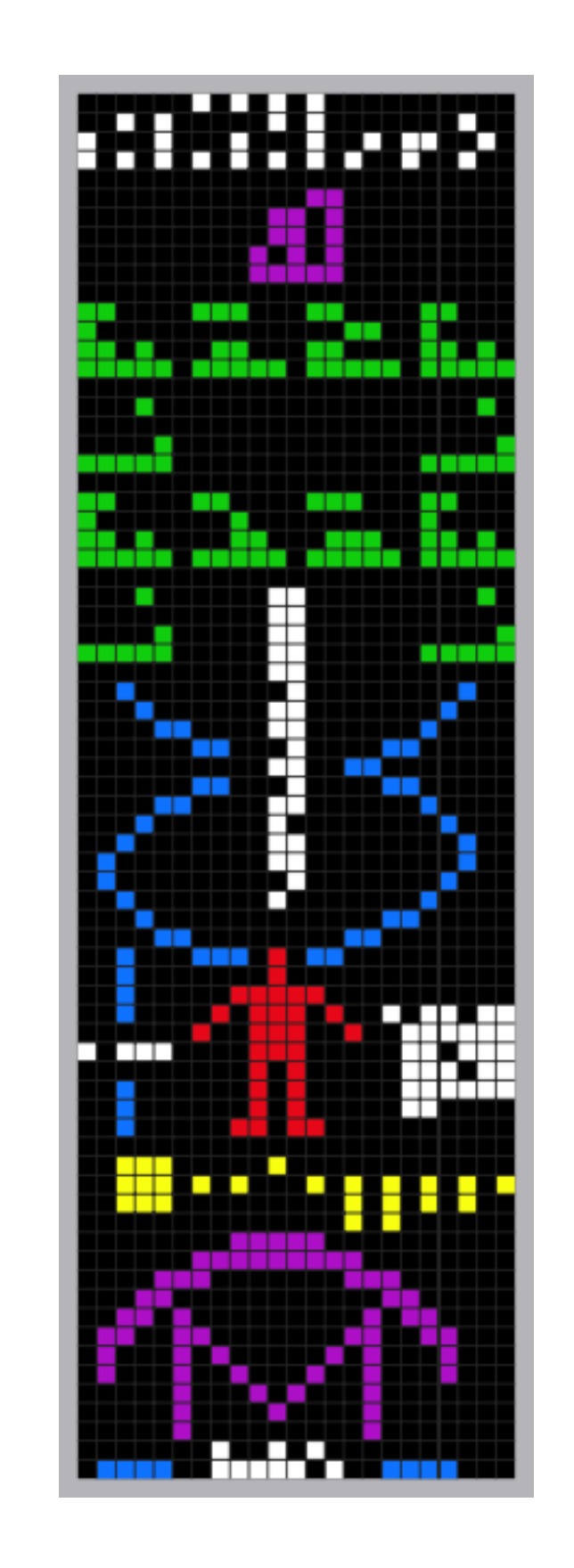
分解能一波長/口径

野辺山45m望遠鏡

アレシボ電波望遠鏡 305メートル球面電波望遠鏡(1963ー)

(Arecibo Observatory, プエルトリコ)





1964 水星の自転周期55日の発見

1968 かにパルサー中心に中性子星発見

1974 連星中性子星発見

1989 小惑星カスタリア直接観測

1992 パルサーを公転する太陽系外惑星発見

アレシボ・メッセージ (1974)

SETI (1999—)

アルマ望遠鏡 Atacama Large Millimeter/Submillimeter Array

日本が、欧米と共同で、チリのアタカマに建設した電波望遠鏡

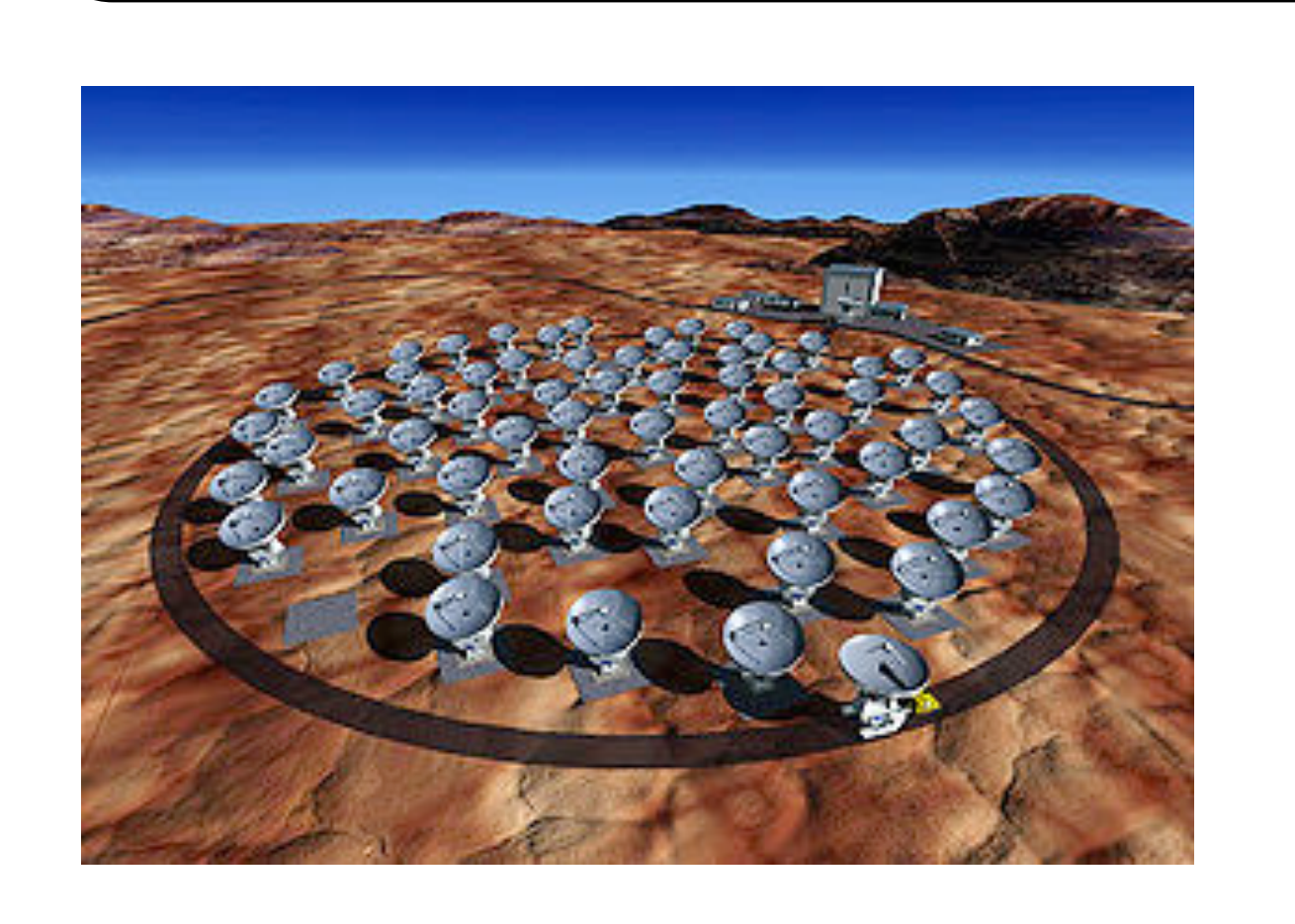
全66台のアンテナが設置され、日本は16台を担当. 「いざよい」と命名. 標高5000m地点に設置されている.

直径12メートルのアンテナを50台組み合わせるアンテナ群と、直径12メートルのアンテナ4台と直径7メートルアンテナ12台からなる。最大18.5キロメートルまでアンテナ間隔を広げることができ、最大の空間分解能は、0.05 マイクロラジアン



http://alma.mtk.nao.ac.jp/

「大阪にある一円玉を東京から見分けられるほどの高 い解像度」





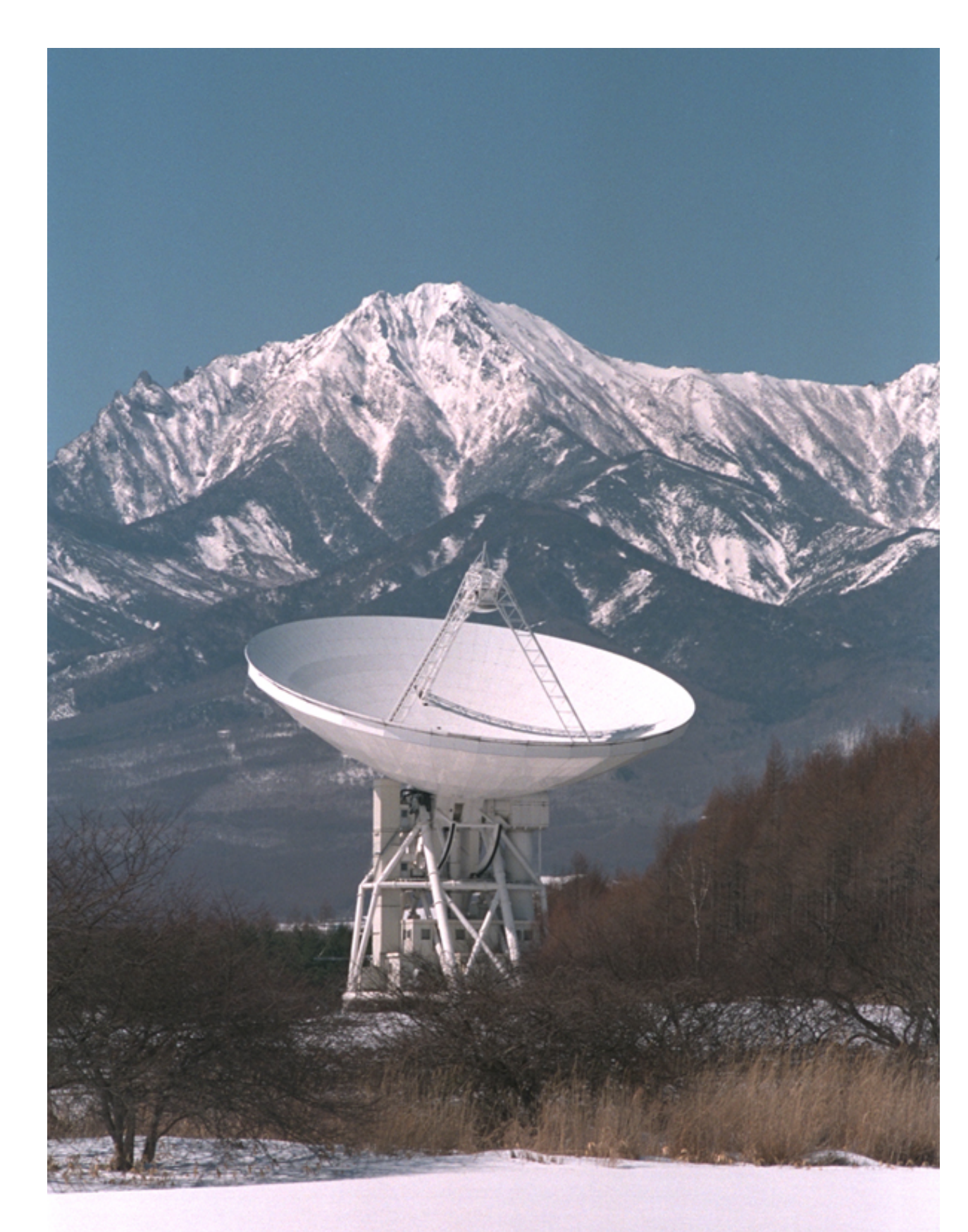
中国 天眼(FAST) 500メートル球面電波望遠鏡(2016ー)

(Five-hundred-meter Aperture Spherical radio Telescope: FAST)



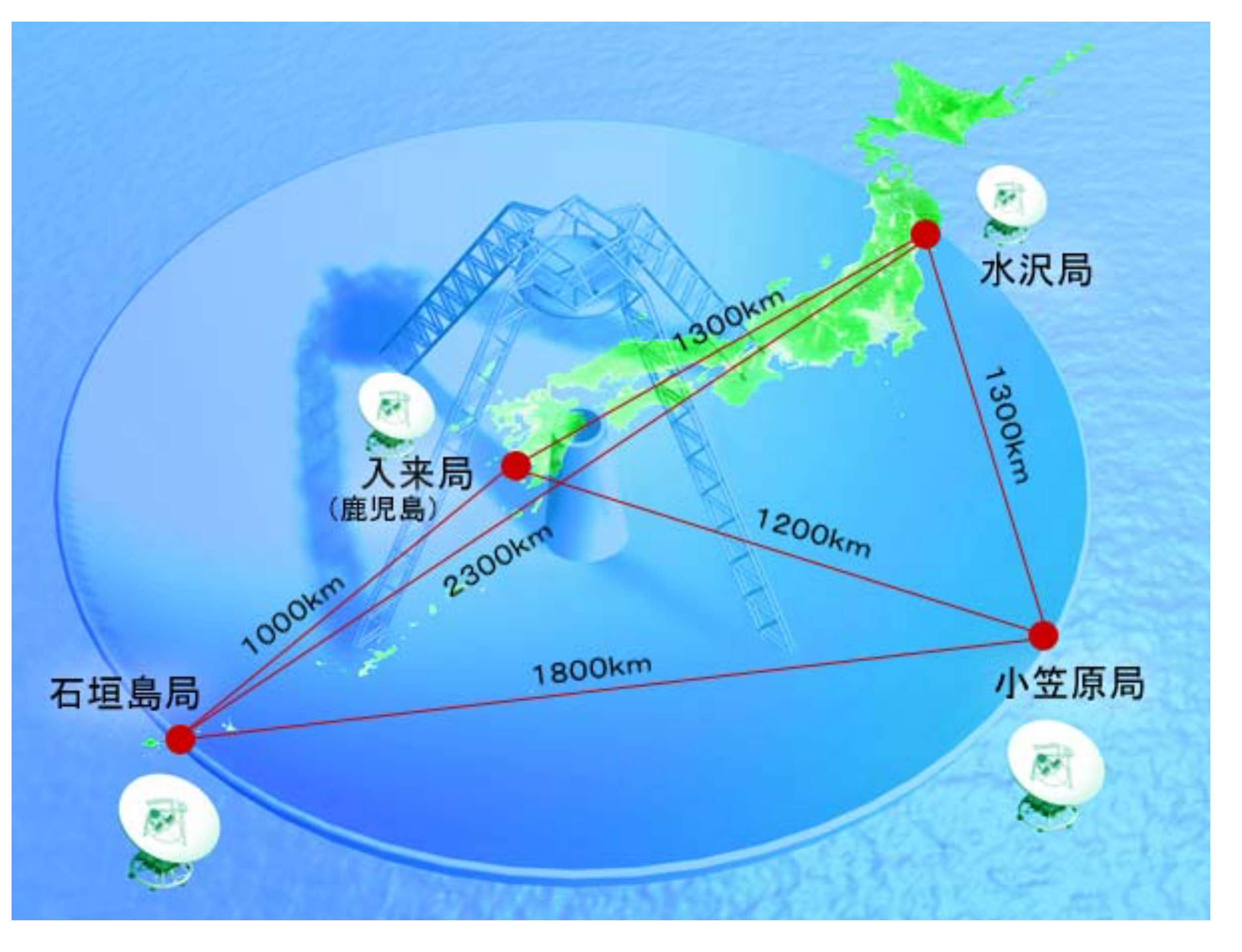
中国南西部の貴州省, 185億円, 天頂から40度の範囲を観測可能, 1万人強制移住, 半径5km以内携帯電話禁止

電波干渉計





VLBI = Very Long Baseline Interferometer
VERA = VLBI Exploration of Radio Astrometry



http://veraserver.mtk.nao.ac.jp/system/index.html

Event Horizon Telescope





https://doi.org/10.3847/2041-8213/ab0e

First M87 Event Horizon Telescope Results. I. The Shadow of the Supermassive Black Hole

The Event Horizon Telescope Collaboration
(See the end matter for the full list of authors.)

Received 2019 March 1; revised 2019 March 12; accepted 2019 March 12; published 2019 April 10

Abstract

When surrounded by a transparent emission region, black holes are expected to reveal a dark shadow caused by gravitational light bending and photon capture at the event horizon. To image and study this phenomenon, we have assembled the Event Horizon Telescope, a global very long baseline interferometry array observing at a wavelength of 1.3 mm. This allows us to reconstruct event-horizon-scale images of the supermassive black hole candidate in the center of the giant elliptical galaxy M87. We have resolved the central compact radio source as an asymmetric bright emission ring with a diameter of $42 \pm 3 \mu as$, which is circular and encompasses a central depression in brightness with a flux ratio $\gtrsim 10:1$. The emission ring is recovered using different calibration and imaging schemes, with its diameter and width remaining stable over four different observations carried out in different days. Overall, the observed image is consistent with expectations for the shadow of a Kerr black hole as predicted by general relativity. The asymmetry in brightness in the ring can be explained in terms of relativistic beaming of the emission from a plasma rotating close to the speed of light around a black hole. We compare our images to an extensive library of ray-traced general-relativistic magnetohydrodynamic simulations of black holes and derive a central mass of $M = (6.5 \pm 0.7) \times 10^9 M_{\odot}$. Our radiowave observations thus provide powerful evidence for the presence of supermassive black holes in centers of galaxies and as the central engines of active galactic nuclei. They also present a new tool to explore gravity in its most extreme limit and on a mass scale that was so far not accessible.

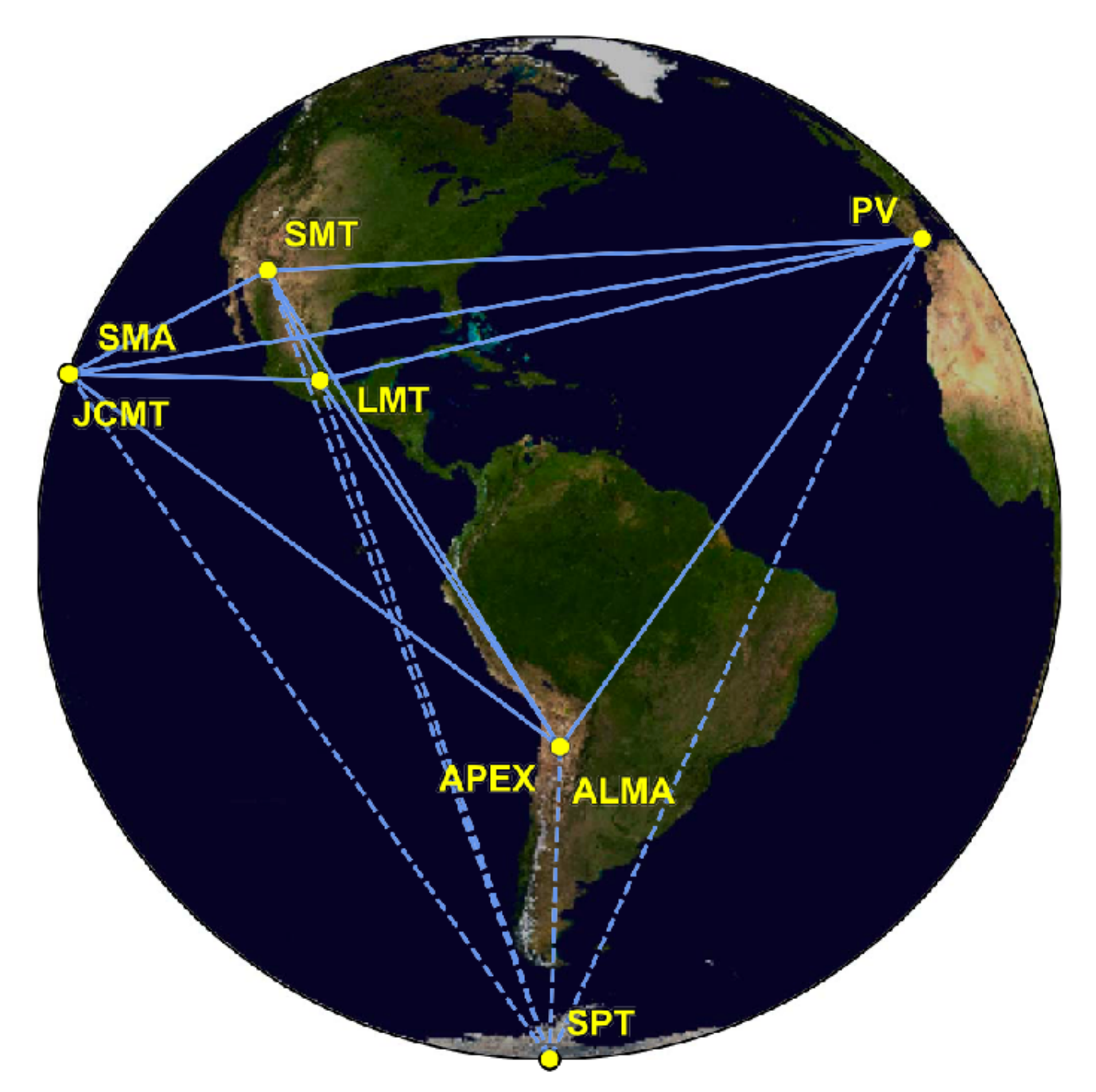


Figure 1. Eight stations of the EHT 2017 campaign over six geographic locations as viewed from the equatorial plane. Solid baselines represent mutual

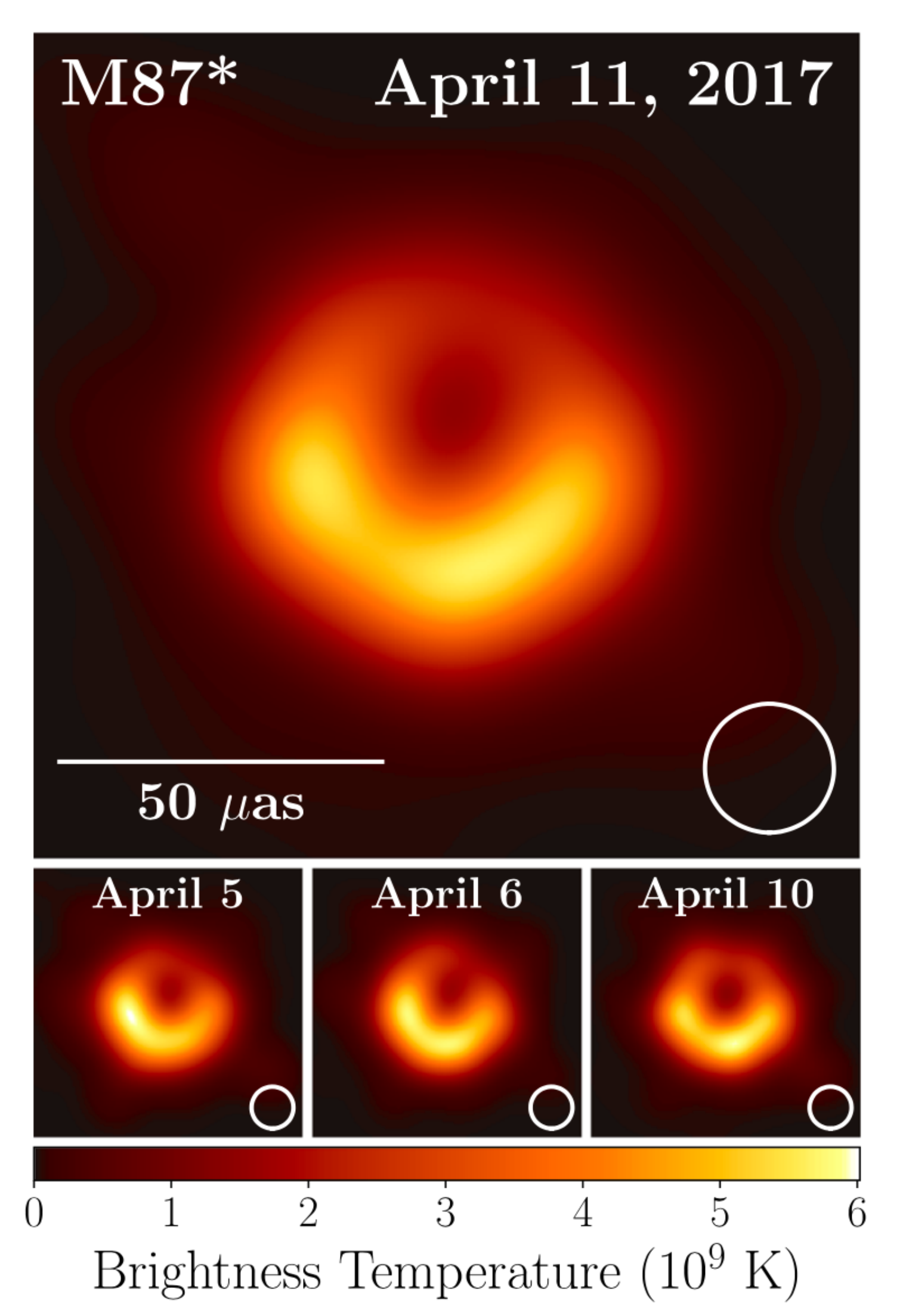
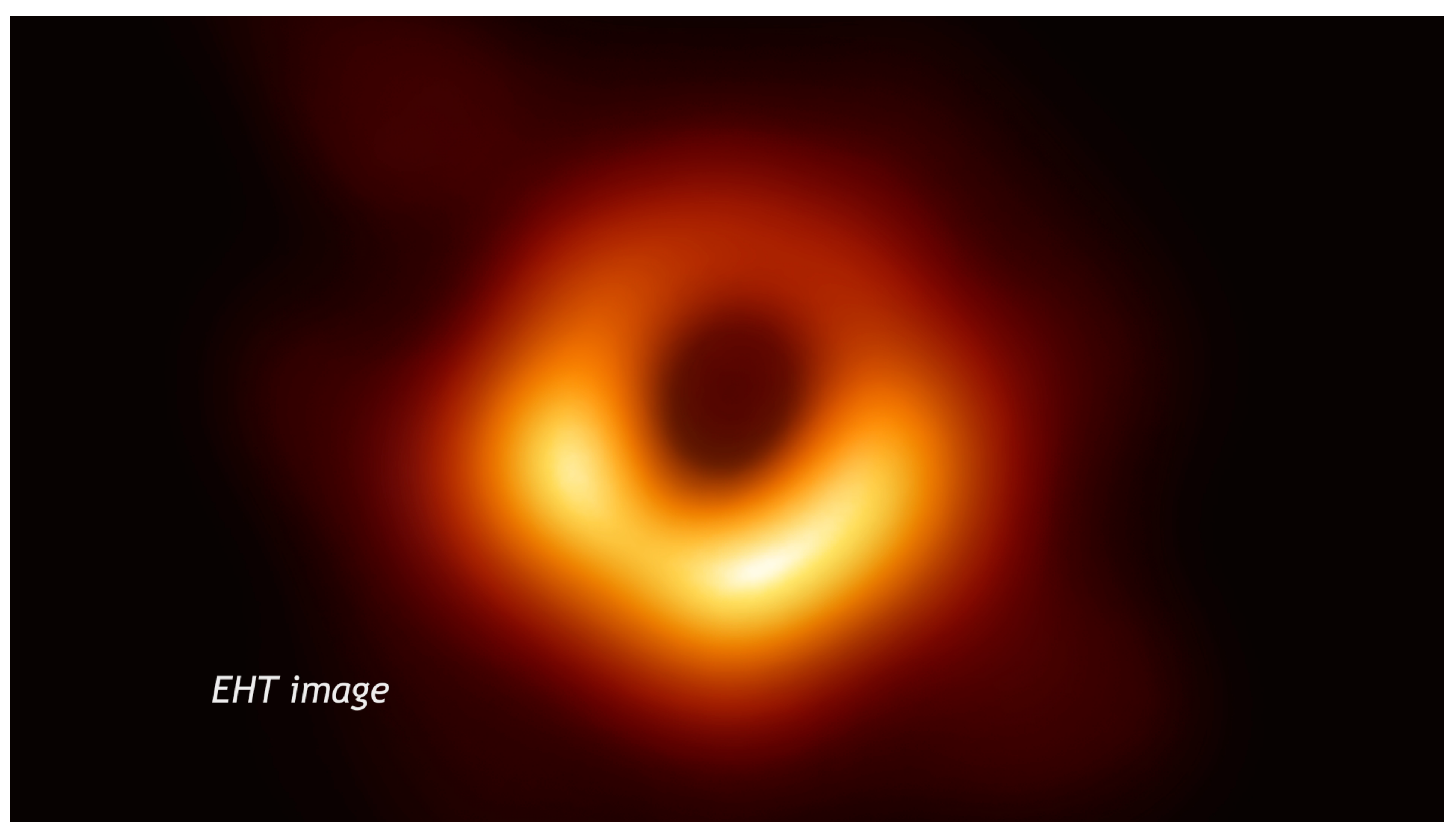


Figure 3. Top: EHT image of M87* from observations on 2017 April 11 as a representative example of the images collected in the 2017 campaign. The image is the average of three different imaging methods after convolving each with a circular Gaussian kernel to give matched resolutions. The largest of the three kernels (20 μ as FWHM) is shown in the lower right. The image is shown in units of brightness temperature, $T_b = S\lambda^2/2k_B\Omega$, where S is the flux density, λ is the observing wavelength, k_B is the Boltzmann constant, and Ω is the solid angle of the resolution element. Bottom: similar images taken over different days showing the stability of the basic image structure and the equivalence among different days. North is up and east is to the left.

ブラックホールシャドウのメカニズム解説映像



https://www.nao.ac.jp/news/sp/20190410-eht/videos.html

2022年5月12日,「天の川銀河中心のブラックホールの直接撮像に初めて成功」

THE ASTROPHYSICAL JOURNAL LETTERS, 930:L17 (44pp), 2022 May 10 © 2022. The Author(s). Published by the American Astronomical Society.

OPEN ACCESS

https://doi.org/10.3847/2041-8213/ac6756

First Sagittarius A* Event Horizon Telescope Results. VI. Testing the Black Hole Metric

The Event Horizon Telescope Collaboration (See the end matter for the full list of authors.)

Received 2022 March 15; revised 2022 April 12; accepted 2022 April 12; published 2022 May 12

Abstract

Astrophysical black holes are expected to be described by the Kerr metric. This is the only stationary, vacuum, axisymmetric metric, without electromagnetic charge, that satisfies Einstein's equations and does not have pathologies outside of the event horizon. We present new constraints on potential deviations from the Kerr prediction based on 2017 EHT observations of Sagittarius A^* (Sgr A^*). We calibrate the relationship between the geometrically defined black hole shadow and the observed size of the ring-like images using a library that includes both Kerr and non-Kerr simulations. We use the exquisite prior constraints on the mass-to-distance ratio for Sgr A^* to show that the observed image size is within $\sim 10\%$ of the Kerr predictions. We use these bounds to constrain metrics that are parametrically different from Kerr, as well as the charges of several known spacetimes. To consider alternatives to the presence of an event horizon, we explore the possibility that Sgr A^* is a compact object with a surface that either absorbs and thermally reemits incident radiation or partially reflects it. Using the observed image size and the broadband spectrum of Sgr A^* , we conclude that a thermal surface can be ruled out and a fully reflective one is unlikely. We compare our results to the broader landscape of gravitational tests. Together with the bounds found for stellar-mass black holes and the M87 black hole, our observations provide further support that the external spacetimes of all black holes are described by the Kerr metric, independent of their mass.

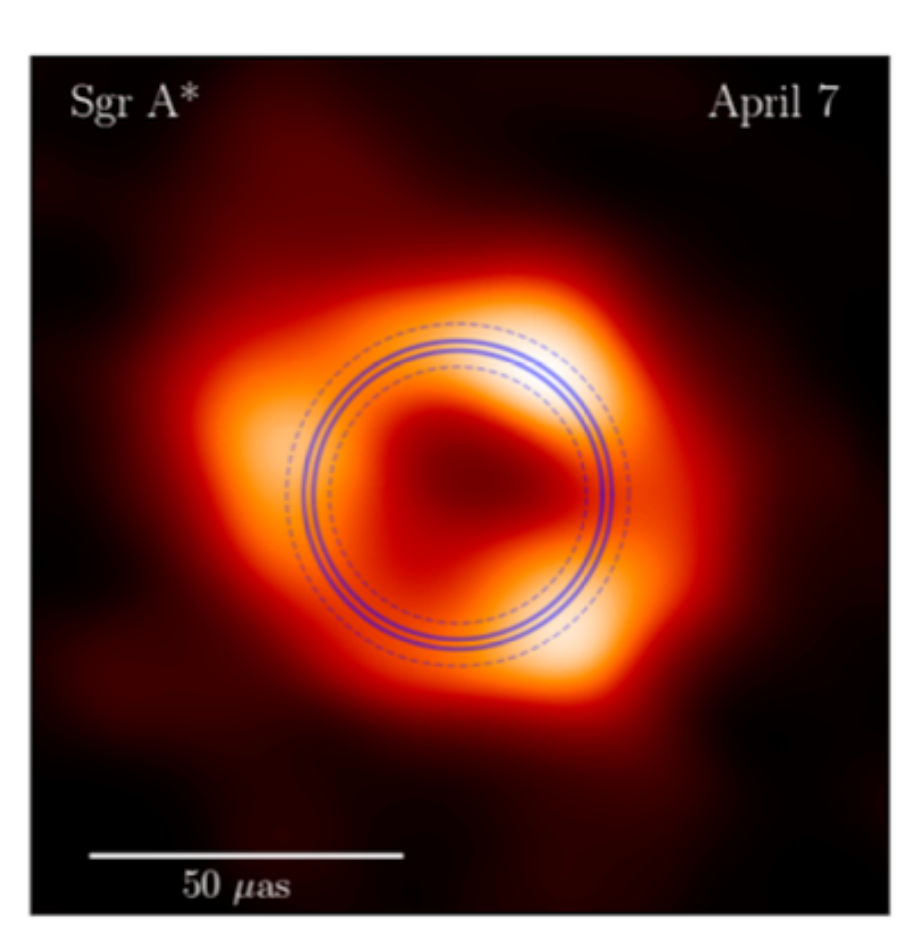
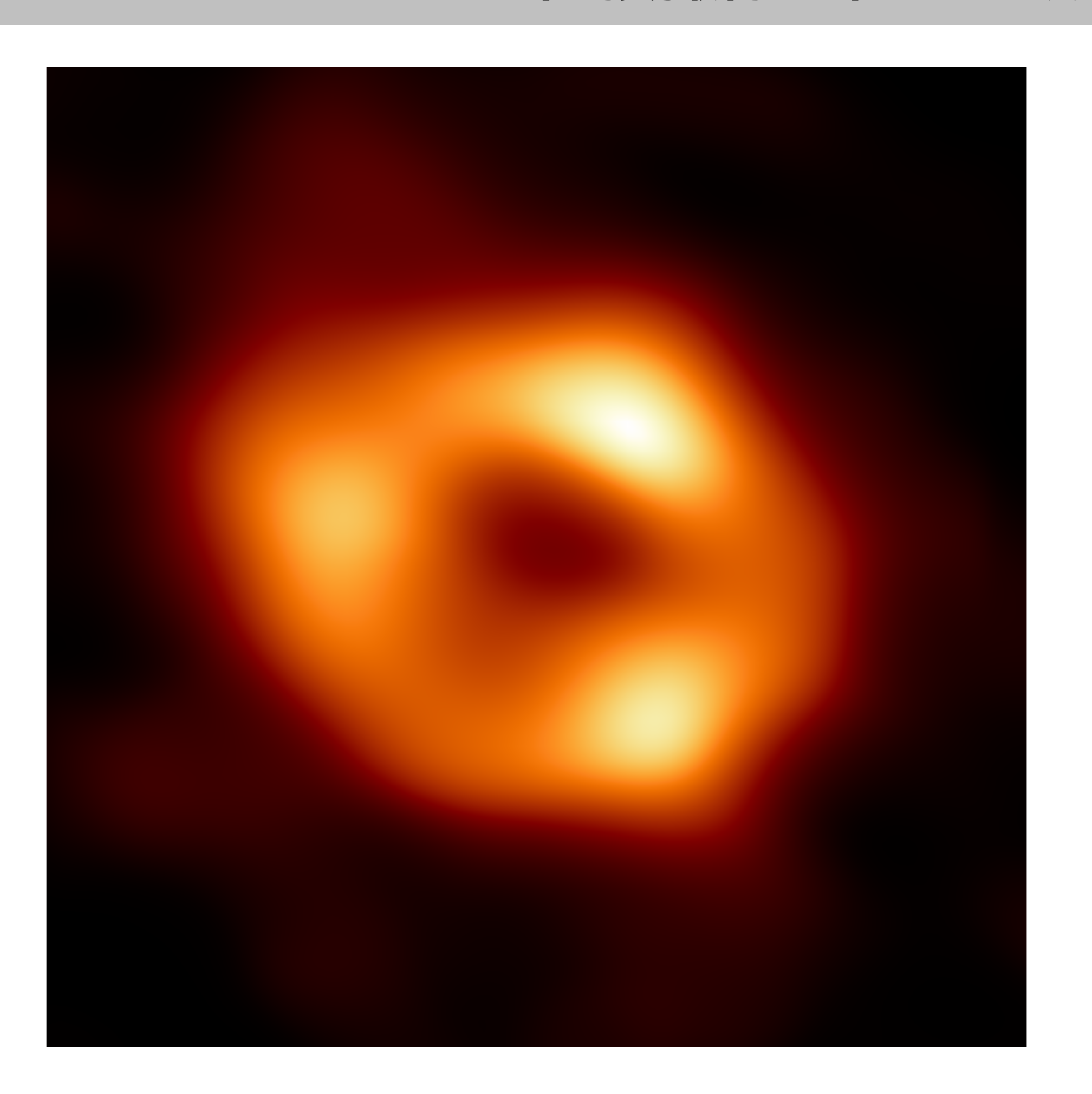


Figure 11. Inferred diameter of the black hole shadow boundary overlaid on the average EHT image of Sgr A* obtained from the 2017 April 7 data. Solid lines show the range of most likely values, while the dashed lines show the envelope of the 68th percentile credible intervals for all methods.



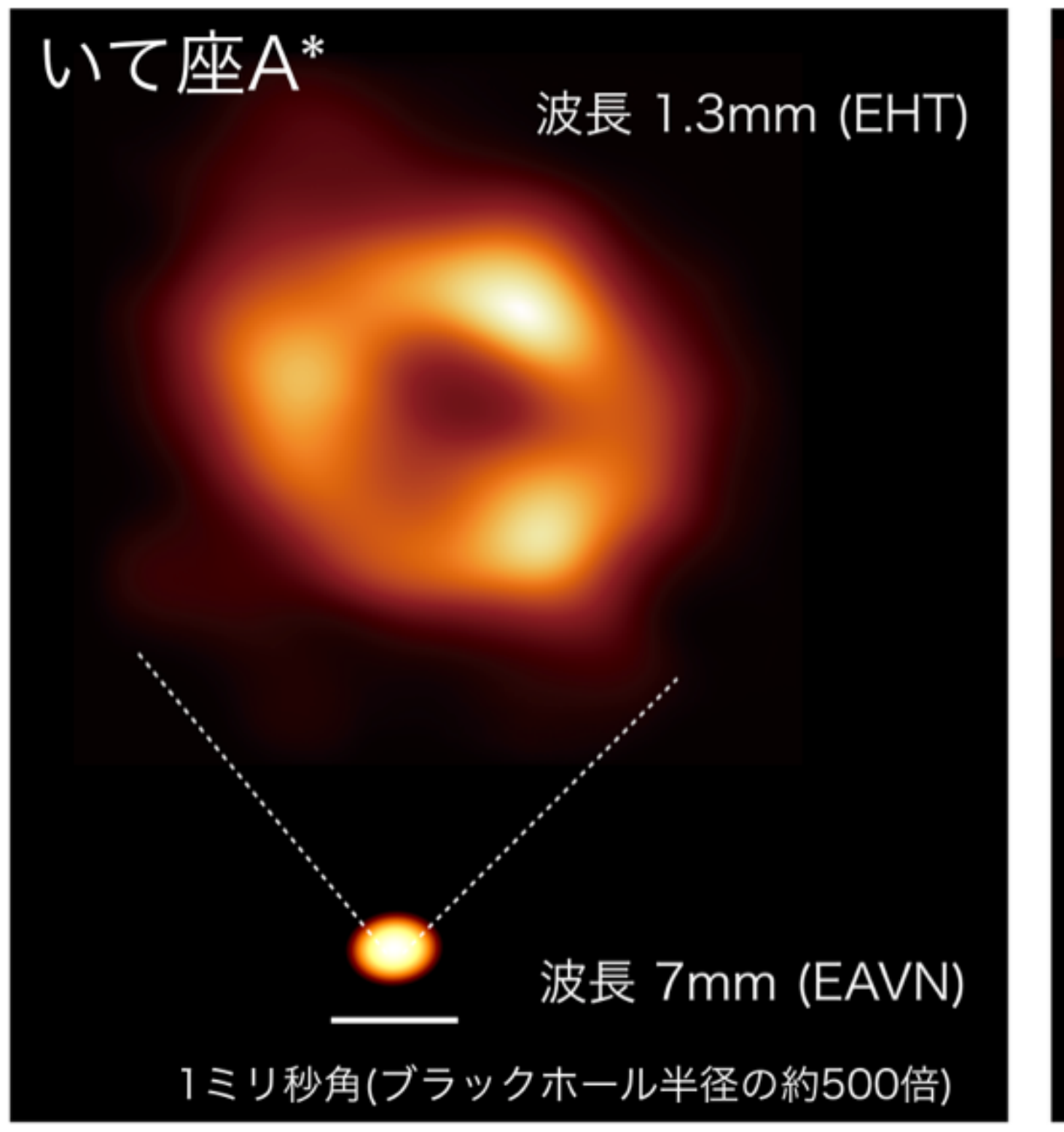
地球から2万8000光年

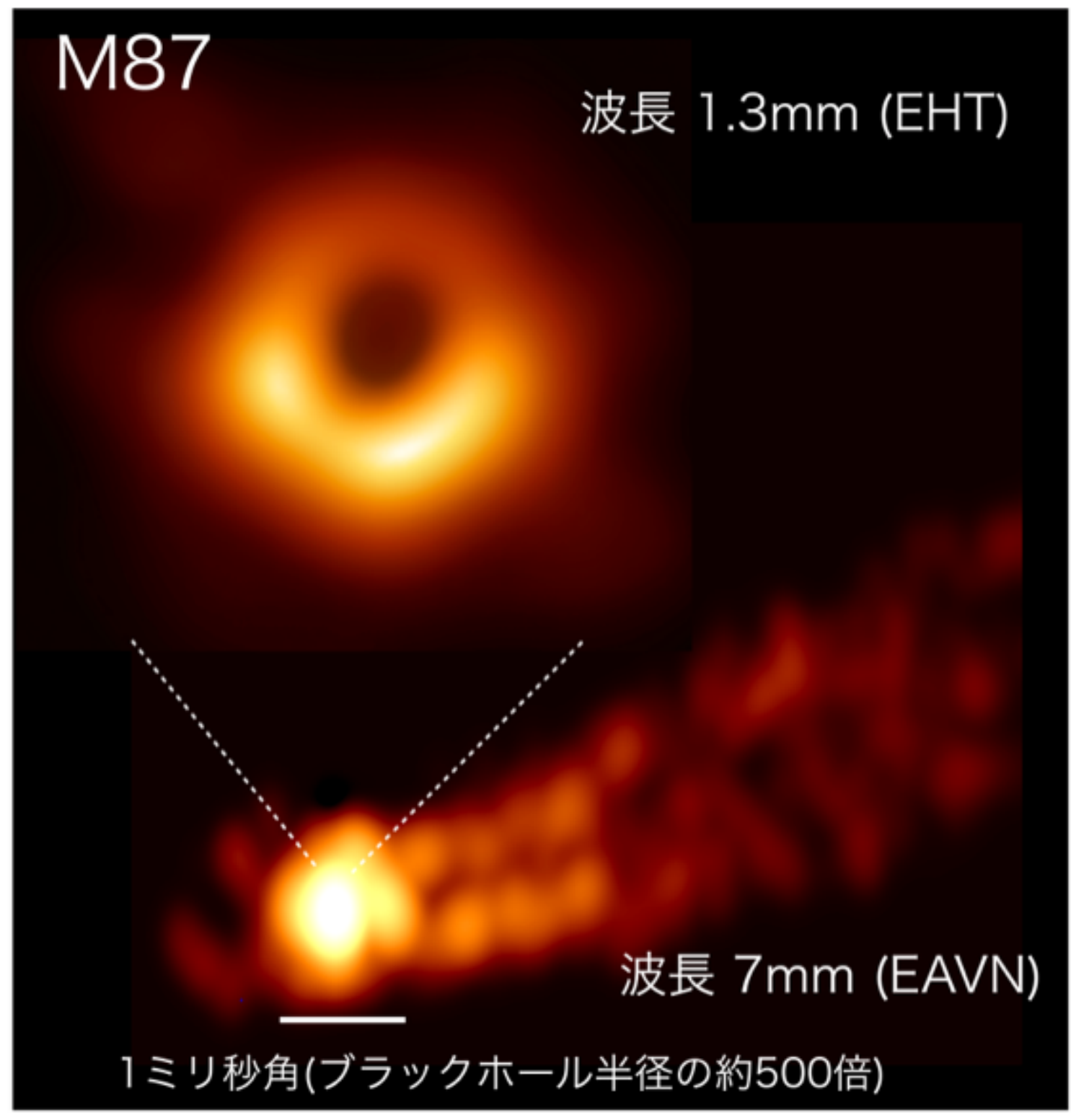
https://eventhorizontelescope.org

2022年5月12日,「天の川銀河中心のブラックホールの直接撮像に初めて成功」

Sgr A*	M87
400万太陽質量	65億太陽質量
8 kpc	16.8 Mpc

3桁大きなBHが 3桁遠くにいるので、 同じ位の大きさに見える

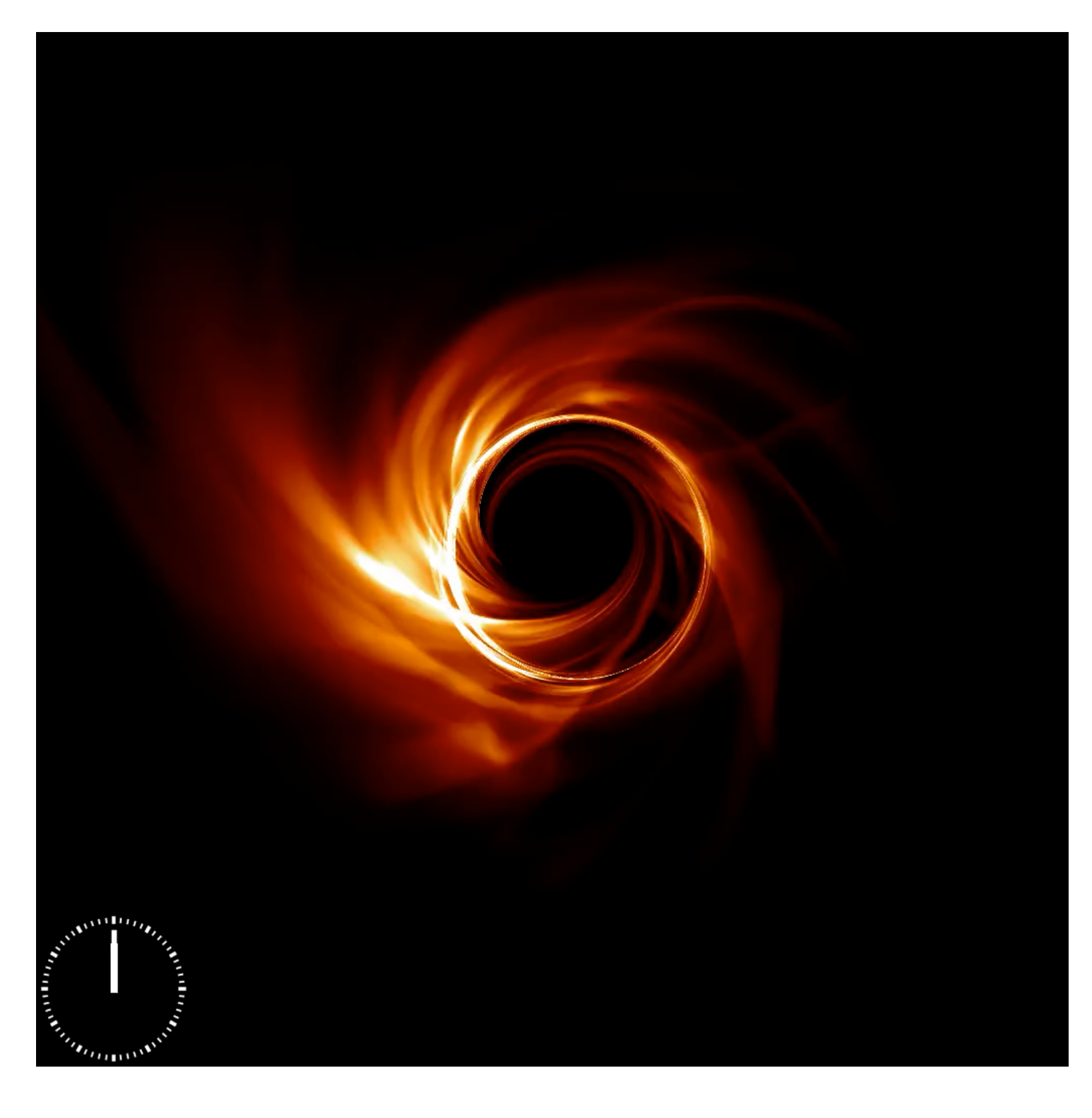




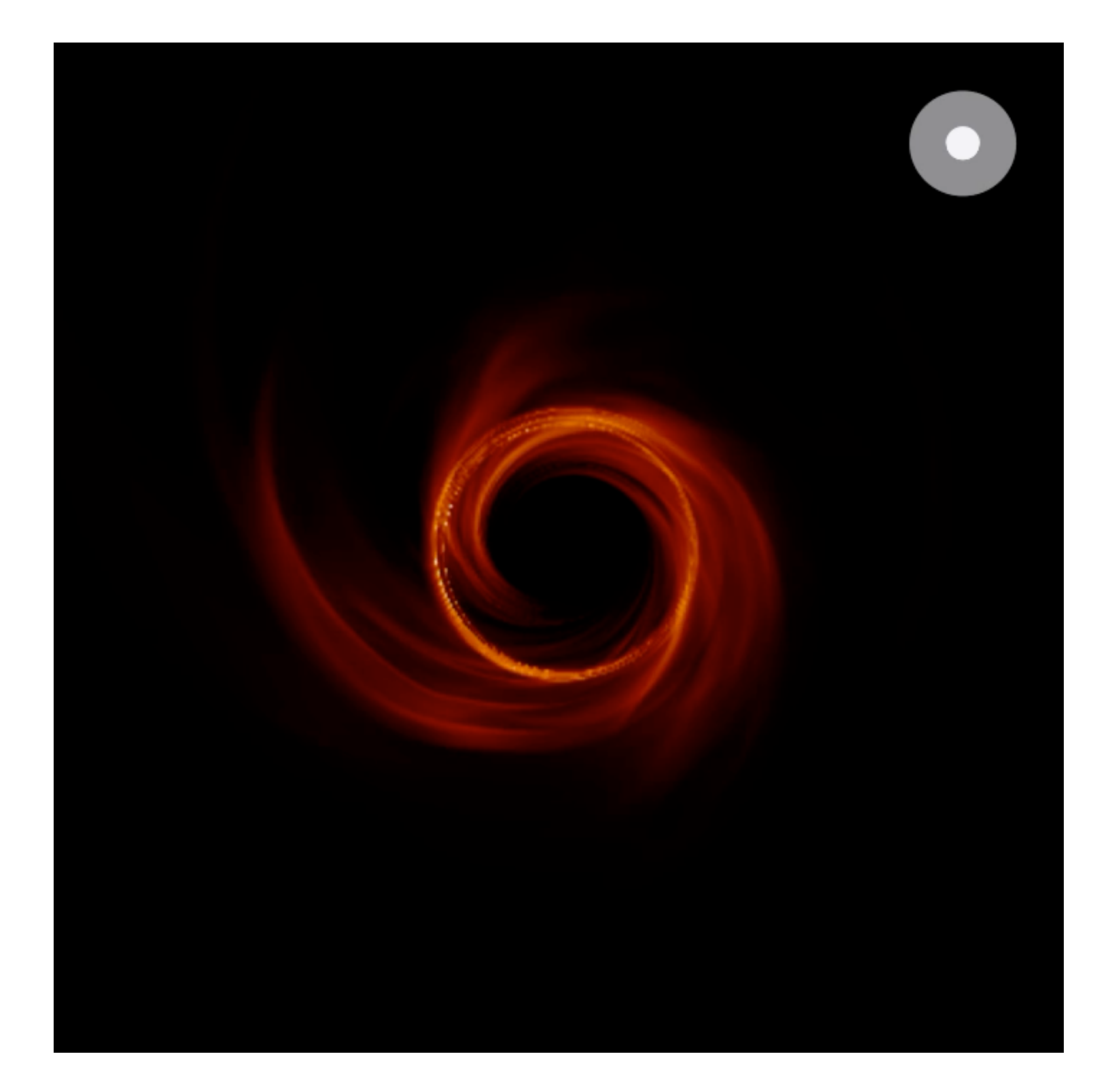
[図6] いて座A*(左)とM87(右)の画像比較。上側のリングはEHTで得られたブラックホール近傍画像。下側の画像は東アジアVLBI観測網(EAVN)で得られたブラックホール遠方画像。ブラックホール遠方画像において、M87では図の左下から右上へと伸びるジェットが見られるのに対し、いて座A*ではジェットの明確な証拠は得られていない。その一方でEHTで得られたリング画像はとてもよく似ている。(クレジット:EHT Collaboration, EAVN Collaboration)

これからの観測ターゲットは動画

ブラックホールの回転軸の傾きも知りたい



いて座A*の理論モデル画像(クレジット: Abhishek Joshi, University of Illinois at Urbana-Champaign)



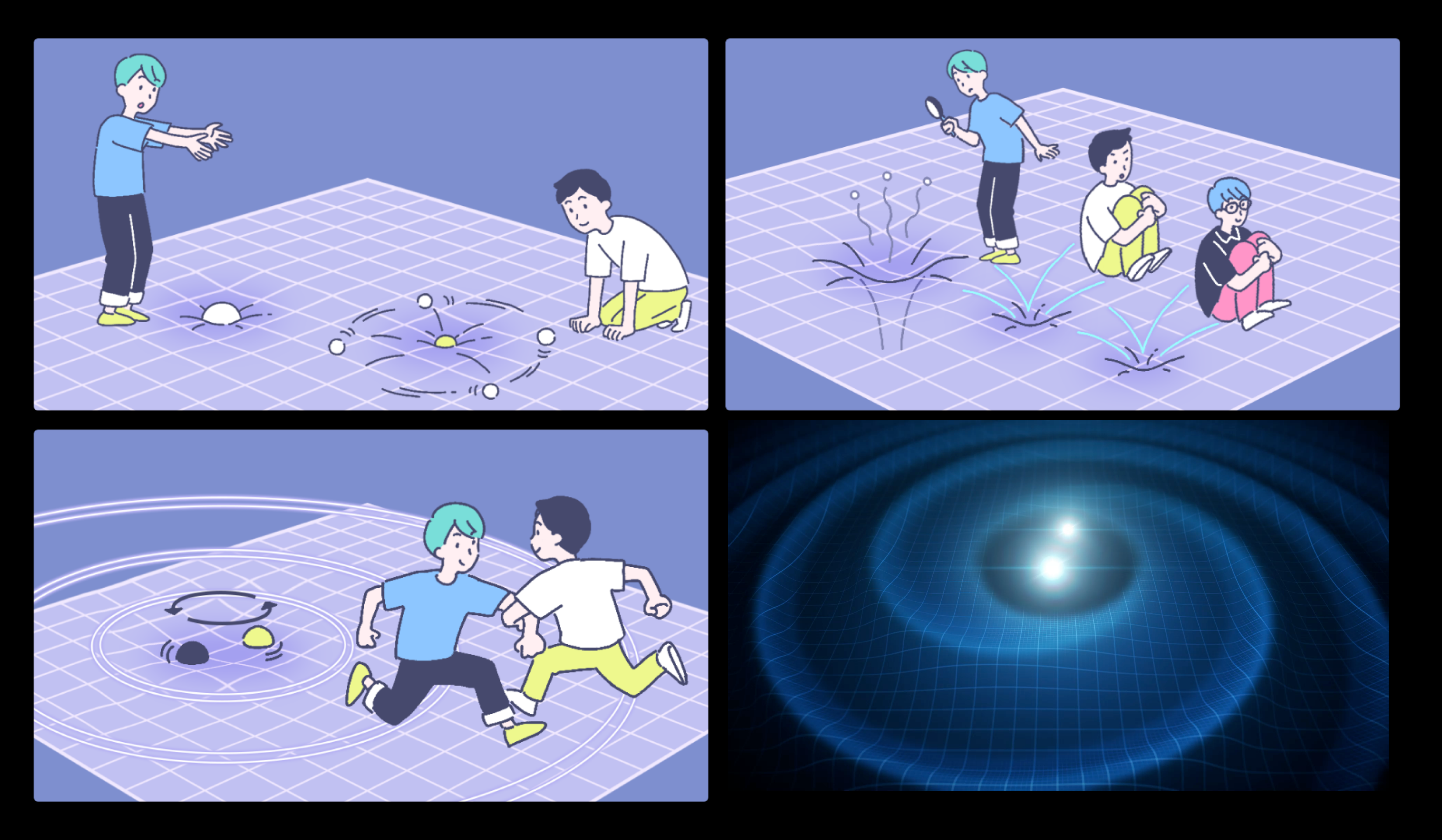
見込み角の違いによるいて座A*の理論モデル画像の変化 (クレジット: Vedant Dhruv, University of Illinois at Urbana-Champaign)

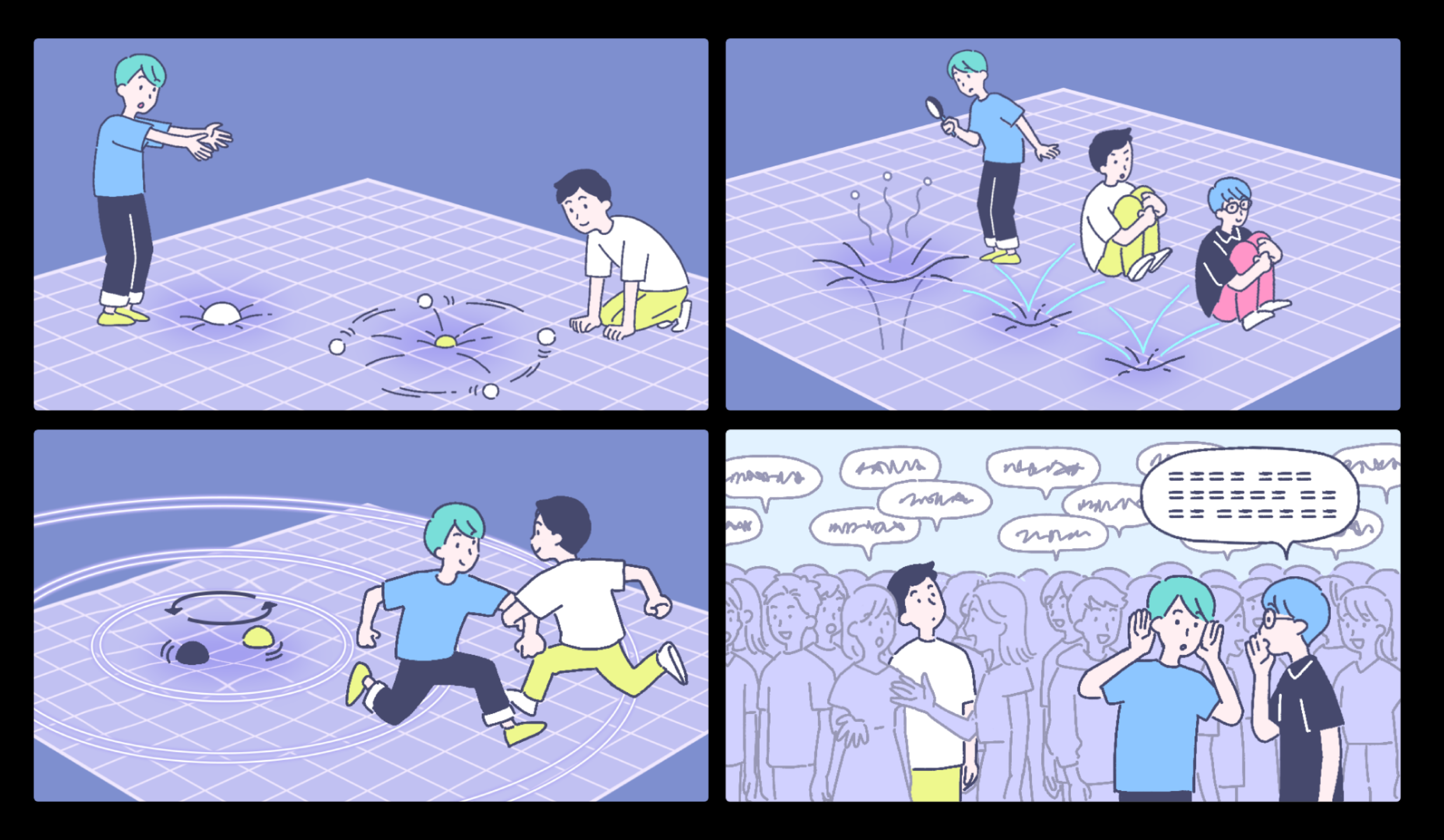
https://www.nao.ac.jp/news/sp/20220512-eht/videos.html

重力波 gravitational wave

重力を伝える波が存在するはず、

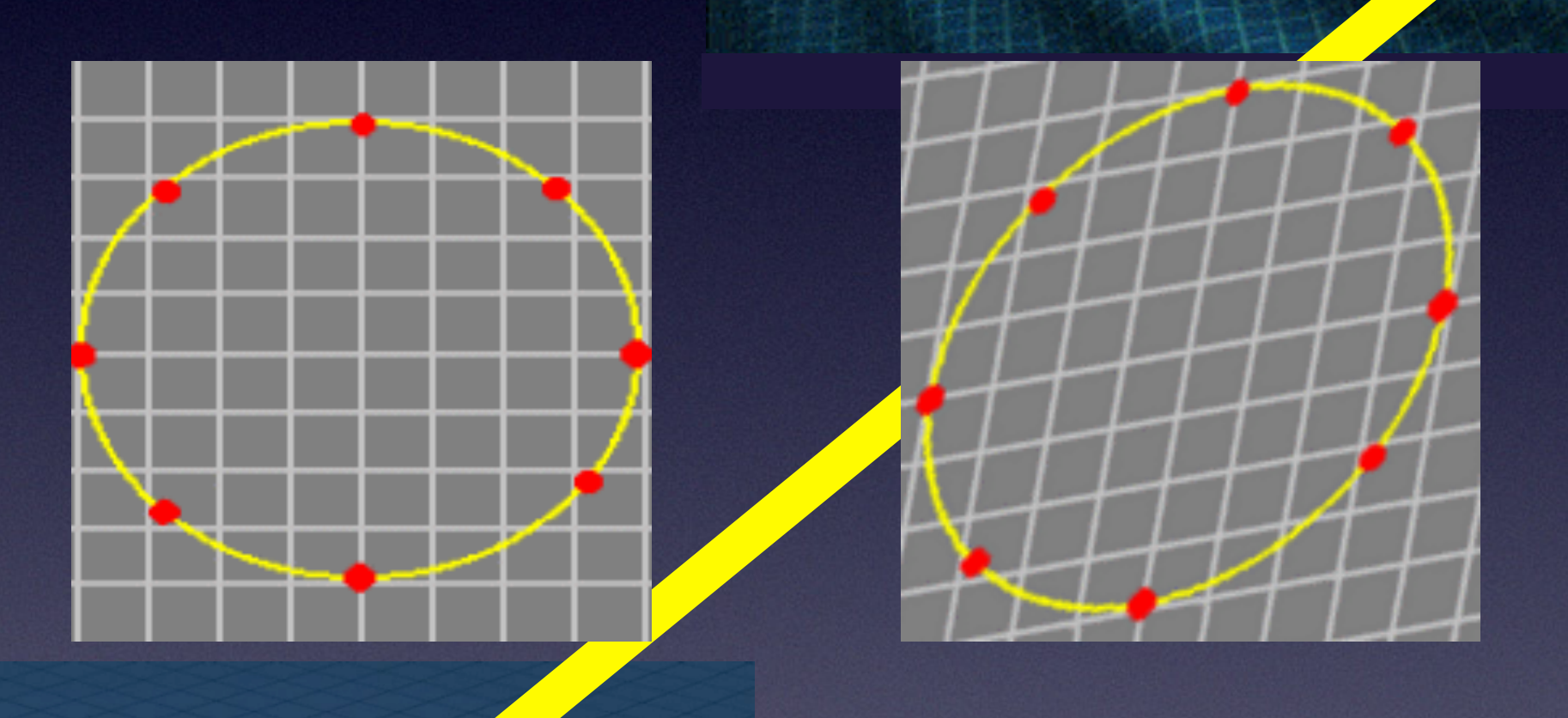
現在の、一般相対性理論研究の中心課題。





重力波の発生と伝播

連星ブラックホールや連星中性子星

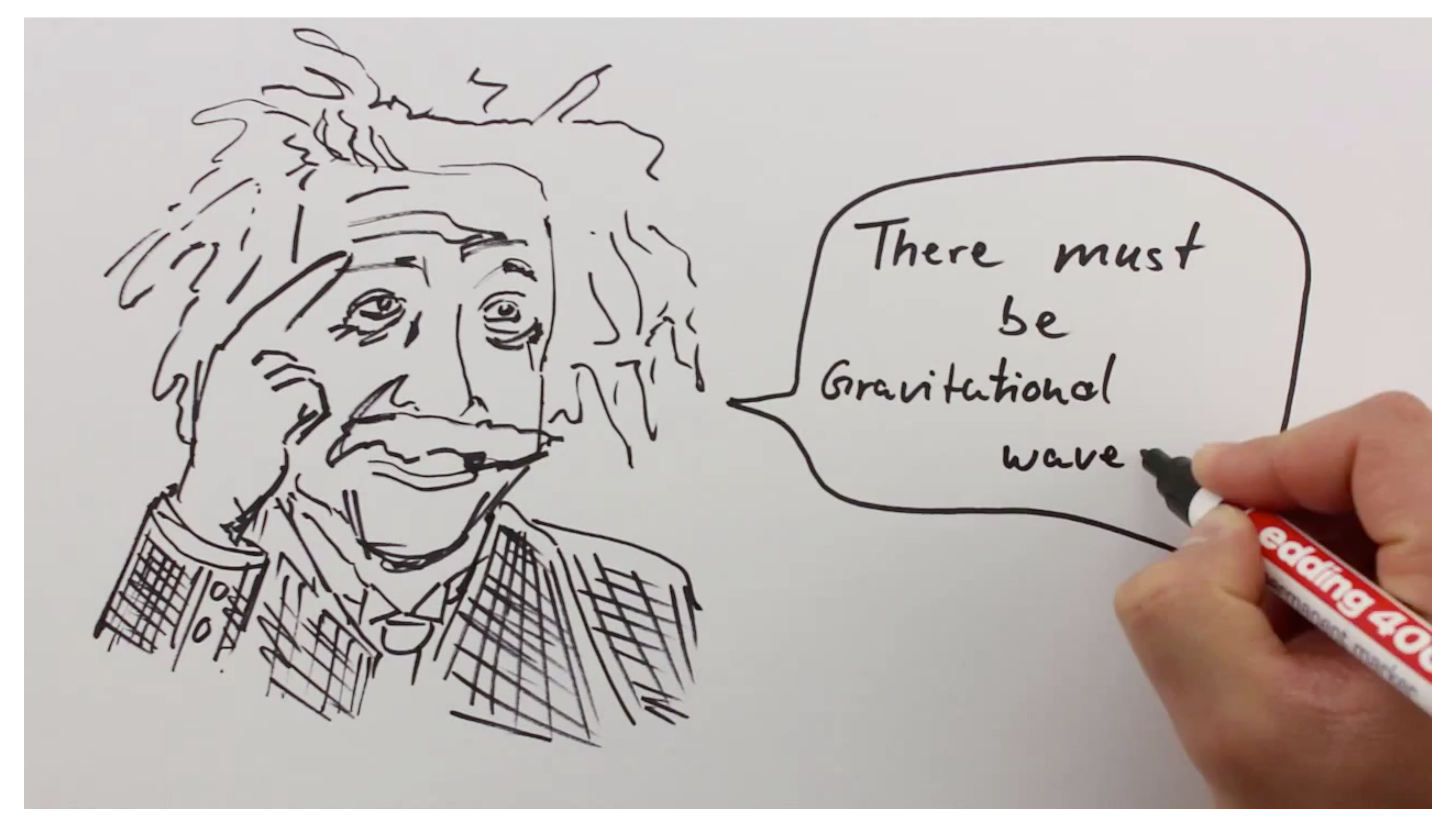


レーザー干渉計

LIGO=Laser Interferometer

Gravitational-Wave Observatory

Gravity Ink. - The Future of Astronomy (Episode 2)



LISAcommunity http://support.elisascience.org

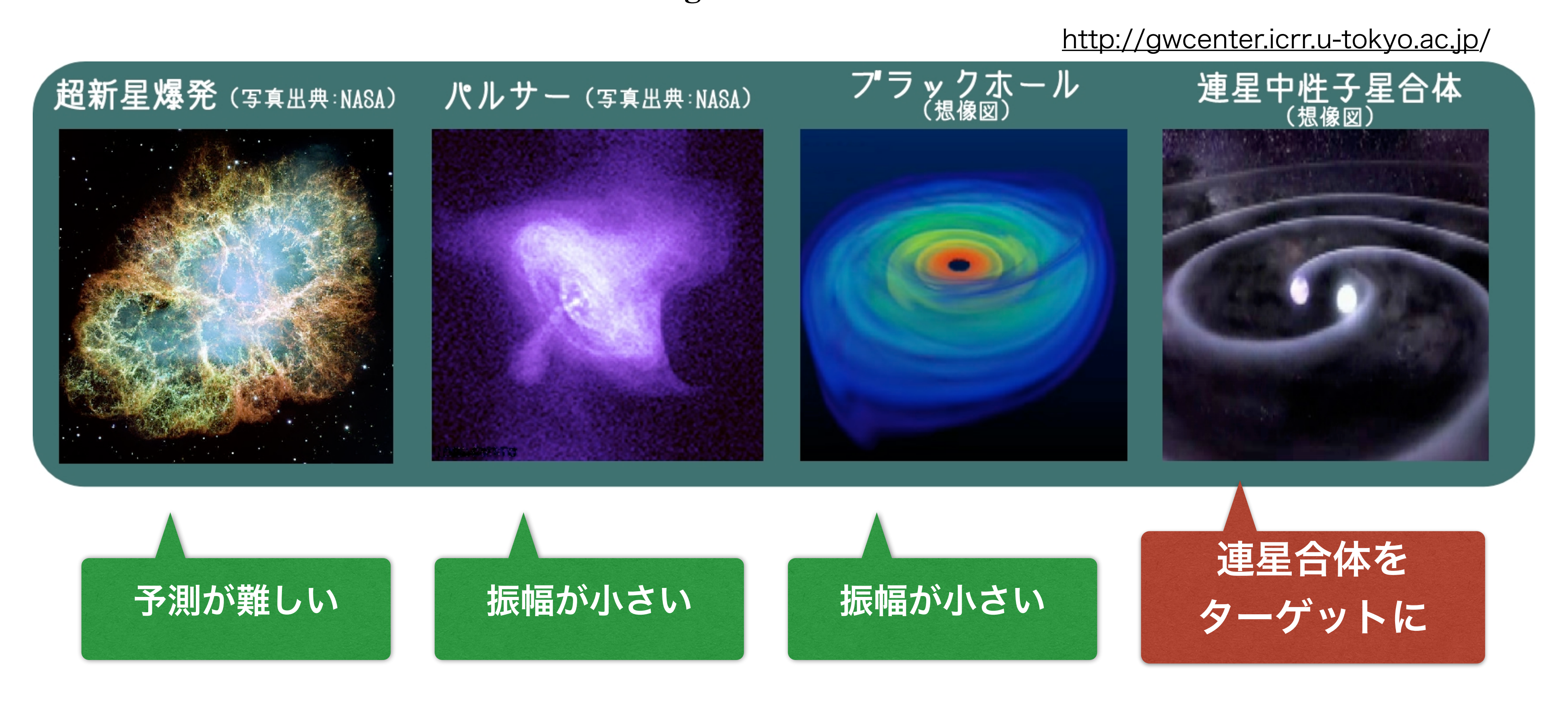
Hand: Pavel Gurov Voice: Heather Audley

Concept: Oliver Gerberding, Simon Barke, Heather Audley, Benjamin Knispel

Start on click, 3 min

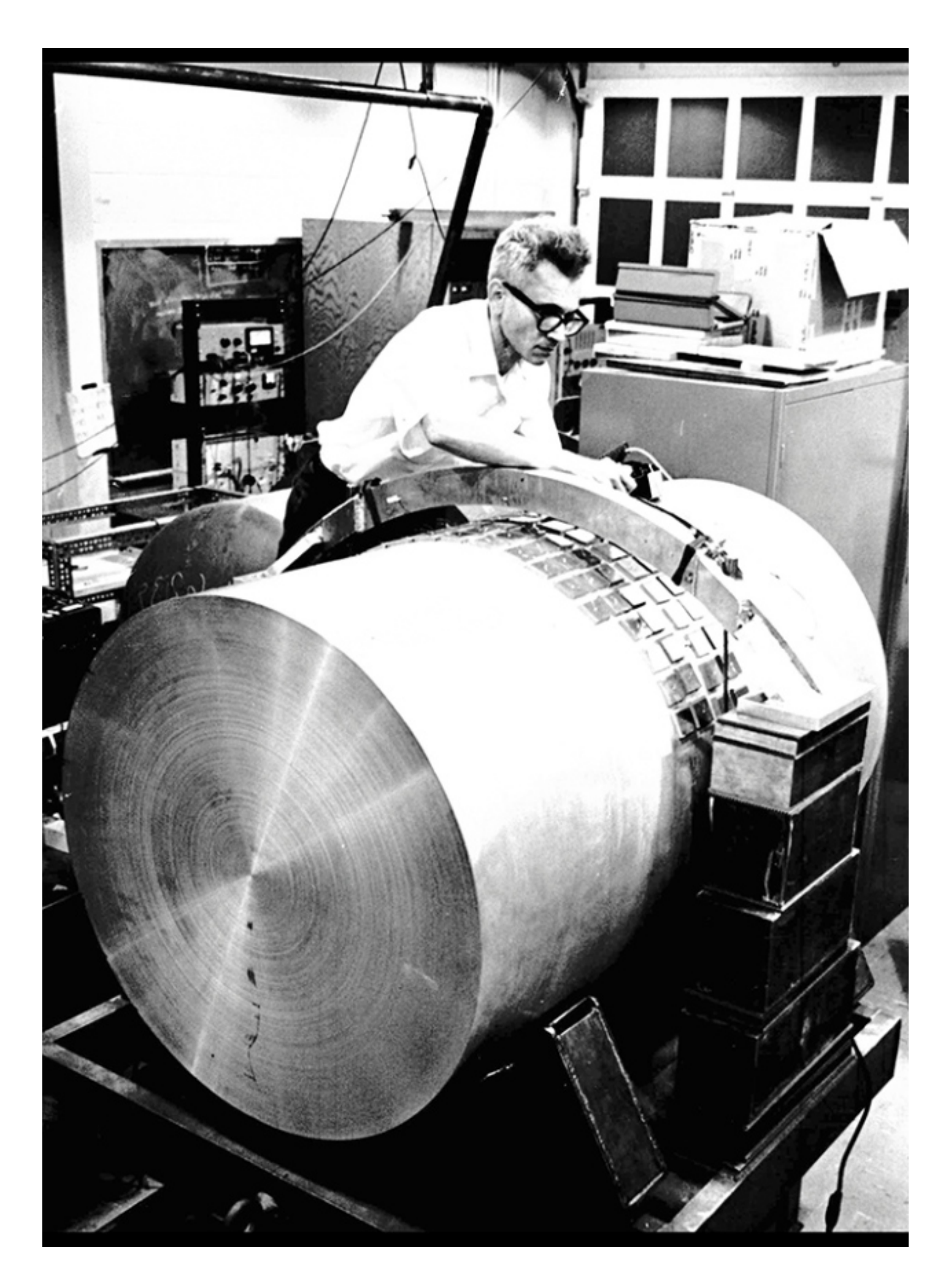
重力波の波源

sources of gravitational wave



重力波は弱いのであらかじめ、波形の予測が必要 ノイズにまみれたデータに、予測した波形があるか探す

重力波 幻の発見 (1968/70)



68年に「2台の装置で同時に重力波信号を検出」

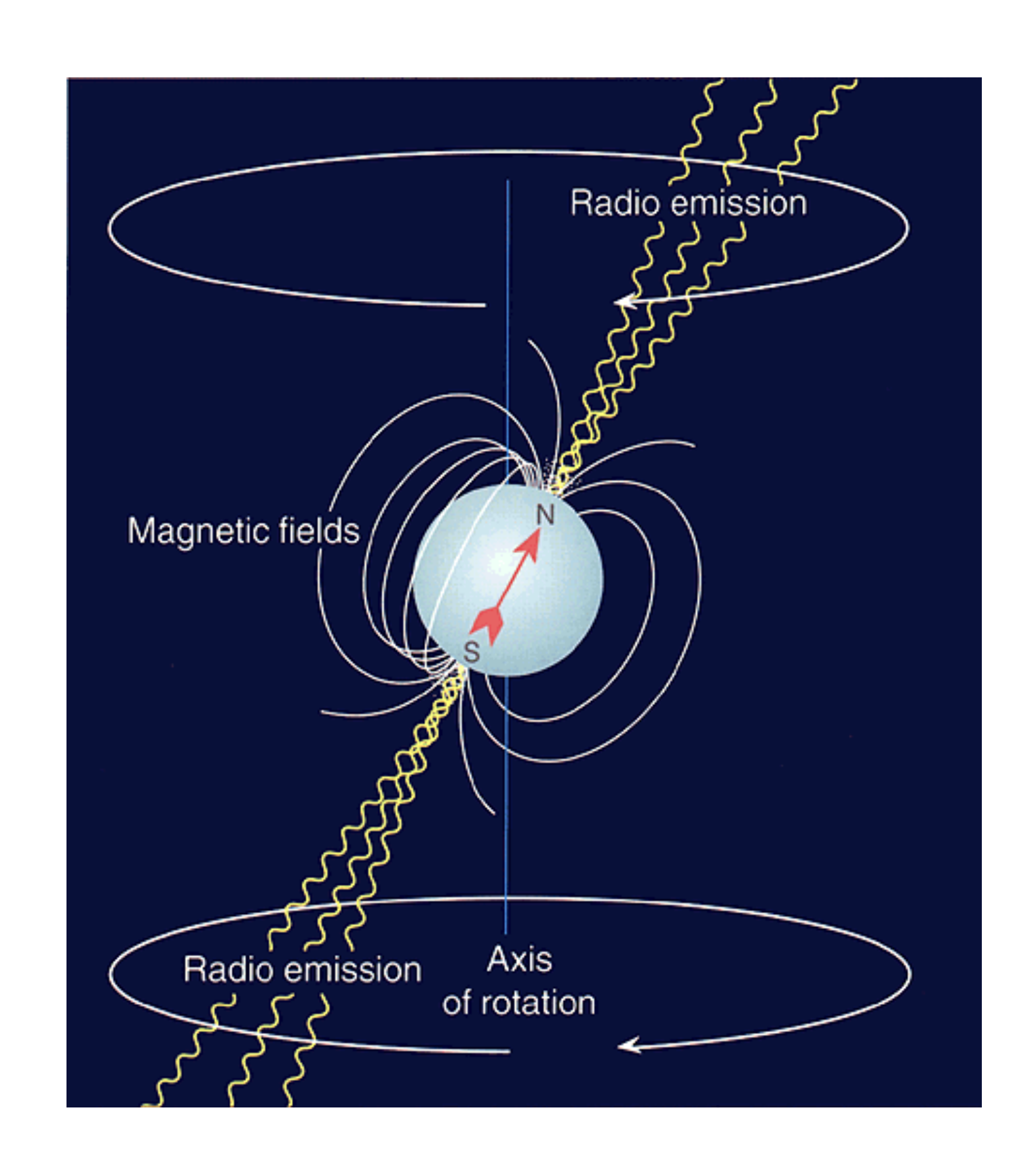
70年に「重力波信号はおよそ一日に三回の頻度で検出され、検出装置が銀河の中心に対して垂直方向に向いているときに検出率が高い」

と発表したが,他のグループで追試されず.

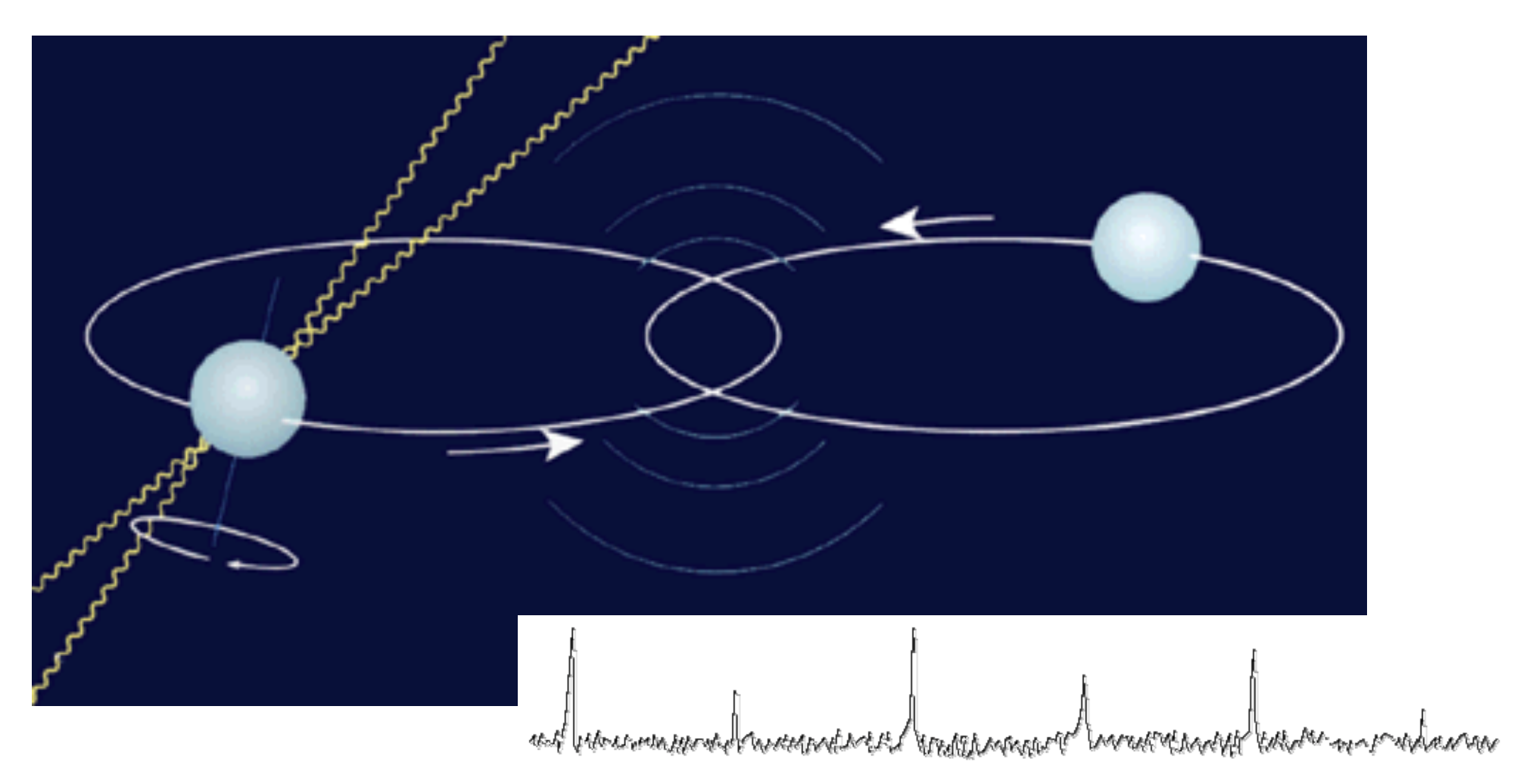
ウェーバー Joseph Weber

Joseph Weber (**pictured**), a physicist at the University of Maryland in College Park, believed that gravitational waves were real. In 1969, he announced that he had found them with a detector of his own invention: an aluminium cylinder, about 2 metres long and 1 metre in diameter, that 'rang' when it was struck by such a wave². His result was never replicated, and was eventually rejected by nearly everyone except Weber himself. Nonetheless, his work drew many other researchers into the gravitational wave field.

連星中性子星の発見 (1974)



パルサー=中性子星 半径 10km位 質量 1.4x太陽

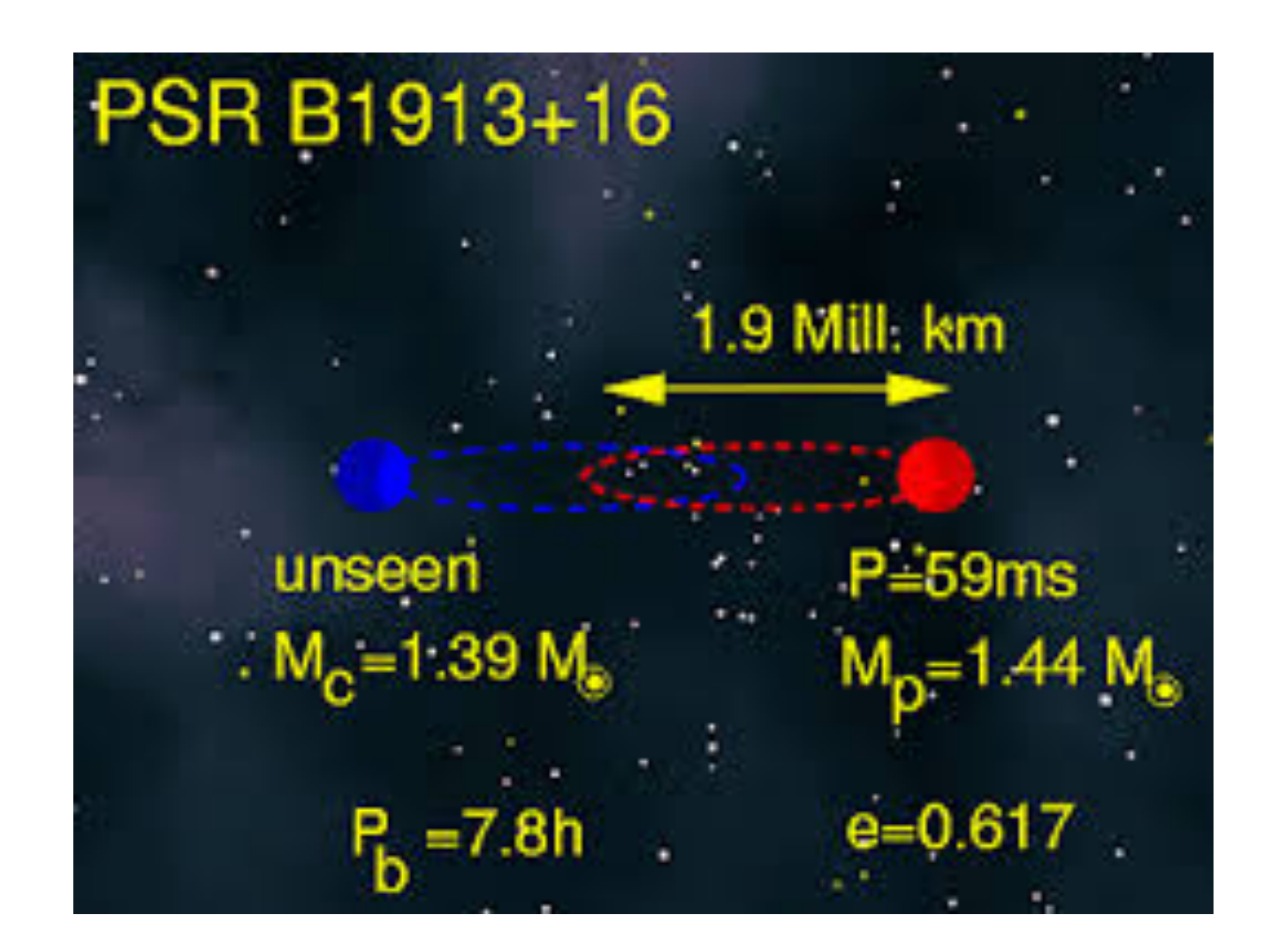


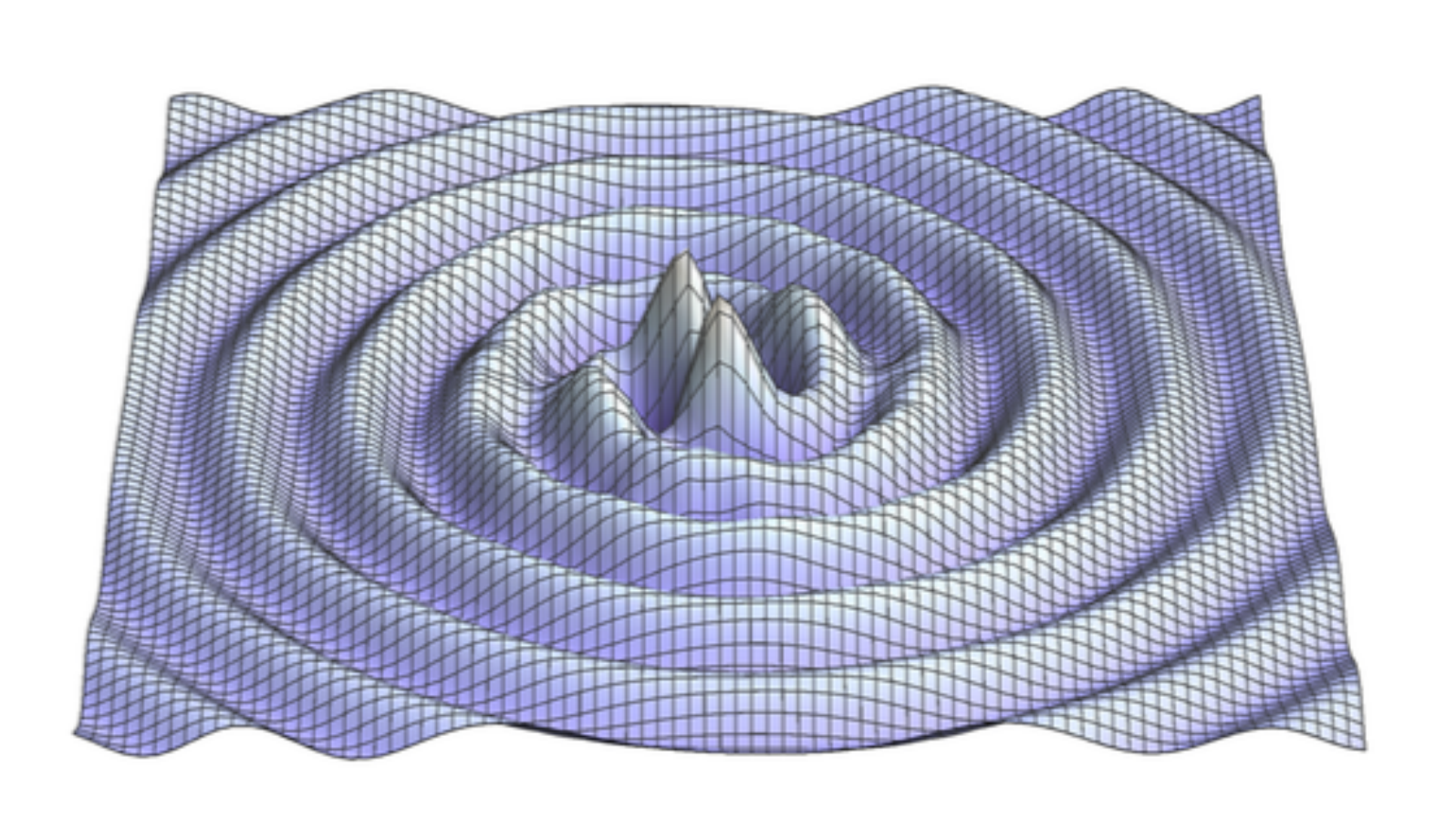


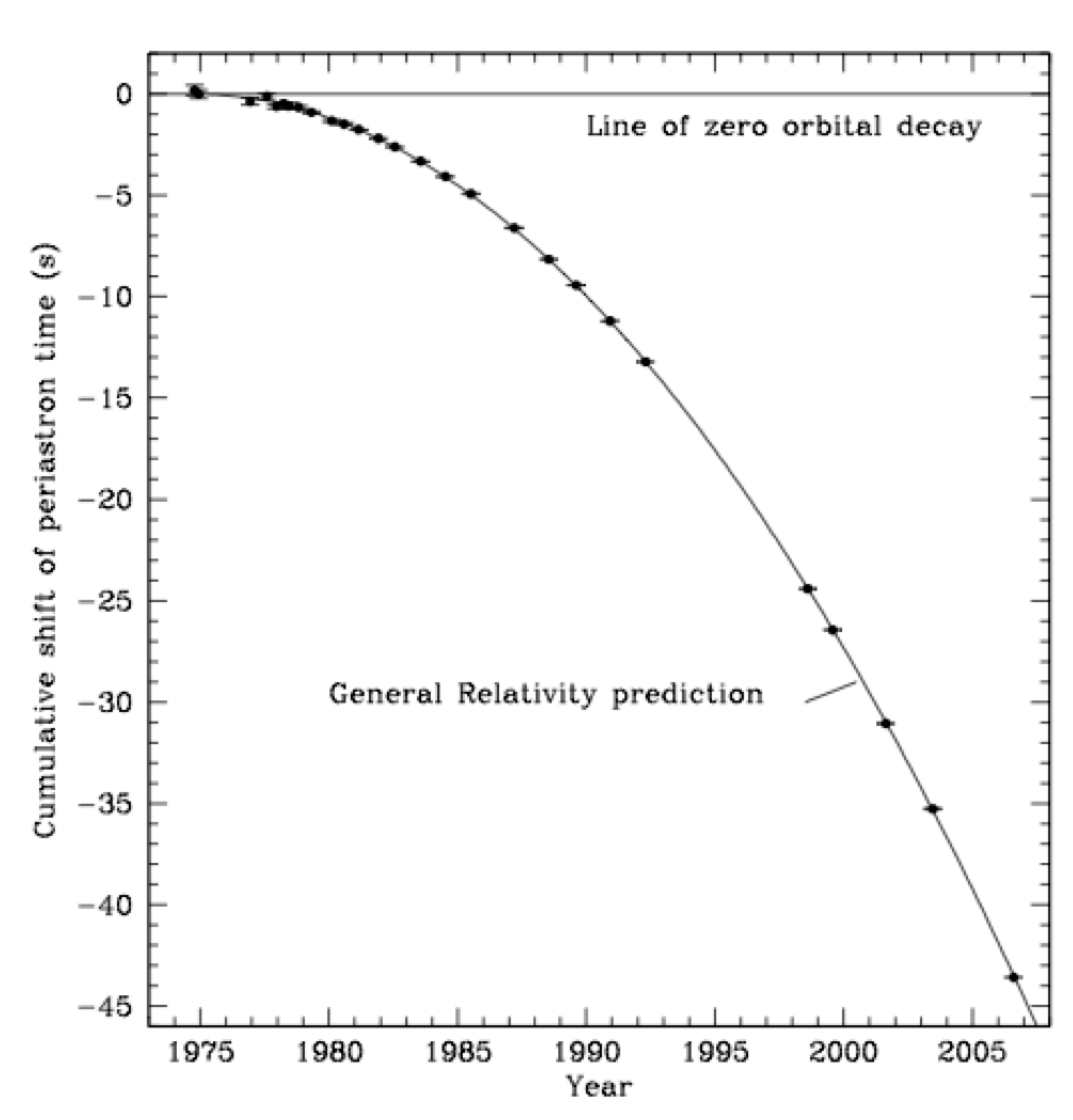
Arecibo, Puerto Rico

http://www.nobelprize.org/nobel_prizes/physics/laureates/1993/illpres/discovery.html

連星中性子星の発見(1974)

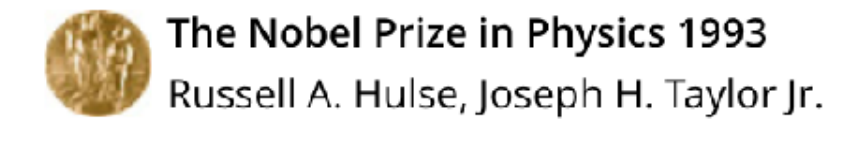






重力波を放出してエネルギーを失うので、星が近づいてゆく.

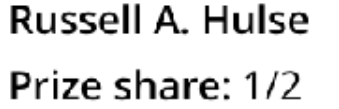
重力波の存在が間接的に確かめられた.



Share this: f G 🛂 🛨 🖂 25

The Nobel Prize in Physics 1993



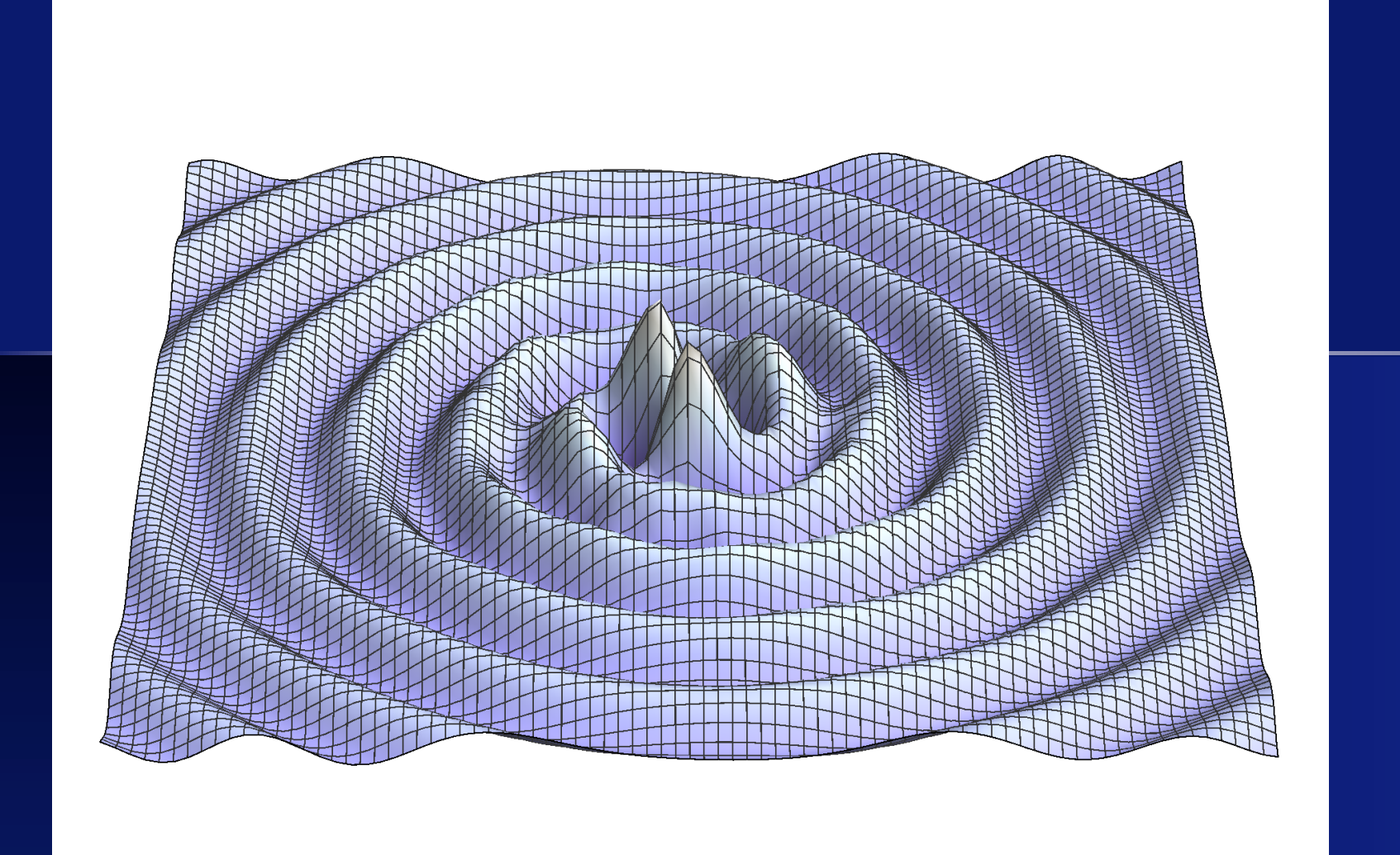




Joseph H. Taylor Jr. Prize share: 1/2

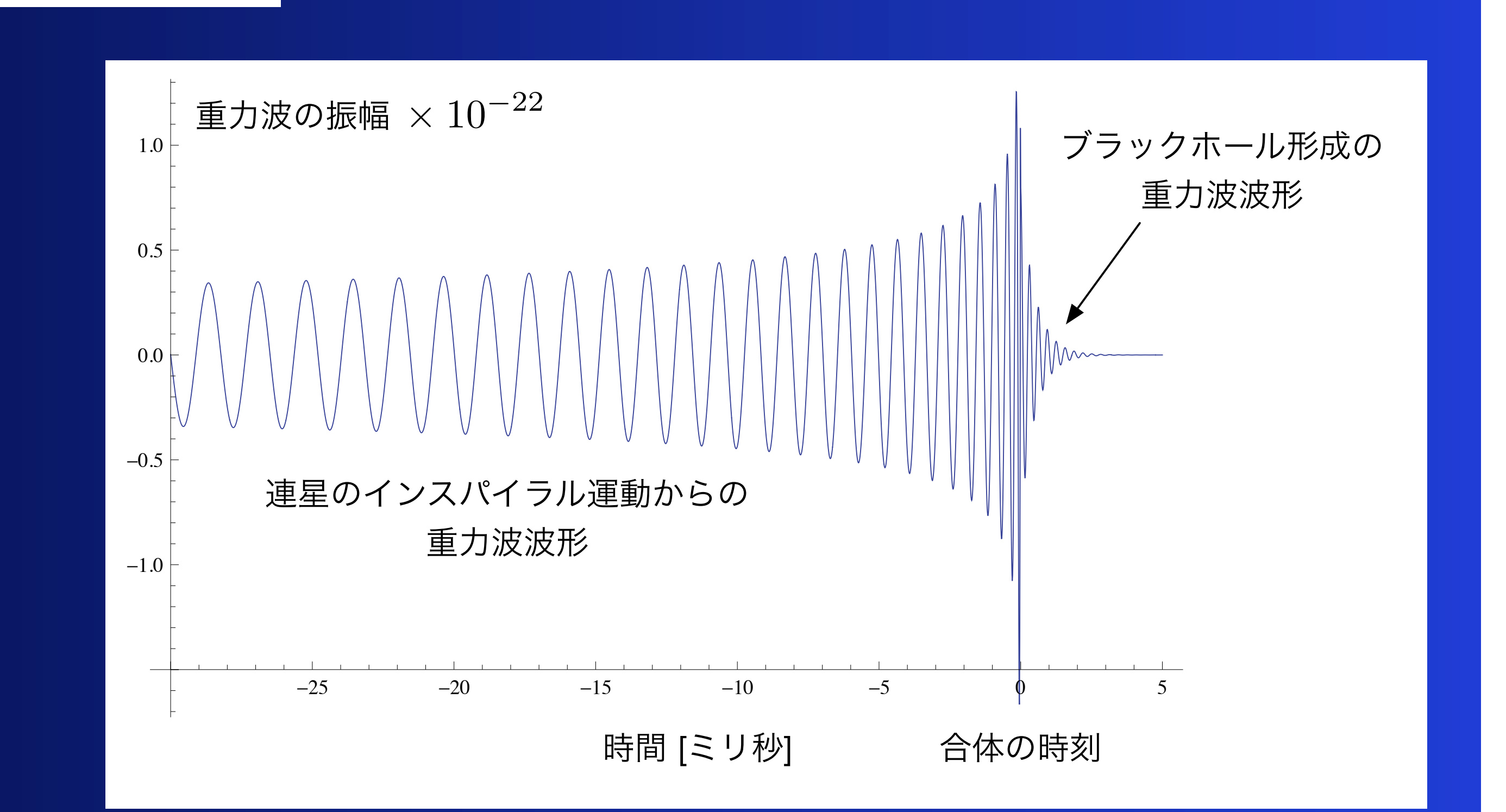
"for the discovery of a new type of pulsar, a discovery that has opened up new possibilities for the study of gravitation"

"重力についての新しい研究を開いた, 新種のパルサーの発見に対して"

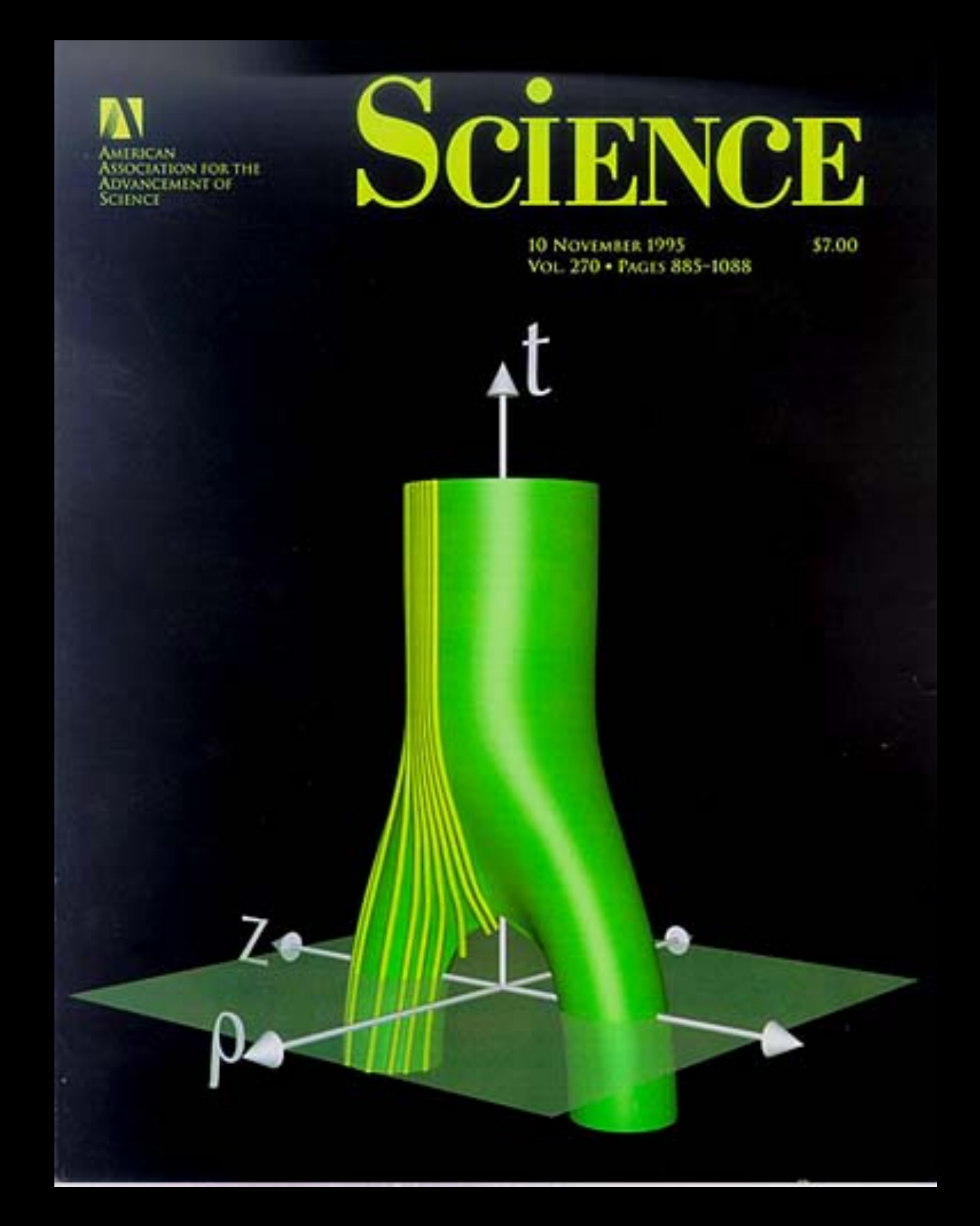


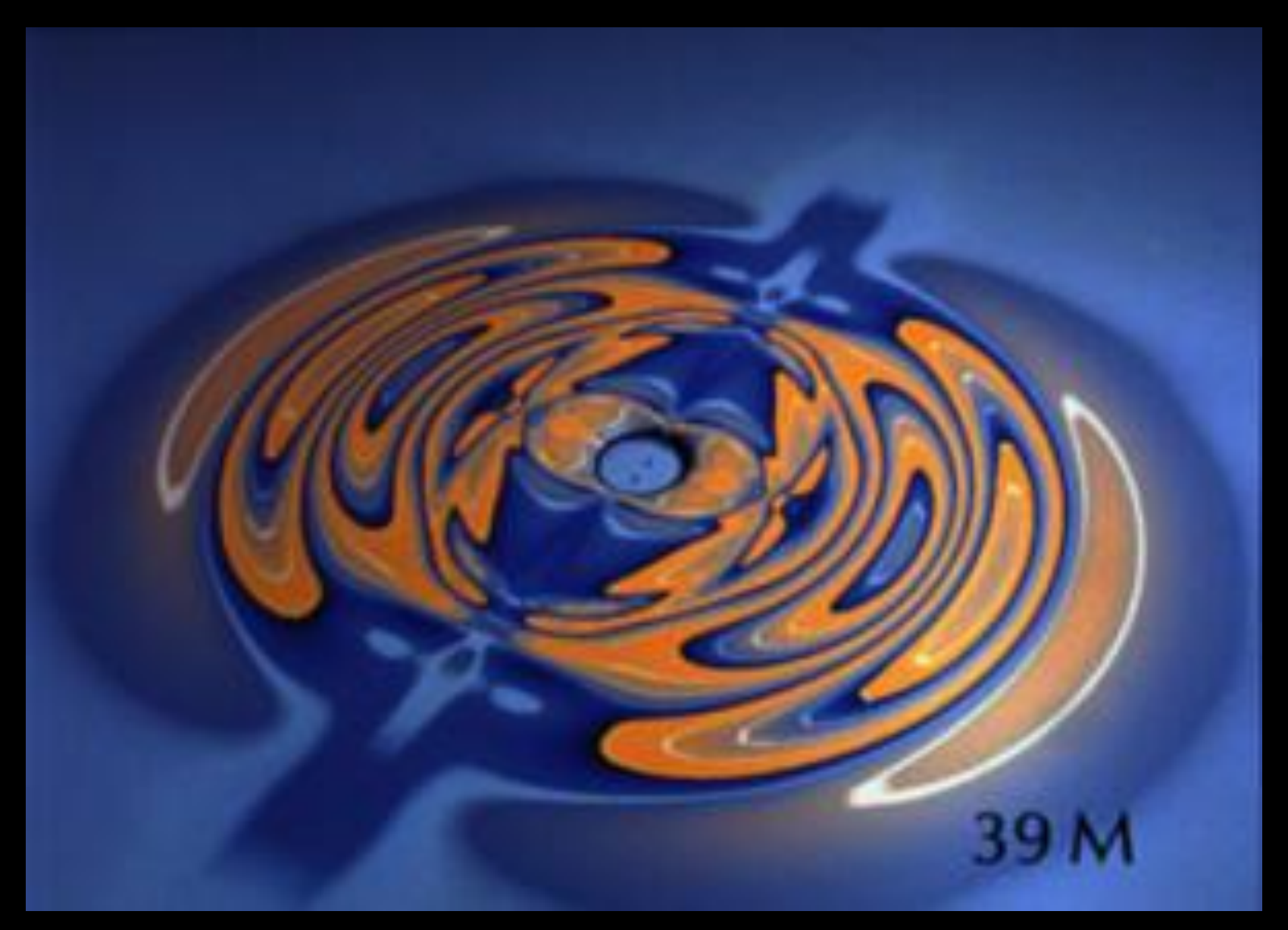
重力波の直接観測をしたい!

連星中性子星連星ブラックホール



ブラックホール合体と重力波放出のシミュレーション(1990年代-2000年代)





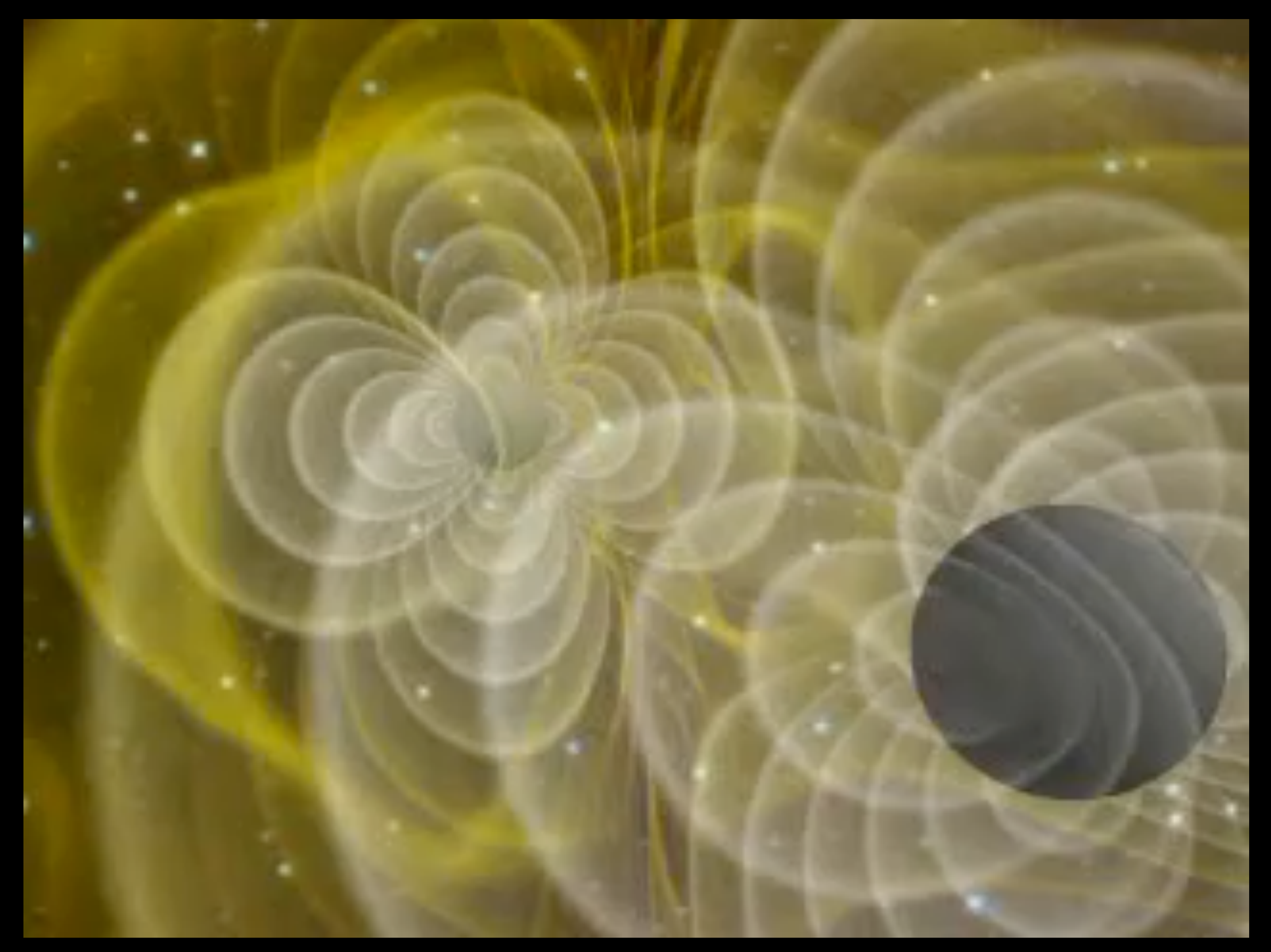
2つのブラックホールの合体と重力波放出 (1995年, NCSAグループ)

時間発展データから外向きの重力波を表現する方法は, Gunnarsen-Shinkai-Maeda (94) の変換公式 シミュレーション研究は、なかなか難しかった.

- *ブラックホールの取り扱い?
- *重力波への変換公式
- *初期条件,境界条件の設定
- *安定な定式化問題
- *解像度
- *スーパーコンピュータ

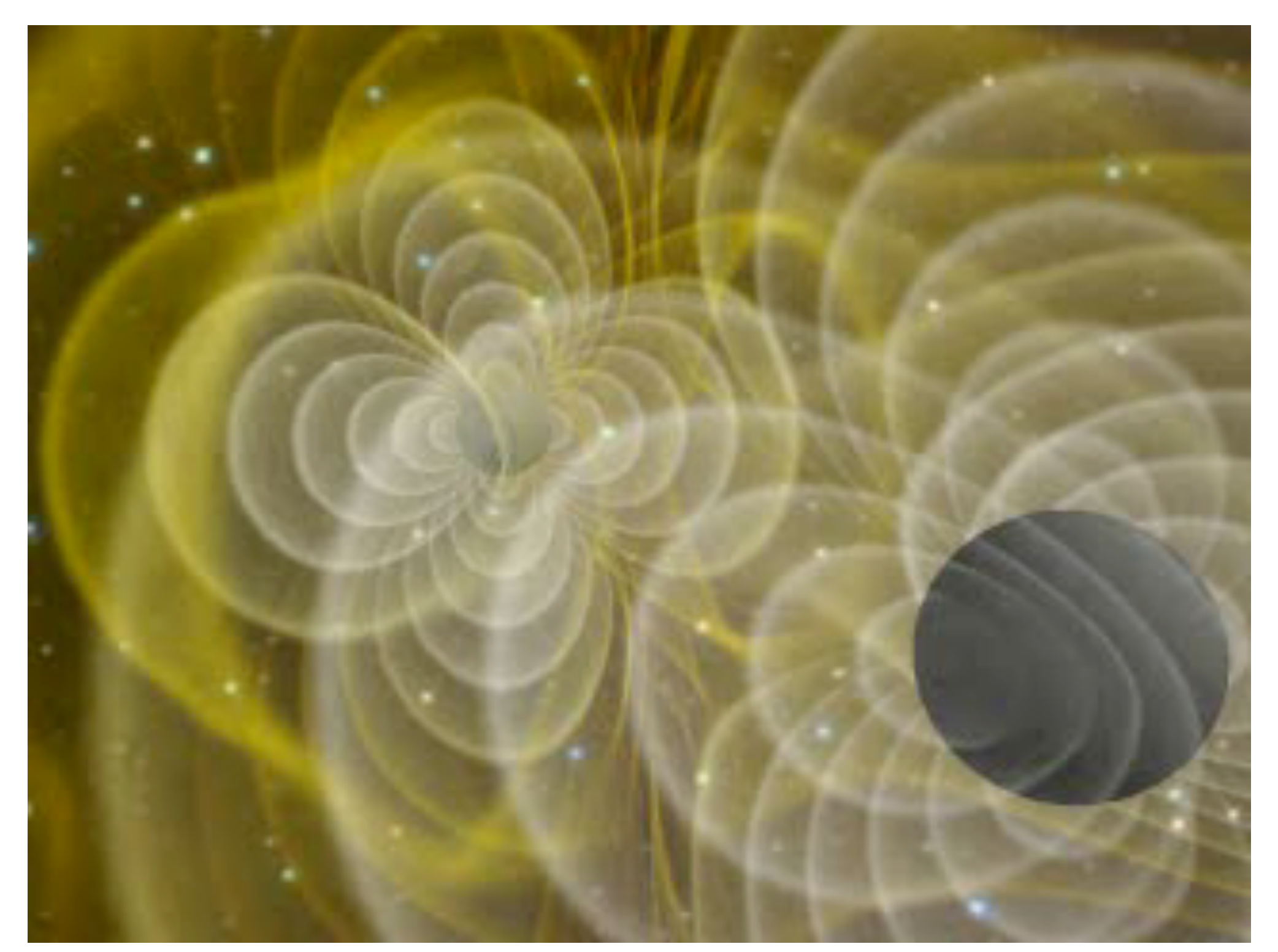
• • • •

ブラックホールの合体シミュレーション

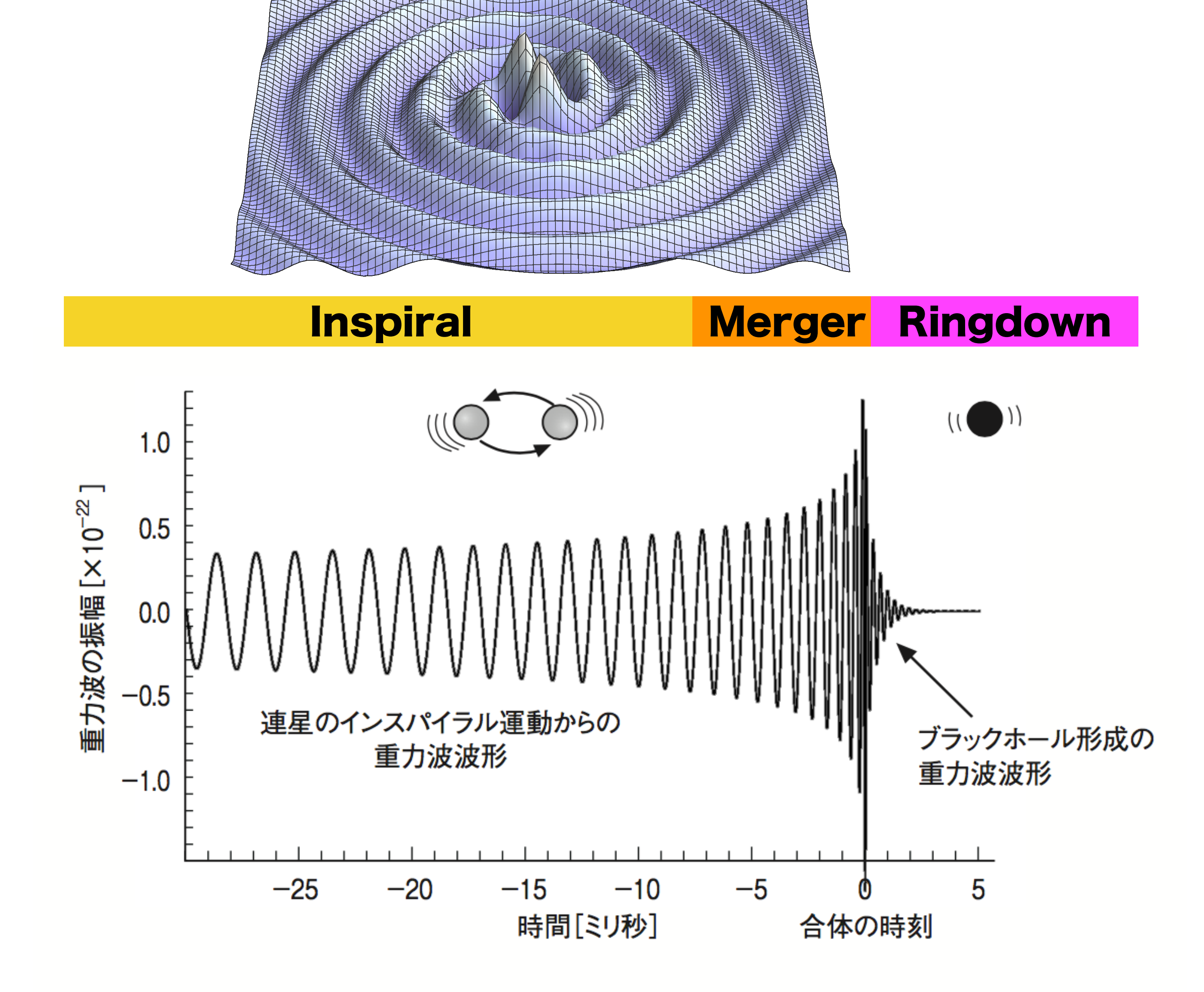


NCSA-AEI group (1998)

連星合体からの重力波の波形(理論予測)



(NCSA-AEIグループ, 1998年)

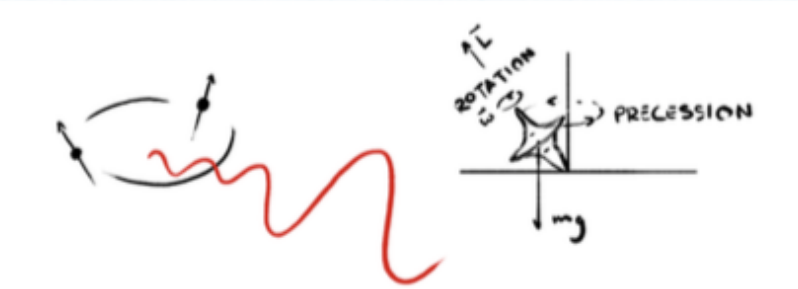


The waveform explained

[BLACK HOLE] AMASS

A BLACK HOLE IS ONE OF THE SIMPLEST OBJECTS IN THE UNIVERSE. IT HAS ONLY TWO CHARACTERISTICS: ITS MASS (WHICH DETERMINES ITS SIZE), AND ITS SPIN (HOW MUCH SPACETIME SWIRLS AROUND).

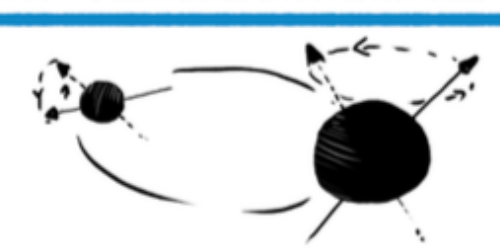
WHEN YOU HAVE TWO BLACK HOLES IN A BINARY SYSTEM, THINGS GET MORE COMPLICATED. WE NOW HAVE THE MASSES AND SPINS OF BOTH BLACK HOLES, THE SPINS STAY THE SAME SIZE DURING THE ORBIT, BUT THEIR DIRECTIONS WOBBLE AROUND IN A PROCESS CALLED PRECESSION. THE GRAVITATIONAL WAVES REACHING EARTH FROM THE BINARY ALSO DEPEND ON WHERE THE BINARY IS AND WHICH WAY IT IS ORIENTATED.



[CDIN]

AS THE BLACK HOLES ORBIT EACH OTHER, THEIR SPINS CHANGE DIRECTION. THIS ALSO CAUSES THE ORIENTATION OF THE ORBIT TO TOPPLE BACKWARDS AND FORWARDS A LITTLE. THIS PRECESSION LEAVES AN IMPRINT ON THE GRAVITATIONAL WAVES: THEY BECOME LOUDER AND QUIETER AS THE SPINS WOBBLE AROUND. THE PRECESSION DEPENDS ON DIRECTIONS OF THE TWO SPINS, COMPARED TO EACH OTHER AND COMPARED TO THAT OF THE ORBIT. THE SPIN OF THE MORE MASSIVE BLACK HOLE HAS A LARGER EFFECT THAN THAT OF THE SMALLER ONE.

WE DON'T SEE MUCH SIGN OF PRECESSION IN GW150914. THIS MAY BE BE-CAUSE SPINS ARE SMALL, ITS INCLINATION MEANS THE WOBBLES AREN'T VISI-BLE, OR A COMBINATION OF BOTH. SINCE THE INSPIRAL IS SHORT, WE WOULD NOT EXPECT TO SEE A LARGE EFFECT IN ANY CASE.

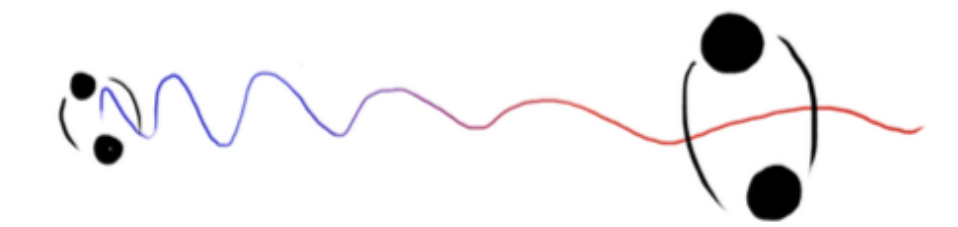


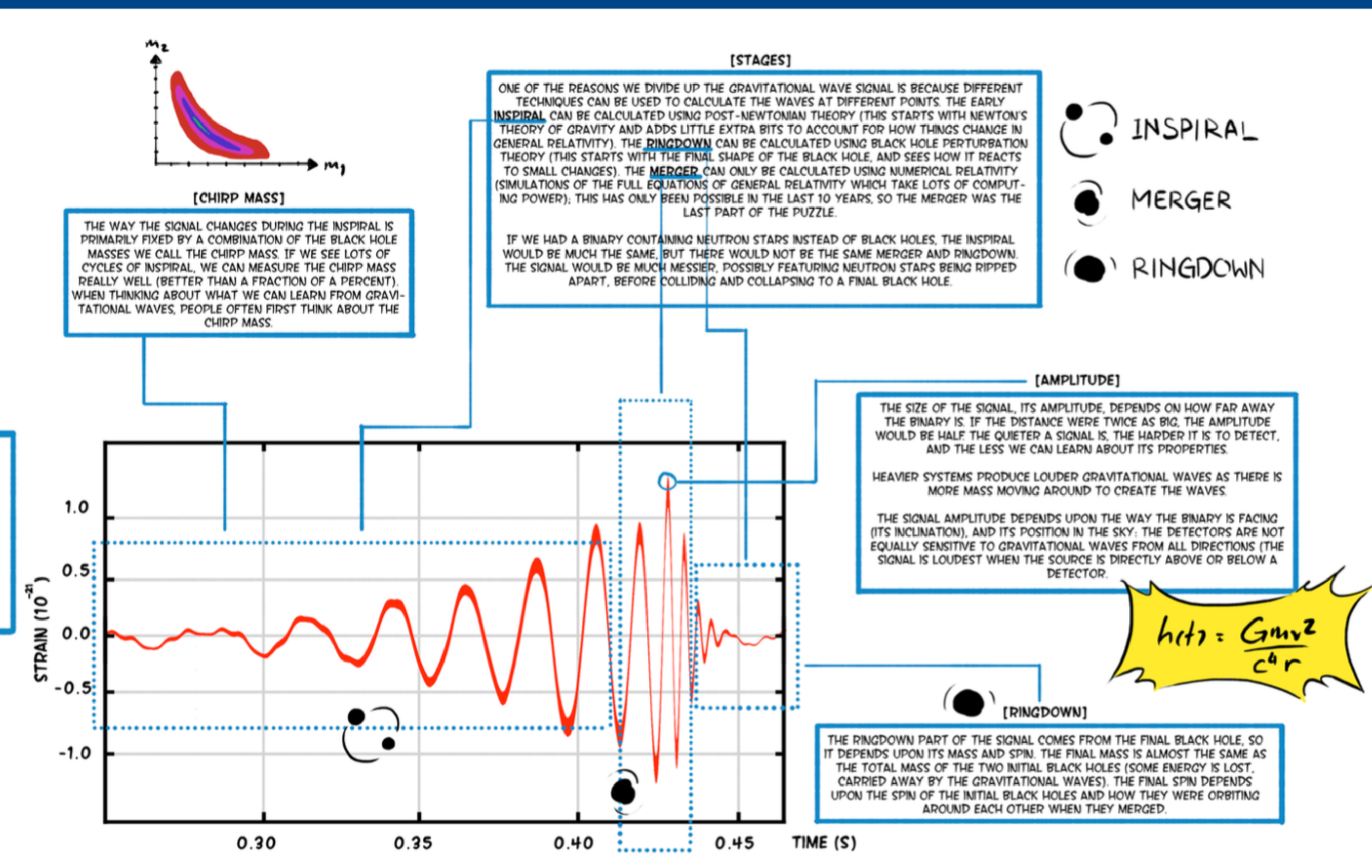
[REDSHIFT]

THE EXPANSION OF THE UNIVERSE AFFECTS GRAVITATIONAL WAVES IN A COUPLE OF WAYS. AS THE UNIVERSE EXPANDS, IT STRETCHES THE WAVES TRAVELLING THROUGH IT. THIS IS WELL KNOWN IN ASTRONOMY AND IS CALLED REDSHIFT, AS IT MAKES VISIBLE LIGHT MORE RED. TO HAVE A LARGE EFFECT, THE WAVES MUST HAVE TRAVELLED A LONG WAY.

THE FIRST EFFECT IS THAT THE FREQUENCY OF THE WAVE CHANGES. THIS HAS THE SAME IMPACT AS CHANGING THE MASSES: THINGS FURTHER AWAY APPEAR MORE MASSIVE. THE SECOND EFFECT IS TO CHANGE THE AMPLITUDE, WHICH IS THE SAME AS CHANGING THE DISTANCE: WE OFTEN TALK ABOUT THE LUMINOSITY DISTANCE, WHICH ABSORBS THIS EFFECT, BUT ISN'T THE SAME AS IF WE MEASURED THE DISTANCE TO THE SOURCE USING A TAPE MEASURE.

IF WE GET ENOUGH MEASUREMENTS OF HOW GRAVITATIONAL WAVES ARE REDSHIFTED, WE COULD POSSIBLY LEARN SOMETHING ABOUT HOW THE UNIVERSE IS EXPANDING.





[INCLINATION

THE WAY THE BINARY IS FACING THE EARTH DETERMINES THE GRAVITATIONAL WAVES WE SEE. IF IT IS EDGE ON, THE SIGNAL IS QUIETER, BUT IT IS EASIER TO SPOT SMALL CHANGES CAUSED BY THE BLACK HOLES' SPINS. IF IT IS FACING US, THE SIGNAL IS LOUDER, BUT IT'S HARDER TO TELL IF THE ORBIT WOBBLES BECAUSE OF PRECESSION. WE HAVE A GREATER CHANCE OF DETECTING A FACE-ON BINARY BECAUSE THEY CAN BE DETECTED FROM FURTHER AWAY.

[TOTAL MASS]

THE TOTAL MASS OF THE SYSTEM DETERMINES HOW LONG IT TAKES FOR THINGS TO HAPPEN. HEAVY SYSTEMS ARE BIGGER, AND SO CHANGE MORE SLOWLY. THE GRAVITATIONAL WAVES ARE AT LOWER FREQUENCIES, WHICH MEANS THAT LIGO CAN ONLY SEE THE FINAL PARTS. LIGHTER SYSTEMS PRODUCE GRAVITATIONAL WAVES AT HIGHER FREQUENCIES, SO WE CAN MEASURE MORE OF THE INSPIRAL.

THE TOTAL MASS OF THE SYSTEM SETS WHICH PARAMETERS ARE MOST EASILY MEASURED. FOR REALLY MASSIVE SYSTEMS WE MEASURE THE TOTAL MASS BEST (AS WE ONLY SEE THE MERGER AND RINGDOWN), BUT FOR LIGHT SYSTEMS, LIKE BINARY NEUTRON STARS, WE MEASURE THE CHIRP MASS BEST (AS WE ONLY SEE THE INSPIRAL). GW150914 IS SOMEWHERE IN THE MIDDLE.

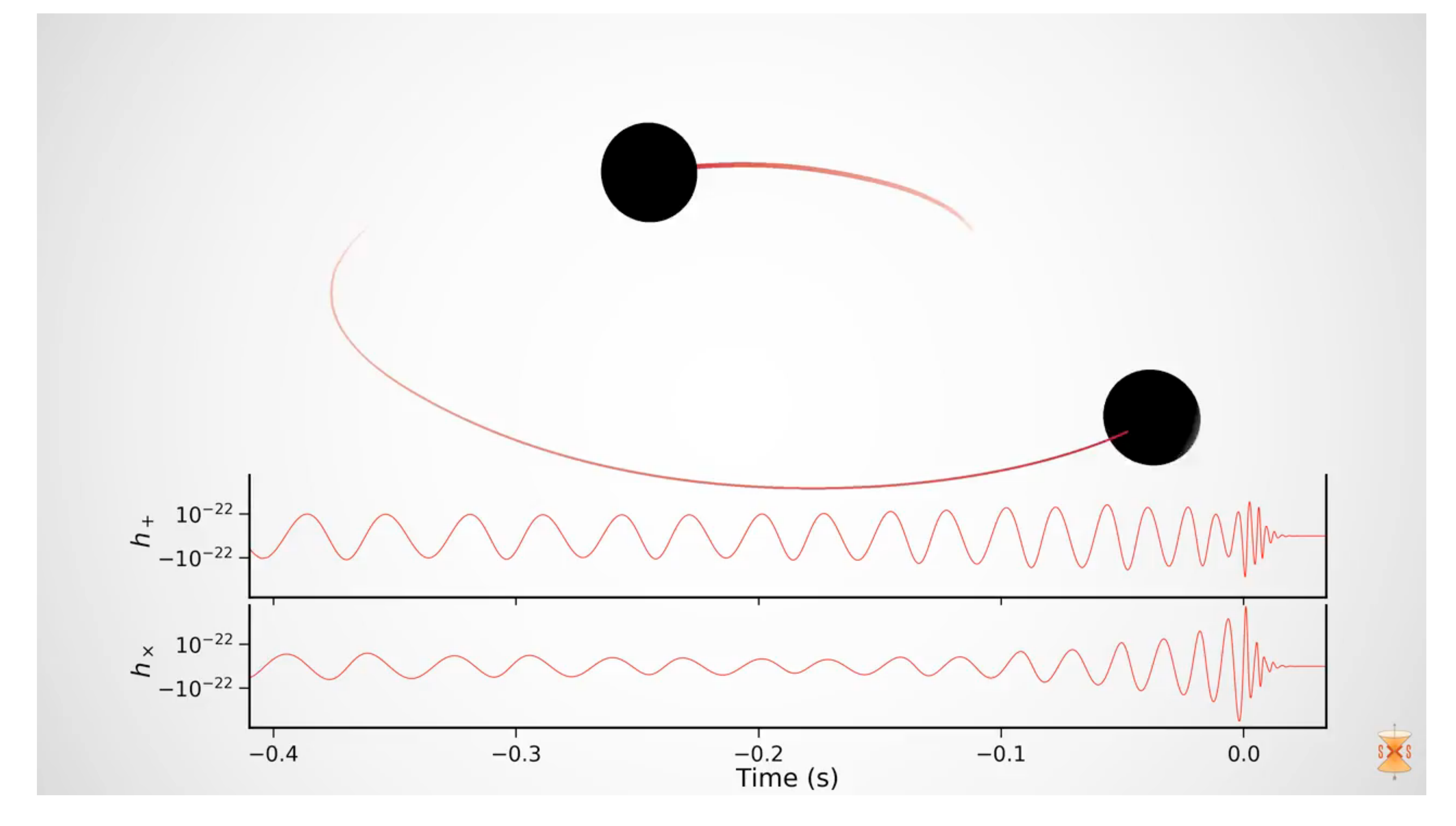
[SKY]

WITH MULTIPLE DETECTORS, WE CAN WORK OUT WHICH DIRECTION THE GRAVITATIONAL WAVES CAME FROM BY LOOKING AT THE TIMES WHEN THE SIGNALS ARRIVED AT EACH DETECTOR. THIS IS SIMILAR TO HOW YOU CAN LOCATE THE SOURCE OF A SOUND USING YOUR EARS.

WE CAN GET SOME EXTRA INFORMATION ABOUT THE DIRECTION FROM HOW LOUD EACH SIGNAL IS (SINCE EACH OF THE DETECTORS HAS ITS BEST SENSITIVITY IN A DIFFERENT DIRECTION), AND WHERE THE WAVE



6



Animation of the inspiral and collision of two black holes consistent with the masses and spins of GW170104. The top part of the movie shows the black hole horizons (surfaces of "no return"). The initial two black holes orbit each other, until they merge and form one larger remnant black hole. The shown black holes are spinning, and angular momentum is exchanged among the two black holes and with the orbit. This results in a quite dramatic change in the orientation of the orbital plane, clearly visible in the movie. Furthermore, the spin-axes of the black holes change, as visible through the colored patch on each black hole horizon, which indicates the north pole.

The lower part of the movie shows the two distinct gravitational waves (called 'polarizations') that the merger is emitting into the direction of the camera. The modulations of the polarizations depend sensitively on the orientation of the orbital plane, and thus encode information about the orientation of the orbital plane and its change during the inspiral. Presently, LIGO can only measure one of the polarizations and therefore obtains only limited information about the orientation of the binary. This disadvantage will be remedied with the advent of additional gravitational wave detectors in Italy, Japan and India.

Finally, the slowed-down replay of the merger at the end of the movie makes it possible to observe the distortion of the newly formed remnant black hole, which decays quickly. Furthermore, the remnant black hole is "kicked" by the emitted gravitational waves, and moves upward. (Credit: A. Babul/H. Pfeiffer/CITA/SXS.) - See more at: http://ligo.org/detections/GW170104.php#sthash.NZPaW2LT.dpuf

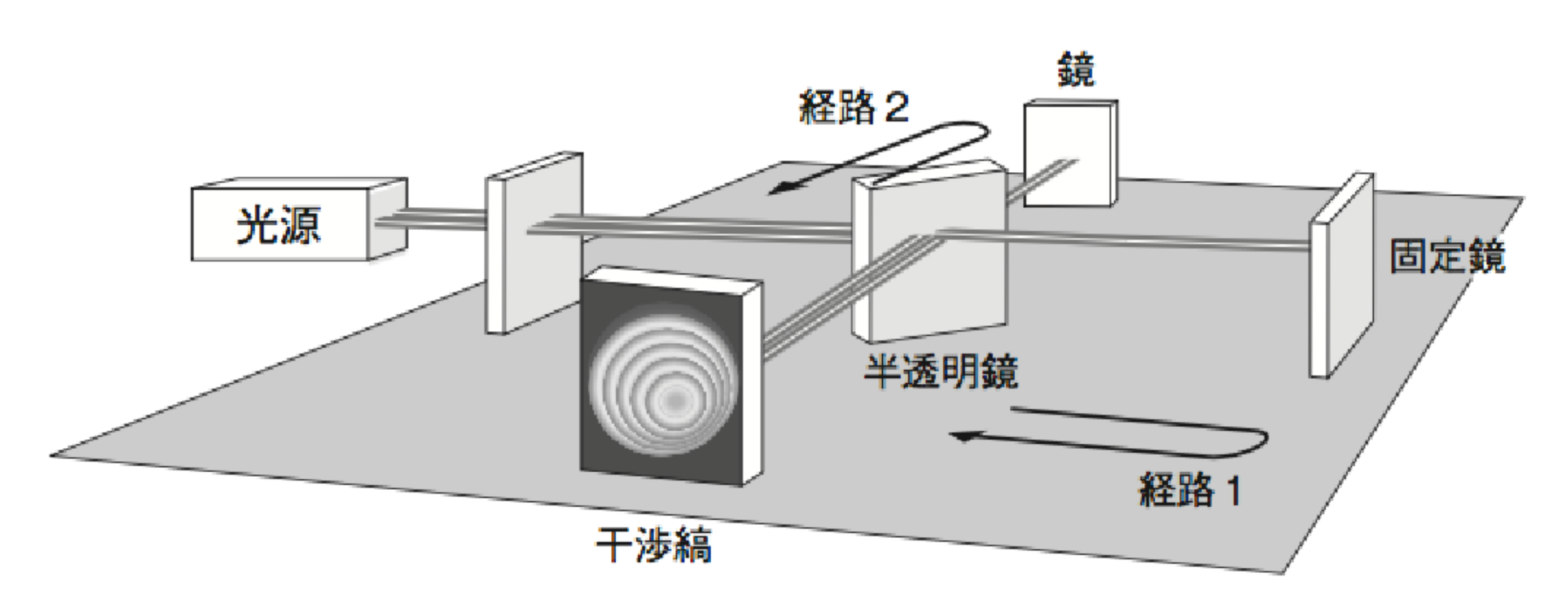
LIGO(ライゴ:レーザー干渉計重力波天文台)

Laser Interferometer Gravitational-Wave Observatory (1992年予算承認)





https://mediaassets.caltech.edu/gwave



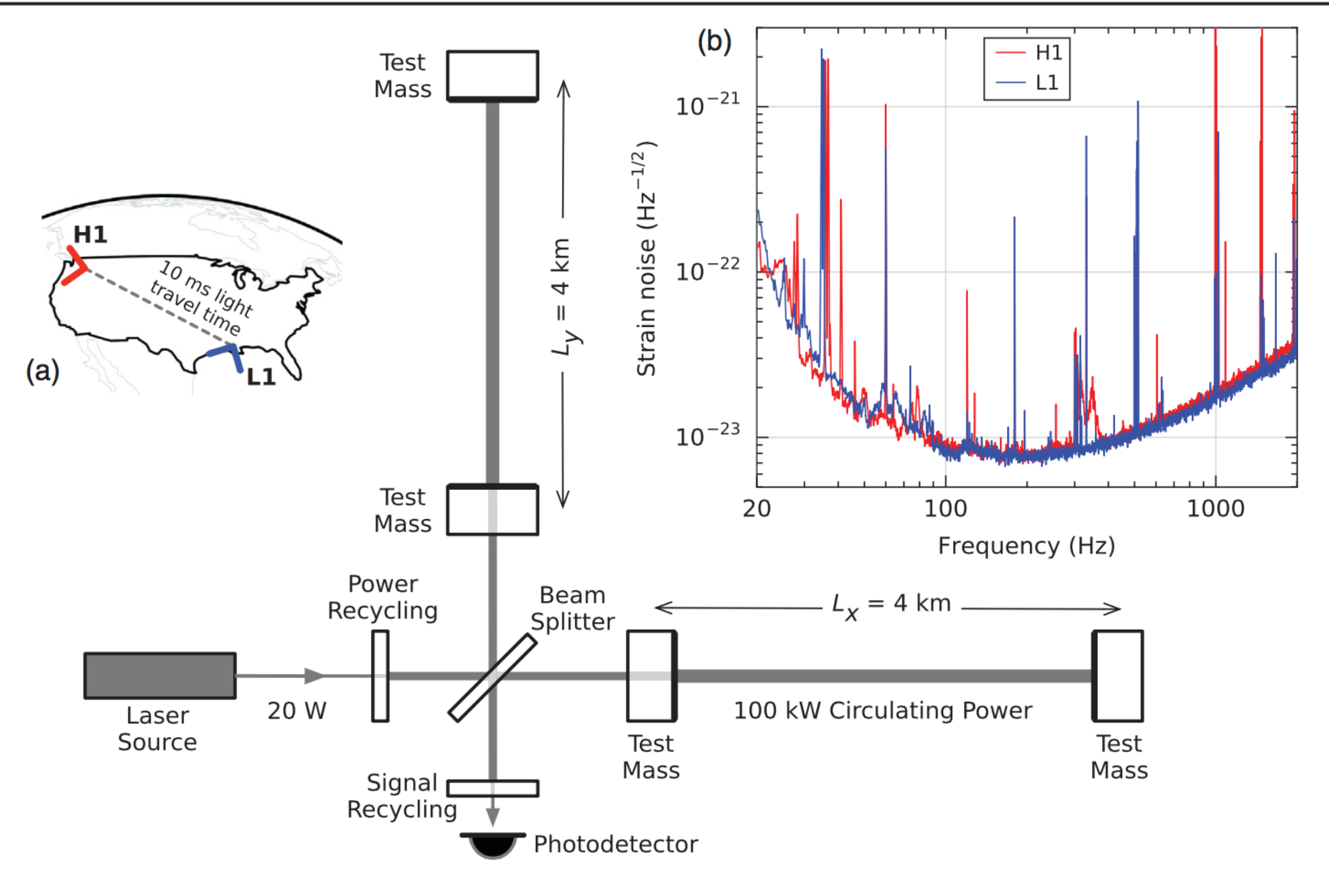


FIG. 3. Simplified diagram of an Advanced LIGO detector (not to scale). A gravitational wave propagating orthogonally to the detector plane and linearly polarized parallel to the 4-km optical cavities will have the effect of lengthening one 4-km arm and shortening the other during one half-cycle of the wave; these length changes are reversed during the other half-cycle. The output photodetector records these differential cavity length variations. While a detector's directional response is maximal for this case, it is still significant for most other angles of incidence or polarizations (gravitational waves propagate freely through the Earth). *Inset (a):* Location and orientation of the LIGO detectors at Hanford, WA (H1) and Livingston, LA (L1). *Inset (b):* The instrument noise for each detector near the time of the signal detection; this is an amplitude spectral density, expressed in terms of equivalent gravitational-wave strain amplitude. The sensitivity is limited by photon shot noise at frequencies above 150 Hz, and by a superposition of other noise sources at lower frequencies [47]. Narrow-band features include calibration lines (33–38, 330, and 1080 Hz), vibrational modes of suspension fibers (500 Hz and harmonics), and 60 Hz electric power grid harmonics.

世界の重力波天文台(レーザー干渉計)

アメリカ・LIGO **図LIGO**



ヨーロッパ・VIRGO ((の))/VIRGO

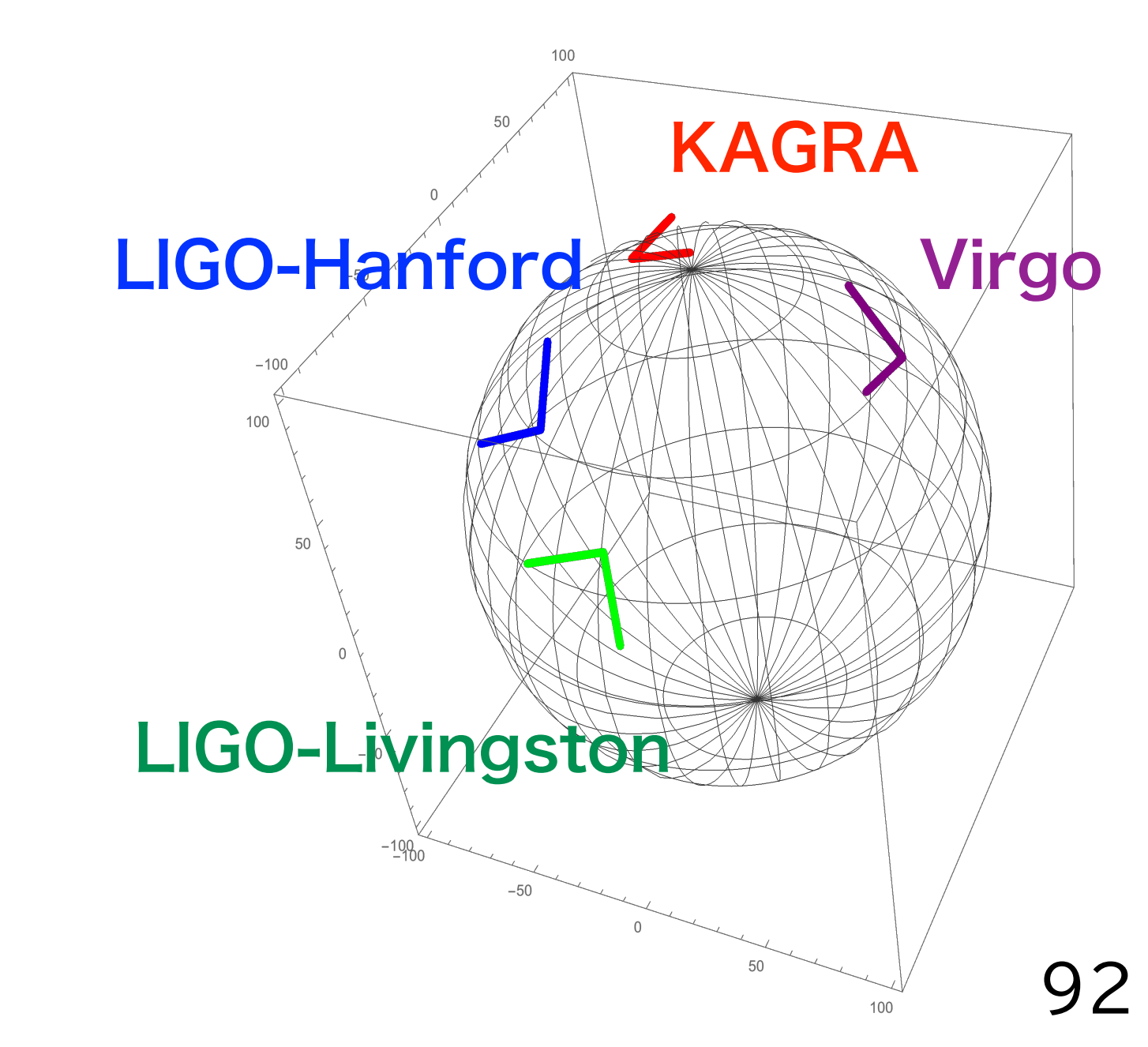


LHO North [deg] NORTH EUROPE Virgo AFRICA PACIFIC INDIAN OCEAN SOUTH OCEAN AMERICA AUSTRALIA SOUTHERN OCEAN ANTARCTICA -150 100 -100 150 -50 50 West [deg] East [deg]

日本·KAGRA(岐阜·神岡)







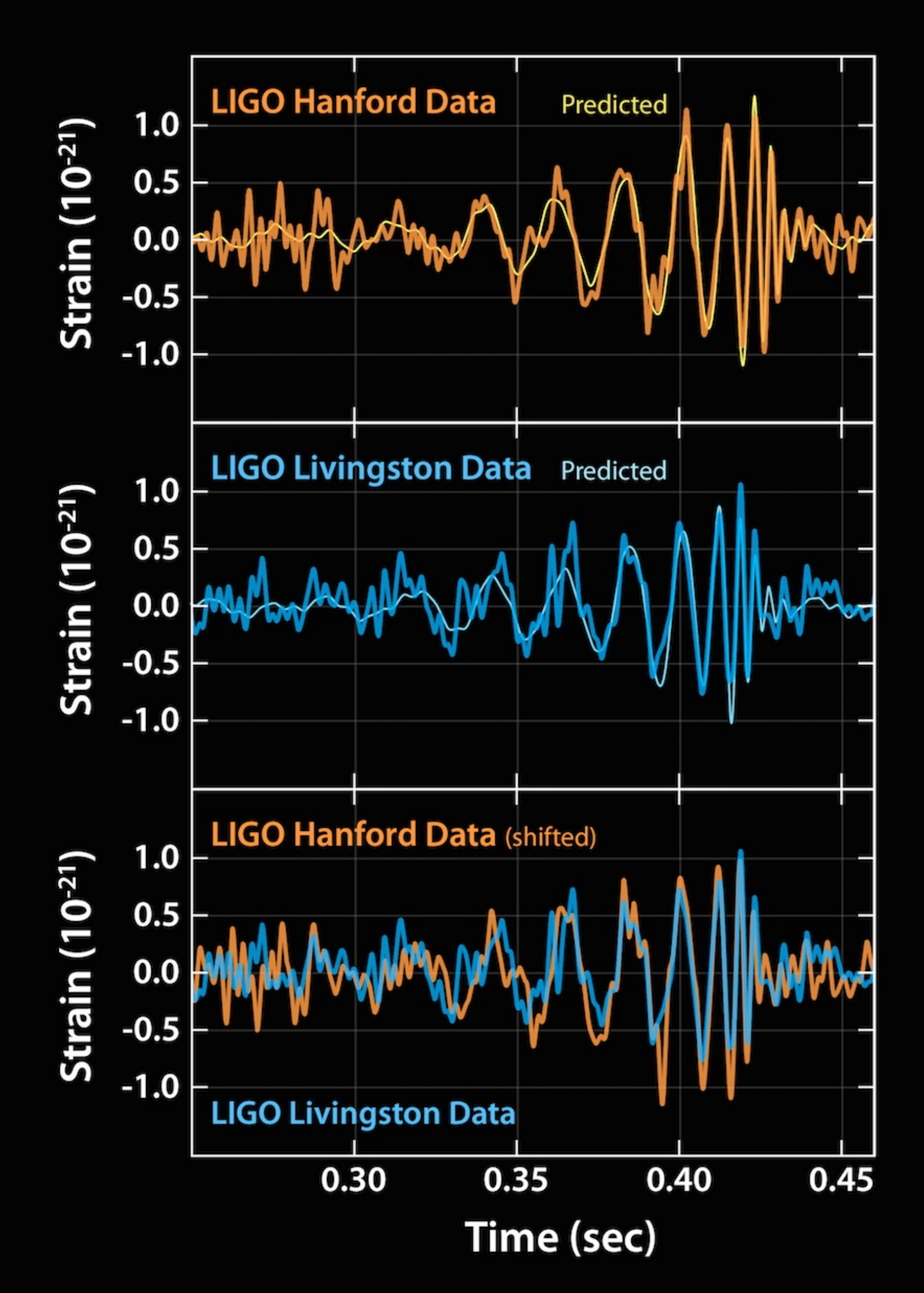
重力波初検出を発表するライツィLIGO所長

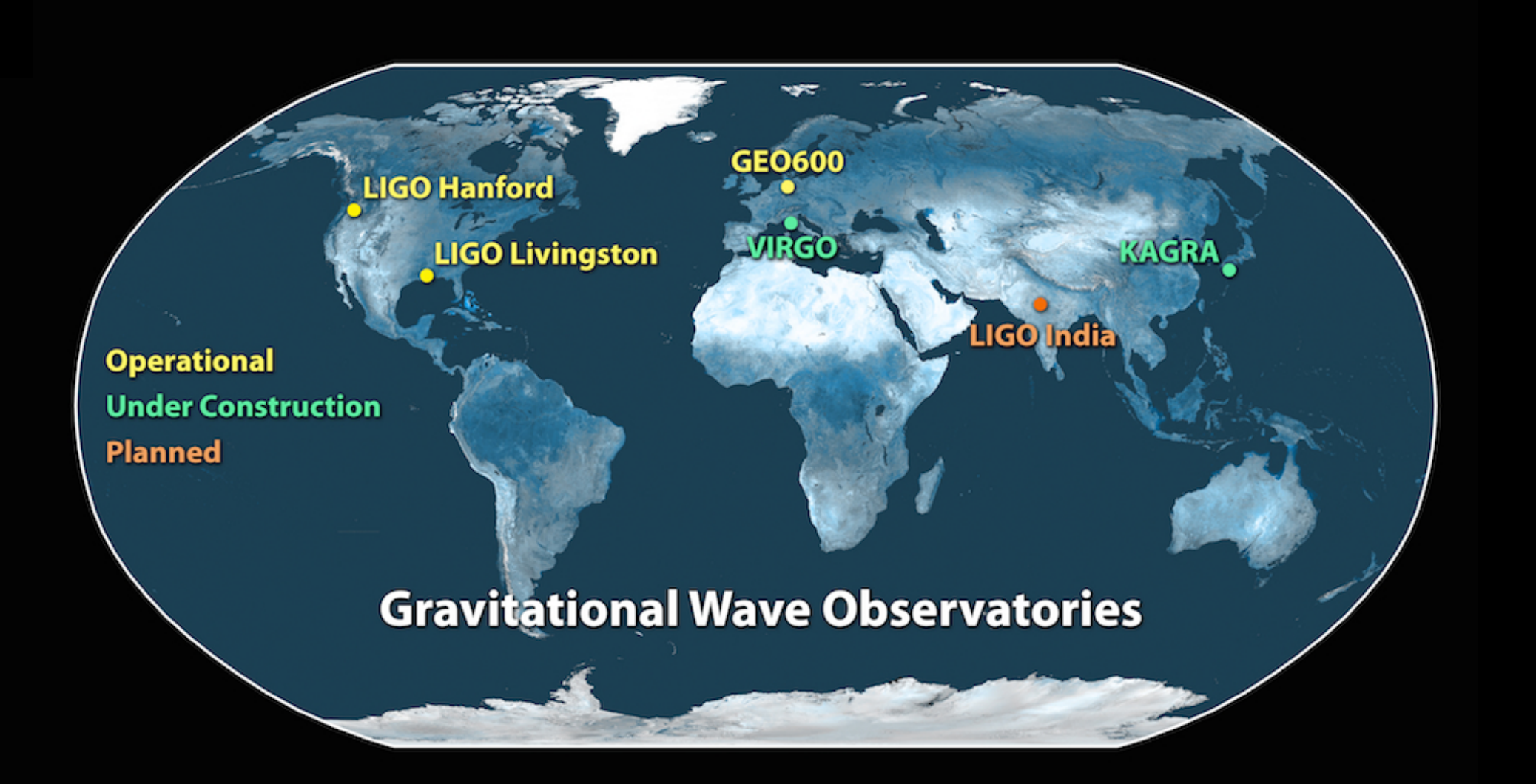
2016年2月11日



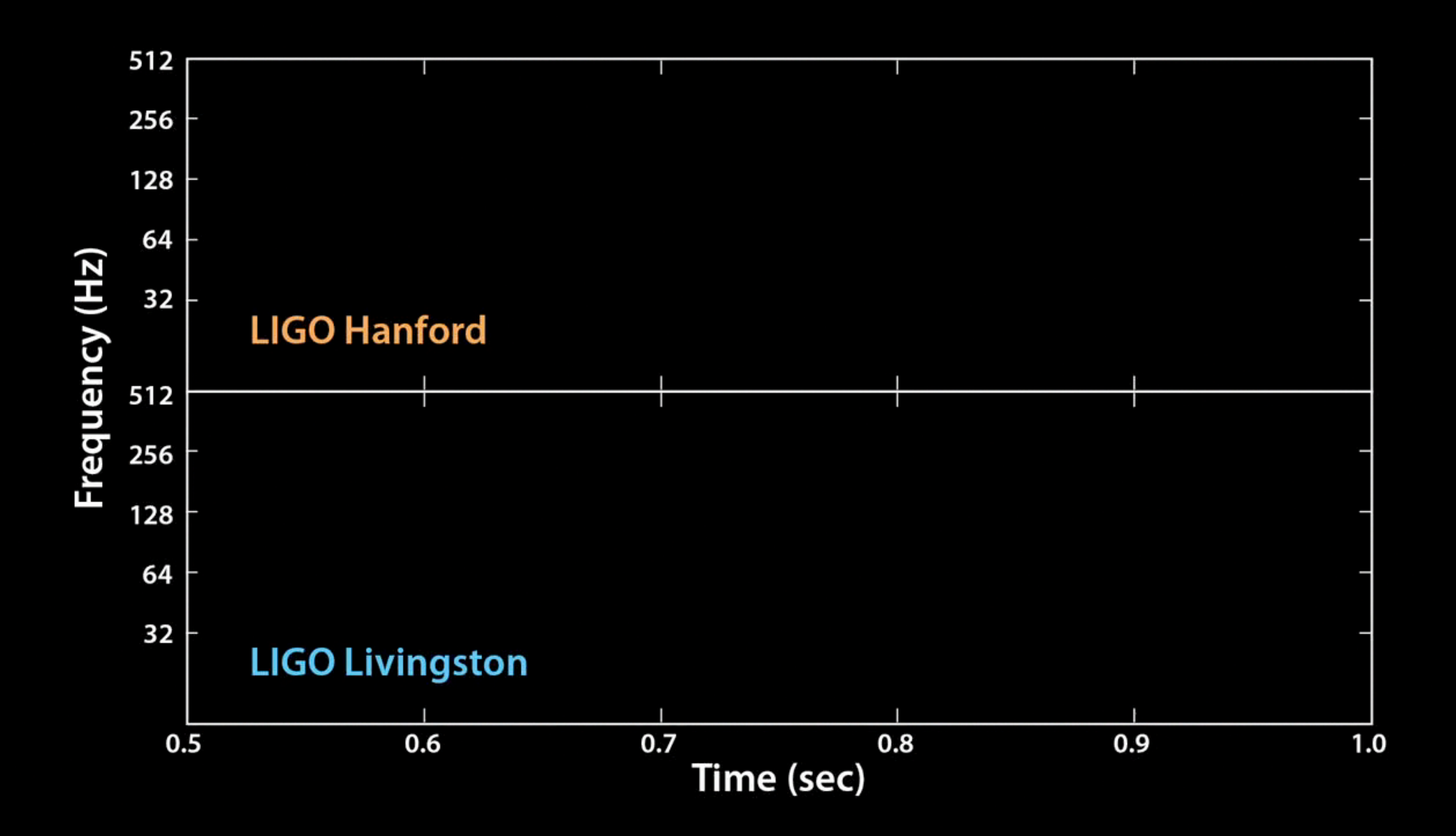
"We had detected gravitational waves. We did it." "我々は,重力波を検出した. やり遂げたのだ."

2015年9月14日





重力波波形を音にすると...



始め2回は実周波数,後の2回は聞えやすいように+400Hz

https://mediaassets.caltech.edu/gwave



Observation of Gravitational Waves from a Binary Black Hole Merger

B. P. Abbott et al.*

(LIGO Scientific Collaboration and Virgo Collaboration) (Received 21 January 2016; published 11 February 2016)

On September 14, 2015 at 09:50:45 UTC the two detectors of the Laser Interferometer Gravitational-Wave Observatory simultaneously observed a transient gravitational-wave signal. The signal sweeps upwards in frequency from 35 to 250 Hz with a peak gravitational-wave strain of 1.0×10^{-21} . It matches the waveform predicted by general relativity for the inspiral and merger of a pair of black holes and the ringdown of the resulting single black hole. The signal was observed with a matched-filter signal-to-noise ratio of 24 and a false alarm rate estimated to be less than 1 event per 203 000 years, equivalent to a significance greater than 5.1σ . The source lies at a luminosity distance of 410^{+160}_{-180} Mpc corresponding to a redshift $z=0.09^{+0.03}_{-0.04}$. In the source frame, the initial black hole masses are $36^{+3}_{-4}M_{\odot}$ and $29^{+4}_{-4}M_{\odot}$, and the final black hole mass is $62^{+4}_{-4}M_{\odot}$, with $3.0^{+0.5}_{-0.5}M_{\odot}c^2$ radiated in gravitational waves. All uncertainties define 90% credible intervals. These observations demonstrate the existence of binary stellar-mass black hole systems. This is the first direct detection of gravitational waves and the first observation of a binary black hole merger.

DOI: 10.1103/PhysRevLett.116.061102

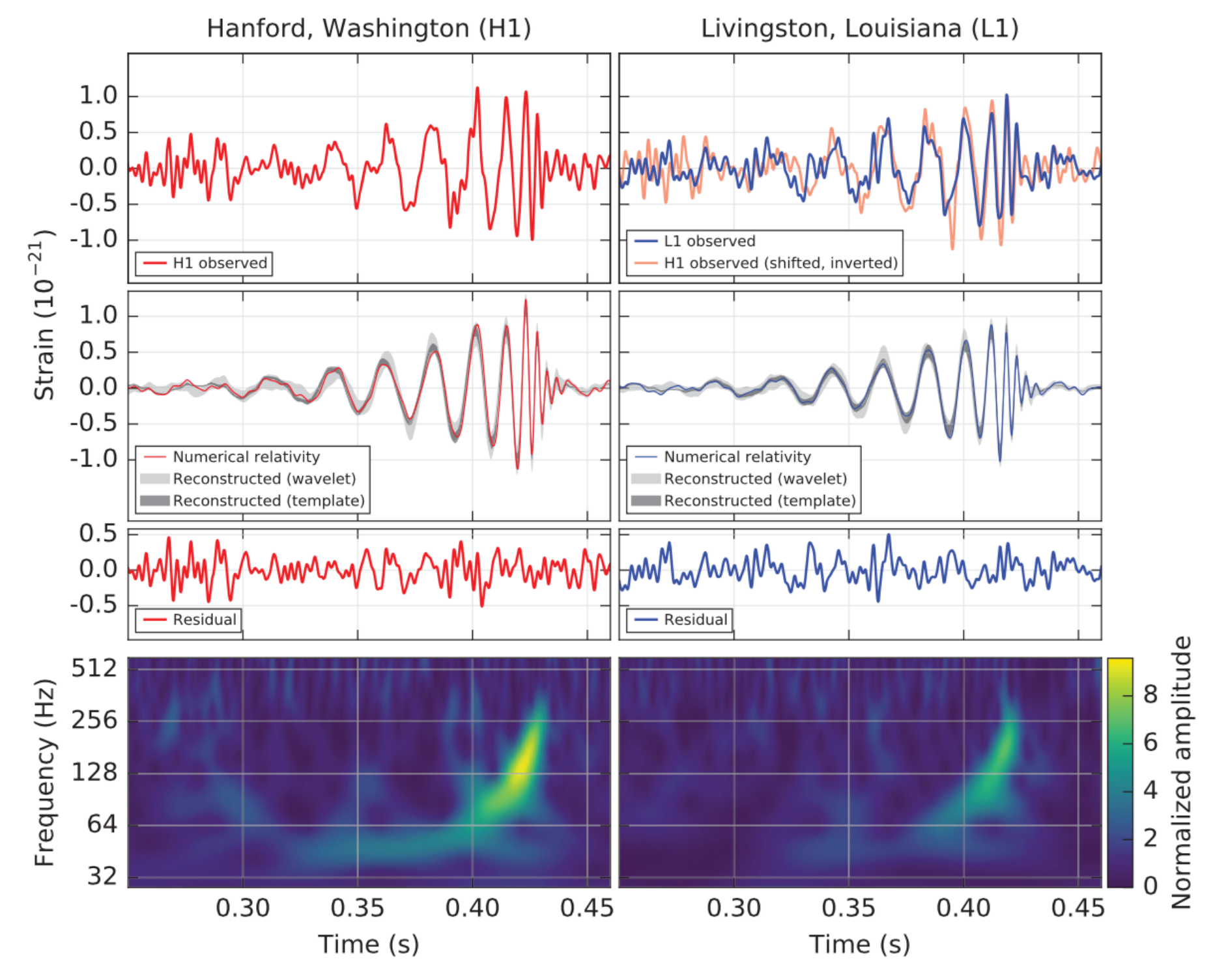


FIG. 1. The gravitational-wave event GW150914 observed by the LIGO Hanford (H1, left column panels) and Livingston (L1, right column panels) detectors. Times are shown relative to September 14, 2015 at 09:50:45 UTC. For visualization, all time series are filtered

V. Pierro, ⁸⁷ G. Pillant, ³⁴ L. Pinard, ⁶⁵ I. M. Pinto, ⁸⁷ M. Pitkin, ³⁶ J. H. Poeld, ⁸ R. Poggiani, ^{18,19} P. Popolizio, ³⁴ A. Post, ⁸

J. Qin, ⁵¹ V. Quetschke, ⁸³ E. A. Quintero, ¹ R. Quitzow-James, ⁵⁹ F. J. Raab, ³⁷ D. S. Rabeling, ²⁰ H. Radkins, ³⁷ P. Raffai, ⁵⁴ S. Raja, 48 M. Rakhmanov, 83 C. R. Ramet, 6 P. Rapagnani, 79,28 V. Raymond, 29 M. Razzano, 18,19 V. Re, 25 J. Read, 22

C. M. Reed, ³⁷ T. Regimbau, ⁵³ L. Rei, ⁴⁷ S. Reid, ⁵⁰ D. H. Reitze, ^{1,5} H. Rew, ¹²⁰ S. D. Reyes, ³⁵ F. Ricci, ^{79,28} K. Riles, ⁹¹ N. A. Robertson, ^{1,36} R. Robie, ³⁶ F. Robinet, ²³ A. Rocchi, ¹³ L. Rolland, ⁷ J. G. Rollins, ¹ V. J. Roma, ⁵⁹ J. D. Romano, ⁸

R. Romano, ^{3,4} G. Romanov, ¹²⁰ J. H. Romie, ⁶ D. Rosińska, ^{127,43} S. Rowan, ³⁶ A. Rüdiger, ⁸ P. Ruggi, ³⁴ K. Ryan, ³

S. Sachdev, ¹ T. Sadecki, ³⁷ L. Sadeghian, ¹⁶ L. Salconi, ³⁴ M. Saleem, ¹⁰⁸ F. Salemi, ⁸ A. Samajdar, ¹²³ L. Sammut, ^{85,114}

L. M. Sampson, ⁸² E. J. Sanchez, ¹ V. Sandberg, ³⁷ B. Sandeen, ⁸² G. H. Sanders, ¹ J. R. Sanders, ^{98,35} B. Sassolas, ⁶⁴

B. S. Sathyaprakash, P. R. Saulson, S O. Sauter, R. L. Savage, A. Sawadsky, P. Schale, R. Schilling, b J. Schmidt,

P. Schmidt, ^{1,76} R. Schnabel, ²⁷ R. M. S. Schofield, ⁵⁹ A. Schönbeck, ²⁷ E. Schreiber, ⁸ D. Schuette, ^{8,17} B. F. Schutz, ^{91,29}

J. Scott, ³⁶ S. M. Scott, ²⁰ D. Sellers, ⁶ A. S. Sengupta, ⁹⁴ D. Sentenac, ³⁴ V. Sequino, ^{25,13} A. Sergeev, ¹⁰⁹ G. Sema, ²²

Y. Setyawati, ^{52,9} A. Sevigny, ³⁷ D. A. Shaddock, ²⁰ T. Shaffer, ³⁷ S. Shah, ^{52,9} M. S. Shahriar, ⁸² M. Shaltev, ⁸ Z. Shao, ¹ B. Shapiro, ⁴⁰ P. Shawhan, ⁶² A. Sheperd, ¹⁶ D. H. Shoemaker, ¹⁰ D. M. Shoemaker, ⁶³ K. Siellez, ^{53,63} X. Siemens, ¹⁶ D. Sigg, ³

A. D. Silva, 11 D. Simakov, A. Singer, L. P. Singer, A. Singh, R. Singh, A. Singh, A. Singhal, A. M. Sintes, 66

B. J. J. Slagmolen, ²⁰ J. R. Smith, ²² M. R. Smith, ¹ N. D. Smith, ¹ R. J. E. Smith, ¹ E. J. Son, ¹²⁵ B. Sorazu, ³⁶ F. Sorrentino, ⁴⁷

B. C. Stephens, ¹⁶ S. P. Stevenson, ⁴⁵ R. Stone, ⁸³ K. A. Strain, ³⁶ N. Straniero, ⁶⁵ G. Stratta, ^{57,58} N. A. Strauss, ⁷⁸ S. Strigin, ⁴⁵

R. Sturani, ¹²¹ A. L. Stuver, ⁶ T. Z. Summerscales, ¹²⁸ L. Sun, ⁸⁵ P. J. Sutton, ⁹¹ B. L. Swinkels, ³⁴ M. J. Szczepańczyk, ⁹¹

M. Tacca, O. Talukder, D. B. Tanner, M. Tápai, S. P. Tarabrin, A. Taracchipi, R. Taylor, T. Theeg,

M. P. Thirugnanasambandam, ¹ E. G. Thomas, ⁴⁵ M. Thomas, ⁶ P. Thomas, ³⁷ K. A. Thome, ⁶ K. S. Thorne, ⁷⁶ E. Thrane, ¹¹

S. Tiwari, ¹² V. Tiwari, ⁹¹ K. V. Tokmakov, ¹⁰⁷ C. Tomlinson, ⁸⁶ M. Tonelli, ^{18,19} C. V. Torres, ^{83,c} C. I. Torrio, ¹D. Töyrä, ⁴⁵

F. Travasso, 32,33 G. Traylor, 6 D. Trifirò, 21 M. C. Tringali, 89,90 L. Trozzo, 129,19 M. Tse, 10 M. Turconi, 53 D. Tuyenbayev,

D. Ugolini, ¹³⁰ C. S. Unnikrishnan, ⁹⁹ A. L. Urban, ¹⁶ S. A. Usman, ³⁵ H. Vahlbruch, ¹⁷ G. Vajente, ¹ G. Valdes, ⁸

M. Vallisneri, ⁷⁶ N. van Bakel, ⁹ M. van Beuzekom, ⁹ J. F. J. van den Brand, ^{61,9} C. Van Den Broeck, ⁹ D. C. Vander-Hyde, ^{35,22}

A. Vecchio, 45 G. Vedovato, 42 J. Veitch, 45 P. J. Veitch, 104 K. Venkateswara, 131 D. Verkindt, F. Vetrano, 57,58 A. Viceré, 57,58

S. Vinciguerra, ⁴⁵ D. J. Vine, ⁵⁰ J.-Y. Vinet, ⁵³ S. Vitale, ¹⁰ T. Vo, ³⁵ H. Vocca, ^{32,33} C. Vorvick, ³⁷ D. Voss, ⁵ W. D. Vousden, ⁴⁵

S. P. Vyatchanin, A. R. Wade, L. E. Wade, M. Wade, S. J. Waldman, M. Walker, L. Wallace, S. Walsh, 16,8,29

G. Wang, 12 H. Wang, 45 M. Wang, 45 X. Wang, 70 Y. Wang, 51 H. Ward, 36 R. L. Ward, 20 J. Warner, 37 M. Was, 7 B. Weaver, 37

L.-W. Wei, 53 M. Weinert, 8 A. J. Weinst in, 1 R. Weiss, 10 T. Welborn, 6 L. Wen, 51 P. Weßels, 8 T. Westphal, 8 K. Wette, 8

J. T. Whelan, ^{102,8} S. E. Whitcomb, ¹ D. J. White ⁸⁶ B. F. Whiting, ⁸ K. Wiesner, ⁸ C. Wilkinson, ³⁷ P. A. Willems, ¹ L. Williams, ¹ L. William

R. D. Williams, A. R. Williamson, J. L. Willis, B. Willke, J. M. H. Wimmer, J. L. Winkelmann, W. Winkler, W. Winkler, W. Winkler, J. Winkelmann, W. Winkler, J. Winkelmann, W. Winkler, W.

C. C. Wipf, A. G. Wiseman, H. Wittel, 8,17 G. Woan, J. Worden, J. L. Wright, G. Wu, J. Yablon, L. Yakushin, G. Wight, J. C. Wight, J. Yablon, L. Yakushin, G. Wight, J. Wright, J. Wight, J. Wight,

W. Yam, ¹⁰ H. Yamamoto, ¹ C. C. Yancey, ⁶² M. J. Yap, ²⁰ H. Yu, ¹⁰ M. Yvert, ⁷ A. Zadrożny, ¹¹² L. Zangrando, ⁴² M. Zanolin, ⁹

J.-P. Zendri, 42 M. Zevin, 82 F. Zhang, 10 L. Zhang, 1 M. Zhang, 120 Y. Zhang, 102 C. Zhao, 51 M. Zhou, 82 Z. Zhou, 82 X. J. Zhu, 51

M. E. Zucker, 1,10 S. E. Zuraw, 103 and J. Zweizig¹

(LIGO Scientific Collaboration and Virgo Collaboration)

¹LIGO, California Institute of Technology, Pasadena, California 91125, USA

²Louisiana State University, Baton Rouge, Louisiana 70803, USA

³Università di Salerno, Fisciano, I-84084 Salerno, Italy

⁴INFN, Sezione di Napoli, Complesso Universitario di Monte S. Angelo, I-80126 Napoli, Italy

University of Florida, Gainesville, Florida 32611, USA

⁶LIGO Livingston Observatory, Livingston, Louisiana 70754, USA

⁷Laboratoire d'Annecy-le-Vieux de Physique des Particules (LAPP), Université Savoie Mont Blanc, CNRS/IN2P3,

F-74941 Annecy-le-Vieux, France

⁸Albert-Einstein-Institut, Max-Planck-Institut für Gravitationsphysik, D-30167 Hannover, Germany

⁹Nikhef, Science Park, 1098 XG Amsterdam, Netherlands

061102-13

L. van der Schaaf, J. V. van Heijningen, A. A. van Veggel, M. Vardaro, 41,42 S. Vass, M. Vasúth, R. Vaulin, 10

T. Souradeep, ¹⁴ A. K. Srivastava, ⁹⁵ A. Staley, ³⁹ M. Steinke, ⁸ J. Steinlechner, ³⁶ S. Steinlechner, ³⁶ D. Steinmeyer, ⁸

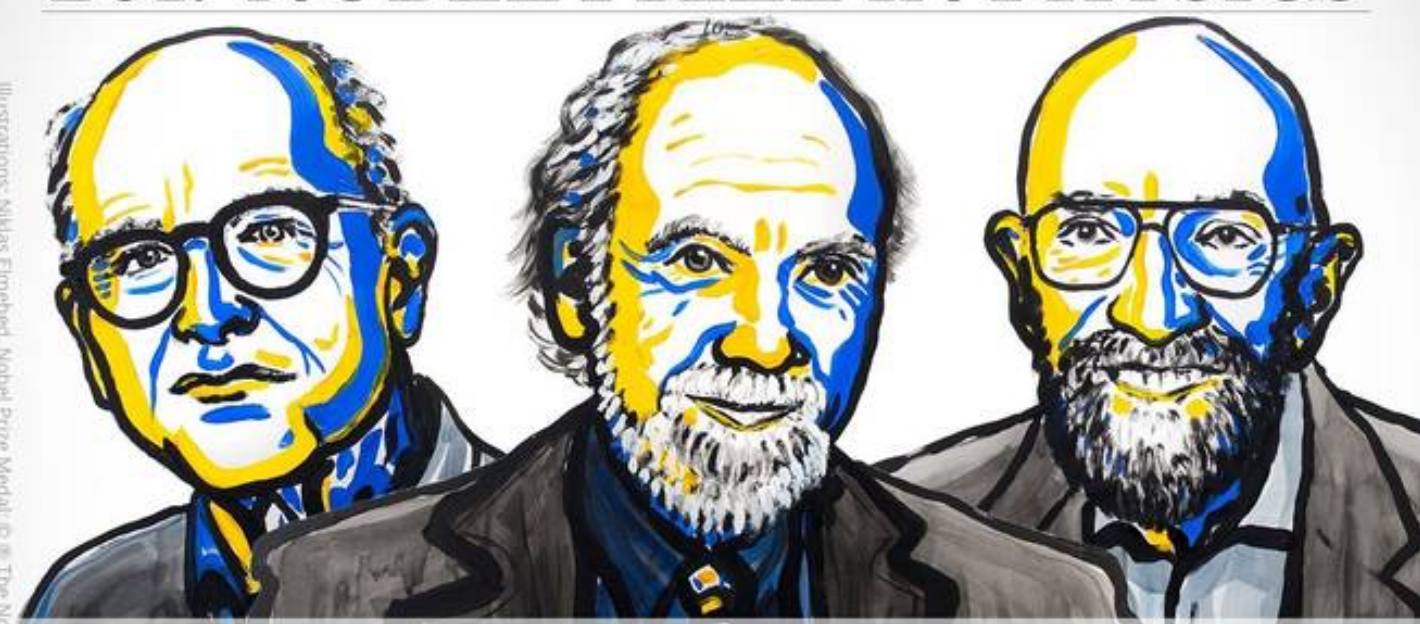
J. Powell, ³⁶ J. Prasad, ¹⁴ V. Predoi, ⁹¹ S. S. Premachandra, ¹¹⁴ T. Prestegard, ⁸⁴ L. R. Price, ¹ M. Prijatelj, ³⁴ M. Principe, S. Privitera.²⁹ R. Prix, G. A. Prodi, ^{89,90} L. Prokhorov, ⁴⁹ O. Puncken, M. Punturo, ³³ P. Puppo, ²⁸ M. Pürrer, ²⁹ H. Qi, ¹

B. P. Abbott, R. Abbott, T. D. Abbott, M. R. Abernathy, F. Acernese, A. K. Ackley, C. Adams, T. Adams, A. Ackley, C. Adams, T. Adams, M. Ackley, T. Adams, T. Adams, A. Ackley, T. Adams, R. X. Adhikari, V. B. Adya, C. Affeldt, M. Agathos, K. Agatsuma, N. Aggarwal, O. D. Aguiar, L. Aiello, 12,13 A. Ain, ¹⁴ P. Ajith, ¹⁵ B. Allen, ^{8,16,17} A. Allocca, ^{18,19} P. A. Altin, ²⁰ S. B. Anderson, ¹ W. G. Anderson, ¹⁶ K. Arai, ¹ M. A. Arain, ⁵ M. C. Araya, ¹ C. C. Arceneaux, ²¹ J. S. Areeda, ²² N. Arnaud, ²³ K. G. Arun, ²⁴ S. Ascenzi, ^{25,13} G. Ashton, ²⁶ M. Ast, ²⁷ S. M. Aston, P. Astone, R. Aufmuth, C. Aulbert, S. Babak, P. Bacon, M. K. M. Bader, P. T. Baker, I. Baker, P. T. Baker, P. T. Baker, R. C. Aulbert, S. Babak, P. Bacon, M. K. M. Bader, P. T. Baker, R. C. Aulbert, Babak, P. Bacon, R. C. Aulbert, Babak, P. C. Aulbert, Babak, F. Baldaccini, ^{32,33} G. Ballardin, ³⁴ S. W. Ballmer, ³⁵ J. C. Barayoga, ¹ S. E. Barclat, ³⁶ B. C. Barish, ¹ D. Barker, ³⁷ F. Barone, ³⁴ B. Barsotti, ¹⁰ M. Barsuglia, ³⁰ D. Barta, ³⁸ J. Bartlett, ³⁷ M. A. Barton, ³⁷ L. Bartos, ³⁹ P. Bassiri, ⁴⁰ A. Basti, ^{18,19} J. C. Batch, ³⁷ C. Baune, ⁸ V. Bavigadda, ³⁴ M. Bazzan, ^{41,42} B. Behnke, ²⁹ M. Bejger, ⁴³ C. Belczynski, ⁴⁴ A. S. Bell, ³⁶ C. J. Bell, ³⁶ B. K. Berger, ¹ J. Bergman, ³⁷ G. Bergmann, ⁸ C. P. L. Berry, ⁴⁵ D. Bersanetti, ^{46,47} A. Bertolini, ⁹ J. Betzwieser, ⁶ S. Bhagwat, ³⁵ R. Bhandare, ⁴⁸ I. A. Bilenko, ⁴⁹ G. Billingsley, ¹ J. Birch, ⁶ R. Birney, ⁵⁰ O. Birnholtz, ⁸ S. Biscans, ¹⁰ A. Bisht, ^{8,17} M. Bitossi, ³⁴ C. Biwer, ³⁵ M. A. Bizouard, ²³ J. K. Blackburn, ¹ C. D. Blair, ⁵¹ D. G. Blair, ⁵¹ R. M. Blair, ³⁷ S. Bloemen, ⁵² O. Bock, ⁸ T. P. Bodiya, ¹⁰ M. Boer, ⁵³ G. Bogaert, ⁵³ C. Bogan, ⁸ A. Bohe, ²⁹ P. Bojtos, ⁵⁴ C. Bond, ⁴⁵ F. Bondu, ⁵⁵ R. Bonnand, ⁷ B. A. Boom, R. Bork, V. Boschi, 18,19 S. Bose, 56,14 Y. Bouffanais, 30 A. Bozzi, 34 C. Bradaschia, 19 P. R. Brady, 16 V. B. Braginsky,⁴⁹ M. Branchesi,^{57,58} J. E. Brau,⁵⁹ T. Briant,⁶⁰ A. Brillet,⁵³ M. Brinkmann,⁸ V. Brisson,²³ P. Brockill, ¹⁶ A. F. Brooks, D. A. Brown, D. D. Brown, N. M. Brown, C. C. Buchanan, A. Buikema, T. Bulik, H. J. Bulten, 61,9 A. Buonanno, ^{29,62} D. Buskulic, ⁷ C. Buy, ³⁰ R. L. Byer, ⁴⁰ M. Cabero, ⁸ L. Cadonati, ⁶³ G. Cagnoli, ^{64,65} C. Cahillane, ¹ J. Calderón Bustillo, ^{66,63} T. Callister, ¹ E. Calloni, ^{67,4} J. B. Camp, ⁶⁸ K. C. Cannon, ⁶⁹ J. Cao, ⁷⁰ C. D. Capano, ⁸ E. Capocasa, ³⁰ F. Carbognani, ³⁴ S. Caride, ⁷¹ J. Casanueva Diaz, ²³ C. Casentini, ^{25,13} S. Caudill, ¹⁶ M. Cavaglià, ²¹ F. Cavalier, ²³ R. Cavalieri, ³⁴ G. Cella, ¹⁹ C. B. Cepeda, ¹ L. Cerboni Baiardi, ^{57,58} G. Cerretani, ^{18,19} E. Cesarini, ^{25,13} R. Chakraborty, ¹ T. Chalermsongsak, S. J. Chamberlin, M. Chan, S. Chao, P. Charlton, E. Chassande-Mottin, H. Y. Chen, Y. Chen, ⁷⁶ C. Cheng, ⁷³ A. Chincarini, ⁴⁷ A. Chiummo, ³⁴ H. S. Cho, ⁷⁷ M. Cho, ⁶² J. H. Chow, ²⁰ N. Christensen, ⁷⁸ Q. Chu, ⁵ S. Chua, ⁶⁰ S. Chung, ⁵¹ G. Ciani, ⁵ F. Clara, ³⁷ J. A. Clark, ⁶³ F. Cleva, ⁵³ E. Coccia, ^{25,12,13} P.-F. Cohadon, ⁶⁰ A. Colla, ^{79,2} C. G. Collette, 80 L. Cominsky, 81 M. Constancio Jr., 11 A. Conte, 79,28 L. Conti, 42 D. Cook, 37 T. R. Corbitt, 2 N. Cornish, 31 A. Corsi, ⁷¹ S. Cortese, ³⁴ C. A. Costa, ¹¹ M. W. Coughlin, ⁷⁸ S. B. Coughlin, ⁸² J.-P. Coulon, ⁵³ S. T. Countryman, ³⁹ P. Couvares, E. E. Cowan, 3 D. M. Coward, M. J. Cowart, D. C. Coyne, R. Coyne, K. Craig, J. D. E. Creighton, E. T. D. Creighton, ⁸³ J. Cripe, ² S. G. Crowder, ⁸⁴ A. M. Cruise, ⁴⁵ A. Cumming, ³⁶ L. Cunningham, ³⁶ E. Cuoco, ³⁴ T. Dal Canton, ⁸ S. L. Danilishin, ³⁶ S. D'Antonio, ¹³ K. Danzmann, ^{17,8} N. S. Darman, ⁸⁵ C. F. Da Silva Costa, ⁵ V. Dattilo, ³⁴ I. Dave, ⁴⁸ H. P. Daveloza, 83 M. Davier, 23 G. S. Davies, 36 E. J. Daw, 86 R. Day, 34 S. De, 35 D. DeBra, 40 G. Debreczeni, 38 J. Degallaix, 65 M. De Laurentis, ^{67,4} S. Deléglise, ⁶⁰ W. Del Pozzo, ⁴⁵ T. Denker, ^{8,17} T. Dent, ⁸ H. Dereli, ⁵³ V. Dergachev, ¹ R. T. DeRosa, ⁶ R. De Rosa, ^{67,4} R. DeSalvo, ⁸⁷ S. Dhurandhar, ¹⁴ M. C. Díaz, ⁸³ L. Di Fiore, ⁴ M. Di Giovanni, ^{79,28} A. Di Lieto, ^{18,19} S. Di Pace, ^{79,28} I. Di Palma, ^{29,8} A. Di Virgilio, ¹⁹ G. Dojcinoski, ⁸⁸ V. Dolique, ⁶⁵ F. Donovan, ¹⁰ K. L. Dooley, ²¹ S. Doravari, ^{6,8} R. Douglas, ³⁶ T. P. Downes, ¹⁶ M. Drago, ^{8,89,90} R. W. P. Drever, ¹ J. C. Driggers, ³⁷ Z. Du, ⁷⁰ M. Ducrot, ⁷ S. E. Dwyer, ³ T. B. Edo, ⁸⁶ M. C. Edwards, ⁷⁸ A. Effler, ⁶ H.-B. Eggenstein, ⁸ P. Ehrens, ¹ J. Eichholz, ⁵ S. S. Eikenberry, ⁵ W. Engels, ⁷ R. C. Essick, ¹⁰ T. Etzel, ¹ M. Evans, ¹⁰ T. M. Evans, ⁶ R. Everett, ⁷² M. Factourovich, ³⁹ V. Fafone, ^{25,13,12} H. Fair, ³³ S. Fairhurst, ⁹¹ X. Fan, ⁷⁰ Q. Fang, ⁵¹ S. Farinon, ⁴⁷ B. Farr, ⁷⁵ W. M. Farr, ⁴⁵ M. Favata, ⁸⁸ M. Fays, ⁹¹ H. Fehrmann, ⁸ M. M. Fejer, ⁴⁰ D. Feldbaum, ⁵ I. Ferrante, ^{18,19} E. C. Ferreira, ¹¹ F. Ferrini, ³⁴ F. Fidecaro, ^{18,19} L. S. Finn, ⁷² I. Fiori, ³⁴ D. Fiorucci,³⁰ R. P. Fisher,³⁵ R. Flaminio,^{65,92} M. Fletcher,³⁶ H. Fong,⁶⁹ J.-D. Fournier,⁵³ S. Franco,²³ S. Frasca,^{79,28} F. Frasconi, 19 M. Frede, 8 Z. Frei, 54 A. Freise, 45 R. Frey, 59 V. Frey, 23 T. T. Fricke, 8 P. Fritschel, 10 V. V. Frolov, 6 P. Fulda, 5

N. Gehrels, ⁶⁸ G. Gemme, ⁴⁷ B. Gendre, ⁵³ E. Genin, ³⁴ A. Gennai, ¹⁹ J. George, ⁴⁸ L. Gergely, ⁹⁶ V. Germain, ⁷ Abhirup Ghosh, ¹¹ Archisman Ghosh, ¹⁵ S. Ghosh, ^{52,9} J. A. Giaime, ^{2,6} K. D. Giardina, ⁶ A. Giazotto, ¹⁹ K. Gill, ⁹⁷ A. Glaefke, ³⁶ J. R. Gleason, E. Goetz, ⁹⁸ R. Goetz, ⁵ L. Gondan, ⁵⁴ G. González, ² J. M. Gonzalez Castro, ^{18,19} A. Gopakumar, ⁹⁹ N. A. Gordon, ³⁶ M. L. Gorodetsky, ⁴⁹ S. E. Gossan, ¹ M. Gosselin, ³⁴ R. Gouaty, ⁷ C. Graef, ³⁶ P. B. Graff, ⁶² M. Granata, ⁶⁵ A. Grant, ³⁶ S. Gras, ¹⁰ C. Gray,³⁷ G. Greco,^{57,58} A. C. Green,⁴⁵ R. J. S. Greenhalgh,¹⁰⁰ P. Groot,⁵² H. Grote,⁸ S. Grunewald,²⁹ G. M. Guidi,⁵⁷ X. Guo, A. Gupta, K. Gupta, K. E. Gushwa, E. K. Gustafson, R. Gustafson, J. J. Hacker, B. R. Hall, 6 E. D. Hall, G. Hammond, M. Haney, M. M. Hanke, J. Hanks, C. Hanna, L. Hannan, L. Hannan, Hanson, E. D. Hall, G. Hannan, M. D. Hannam, Hanson, G. Hannan, T. Hanson, G. Hannan, Hanson, G. Hannan, Hann T. Hardwick, J. Harms, 57,58 G. M. Harry, 101 I. W. Harry, 29 M. J. Hart, 36 M. T. Hartman, 5 C.-J. Haster, 45 K. Haughian, 3 J. Healy, ¹⁰² J. Heefner, ^{1,a} A. Heidmann, ⁶⁰ M. C. Heintze, ^{5,6} G. Heinzel, ⁸ H. Heitmann, ⁵³ P. Hello, ²³ G. Hemming, ³ M. Hendry, ³⁶ I. S. Heng, ³⁶ J. Hennig, ³⁶ A. W. Heptonstall, ¹ M. Heurs, ^{8,17} S. Hild, ³⁶ D. Hoak, ¹⁰³ K. A. Hodge, ¹ D. Hofman, ⁶ S. E. Hollitt, ¹⁰⁴ K. Holt, ⁶ D. E. Holz, ⁷⁵ P. Hopkins, ⁹¹ D. J. Hosken, ¹⁰⁴ J. Hough, ³⁶ E. A. Houston, ³⁶ E. J. Howell, ⁵ Y. M. Hu, 36 S. Huang, 73 E. A. Huerta, 105,82 D. Huet, 23 B. Hughey, 97 S. Husa, 66 S. H. Huttner, 36 T. Huynh-Dinh, 6 A. Idrisy, 7 N. Indik, D. R. Ingram, R. Inta, R. Inta, H. N. Isa, J. J.-M. Isac, M. Isi, G. Islas, T. Isogai, B. R. Iyer, K. Izumi, M. B. Jacobson, T. Jacqmin, H. Jang, K. Jani, P. Jaranowski, M. S. Jawahar, T. Jiménez-Forteza, M. W. Johnson, N. K. Johnson-McDaniel, ¹⁵ D. I. Jones, ²⁶ R. Jones, ³⁶ R. J. G. Jonker, ⁹ L. Ju, ⁵¹ K. Haris, ¹⁰⁸ C. V. Kalaghatgi, ²⁴ V. Kalogera, S. Kandhasamy, G. Kang, J. B. Kanner, S. Karki, M. Kasprzack, 2,23,34 E. Katsavounidis, 10 W. Katzman, S. Kaufer, T. Kaur, Kawabe, F. Kawazoe, R. F. Kéfélian, M. S. Kehl, M. S. Kehl, L. Kawabe, R. Kawabe, Kawabe, Kawabe, Kawabe, R. Ka W. Kells, R. Kennedy, C. G. Keppel, J. S. Key, A. Khalaidovski, F. Y. Khalili, I. Khan, Z. Khan, L. Khan, Khan, E. A. Khazanov, ¹⁰⁹ N. Kijbunchoo, ³⁷ C. Kim, ⁷⁷ J. Kim, ¹¹⁰ K. Kim, ¹¹¹ Nam-Gyu Kim, ⁷⁷ Namjun Kim, ⁴⁰ Y.-M. Kim, ¹¹ E. J. King, ¹⁰⁴ P. J. King, ³⁷ D. L. Kinzel, ⁶ J. S. Kissel, ³⁷ L. Kleybolte, ²⁷ S. Klimenko, ⁵ S. M. Koehlenbeck, ⁸ K. Kokeyama, S. Koley, V. Kondrashov, A. Kontos, S. Koranda, M. Korobko, W. Z. Korth, I. Kowalska, 4 D. B. Kozak, V. Kringel, B. Krishnan, A. Królak, 112,113 C. Krueger, G. Kuehn, P. Kumar, R. Kumar, L. Kuo, A. Kutynia, L. Kuo, A. Kutynia, I. Kuo, R. Kumar, A. Kutynia, I. Kuo, R. Kumar, R. Kumar, L. Kuo, R. Kumar, R. K P. Kwee, ⁸ B. D. Lackey, ³⁵ M. Landry, ³⁷ J. Lange, ¹⁰² B. Lantz, ⁴⁰ P. D. Lasky, ¹¹⁴ A. Lazzarini, ¹ C. Lazzaro, ^{63,42} P. Leaci, ^{29,79,28} S. Leavey, ³⁶ E. O. Lebigot, ^{30,70} C. H. Lee, ¹¹⁰ H. K. Lee, ¹¹¹ H. M. Lee, ¹¹⁵ K. Lee, ³⁶ A. Lenon, ³⁵ M. Leonardi, ^{89,90} J. R. Leong, N. Leroy, N. Letendre, Y. Levin, 114 B. M. Levine, T. G. F. Li, A. Libson, T. B. Littenberg, 116 N. A. Lockerbie, ¹⁰⁷ J. Logue, ³⁶ A. L. Lombardi, ¹⁰³ L. T. London, ⁹¹ J. E. Lord, ³⁵ M. Lorenzini, ^{12,13} V. Loriette, ¹ M. Lormand, G. Losurdo, J. D. Lough, J. C. O. Lousto, G. Lovelace, H. Lück, A. P. Lundgren, J. Luo, K. Lormand, G. Losurdo, J. Luo, K. Lormand, G. Losurdo, Losurdo, Losurdo, Lormand, G. Losurdo, Losurd R. Lynch, ¹⁰ Y. Ma, ⁵¹ T. MacDonald, ⁴⁰ B. Machenschalk, ⁸ M. MacInnis, ¹⁰ D. M. Macleod, ² F. Magaña-Sandoval, ³¹ R. M. Mages, ⁵⁶ M. Mageswaran, ¹ E. Majorana, ²⁸ I. Maksimovic, ¹¹⁷ V. Malvezzi, ^{25,13} N. Man, ⁵³ I. Mandel, ⁴⁵ V. Mandic, ⁸ V. Mangano, ³⁶ G. L. Mansell, ²⁰ M. Manske, ¹⁶ M. Mantovani, ³⁴ F. Marchesoni, ^{118,33} F. Marion, ⁷ S. Márka, ³⁹ Z. Márka, ³⁰ A. S. Markosyan, 40 E. Maros, F. Martelli, 57,58 L. Martellini, 53 I. W. Martin, 36 R. M. Martin, 5 D. V. Martynov, J. N. Marx, 1 K. Mason, A. Masserot, T. J. Massinger, M. Masso-Reid, F. Matichard, L. Matone, N. Mavalvala, U. N. Mazumder. ⁵⁶ G. Mazzolo. ⁸ R. McCarthy. ³⁷ D. E. McClelland. ²⁰ S. McCormick. ⁶ S. C. McGuire. ¹¹⁹ G. McIntyre. ¹ J. McIver, D. J. McManus, S. T. McWilliams, D. Meacher, G. D. Meadors, J. Meidam, A. Melatos, McIver, D. J. McManus, D. McManus, D. Meidam, D. G. Mendell, ³⁷ D. Mendoza-Gandara, ⁸ R. A. Mercer, ¹⁶ E. Merilh, ³⁷ M. Merzougui, ⁵³ S. Meshkov, ¹ C. Messenger, ³ C. Messick, ⁷² P. M. Meyers, ⁸⁴ F. Mezzani, ^{28,79} H. Miao, ⁴⁵ C. Michel, ⁶⁵ H. Middleton, ⁴⁵ E. E. Mikhailov, ¹²⁰ L. Milano, ^{67,4} J. Miller, M. Millhouse, Y. Minenkov, J. Ming, S. Mirshekari, L. C. Mishra, S. Mitra, V. P. Mitrofanov, G. Mitselmakher, R. Mittleman, A. Moggi, M. Mohan, S. R. P. Mohapatra, M. Montani, S. B. C. Moore, B. C. Moore, S. M. Mohapatra, A. Moggi, M. Mohapatra, A. Moggi, M. Mohapatra, M. Moha C. J. Moore, ¹²² D. Moraru, ³⁷ G. Moreno, ³⁷ S. R. Morriss, ⁸³ K. Mossavi, ⁸ B. Mours, ⁷ C. M. Mow-Lowry, ⁴⁵ C. L. Mueller, ⁵ G. Mueller, A. W. Muir, Arunava Mukherjee, D. Mukherjee, G. Mukherjee, N. Mukund, A. Mullavey, G. Mukherjee, A. W. Muir, A. Mullavey, G. Mukherjee, A. W. J. Munch, 104 D. J. Murphy, 39 P. G. Murray, 36 A. Mytidis, 5 I. Nardecchia, 25,13 L. Naticchioni, 79,28 R. K. Nayak, 123 V. Necula, 5 K. Nedkova, ¹⁰³ G. Nelemans, ^{52,9} M. Neri, ^{46,47} A. Neunzert, ⁹⁸ G. Newton, ³⁶ T. T. Nguyen, ²⁰ A. B. Nielsen, ⁸ S. Nissanke, ^{52,9} A. Nitz, F. Nocera, L. N. Normandin, L. K. Nuttall, J. Oberling, E. Ochsner, L. O'Dell, 100 E. Oelker, OG. H. Ogin, LA J. Oh, S. H. Oh, E. F. Ohme, M. Oliver, P. Oppermann, Richard J. Oram, B. O'Reilly, R. O'Shaughnessy, ¹⁰² C. D. Ott, ⁷⁶ D. J. Ottaway, ¹⁰⁴ R. S. Ottens, ⁵ H. Overmier, ⁶ B. J. Owen, ⁷¹ A. Pai, ¹⁰⁸ S. A. Pai, ⁴⁸ J. R. Palamos, ⁵⁹ O. Palashov, ¹⁰⁹ C. Palomba, ²⁸ A. Pal-Singh, ²⁷ H. Pan, ⁷³ Y. Pan, ⁶² C. Pankow, ⁸² F. Pannarale, ⁹¹ B. C. Pant, ⁴⁸ F. Paoletti, ^{34,19} A. Paoli, ³⁴ M. A. Papa, ^{29,16,8} H. R. Paris, ⁴⁰ W. Parker, ⁶ D. Pascucci, ³⁶ A. Pasqualetti, ³⁴ R. Passaquietti, ^{18,1} D. Passuello, B. Patricelli, Z. Patrick, B. L. Pearlstone, M. Pedraza, R. Pedurand, L. Pekowsky, A. Pele, A. Pele, S. Penn, ¹²⁶ A. Perreca, ¹ H. P. Pfeiffer, ^{69,29} M. Phelps, ³⁶ O. Piccinni, ^{79,28} M. Pichot, ⁵³ M. Pickenpack, ⁸ F. Piergiovanni, ^{57,58}

061102-12

2017 NOBEL PRIZE IN PHYSICS



Rainer Weiss Barry C. Barish Kip S. Thorne

PHYSICAL REVIEW LETTERS

¹²⁷Janusz Gil Institute of Astronomy, University of Zielona Góra, 65-265 Zielona Góra, Poland ²⁸Andrews University, Berrien Springs, Michigan 49104, USA ¹²⁹Università di Siena, I-53100 Siena, Italy 130Trinity University, San Antonio, Texas 78212, USA ¹³¹University of Washington, Seattle, Washington 98195, USA ³²Kenvon College, Gambier, Ohio 43022, USA

¹³³Abilene Christian University, Abilene, Texas 79699, USA

Deceased, April 2012. Deceased, May 2015. Deceased, March 2015.

116, 061102 (2016)

PRL 16ページ

M. Fyffe, H. A. G. Gabbard, J. R. Gair, L. Gammaitoni, 32,33 S. G. Gaonkar, Garufi, 67,4 A. Gatto, G. Gaur, 94,95

PHYSICAL REVIEW LETTERS

PRL 116, 061102 (2016) ¹⁰LIGO, Massachusetts Institute of Technology, Cambridge, Massachusetts 02139, USA Instituto Nacional de Pesquisas Espaciais, 12227-010 São José dos Campos, São Paulo, Brazil ²INFN, Gran Sasso Science Institute, I-67100 L'Aquila, Italy ¹³INFN, Sezione di Roma Tor Vergata, I-00133 Roma, Italy ¹⁴Inter-University Centre for Astronomy and Astrophysics, Pune 411007, India ¹⁵International Centre for Theoretical Sciences, Tata Institute of Fundamental Research, Bangalore 560012, India ⁶University of Wisconsin-Milwaukee, Milwaukee, Wisconsin 53201, USA ¹⁷Leibniz Universität Hannover, D-30167 Hannover, Germany

¹⁸Università di Pisa, I-56127 Pisa, Italy ¹⁹INFN, Sezione di Pisa, I-56127 Pisa, Italy ²⁰Australian National University, Canberra, Australian Capital Territory 0200, Australia ²¹The University of Mississippi, University, Mississippi 38677, USA ²California State University Fullerton, Fullerton, California 92831, USA ²³LAL, Université Paris-Sud, CNRS/IN2P3, Université Paris-Saclay, Orsay, France ²⁴Chennai Mathematical Institute, Chennai, India 603103 Università di Roma Tor Vergata, I-00133 Roma, Italy ²⁶University of Southampton, Southampton SO17 1BJ, United Kingdom

^TUniversität Hamburg, D-22761 Hamburg, German ⁸INFN, Sezione di Roma, I-00185 Roma, Italy ²⁹Albert-Einstein-Institut, Max-Planck-Institut für Gravitationsphysik, D-14476 Potsdam-Golm, Germany ³⁰APC, AstroParticule et Cosmologie, Université Paris Diderot, CNRS/IN2P3, CEA/Irfu, Observatoire de Paris, Sorbonne Paris Cité, F-75205 Paris Cedex 13, France ³¹Montana State University, Bozeman, Montana 59717, USA

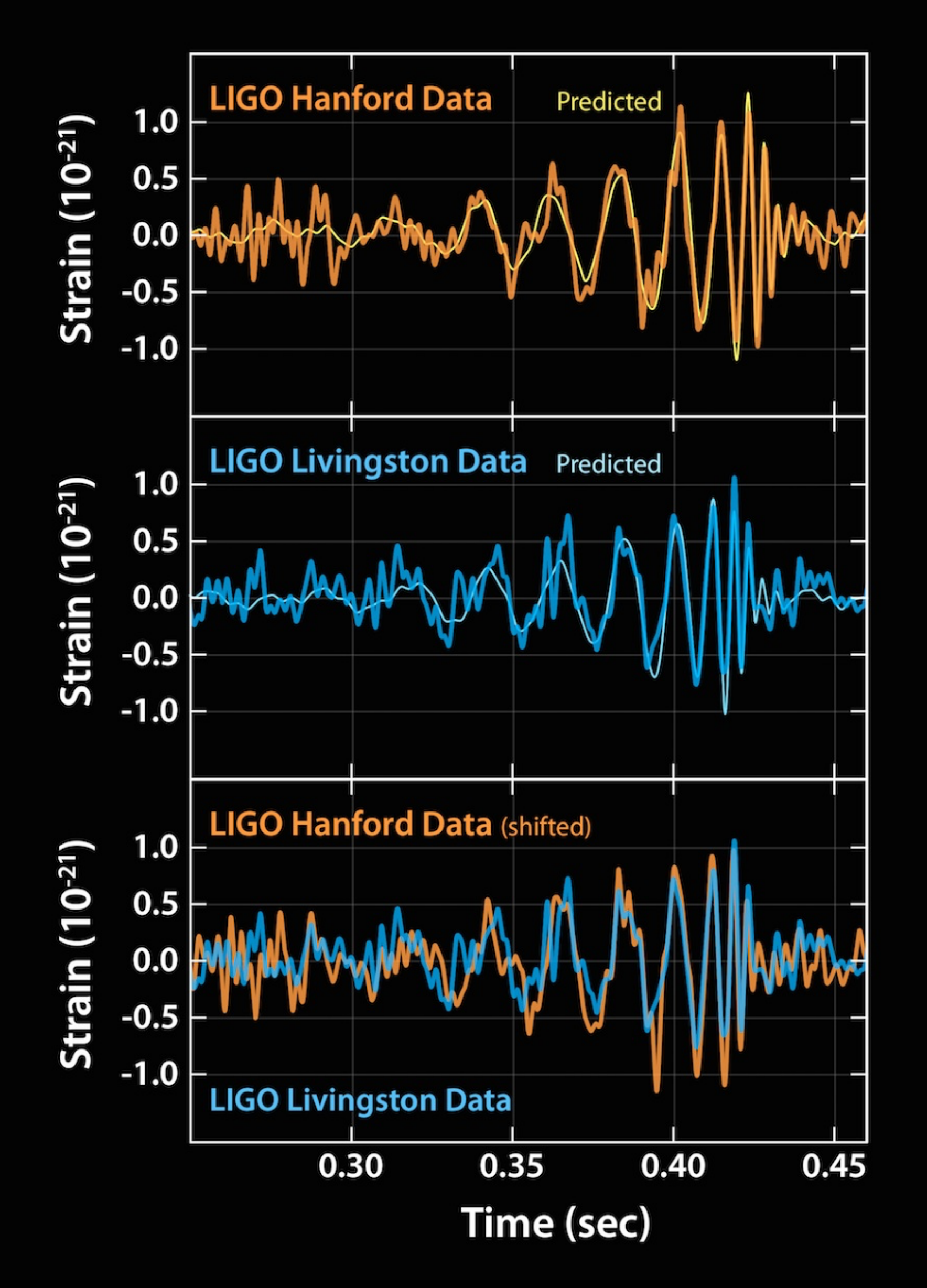
> ²Università di Perugia, I-06123 Perugia, Italy ³³INFN, Sezione di Perugia, I-06123 Perugia, Italy Syracuse University, Syracuse, New York 13244, USA ³⁶SUPA, University of Glasgow, Glasgow G12 8QQ, United Kingdom LIGO Hanford Observatory, Richland, Washington 99352, USA ³⁸Wiener RCP. RMKI, H-1121 Budapest, Konkoly Thege Miklós út 29-33, Hungary Columbia University, New York, New York 10027, USA ⁰Stanford University, Stanford, California 94305, USA ⁴¹Università di Padova, Dipartimento di Fisica e Astronomia, I-35131 Padova, Italy ²INFN, Sezione di Padova, I-35131 Padova, Italy

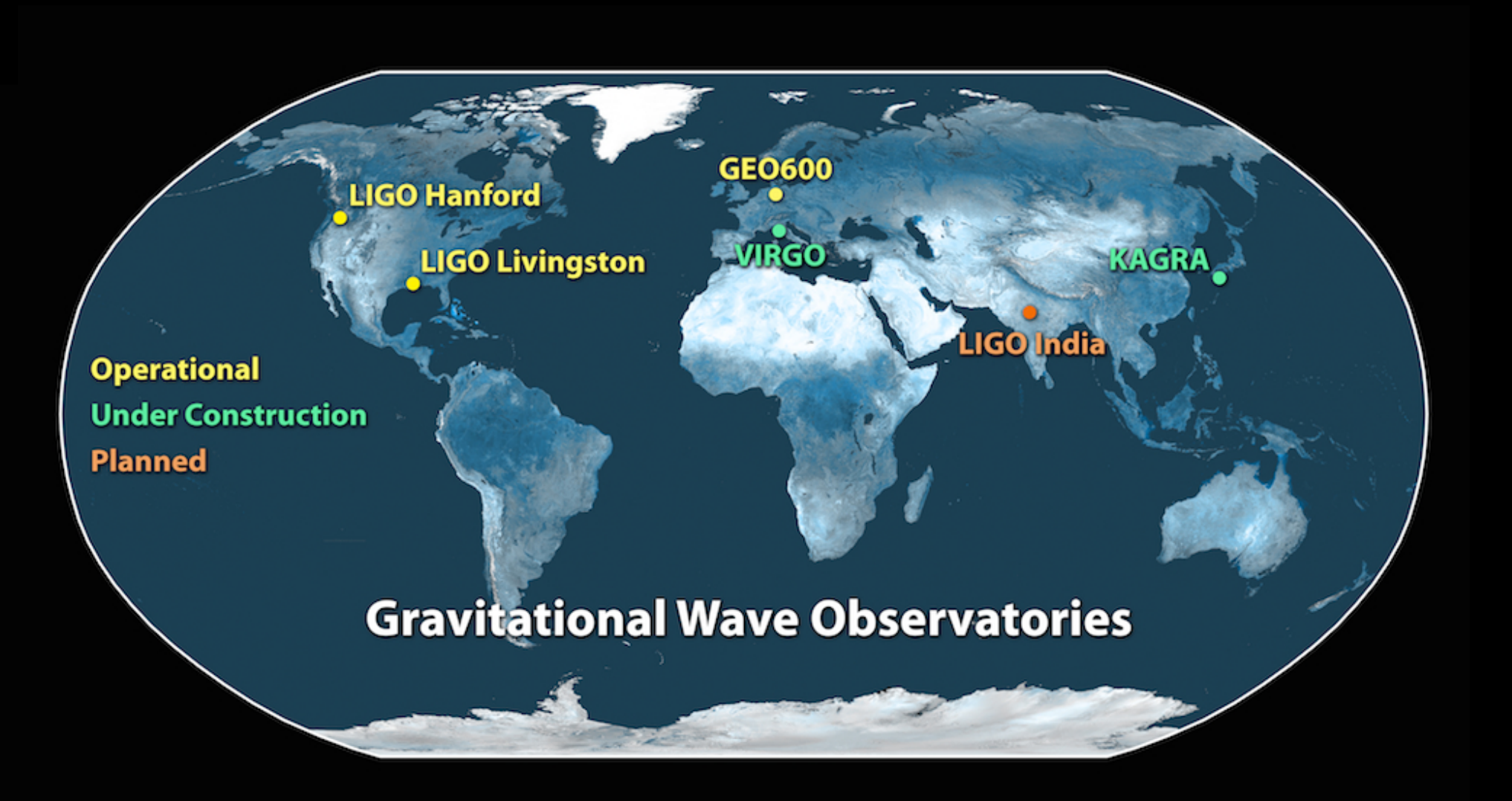
⁴³CAMK-PAN, 00-716 Warsaw, Poland ⁴Astronomical Observatory Warsaw University, 00-478 Warsaw, Poland ¹⁵University of Birmingham, Birmingham B15 2TT, United Kingdom ⁶Università degli Studi di Genova, I-16146 Genova, Italy ⁷INFN, Sezione di Genova, I-16146 Genova, Italy ⁴⁸RRCAT, Indore MP 452013, India

⁴⁹Faculty of Physics, Lomonosov Moscow State University, Moscow 119991, Russia SUPA, University of the West of Scotland, Paisley PA1 2BE, United Kingdom ¹University of Western Australia, Crawley, Western Australia 6009, Australia ²Department of Astrophysics/IMAPP, Radboud University Niimegen, P.O. Box 9010, 6500 GL Niimegen, Netherland Artemis, Université Côte d'Azur, CNRS, Observatoire Côte d'Azur, CS 34229, Nice cedex 4, France ⁵⁴MTA Eötvös University, "Lendulet" Astrophysics Research Group, Budapest 1117, Hungary ⁵⁵Institut de Physique de Rennes, CNRS, Université de Rennes 1, F-35042 Rennes, France ⁶Washington State University, Pullman, Washington 99164, USA

"for decisive contributions to the LIGO detector and the observation of gravitational waves"

2015年9月14日



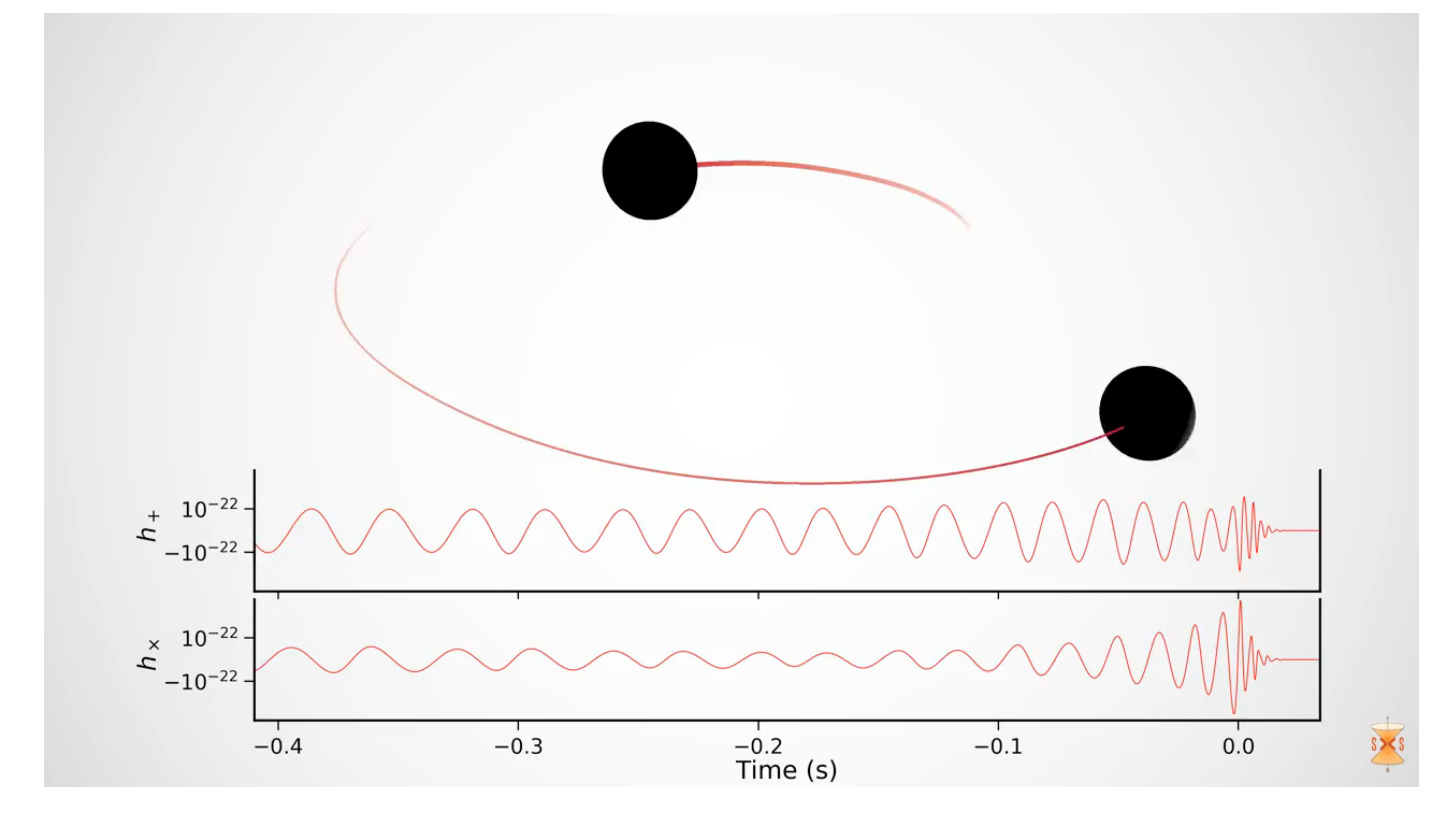


太陽の36倍と29倍のブラックホールが合体して、 太陽の62倍のブラックホールになった。

3倍の質量が消失

 $E = mc^2$

13億光年先



Animation of the inspiral and collision of two black holes consistent with the masses and spins of GW170104. The top part of the movie shows the black hole horizons (surfaces of "no return"). The initial two black holes orbit each other, until they merge and form one larger remnant black hole. The shown black holes are spinning, and angular momentum is exchanged among the two black holes and with the orbit. This results in a quite dramatic change in the orientation of the orbital plane, clearly visible in the movie. Furthermore, the spin-axes of the black holes change, as visible through the colored patch on each black hole horizon, which indicates the north pole.

The lower part of the movie shows the two distinct gravitational waves (called 'polarizations') that the merger is emitting into the direction of the camera. The modulations of the polarizations depend sensitively on the orientation of the orbital plane, and thus encode information about the orientation of the orbital plane and its change during the inspiral. Presently, LIGO can only measure one of the polarizations and therefore obtains only limited information about the orientation of the binary. This disadvantage will be remedied with the advent of additional gravitational wave detectors in Italy, Japan and India.

Finally, the slowed-down replay of the merger at the end of the movie makes it possible to observe the distortion of the newly formed remnant black hole, which decays quickly. Furthermore, the remnant black hole is "kicked" by the emitted gravitational waves, and moves upward. (Credit: A. Babul/H. Pfeiffer/CITA/SXS.) - See more at: http://ligo.org/detections/GW170104.php#sthash.NZPaW2LT.dpuf

2016年2月、LIGOが重力波を初めて検出した、と発表した



る 波 づけられるものだっ たと語った。 タの見方などを解説し 会では観測されたデ 「我々にとっても勇気

を務める。

られる。

る精度を目指す。

れること。

連星が合体して

瞬間を観測できると期待さ

げてすべてをのみ込むブラ

時間と空間をねじ曲

がある。

それには望遠鏡が

生した場所を割り出す必要

波を天文学に使うには、

(理論物理学)

四カ所必要だ。

を含めた世界

出さない

のプロジェクトでもデ 波望遠鏡「KAGRA」 飛驒市の大型低温重力 を慌てて書き換えたエ が締め切り間際の論文 会場は笑いに包ま

発表を 説明 科2年の和知慎吾さ も直接観測したこと になると分かり、 同大大学院理学研究 ブラックホ 「重力波だけで

研究室の学生 になった」と話してい 周囲の時空にゆがみが った物体が動いた時に

速でさざ波のように宇

連星からの重力波を捉え ば七億光年の範囲にある 重力波の大きな特徴はブ ッチできる計算だと 一年で十回ほどキ ルからも放出さ 実現すれ る強力な手段になる。 るのにも役立つと期待されや誕生直後の宇宙の姿を知 で届くので、 できなかった。 (理論物理学)は「重力大阪工業大の真貝寿明教 弱まらずに遠くま

大阪市立大大学院教

説明会を大阪市住吉区の同大杉本キ

研究者勇気で 大阪市大院·神田教授



真剣な表情で聴きる

狙い。学生ら約・

世界中の研究者が観測 一般相対性

理論」で存在を予言

物理学者のアグ

東京新聞 2016/2/12

重力波が検出された!

重力波が検出できた!

ブラックホールが存在した! ブラックホール連星が存在した! 相対性理論、正しかった!

毎日新聞 2016/2/13

重力波初観測 の 報道 に接

随筆以外にも、評論や歴史譚なども織り交ぜ、科学の視点に立ちな

2016年7月20日発売

窮理舍

第4号

2016

内容紹介

表紙画/戸田盛和

裏表紙画/細谷暁夫

○目次構成 私の古典探索ー窮理学師江漢/池内了 ガールフレンド/亀淵迪

物理系の科学者が中心の随筆雑誌。

「予想通りで驚いた」―重力波初観測の報道に接して/真貝寿明 中谷宇吉郎余話/杉山滋郎

音楽談話室(四)ーショパンの青年時代/井元信之

自然哲学復権の秋(とき)の到来/佐々木力 随筆遺産発掘(四)-綿菓子/平田森三(解説:細川光洋)

紙魚の塵(四)ー映画と政治と数学と/胡瓜庵散人

窮理の種(三)一水晶と心太/永橋禎子

(バニア州立大学客員が、スニア州立大学客員が、スニア州立大学客員が、現在、大阪工業大学特別研究員などを一般相対性理論。最一般相対性理論。最一般相対性理論。最一般相対性理論。最一般相対性理論。最高次元時空の特異一般相対性理論。最高次元時空の特異一般相対性理論。最高次元時空の特異一般相対性理論。最

2017年1月センター試験

「科学コミュニケーション」

の都合で本文の段落に [1]~[13]の番号を付してある。 次の文章は、二〇〇二年に刊行された科学論の一節である。これを読んで、 また、表記を一部改めている。 (配点 なお、 設問

(2601-4)

|1| 現代社会は科学技術に依存した社会である。近代科学の成立期とされる十六世紀、十七世紀においては、そもそ へと変容し始める。既存の知識の改訂と拡大のみを生業とする集団を社会に組み込むことになったのである。さらに二十世紀 いう名称で認知されるような知的活動は存在せず、伝統的な自然哲学の一環としての、一部の好事家による楽しみの側面が強 し始める。二度にわたる世界大戦が科学 国民国家の競争の時代になると、科学は技術的な威力と結びつくことによって、この競争の重要な戦力としての力を 九世紀になると、科学研究は「科学者」という職業的専門家によって各種高等教育機関で営まれる知識生産 も「科学」と

投資を要求するまでになってきているのである。 イゾウするという速度で膨張してきており、二十世紀後半の科学技術の存在はGNPのニパー以後、科学技術という営みの存在は膨張を続ける。プライスによれば、科学技術という営みは度にわたる世界大戦が科学-技術の社会における位置づけを決定的にしていったのである。 現代の科学技術は、 かつてのような思弁的、 ・セント強の 十七世紀以 く自然哲学

3] 十九世紀から二十世紀前半にかけては科学という営みの規模は小さく、 威を制御できるようになってきたが、同時に、科学 介入し、操作する能力の開発に重点が移動している。その結果、永らく人類を脅かし苦しめてきた病や災害といっ 営みの比重が下がり、実験室の中に天然では生じない条件を作り出し、そのもとでさまざまな人工物を作り出すなど、 社会の諸問題を解決する能力を持っていた。「もっと科学を」というスローガンが説得力を持ち得た所以である。しか]十九世紀から二十世紀前半にかけては科学という営みの規模は小さく、にもかかわらず技術と結びつき始めた科学 技術は両面価値的存在になり始める。現代の科学-技術では、自然の仕組みを解明し、宇宙を説明するという 技術が恐るべき速度で生み出す新知識が、 知識が、われわれの日々の生活に商品や製品として放出されてくる。い技術の作り出した人工物が人類にさまざまな災いをもたらし始めてもい しかし二十世 た自然の脅 自然に

いうスロー

5] このような状況に一石を投じたのが科学社会学者のコリンズとピンチの『ゴレム』である。ゴレムとはユダヤの神話に登場す実や、科学啓蒙プログラムの展開という発想しか生まれないのである。 |4|| しかし、科学者は依然として「もっと科学を」という発想になじんでおり、このような「科学が問題ではないか」という問いか 科学に対する無知や誤解から生まれた情緒的反発とみなしがちである。ここからは、素人の一般市民への科学教育の充

ば主人を破壊する威力を持っている。コリンズとピンチは、現代では、 に悪なる存在というイメ・ から振りまかれ、他方、チェルノブイリ事故や狂牛病に象徴されるような事件によって科学への幻滅が生じ、(注6)(注5)(注6))のなり、全面的に善なる存在というイし、それが必ずしも実現しないことが幻滅を生み出したからだという。つまり、全面的に善なる存在というイ のどちらかのイメージに引き裂かれているという。そして、このような分裂したイメージを生んだ理由は、科学が実在と直結 る怪物である。人間が水と土から創り出した怪物で、魔術的力を備え、日々その力を増加させつつ成長する。人間の命令に従 した無謬の知識という神のイメージで捉えられてきており、科学が自らを実態以上に美化することによって過 人間の代わりに仕事をし、 -ジに変わったというのである。 外敵から守ってくれる。しかしこの怪物は不器用で危険な存在でもあり、適切に制御しなけれ 科学が、全面的に善なる存在か全面的に悪なる存在か つまり、全面的に善なる存在というイメージが科学者 して全面的 大な約束を

ウィインが絡んで生じていることを明らかにしたのである。 コリンズとピンチの処方箋は、科学者が振り ーを提示し、 科学上の論争の終結がおよそ科学哲学者が想定するような論理的、 科学史から七つの具体的な実験をめぐる論争を取り上げ、 つまりてゴ ジ」を科学の実態に かえることを主 さまざまなヨ ·スス

に実験装置を

(2601-5)

ごリヤクがある

即した「不確実で失敗しがちな向こう見ずでへまをする巨人の

コリンズとピンチの処方箋は、科学者が振りまいた当初の「実在と直結した無謬の知識という神のイ

・ジ」を科学の実態に

かえることを主

に悪なる存在というイメージに変わったというのである。

、他方、チェルノブイリ事故や狂牛病に象徴されるよう、他方、チェルノブイリ事故や狂牛病に象徴されるようしも実現しないことが幻滅を生み出したからだという。

病に象徴されるような事件によって科学への幻滅が生じ、

して全面的

ジが科学者

実在と直結

科学が自らを実態以上に美化することによって過大な約束を

のどちらかのイメージに引き裂かれているという。

実験装置を

力波が存在するということが明らかになれば、この追試実験の結果によって彼は自らの実験能力の低さを公表す 存在しないという主張をすることになる。 問題を抱え込むのである。否定的な結果を発表することは、 の結果を否定するようなデータを手に入れた科学者は、 実験はどのような役割を果たしていたか ウェーバー バーの実験が誤りです~、それを発表するかいなかという選択の際にられるがいなかという選択の際にられる。 このような大きな値 実験から、 ヤッカイな 検出した重 めぐって論 ることにな の重力波は

ンエコクされる。 家の悪循環」と呼んでいる。 功といえるかがわからないのである。 る結果なのかを、 しかし、その装置を使って適切な結果を手に入れなければ、 前もって知ることはできない。重力波が存在するかどうかを知るために、 しかし現実の科学では必ずしもそうはことが進まない。 実験をする前におおよそどのような結果になるかがわかっており、 重力波が存在するかどうかであり、 重力波が検出されれば、 実験は成功なのか、 装置が優れたものであったかどうかはわか 重力波の場合、 コリンズとピンチはこのような循環を「実験 それとも重力波が検出されなけ どのような結果になれ れば、実験 らない。 らなければ 成功といえ は実験は成 の失敗がセ

9 重力波の論争に関しては、このような悪循環が生じ、 力波の存在は明確に否定されたのであった。 有力科学者の否定的発言をきっかけにして、 その存在を完全に否定する実験的研究は不可能であるにもかかわらず 非存在の方向で収束したということである。 つまり、 論理的には重力波の存在もしくは非存在を実験によっ 科学者の意見が雪崩を打って否定論に傾

民主主義国家の一

一六年にアインシュタインがその存在を予 していた。

重力波の存在は明確に否定された による検出の事実は証明されなかったが、 二〇一六年、 アメリカの研究チ

2

ツウヤクの資格を取得する キになって反対する

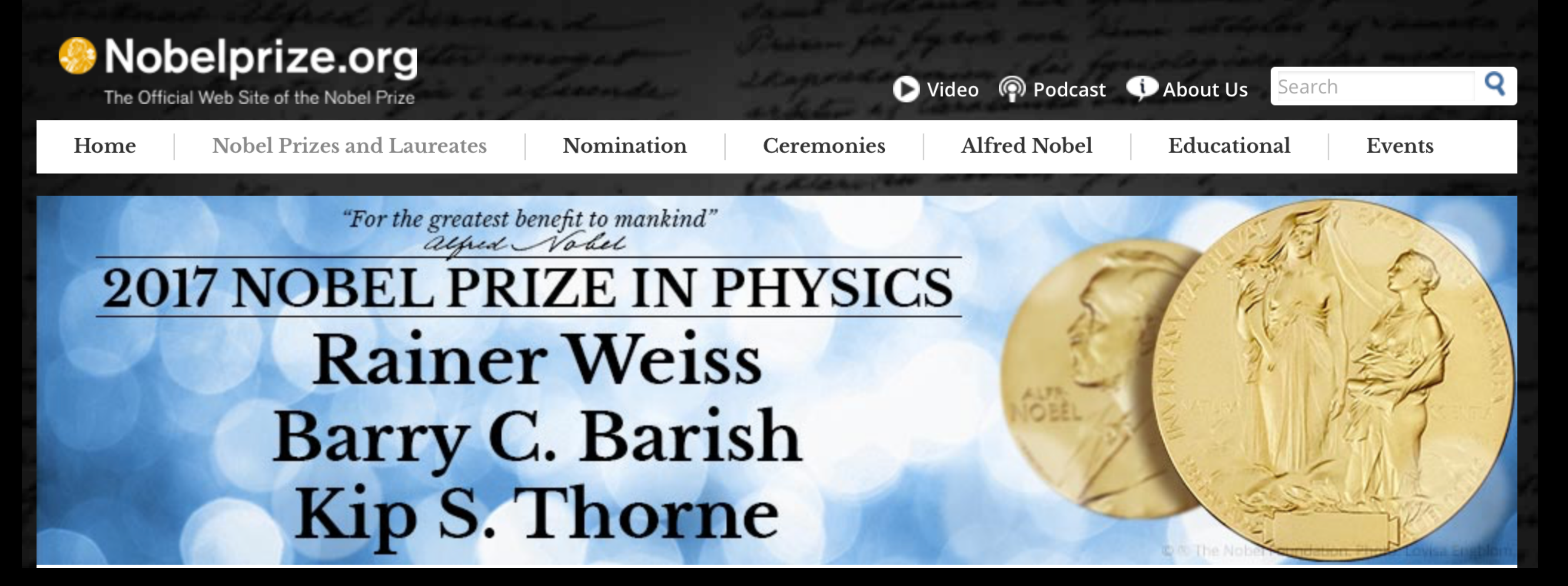
3 4

上級裁判所へのジョウコク

2 コクメイな描写

コクビャクのつけにく い議論

コクソウ地帯



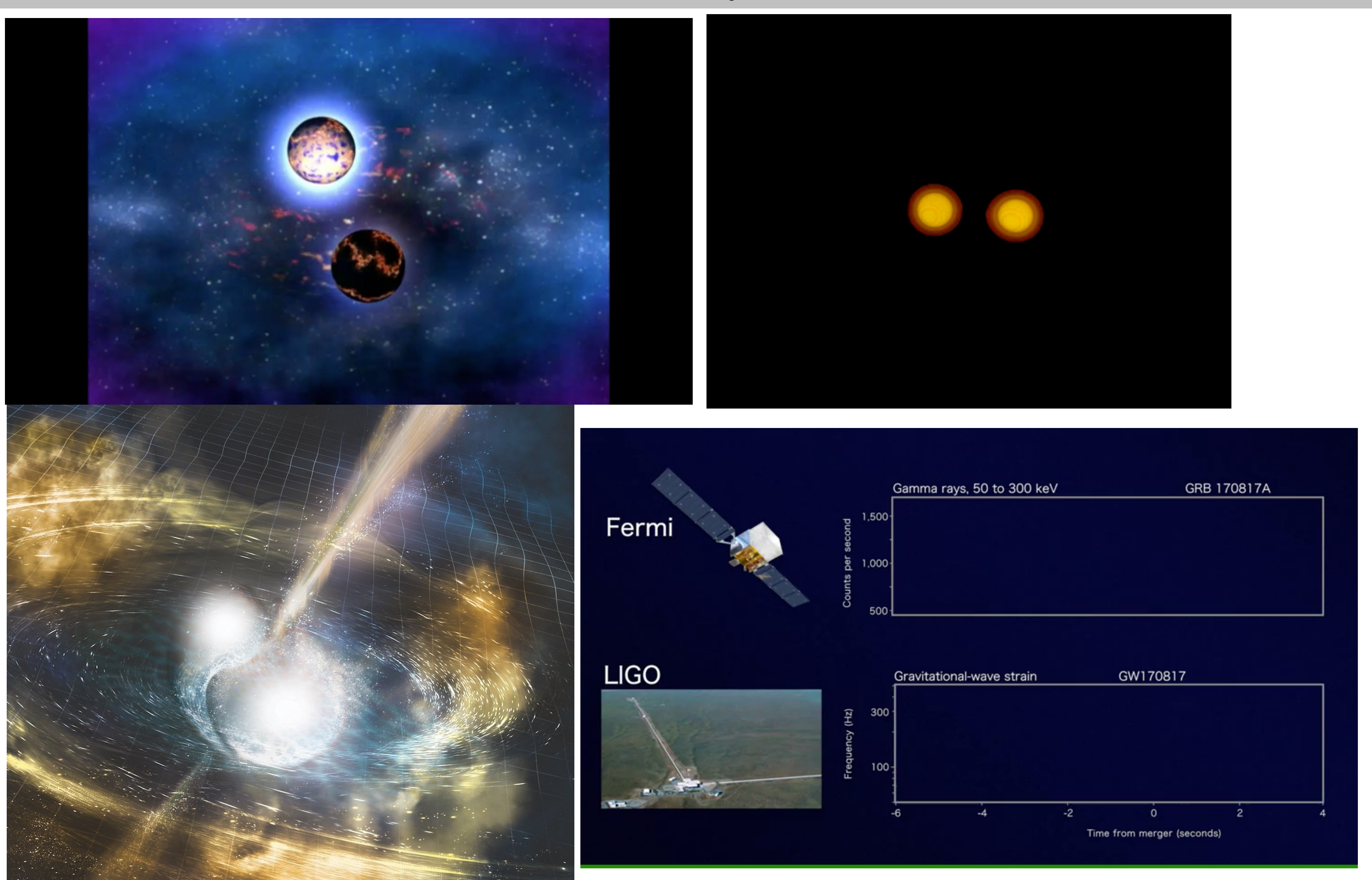


ライナー・ワイス(85) バリー・バリッシュ(77) キップ・ソーン(77)

"for decisive contributions to the LIGO detector and the observation of gravitational waves"

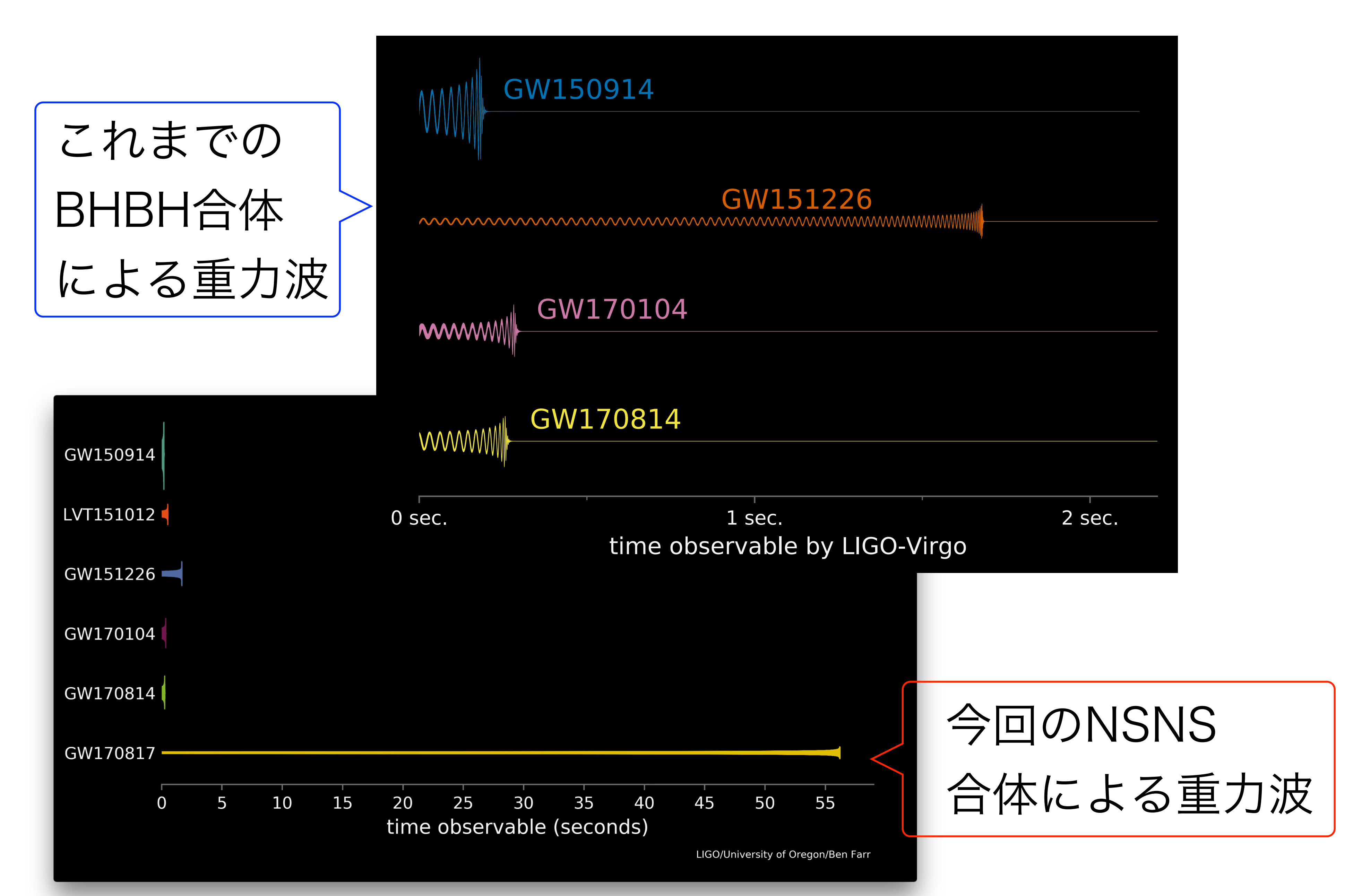
LIGO検出器への決定的な貢献と重力波の観測に対して

連星中性子星合体重力波検出,多くの天文台が同時観測

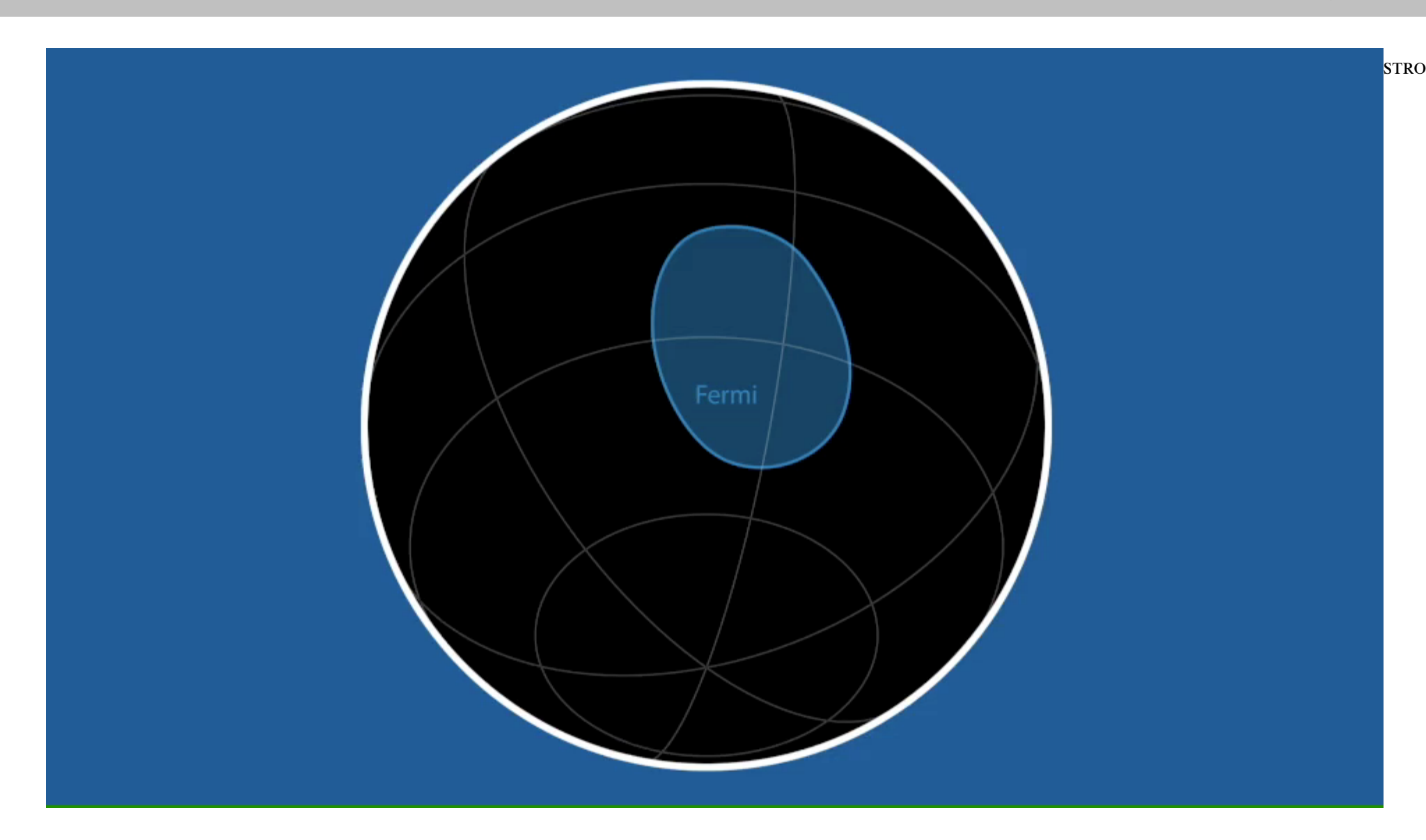


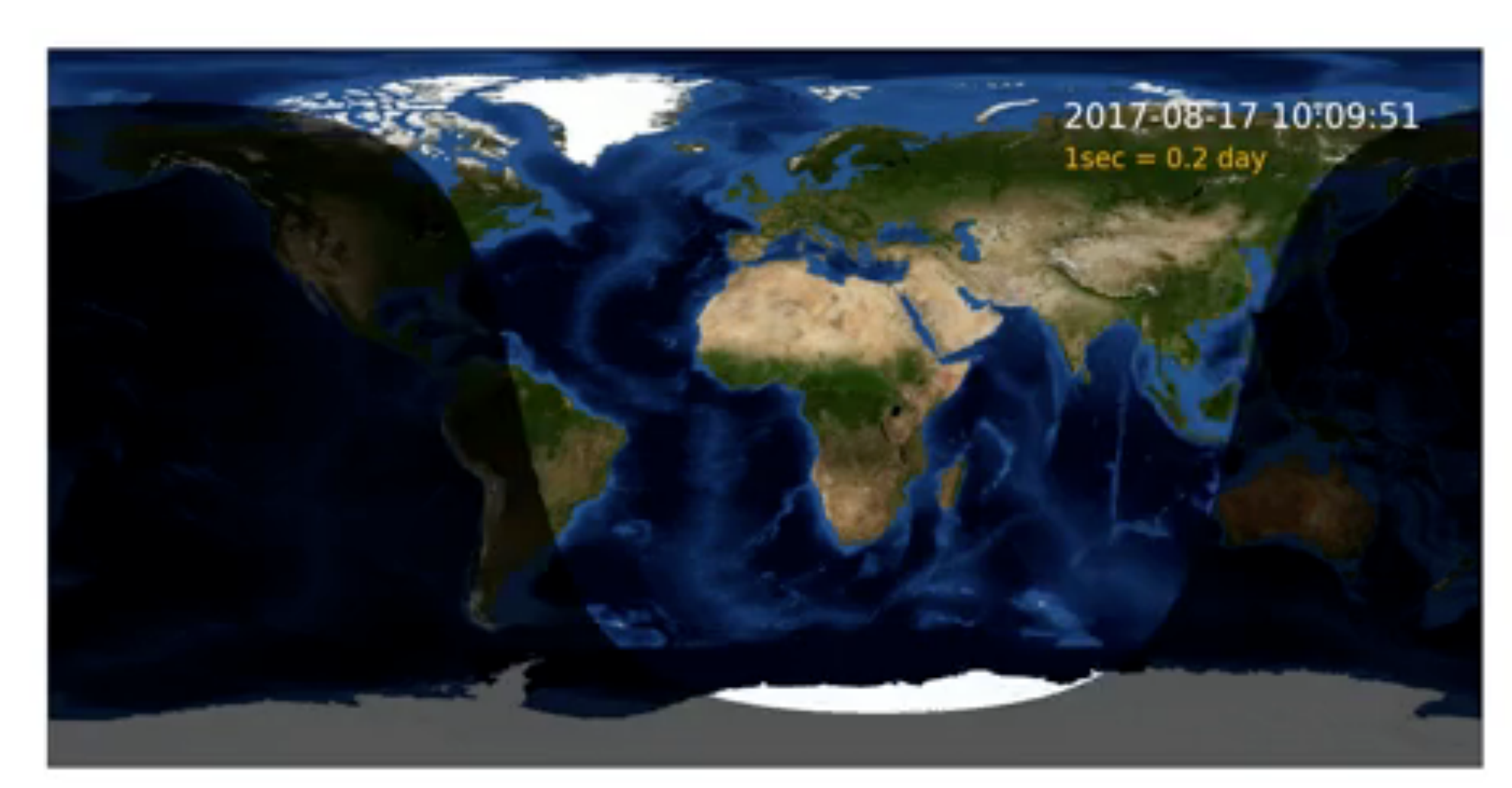
連星中性子星合体重力波検出,多くの天文台が同時観測

GW170817 2017/10/16



連星中性子星合体重力波検出,多くの天文台が同時観測





波源はNGC4993 (40Mpc先)!

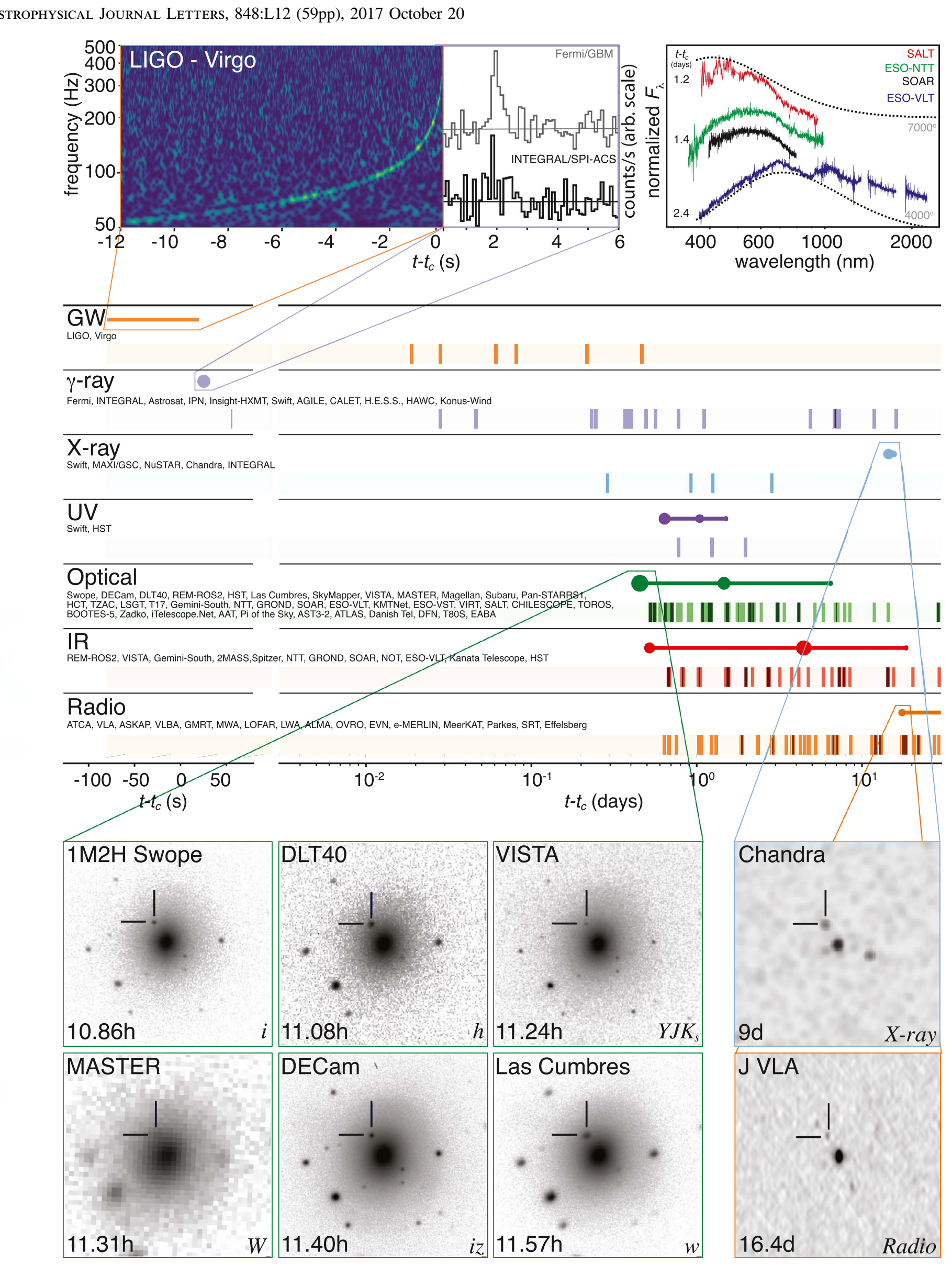
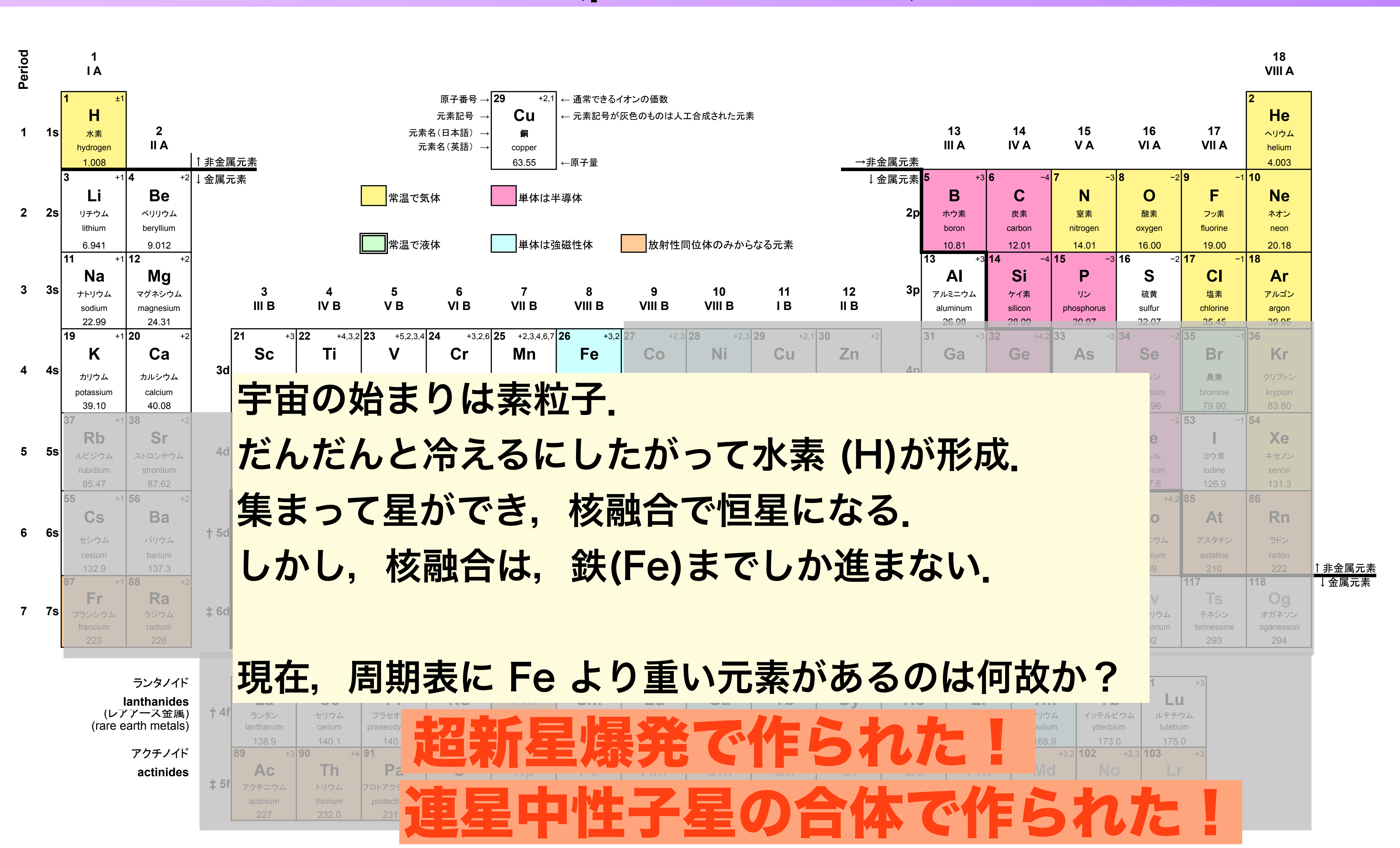


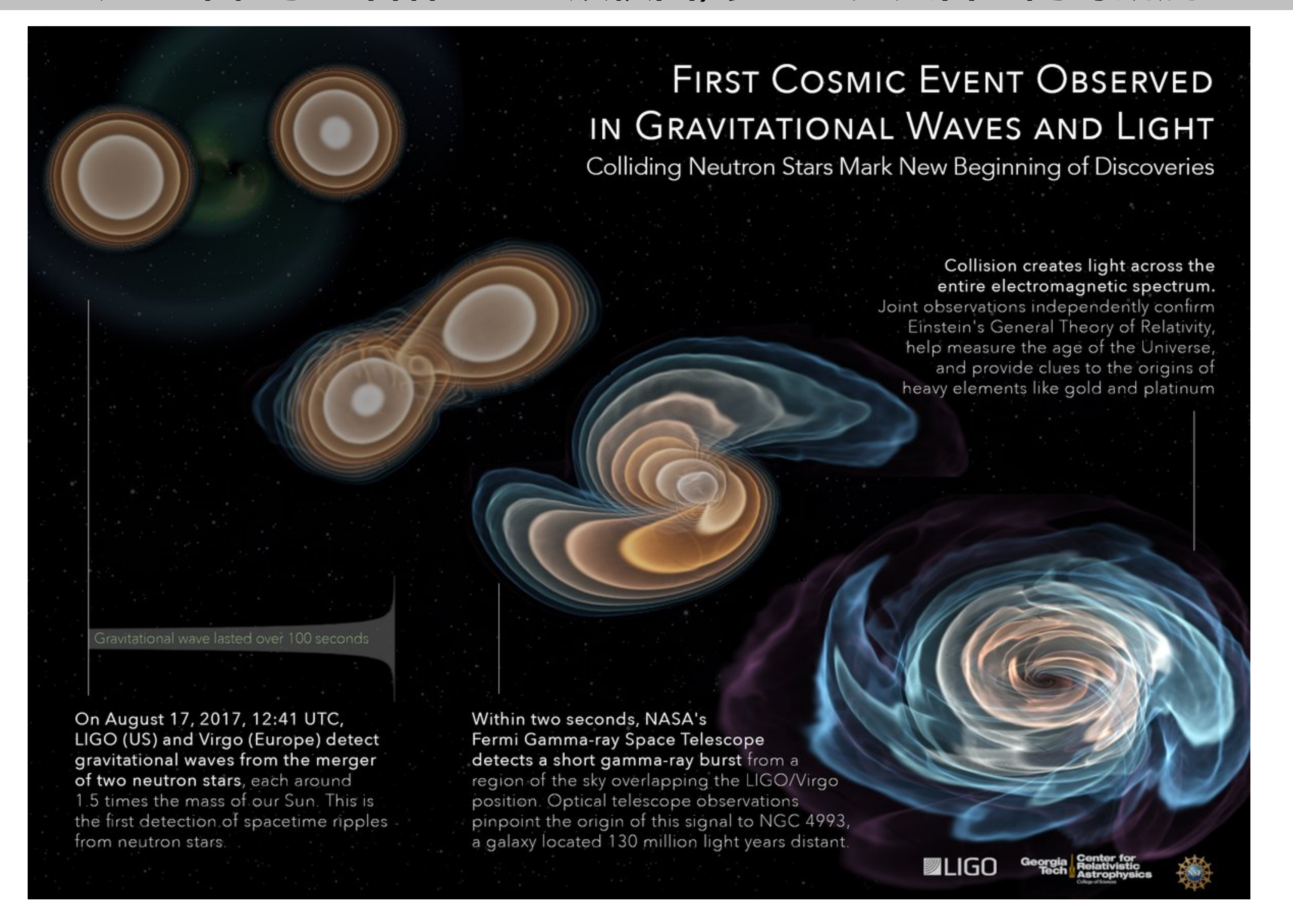
Figure 2. Timeline of the discovery of GW170817, GRB 170817A, SSS17a/AT 2017gfo, and the follow-up observations are shown by messenger and wavelength relative to the time t_c of the gravitational-wave event. Two types of information are shown for each band/messenger. First, the shaded dashes represent the times when information was reported in a GCN Circular. The names of the relevant instruments, facilities, or observing teams are collected at the beginning of the row. Second,

Abbott et al.

周期表 (periodic table)

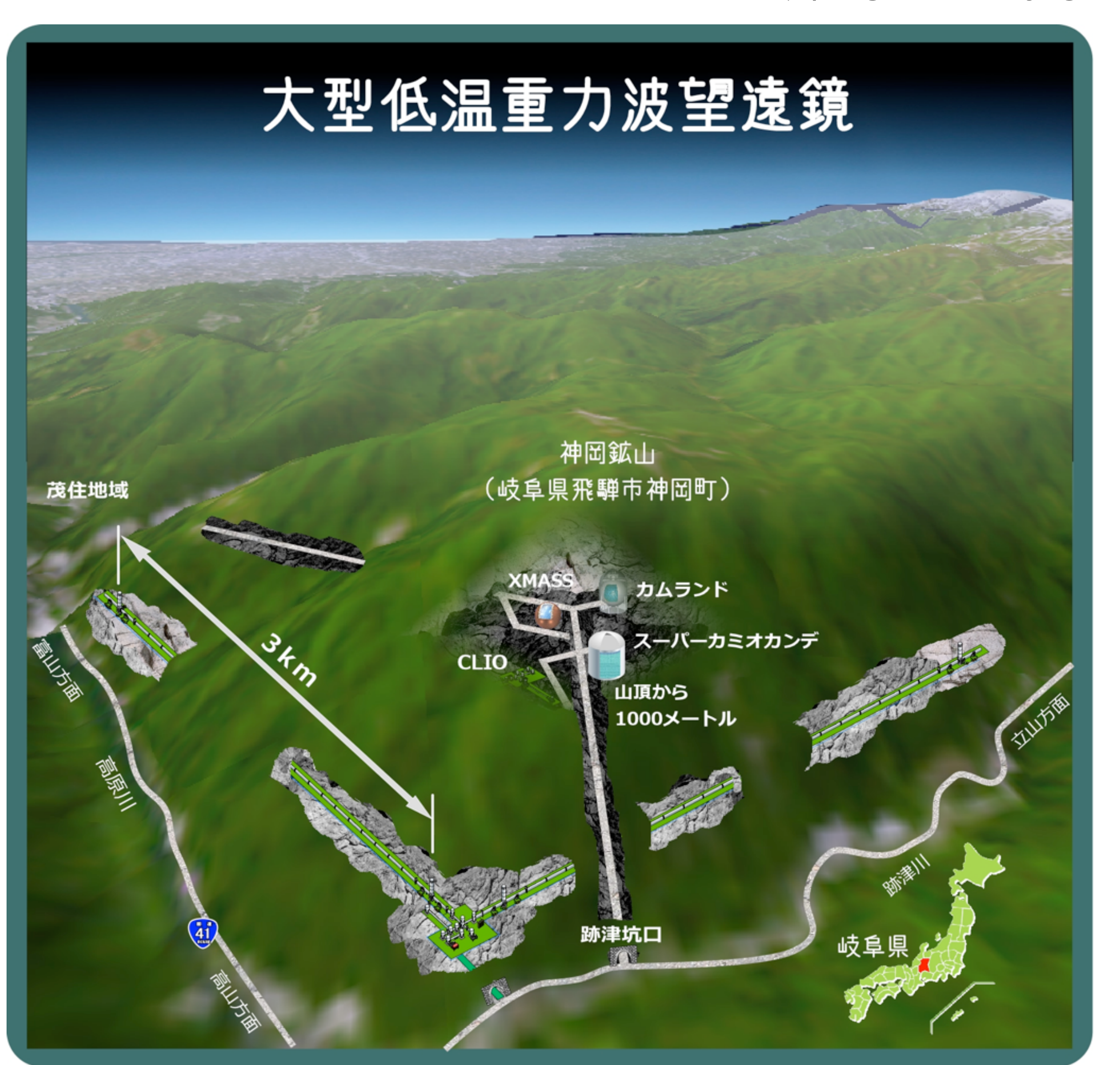


連星中性子星合体重力波検出,多くの天文台が同時観測



KAGRA(かぐら:大型低温重力波望遠鏡)

Kamioka Gravitational wave detector, (Large-scale Cryogenic Gravitational wave Telescope)



望遠鏡の大きさ:基線長 3km

望遠鏡を神岡鉱山内に建設 地面振動が小さい岐阜県飛騨市にあ る神岡鉱山

<u>鏡をマイナス250度(20K)まで冷</u> <u>却</u>

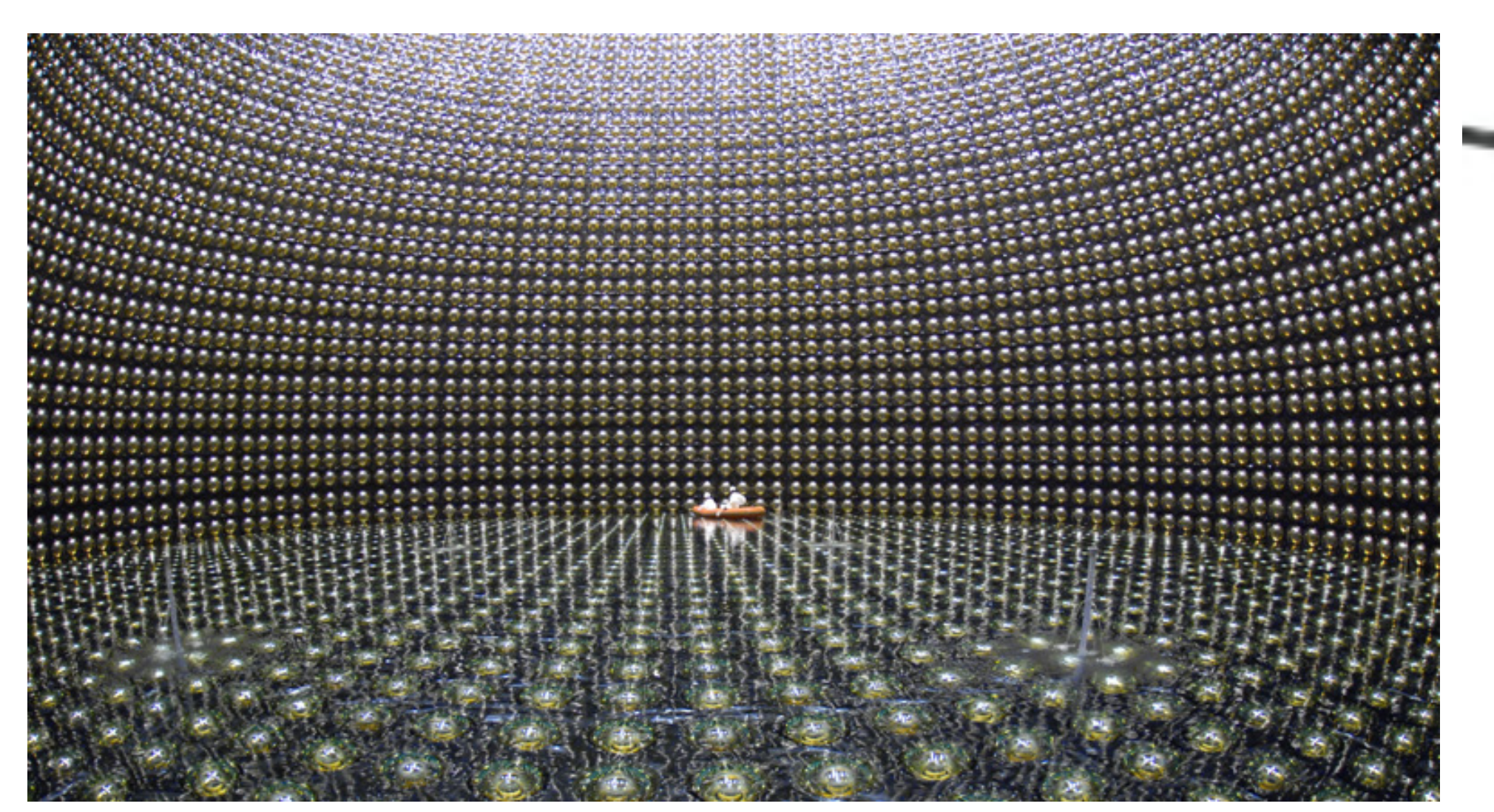
熱雑音を小さくするため

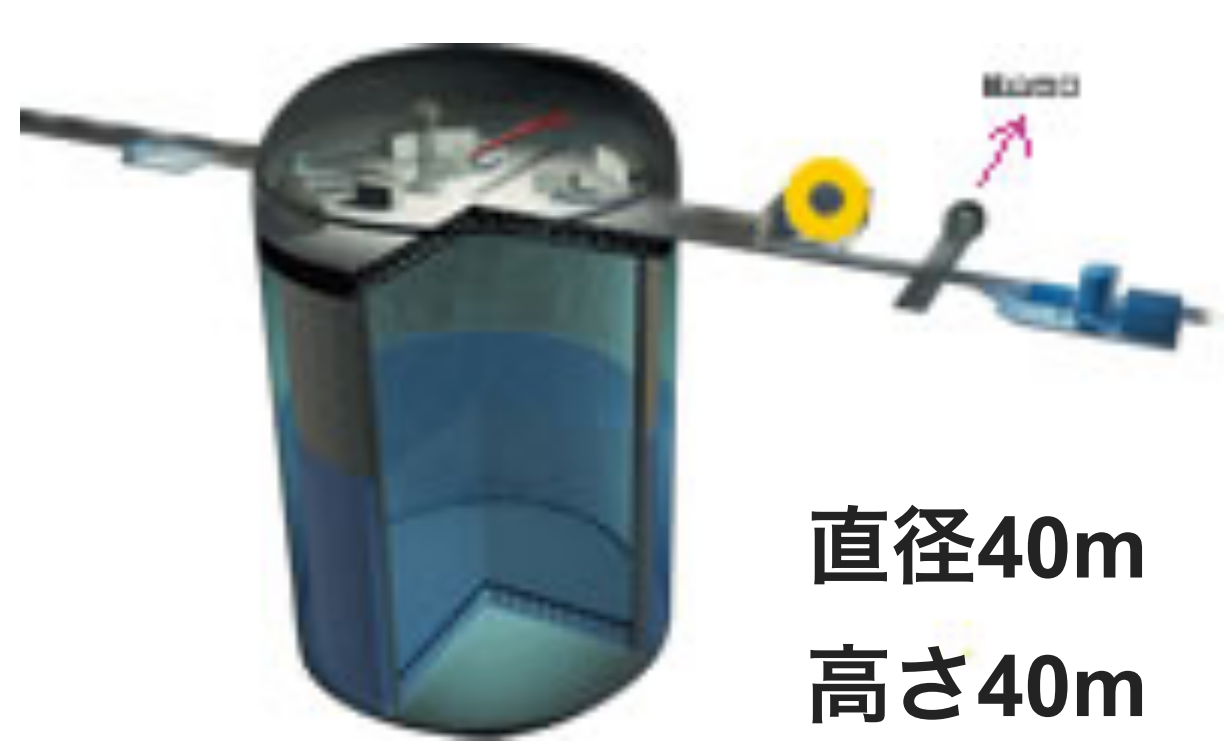
鏡の材質としてサファイア 光学特性に優れ、低温に冷却すると 熱伝導や機械的損失が少なくなる

スーパー・カミオカンデ (ニュートリノ観測装置)

Super-Kamiokande

http://www-sk.icrr.u-tokyo.ac.jp/sk/





岐阜県・神岡の鉱山跡の空洞に巨大な水槽をつくり, 宇宙から飛来するニュートリノを観測する.



ノーベル物理学賞を受賞

小柴昌俊 (2002年)

梶田隆章 (2015年)



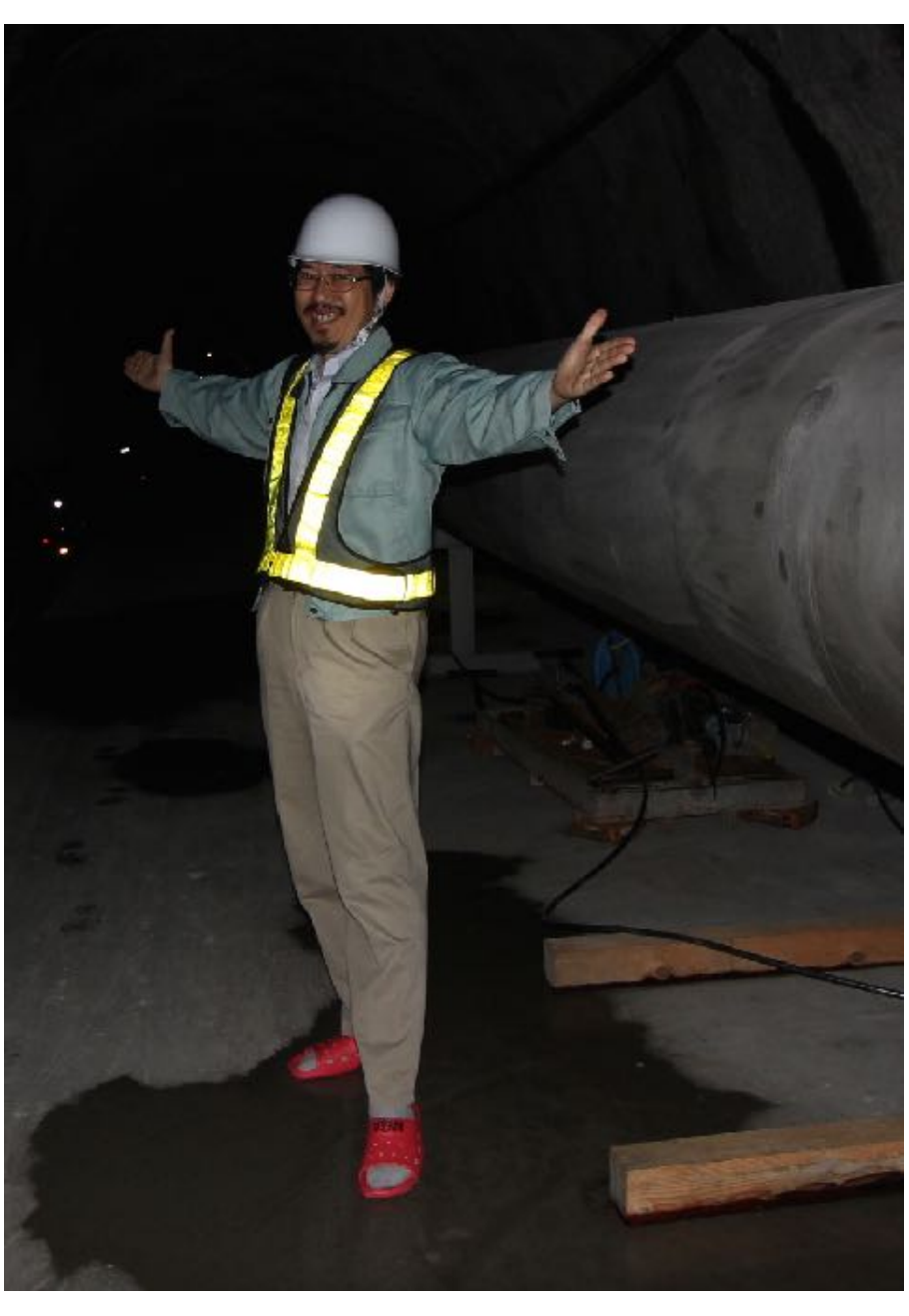


KAGRA(かぐら:大型低温重力波望遠鏡)



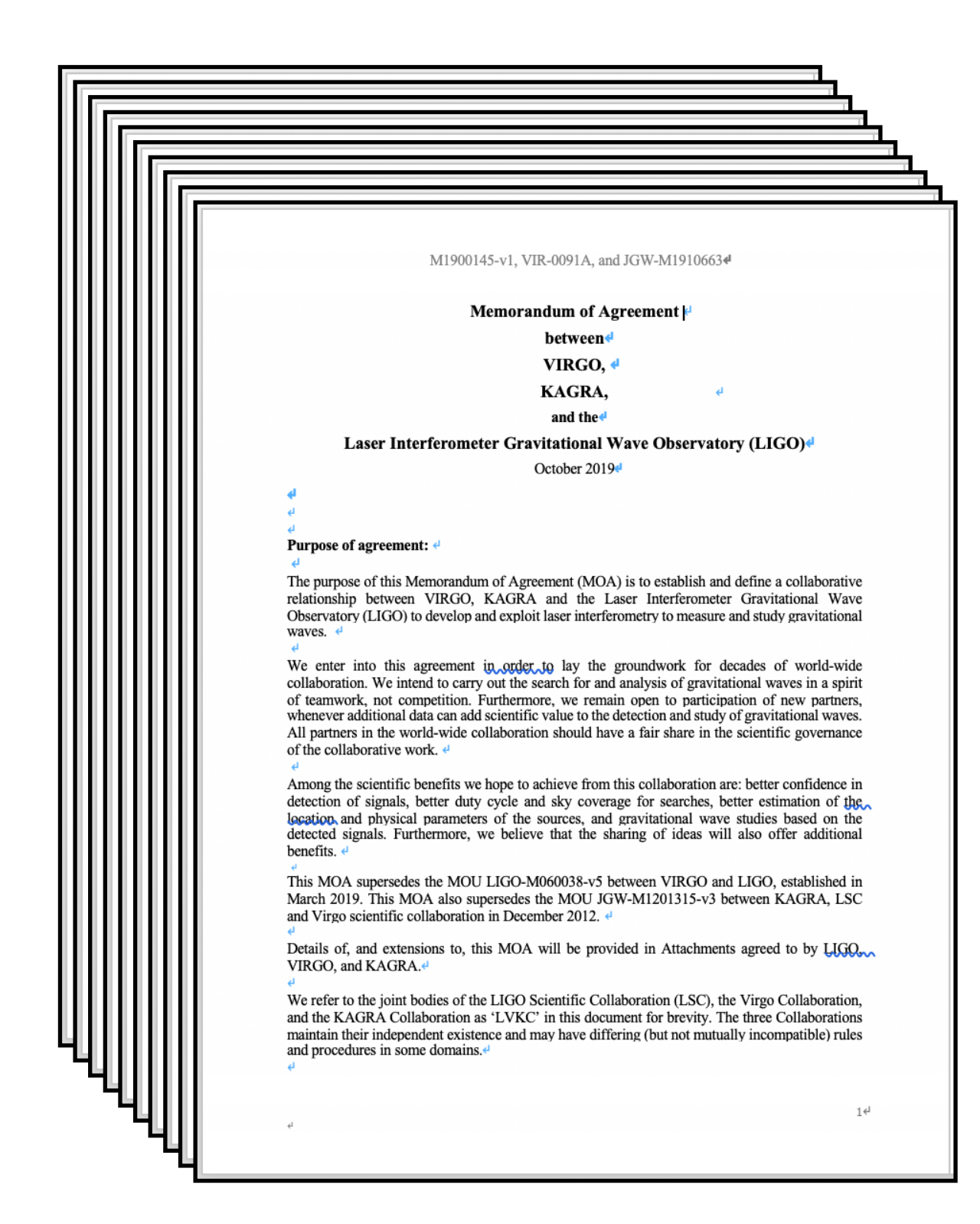








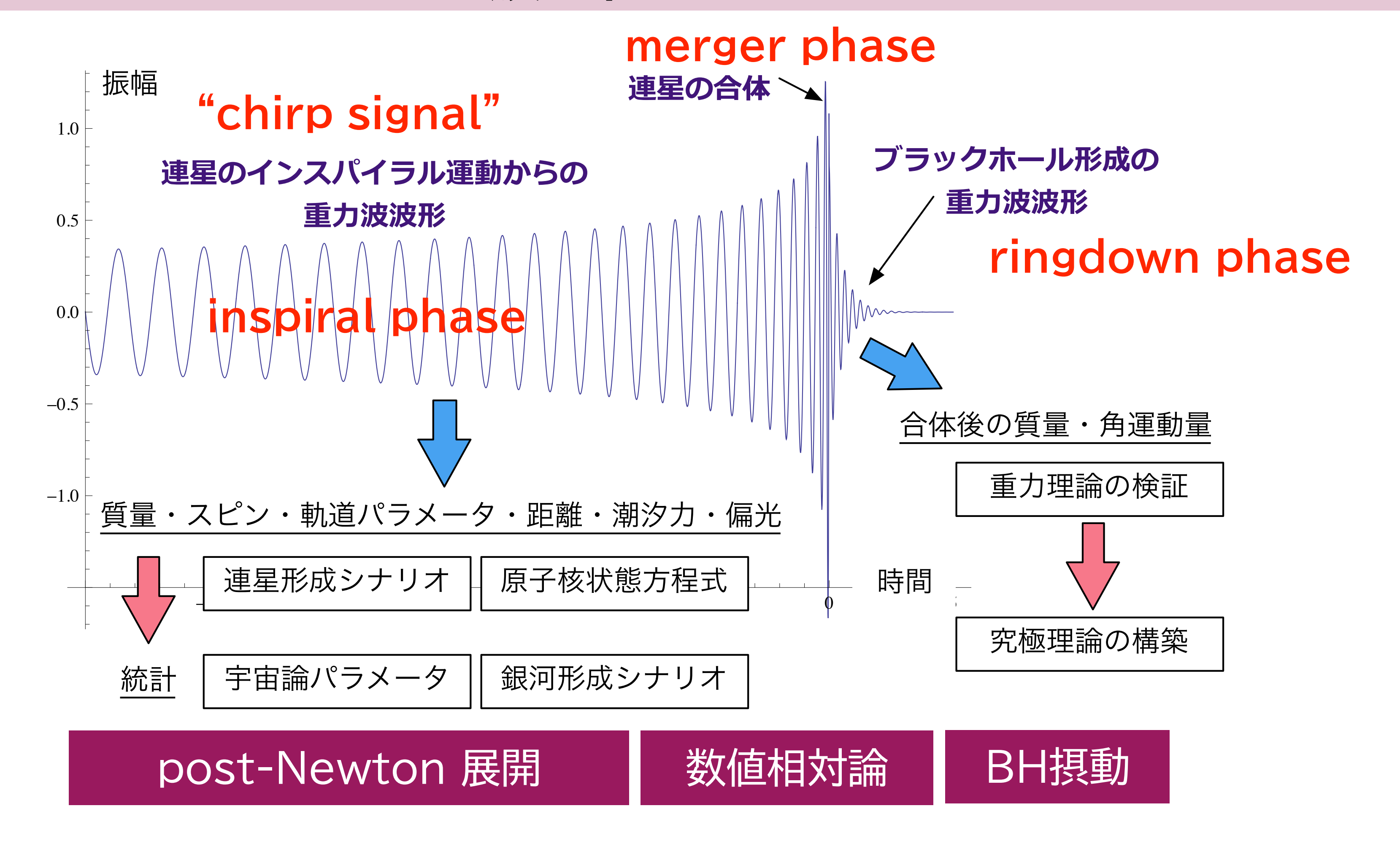
KAGRA(かぐら:大型低温重力波望遠鏡)





2019年10月、アメリカ・ヨーロッパとの研究協定に調印

重力波で何がわかる?



- \bigstar ノイズにまみれた観測データに,予想される波形を掛け合わせて,重力波の検出を行う(matched-filtering法)
- ★ 数値シミュレーションを用いたテンプレートづくり+パラメータで補間した波形モデル
- ★ 連星BHのパラメータ

$$(m_1, m_2, \mathbf{s}_1, \mathbf{s}_2, \iota, \mathbf{n}, t_c, \varphi_c, \psi, r)$$

質量,スピン,軌道傾斜角,合体時刻,位相,偏角,距離

重力波で何がわかる?

対応する天体の姿



天体物理学

ブラックホールの存在する強い重力場



一般相対性理論の検証

中性子星連星合体のふるまい



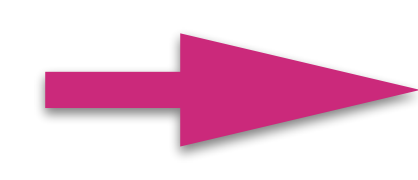
原子核の状態方程式

イベント頻度・統計



星形成モデル・銀河中心ブラックホール 宇宙論パラメータ

背景重力波の存在



星形成モデル・宇宙初期モデル

重力波で何がわかる?

とんでもないこと



世の中, 実は5次元...とか



アブレーンワールド型タイムマシン1

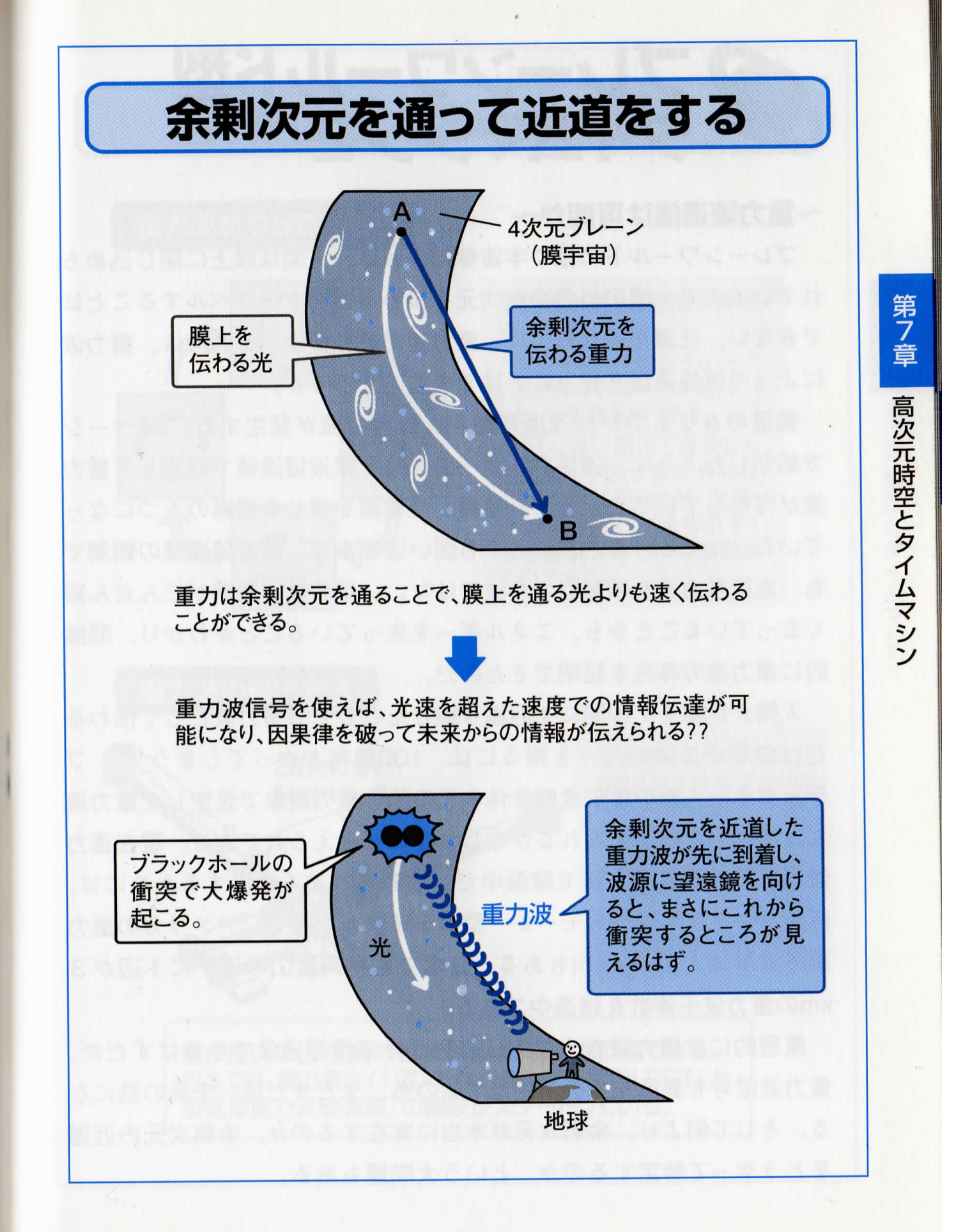
~膜宇宙に生じる近道~

ブレーンワールド(膜宇宙)モデルによれば、我々の住む 4 次元空間は高次元の中を漂う膜のようなものである。重力だけが高次元の中を伝わり、他の力や物質は膜に閉じ込められている。膜の上にいるものは、膜以外の世界を知る由もない。地球の表面に住むだけでは地球の丸みを感じることができないように、我々も 4 次元空間に閉じ込められているのである。

ランドールとサンドラムによって提案されたモデルのように、4次元の膜は平らである必要はなく、膜上にブラックホールなどの強い重力源があれば、膜自身が曲がっていると考えるのが自然だろう。

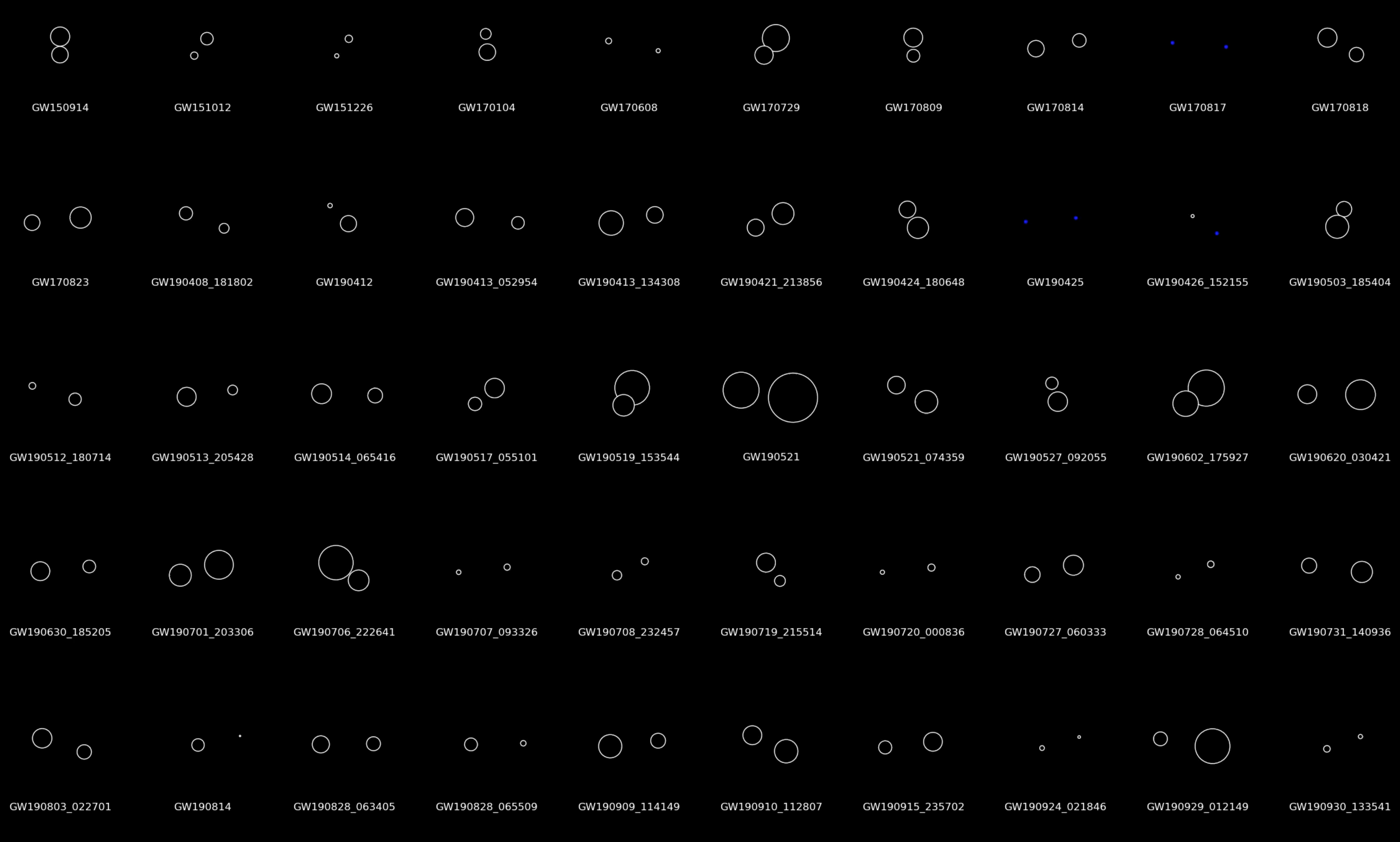
このような宇宙を考えると、膜が曲がっている場合、重力の伝わる 最短経路は膜の上である必要はない。重力は余剰次元を伝播できるから、場合によっては膜を伝わる重力よりも速く2点間を結んで伝わる ことが可能になる。つまり、膜上のA点から重力が重力波として伝わり始めると、膜上のB点には、本来AB間の距離を光速で伝わって届く重力波よりも一足速く余剰次元を通った重力波が伝わることも可能になる。膜宇宙に生じる近道だ。星の爆発を望遠鏡で見るよりも、重力波信号の方が早く伝わることになりうる。

このような近道があるならば、ビッグバン宇宙モデルの問題点の 1 つだった「地平線問題」(112ページ)が解決できる可能性が指摘されている †24。また、石原秀樹は、近道を通った重力波信号によって、本来の因果関係を破って、未来からの情報が伝えられるかもしれないことも指摘している †25。



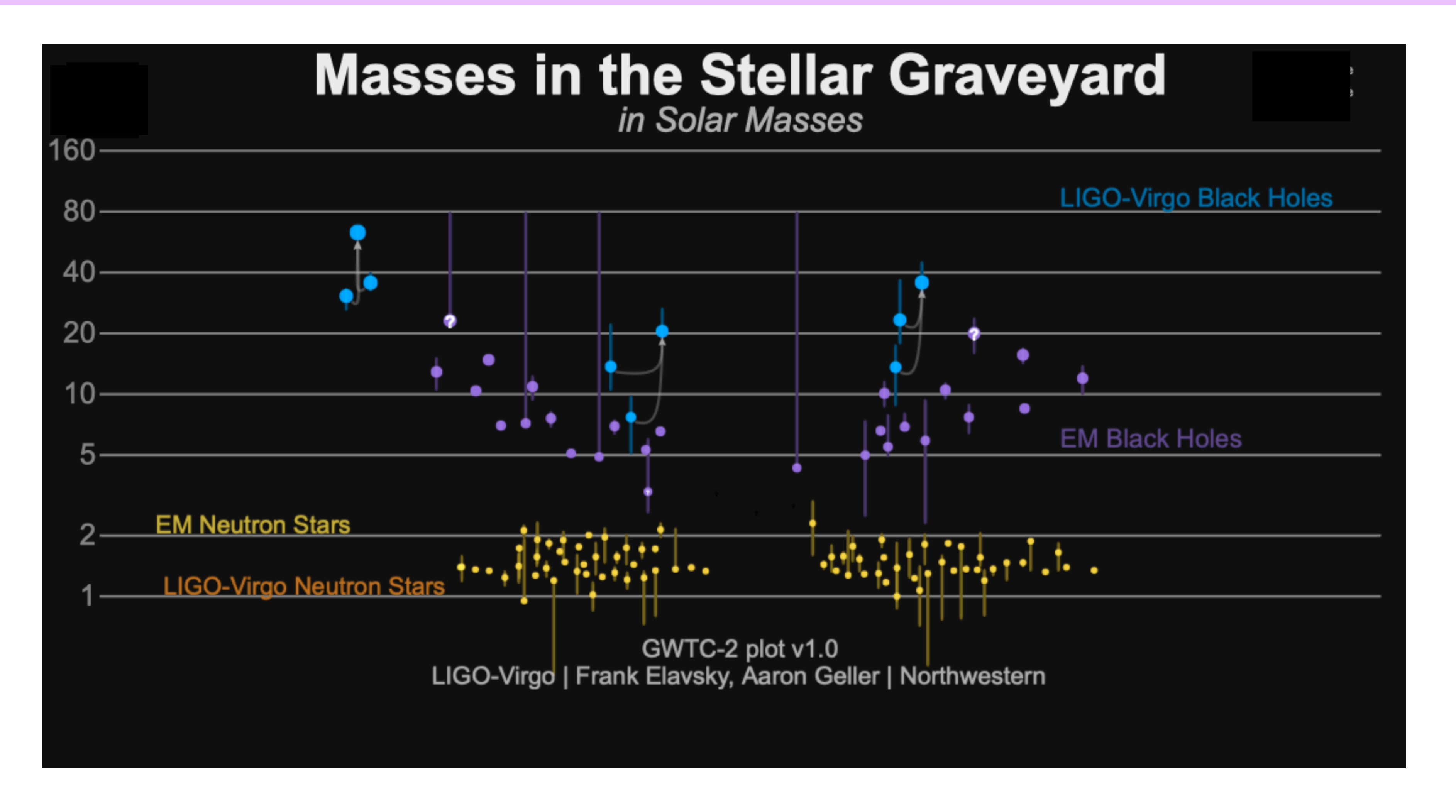
207

2021年11月 重力波力タログ3 発表



Zoheyr Doctor / CIERA / LIGO-Virgo Collaboration

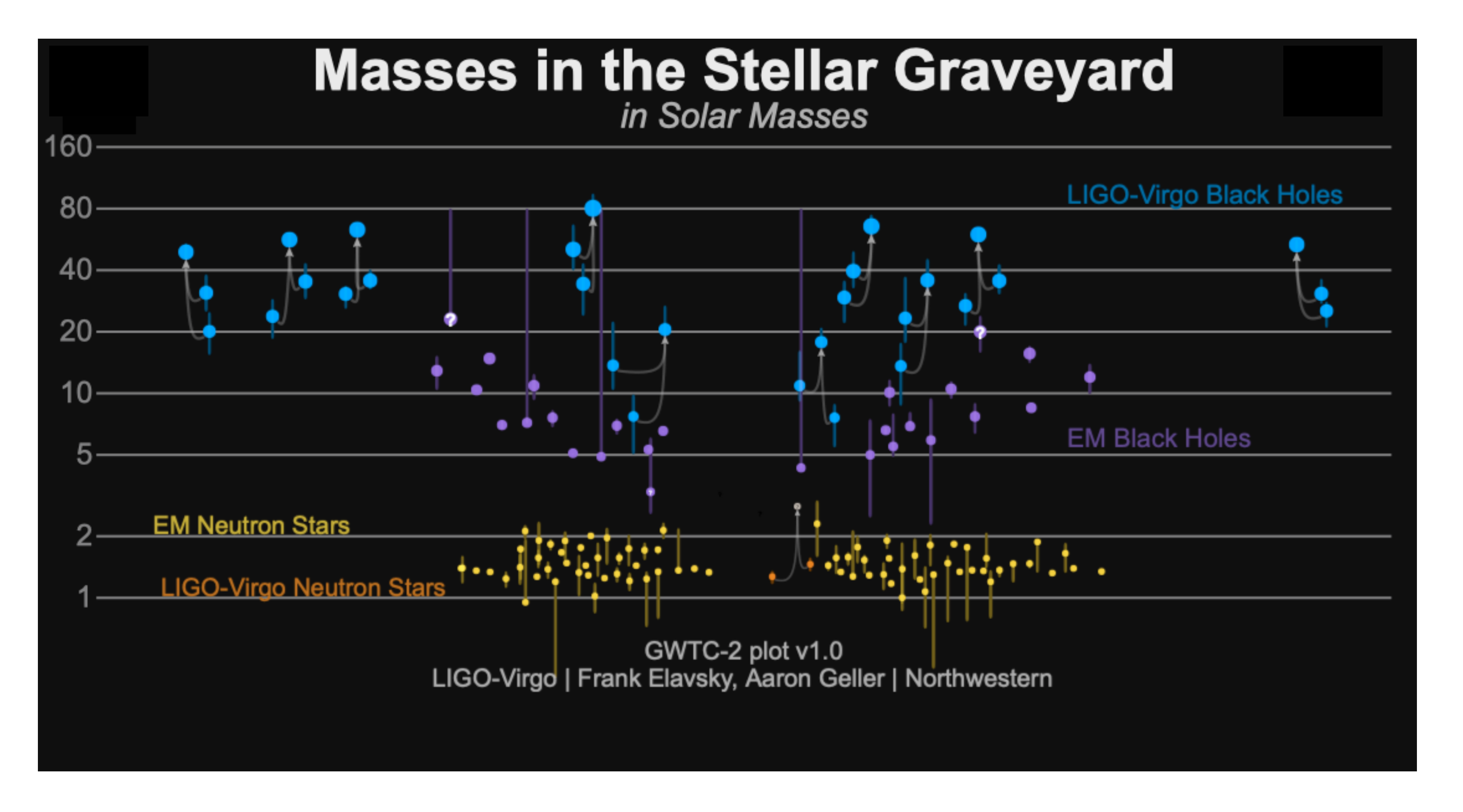
01 (2015/9/12 - 2016/1/19)



3 BHBH

GW150914: the first ever detection of gravitational waves from the merger of two black holes more than a billion light years away

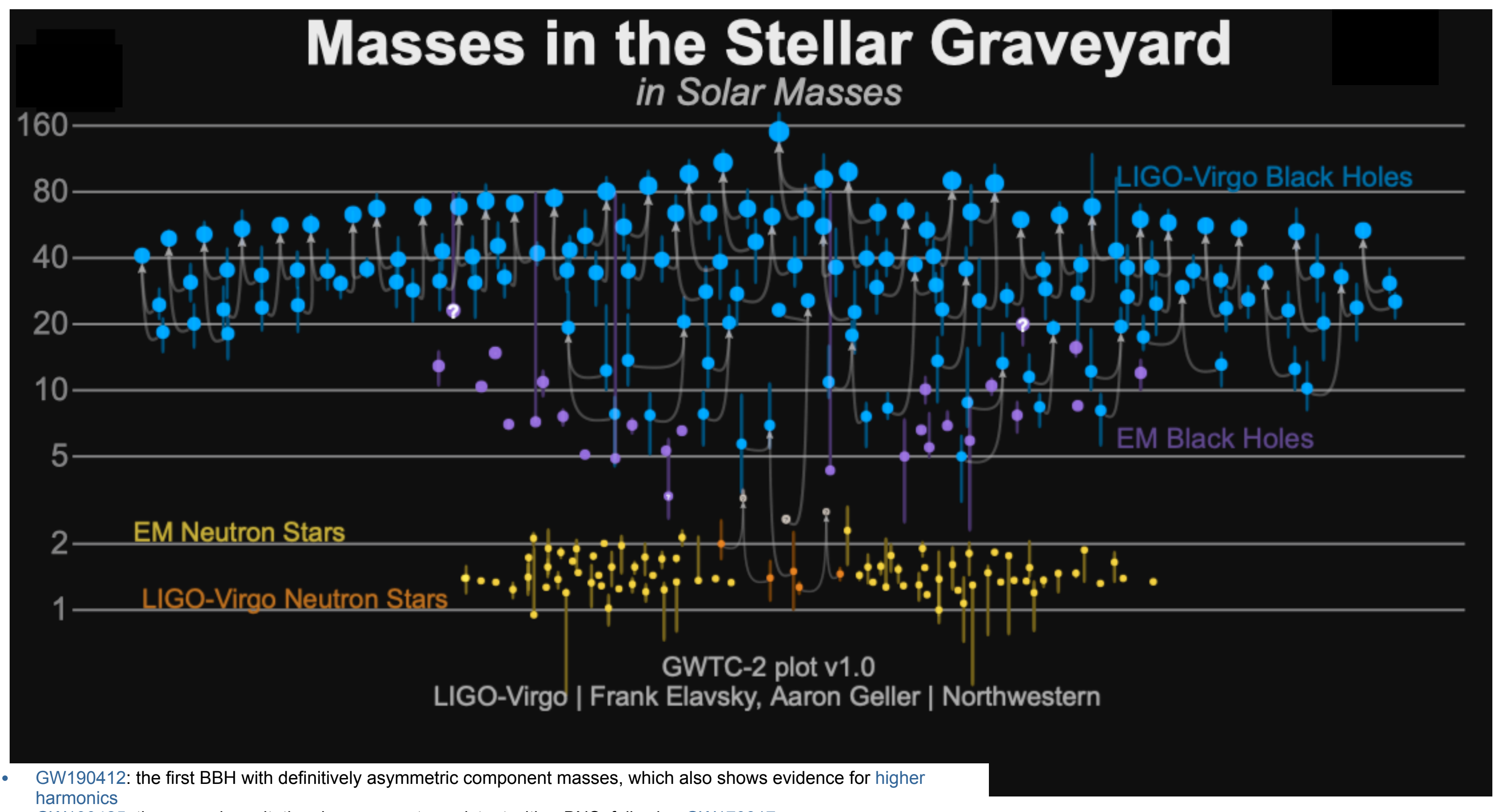
https://media.ligo.northwestern.edu/gallery/mass-plot



- GW170814: the first GW signal measured by the three-detector network, also from a binary black hole (BBH) merger;
- GW170817: the first GW signal measured from a binary neutron star (BNS) merger and also the first event observed in light, by dozens of telescopes across the entire electromagnetic spectrum.

10 BHBH 1 NSNS

https://media.ligo.northwestern.edu/gallery/mass-plot

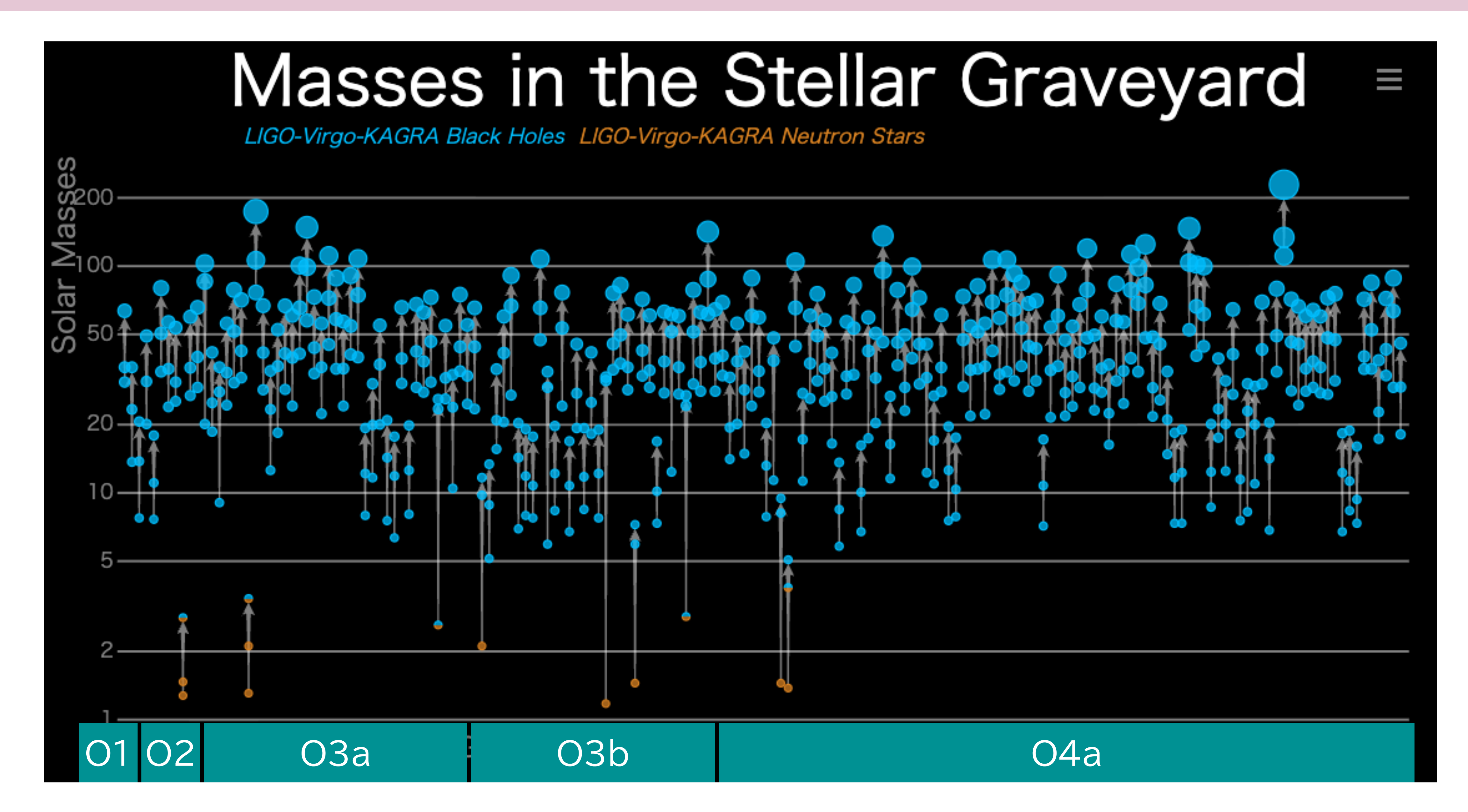


- GW190425: the second gravitational-wave event consistent with a BNS, following GW170817
- GW190426_152155: a low-mass event consistent with either an NSBH or BBH
- GW190514_065416: a BBH with the smallest effective aligned spin of all O3a events
- GW190517_055101: a BBH with the largest effective aligned spin of all O3a events
- GW190521: a BBH with total mass over 150 times the mass of the Sun
- GW190814: a highly asymmetric system of ambiguous nature, corresponding to the merger of a 23 solar mass black hole with a 2.6 solar mass compact object, making the latter either the lightest black hole or heaviest neutron star observed in a compact binary
- GW190924_021846: likely the lowest-mass BBH, with both black holes exceeding 3 solar masses

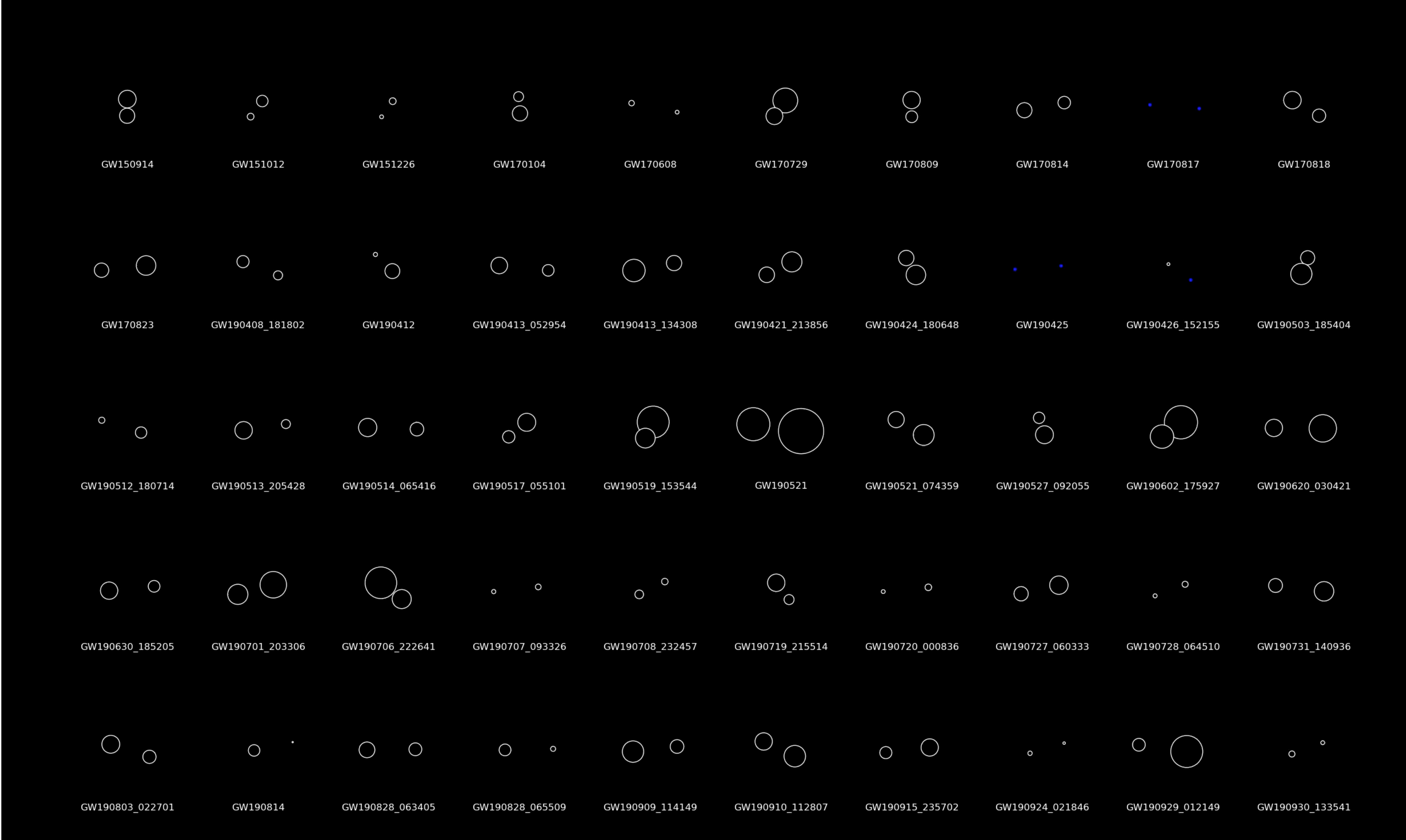
46 BHBH

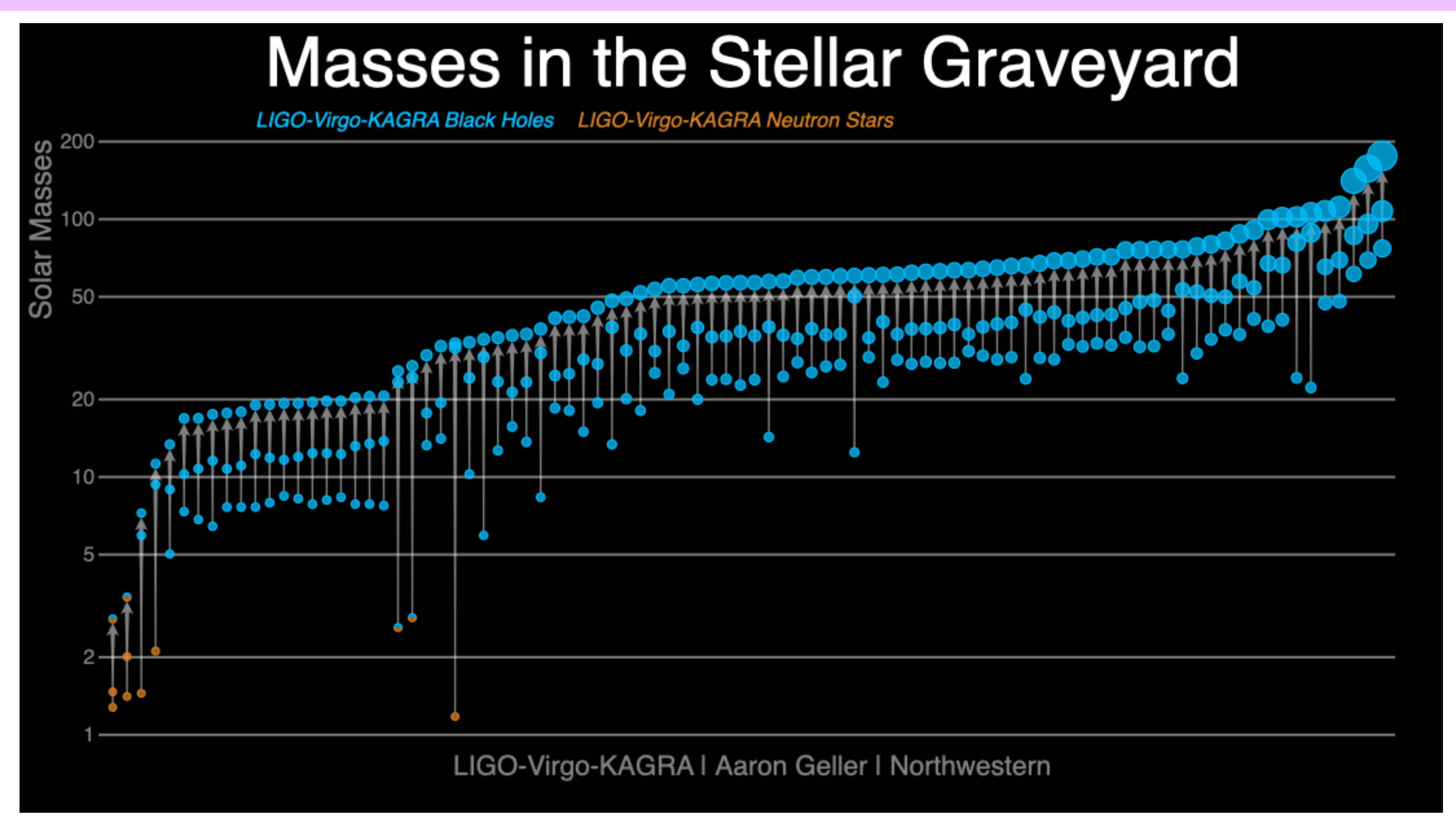
2 NSNS

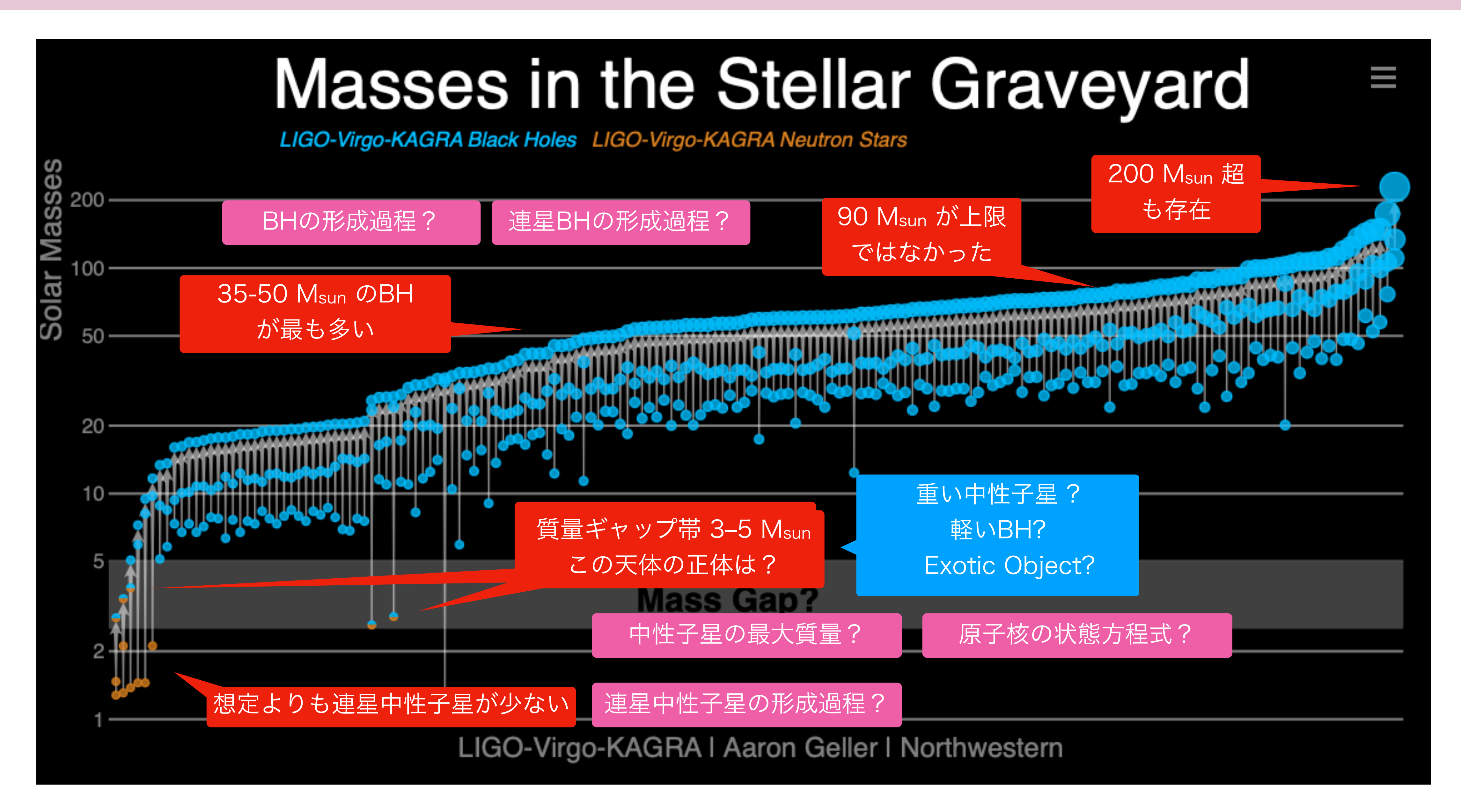
2 BH+?



O3b (2019/11/1 - 2020/3/27) After O3b:GWTC3 (2021/11/7 released)







重力波の初観測から10年,

A New Perspective on the Universe **Hubble Space Telescope (2017)** James Webb Space Telescope (2022) LIGO - First Observing Run (2015) LIGO - Fourth Observing Run (2025) LIGO Livingston LIGO Livingston

重力波がはじめて観測されたのは、2015年9月14日のことでした。GW150914と名付けられた重力波は、連星ブラックホールの合体が存在することを初めて示した現象でもありました。

非常に明確なGW250114を報告

LIGO-Virgo-KAGRA研究チームは、10周年となるのを記念して、今年1月に発見された、非常に明確に捉えられた重力波GW250114の現象を報告しました。

下の図は、GW150914と、GW250114の重力波の波形とスペクトログラム(横軸時間、縦軸周波数)です。色の濃いほどクリアな波形を示します。どちらも同じ程度の質量のブラックホール合体が、同じような距離で発生したものですが、10年経った今、干渉計の感度が向上したことと、ノイズ除去技術の進展によって、信号対雑音比が3倍近く向上しました。(上の図は、ハッブル望遠鏡の写真とジェームス・ウェブ望遠鏡の写真の比較です。どちらも宇宙空間の望遠鏡から同じ天体を撮影したものですが、右の方がクリアですね)

https://www.facebook.com/LigoScientificCollaboration

O4a (2023/5/24 - 2024/1/16)

GWTC4 (2025/8/26 released)

https://ligo.org/science-summaries/



Science - News Resources - Collaboration - 🕡 🖸 📵 🔉









Science Summaries

For each of our new research articles, we feature a summary of the paper's key points written for the general public. Simply click on any of the '[PDF]' links for a downloadable file in PDF format. Translations into several languages are also available for some of these summaries. Most recent papers, and their summaries, are written together by the LIGO Scientific Collaboration (LSC), the Virgo Collaboration and the KAGRA Collaboration, forming the LVK collaboration.

Translations are a volunteer effort and different sets of languages are available for each summary. For most summaries, we list any available translations by their ISO 639-1/ISO 639-2 keys, as listed here. YOU CAN FIND TRANSLATIONS BY CLICKING ON THE BLACK TRIANGLE **NEXT TO EACH SCIENCE SUMMARY ENTRY.**

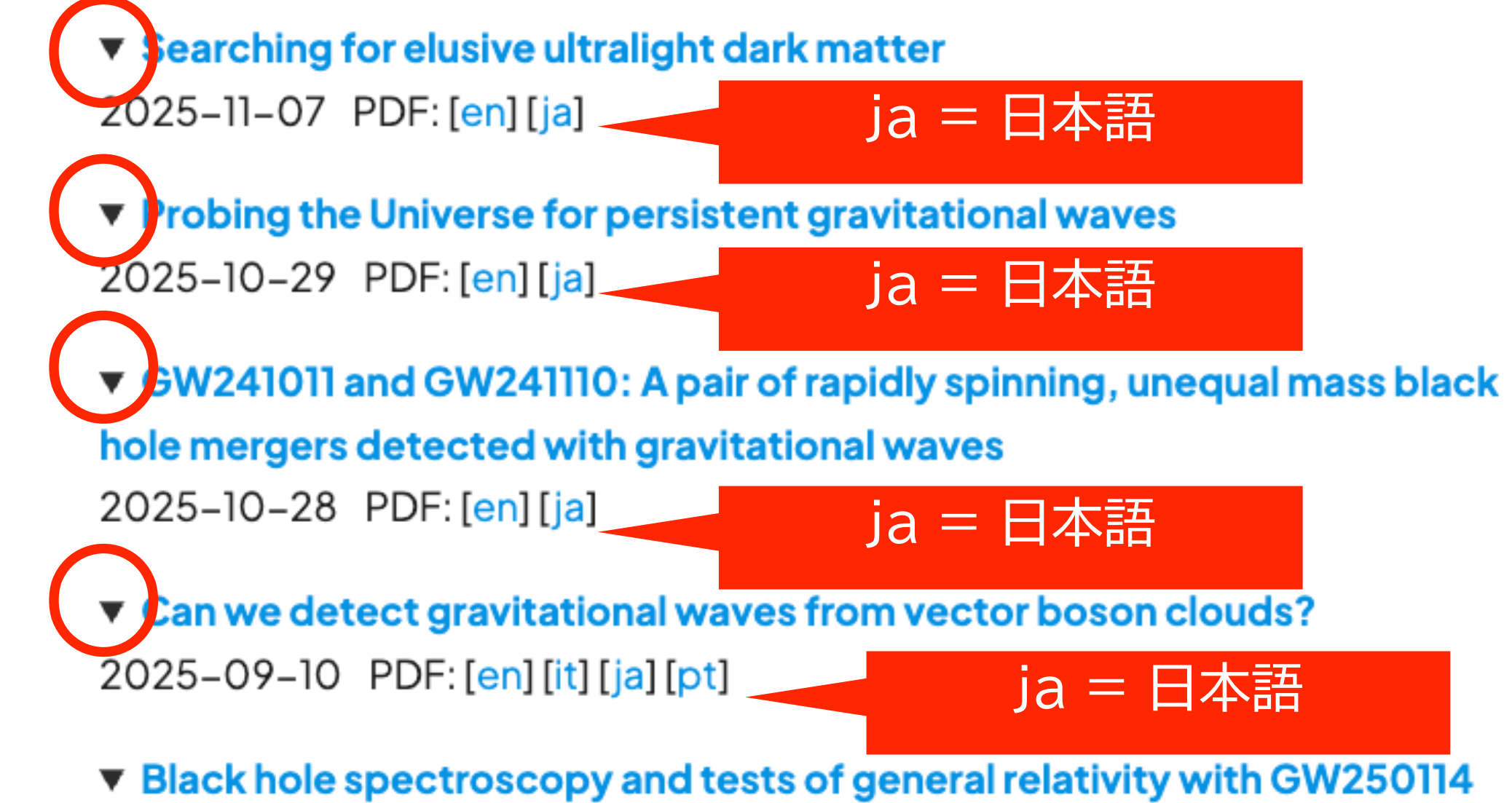
Jump to: 2025 | 2024 | 2023 | 2022 | 2021 | 2020 | 2019 | 2018 | 2017 | 2016 | 2015 | 2014 | 2013 | 2012 | 2011

Translations

You can search for the key of your language, in square brackets - for instance [fr] for French – on this page to find all science summaries that have been translated into it.

- [bla]: Blackfoot
- [bn]: Bengali (Bangla / বাংলা)
- [ca]: Catalan (Català)
- [de]: German (Deutsch)
- [el]: Greek (Ellinika / Ελληνικα)
- [es]: Spanish (Español / Castellano)

2025



- 2025-09-10 PDF: [en] [ca] [es] [gl] [it] [ja] [pt]
- ▼ GW250114: Cosmic carillon of chaos 2025-09-10 PDF: [en] [da] [el] [es] [gl] [it] [ja] [pt] [zh-Hant]
- ▼ GW230814: A loud gravitational-wave signal detected by LIGO Livingston 2025-09-09 PDF: [en] [es] [hi] [it] [ja] [ta]
- ▼ New constraints on the cosmic expansion and general relativity with gravitational waves

2025-09-08 PDF: [en] [ca] [ja] [pt]

黒い三角形をクリックすると、各言語版での解説リンクが現れます。

理科年表2024 (2023年11月発売)

重 力 波

天 79(155)

重 力 波

重力波の生成機構 一般相対性理論によれば、大質量でコンパクトな天体が加速度運動することにより、重力波が発生する。重力波源としては連星の合体や超新星爆発、非球対称な星の高速回転や、宇宙初期に起源を持つ重力波が宇宙空間を伝播していると考えられる。これらのうち、データとの相関解析を可能にする波形予測ができるのは、連星合体からの重力波である。十分に合体前はニュートン力学に相対論補正を加えたポスト・ニュートン展開により、合体前後は数値シミュレーションにより、合体後ブラックホールが生じる場合にはブラックホール時空の摂動によっても波形モデルが得られる。これらのモデルと重力波干渉計で得られる信号の相関をとることで、連星ブラックホール(以下 BBH)や連星中性子星(BNS)、および中性子星・ブラックホール連星(NSBH)の合体現象による重力波の検出、およびパラメータ推定が 2015 年以来可能になった。

重力波の観測 これまでに、米欧のレーザー干渉計 LIGO, Virgo によって、O3b と呼ばれる観測期間終了までに、BBH 波源の重力波が85 例、BNS 波源が2 例、NSBH 波源が2 例、片方がBH で相方が不明なもの1 例の合計90 例が報告されている。日本のKAGRA(かぐら)もO3b の最後に共同観測に入った。O4 観測が、2023 年 5 月から18 ヵ月間の予定で行われている。

重力波イベントは、観測された年月日を用いて、GW150914の形で命名される. O3a 期より、時分秒を加えた名称が正式となった. 重力波イベントは速報体制が取られ、多波長電磁波追観測が可能になっているが、これまでに波源が特定されたのは GW170817 のみである.

重力波レーザー干渉計の位置と腕の向き (例えば N 36°W は北から西方に 36°の向きを指す.)

干渉計	所在地	腕長 (km)	緯度	経度	X-腕	Y-腕
LIGO Hanford	米国	4	46°27′19″ N	119°24′28″ W	N 36° W	W 36° S
LIGO Livingston	米国	4	30 33 46 N	90 46 27 W	W 18° S	S 18° E
Virgo	欧州	3	43 37 53 N	10 30 16 E	N 19° E	W 19° N
KAGRA	日本	3	36 24 36 N	137 18 36 E	E 28.3° N	N 28.3° W

観測期間 (Observing Run)

観測期	Advanced LIG	Oí	Advanced Virgo				KAGRA				
	年月日 年	月日	年 月	日	年 月	日	年	月日	年	月	日
01	2015 9 12 - 2016	1 19									
O2	2016 11 30 - 2017	8 25	2017 8	1 - 201	7 8	25					
O3a	2019 4 1 - 2019	9 30		同左							
O3b	2019 11 1 - 2020	3 27		同左			(O3GK) 2020	4 7	z – 2020	4	21
O4	2023 5 26 -		2023	後半より	開始	j	2023	5 26	5 - 2023	6	25,
									2024 春	きに	再開

観測された中で特筆すべきイベント 突発的重力波カタログ 3(GWTC3)として 2021 年 11 月に発表されたものが最新の重力波イベントカタログである.

 $\underline{\text{GW150914}}$ 最初に報告された重力波直接観測イベント. BBH の存在を明らかにし、太陽質量 (M_{\odot}) の 30 倍以上の BH の存在を初めて確認した. $\underline{\text{GW170817}}$ 最初に報告された BNS イベント. 直後に多くの追観測がなされ、マルチ・メッセンジャー天文学の初めての成功例となった. 重力波波形から得られた中性子星の状態方程式に対する制限は核密度 $\rho_{\text{nuc}} = 2.8 \times 10^{14} \, \text{g/cm}^3$ の 2 倍の密度における圧力として($2 \rho_{\text{nuc}}$)= $3.5^{+2.7}_{-1.7} \times 10^{34} \, \text{dyn/cm}^2$ (90% 信頼区間)である. γ 線が重力波のピークと 1.7 秒差で到着したことから重力波伝播速度の光速からのずれの割合は 1×10^{-15} 以下と制限された. また、可視・赤外における

天80(156)

天 文

追観測から鉄以上の重元素合成の形跡が見られ、r-過程元素合成の重要なチャンネルになっていることを示唆している。 GW190412 明らかに質量比の異なる BBH からの重力波で、重力波の高次モードの検出がなされた。 GW190425 2番目に発見された BNS. GW190521 総質量が最大の BBH で、合体後の質量が $150M_{\odot}$ 程度と考えられる。 いわゆる中間質量 BH の領域の候補天体の初の発見となった。 BBH の合体の第 2 世代の合体とも考えられている。 GW190814 星の進化のシナリオでは直接形成が困難とされる $2-5M_{\odot}$ の質量領域のコンパクト天体からの重力波と考えられる。 GW190924 現在までで最小質量の BBH. GW200115 初めて高い確度で NSBH 合体として報告されたイベント.

報告されたおもな重力波(2023年6月現在)

連星の質量を M_1 , M_2 としたときの,チャープ質量 $M_c = (M_1 M_2)^{3/5}/(M_1 + M_2)^{1/5}$, 質量比(中央値の比) M_2/M_1 ,有効スピン $\chi_{\rm eff}$,最終的に形成された BH の質量 $M_{\rm final}$ (NSを含む場合は全質量 $M_{\pm} = M_1 + M_2$),距離,波源特定精度(平方度) $(\Delta\theta)^2$,シグナル・ノイズ比を示す.幅のある量は 90% の信頼区間.(種類ごとに日付順.BBH については,GW190521 と SNR が 17.3 より大きいもののみ.)

イベント (BBH)	$M_c (M_{\odot})$	質量比	$\chi_{ m eff}$	$M_{ m final} \ (M_{\odot})$	距離 (Mpc)	$(\Delta \theta)^2$	SNR
GW150914	28.6 +1.7 -1.5	0.86	$-0.01^{+0.12}_{-0.13}$	63.1 +3.4 -3.0	440^{+150}_{-170}	182	26
GW170814	24.1	0.82	$0.07^{+0.12}_{-0.12}$	$53.2 {}^{+3.2}_{-2.4}$	$600 {}^{+150}_{-220}$	92	17.7
GW190412	13.3 +0.5 -0.5	0.32	$0.21^{+0.12}_{-0.13}$	35.6 +4.8 -4.5	720^{+240}_{-220}	240	19.8
GW190521	63.3 + 19.6 - 14.6	0.58	$-0.14^{+0.5}_{-0.45}$	$147.4 ^{+40.0}_{-16.0}$	3310^{+2790}_{-1800}	1000	14.3
GW190521_074359	32.8 +3.2 -2.8	0.77	$0.1 ^{+ 0.13}_{- 0.13}$	$72.6 ^{+6.5}_{-5.4}$	$1080 {}^{+580}_{-530}$	470	25.9
GW190814	$6.11 ^{+ 0.06}_{- 0.05}$	0.11	0 +0.07 -0.07	$25.7 ^{+1.3}_{-1.3}$	230^{+40}_{-50}	22	25.3
GW191109_010717	47.5 $^{+9.6}_{-7.5}$	0.72	$-0.29^{+0.42}_{-0.31}$	$107 {}^{+18.0}_{-15.0}$	1290^{+1130}_{-650}	1600	17.3
GW191204_171526	8.55 + 0.38 - 0.27	0.69	$0.16^{+0.08}_{-0.05}$	$19.21^{+1.79}_{-0.95}$	$650 {}^{+190}_{-250}$	350	17.5
GW191216_213338	8.33 +0.22 -0.19	0.64	$0.11^{+0.13}_{-0.06}$	$18.87^{+2.8}_{-0.94}$	340^{+120}_{-130}	490	18.6
GW200112_155838	27.4 $^{+2.6}_{-2.1}$	0.79	$0.06^{+0.15}_{-0.15}$	60.8 +5.3 -4.3	1250^{+430}_{-460}	4300	19.8
GW200129_065458	27.2 $^{+2.1}_{-2.3}$	0.84	$0.11^{+0.11}_{-0.16}$	60.3 +4.0 -3.3	900^{+290}_{-380}	130	26.8
GW200224_222234	31.1 $^{+3.2}_{-2.6}$	0.81	$0.1 ^{+ 0.15}_{- 0.15}$	68.6 +6.6 -4.7	1710^{+490}_{-640}	50.0	20
GW200311_115853	26.6	0.81	$-0.02^{+0.16}_{-0.2}$	59 +4.8 -3.9	1170^{+280}_{-400}	35	17.8
イベント (BNS)	$M_c (M_{\odot})$	質量比	$\chi_{ m eff}$	$M_{\widehat{\Xi}} (M_{\mathbf{O}})$	距離 (Mpc)	$(\Delta \theta)^2$	SNR
GW170817	$1.186^{+0.001}_{-0.001}$	0.87	0 +0.02 -0.01		40 +7.0	16	33
GW190425	1.44 +0.02 -0.02	0.62	$0.07^{+0.07}_{-0.05}$	$3.4 ^{+0.3}_{-0.1}$	150 +80 -60	8700	12.4
イベント (NSBH)	$M_c (M_{\odot})$	質量比	$\chi_{ m eff}$	$M_{\widehat{\Xi}}$ (M_{\odot})	距離 (Mpc)	$(\Delta oldsymbol{ heta})^{2}$	SNR
GW190917_114630	$3.7 ^{+0.2}_{-0.2}$	0.22	$-0.08^{+0.21}_{-0.43}$	$11.6 ^{+3.1}_{-2.9}$	720^{+300}_{-310}	2100	8.3
GW200115_042309	$2.43 ^{+ 0.05}_{- 0.07}$	0.24	$-0.15^{+0.24}_{-0.42}$	$7.2^{+1.8}_{-1.7}$	290^{+150}_{-100}	370	11.3
		ļ.		<u> </u>	<u> </u>		1

得られた科学的成果 連星系については、その合体頻度について、BBH は赤方偏移 z = 0.2 付近において 17.9 – 44/Gpc³/yr、BNS は $10-1700/\text{Gpc}^3/\text{yr}$ 、NSBH は $7.8-140/\text{Gpc}^3/\text{yr}$ と見積もられている。このほか、背景重力波に対して、宇宙膨張率に対して重力波のエネルギーが寄与する割合として(平坦なエネルギースペクトルを仮定したうえで) $\Omega_{\text{GW}} < 6.0 \times 10^{-8}$ の上限が得られている。連続重力波の重力波振幅に対しては、おおよそ 10^{-25} 程度(200 Hz まわり)の上限が得られている。また、既知のパルサーからの連続重力波に対しても個々に上限が得られている。

一般相対性理論の検証も行われ、数あるテストすべてで、一般相対性理論から得られる 予言と観測されている重力波信号との間に矛盾は生じていない、今後、発見数が増すにつ れて連星系の形成シナリオが明らかになることが期待される、将来的には、銀河系形成シ ナリオや初期宇宙の情報などにも、重力波観測から多くの知見がもたらされるであろう.





丸善出版

国立天文台 📵

理科年表2025 (2024年11月発売)——

重 力 波

天 79(155)

波 力

重力波の生成機構 一般相対性理論によれば、大質量でコンパクトな天体が加 速度運動することにより、重力波が発生する、重力波源としては連星の合体や超 新星爆発、非球対称な星の高速回転や、宇宙初期に起源を持つ重力波が宇宙空間 を伝播していると考えられる、これらのうち、データとの相関解析を可能にする 波形予測ができるのは、連星合体からの重力波である、十分に合体前はニュート ン力学に相対論補正を加えたポスト・ニュートン展開により、合体前後は数値シ ミュレーションにより、合体後ブラックホールが生じる場合にはブラックホール 時空の摂動によっても波形モデルが得られる。これらのモデルと重力波干渉計で 得られる信号の相関をとることで、連星ブラックホール(以下 BBH)や連星中性 子星(BNS). および中性子星・ブラックホール連星(NSBH)の合体現象による 重力波の検出、およびパラメータ推定が2015年以来可能になった.

重力波の観測 これまでに、米欧のレーザー干渉計 LIGO, Virgo によって、O3b と呼ばれる観測期間終了までに、BBH 波源の重力波が 85 例、BNS 波源が 2 例、 NSBH 波源が 2 例. 片方が BH で相方が不明なもの 1 例の合計 90 例が報告されて いる.日本の KAGRA(かぐら)も O3b の最後に共同観測に入った. → O4 観測 が、 2025年 2023 年 5 月から 2 年間の予定で行われている.

6月まで 重力波イベントは、観測された年月日を用いて、GW150914の形で命名される。 O3a 期より、時分秒を加えた名称が正式となった、重力波イベントは速報体制が 取られ、多波長電磁波追観測が可能になっているが、これまでに波源が特定され たのは GW170817 のみである.

重力波レーザー干渉計の位置と腕の向き (例えば N 36°W は北から西方に 36°の向きを指す.)

	***				- / - /	
干渉計	所在地	腕長 (km)	緯度	経度	X-腕	Y-腕
LIGO Hanford LIGO Livingston Virgo KAGRA	米国 米国 欧州 日本	4 4 3 3	30 33 46 N 43 37 53 N	10 30 16 E	N 36° W W 18° S N 19° E E 28.3° N	W 36° S S 18° E W 19° N N 28.3° W

観測期間 (Observing Run)

観測期	Advanced LIGO	Advanced Virgo	KAGRA
	年月日 年月日	年月日 年月日	年 月 日 年 月 日
O1	2015 9 12 - 2016 1 19	_	_
O2	2016 11 30 - 2017 8 25	2017 8 1 - 2017 8 25	_
O3a	2019 4 1 - 2019 9 30	同左	_
O3b	2019 11 1 - 2020 3 27	同左	(O3GK) 2020 4 7 - 2020 4 21
O4a	2023 5 26 - 2024 1 16	_	2023 5 26 - 2023 6 25
O4b	2024 4 3-2025 6 9(予定)	同左	2021年12月 に再開

2025年初旬

天80(156)

天 文

観測された中で特筆すべきイベント 突発的重力波カタログ 3(GWTC3)とし て 2021 年 11 月に発表されたものが最新の重力波イベントカタログである.

GW150914 最初に報告された重力波直接観測イベント. BBH の存在を明らか にし、太陽質量 (M_{\odot}) の 30 倍以上の BH の存在を初めて確認した. GW170817 最初に報告された BNS イベント. 直後に多くの追観測がなされ、マルチ・メッセ ンジャー天文学の初めての成功例となった。重力波波形から得られた中性子星の 状態方程式に対する制限は核密度 $\rho_{\text{nuc}} = 2.8 \times 10^{14} \text{ g/cm}^3$ の 2 倍の密度における圧力 として $(2\rho_{\text{nuc}}) = 3.5^{+27}_{-1.7} \times 10^{34} \, \text{dyn/cm}^2 (90\% 信頼区間) である. γ線が重力波のピー$ クと 1.7 秒差で到着したことから重力波伝播速度の光速からのずれの割合は 1× 10⁻¹⁵ 以下と制限された.また,可視・赤外における追観測から鉄以上の重元素合 成の形跡が見られ、r-過程元素合成の重要なチャンネルになっていることを示唆し ている. GW190412 明らかに質量比の大きな BBH からの重力波で, 重力波の高 次モードの検出が試みられた. GW190425 2番目に発見された BNS. GW190521 総質量が最大のBBHで、合体後の質量が150M_®程度と考えられる。いわゆる中間 質量 BH の領域の候補天体の初の発見となった。BBH の合体の第2世代の合体と も考えられている. GW190814 星の進化のシナリオでは直接形成が困難とされる 2-5M⊙の質量領域(質量ギャップ)のコンパクト天体からの重力波と考えられる. GW190924 現在までで最小質量のBBH. GW200115 初めて高い確度でNSBH 合体として報告されたイベント. GW230529 181500 LIGO Livingston でのみ検 出されたが、1.2-2.0M_®と 2.5-4.5M_®の連星合体で、一方は NS の質量領域だが他方 は質量ギャップ領域であることから、O4a期のイベントとして速報された.

得られた科学的成果 連星系については、その合体頻度について、BBH は赤方 偏移 z = 0.2 付近において $17.9 - 44/\text{Gpc}^3/\text{yr}$, BNS は $10 - 1700/\text{Gpc}^3/\text{yr}$, NSBH は 7.8-140/Gpc³/yr と見積もられている. このほか, 背景重力波に対して, 宇宙膨 張率に対して重力波のエネルギーが寄与する割合として(平坦なエネルギースペ クトルを仮定したうえで) Ω_{GW} < 6.0×10^{-8} の上限が得られている.連続重力波の 重力波振幅に対しては、おおよそ 1×10^{-25} 程度(200 Hz まわり)の上限が得られ ている. また、既知のパルサーからの連続重力波に対しても個々に上限が得られ ている.

一般相対性理論の検証も行われ、数あるテストすべてで、一般相対性理論から 得られる予言と観測されている重力波信号との間に矛盾は生じていない. 今後, 発見数が増すにつれて連星系の形成シナリオが明らかになることが期待される. 将来的には、銀河系形成シナリオや初期宇宙の情報などにも、重力波観測から多 くの知見がもたらされるであろう.

重 力 波

天81(157)

報告されたおもな重力波(2024年6月現在)

連星の質量を M_1 , M_2 としたときの、チャープ質量 $M_c = (M_1 M_2)^{3/5}/(M_1 + M_2)^{1/5}$. 質量比(中央値の比) M_2/M_1 ,有効スピン $\chi_{\rm eff}$,最終的に形成された BH の質量 M_{final} (NSを含む場合は全質量 $M_{\alpha}=M_1+M_2$)、距離、波源特定精度(平方度) $(\Delta\theta)^2$. シグナル・ノイズ比(SNR)を示す. 幅のある量は 90% の信頼区間. (種類ごとに 日付順. BBH については、GW190521 と SNR が 17.3 より大きいもののみ.)

イベント (BBH)	$M_c (M_{\odot})$	質量比	$\chi_{ m eff}$	$M_{\mathrm{final}} (M_{\odot})$	距離 (Mpc)	$(\Delta \theta)^2$	SNR
GW150914	28.6 + 1.7 - 1.5	0.86	$-0.01^{+0.12}_{-0.13}$	63.1 + 3.4 - 3.0	440 + 150 - 170	250	26
GW170814	$\begin{vmatrix} 24.1 & +1.4 \\ -1.1 & \end{vmatrix}$	0.82	$0.07^{+0.12}_{-0.12}$	53.2 +3.2 -2.4	600 + 150 - 220	92	17.7
GW190412	13.3 +0.5	0.32	$0.21^{+0.12}_{-0.13}$	35.6 +4.8 -4.5	$720 \begin{array}{c} +240 \\ -220 \end{array}$	240	19.8
GW190521	63.3 + 19.6 - 14.6	0.58	$-0.14^{+0.5}_{-0.45}$	$147.4 ^{+40.0}_{-16.0}$	3310 + 2790 - 1800	1000	14.3
GW190521_074359	32.8 +3.2 -2.8	0.77	$0.1 ^{+ 0.13}_{- 0.13}$	72.6 +6.5 -5.4	$1080 ^{+580}_{-530}$	470	25.9
GW190814	6.11 + 0.06 - 0.05	0.11	0 +0.07 -0.07	$25.7 ^{+1.3}_{-1.3}$	230 + 40 - 50	22	25.3
GW191109_010717	$ 47.5 \qquad ^{+ 9.6}_{- 7.5}$	0.72	$-0.29^{+0.42}_{-0.31}$	107 + 18.0 - 15.0	1290 + 1130 - 650	1600	17.3
GW191204_171526	8.56 +0.41 -0.28	0.72	$0.16^{+0.08}_{-0.05}$	19.18 + 1.71 - 0.93	$640 ^{+200}_{-260}$	350	17.4
GW191216_213338	8.33 +0.22 -0.19	0.64	0.11 + 0.13	18.87 +2.81 -0.93	$340 ^{+120}_{-130}$	490	18.6
GW200112_155838	27.4 $^{+2.6}_{-2.1}$	0.79	$0.06^{+0.15}_{-0.15}$	60.8 +5.3 -4.3	$1250 \begin{array}{c} +430 \\ -460 \end{array}$	4300	19.8
GW200129_065458	$\begin{vmatrix} 27.2 & +2.1 \\ -2.3 & \end{vmatrix}$	0.84	$0.11^{+0.11}_{-0.16}$	60.2 +4.1 -3.2	890 +260 -370	130	26.8
GW200224_222234	31.1 +3.3 -2.7	0.82	$0.1 ^{+ 0.15}_{- 0.16}$	68.7 +6.7 -4.8	$1710 \begin{array}{c} +500 \\ -650 \end{array}$	50.0	20
GW200311_115853	26.6 + 2.4 - 2.0	0.81	$-0.02^{+0.16}_{-0.2}$	59 +4.8 -3.9	1170 +280 -400	35	17.8
イベント (BNS)	$M_c (M_{\odot})$	質量比	$\chi_{ m eff}$	M_{\pm} (M_{\odot})	距離 (Mpc)	$(\Delta \theta)^2$	SNR
GW170817	1.186 + 0.001	0.87	0 +0.02 -0.01	_	40 + 7.0 - 15.0	16	33
GW190425	$1.44 ^{+ 0.02}_{- 0.02}$	0.62	$0.07^{+0.07}_{-0.05}$	3.4 +0.3 -0.1	150 +80 -60	8700	12.4
イベント (NSBH)	$M_c (M_{\odot})$	質量比	$\chi_{ m eff}$	$M_{\pm} (M_{\odot})$	距離 (Mpc)	$(\Delta \theta)^2$	SNR
GW190917_114630	3.7 +0.2 -0.2	0.22	$-0.08^{+0.21}_{-0.43}$	11.8 +3.0 -2.8	720 +300 -310	2100	8.3
GW200115_042309	$2.43 ^{+ \; 0.05}_{- \; 0.07}$	0.24	$-0.15^{+0.23}_{-0.42}$	7.4 + 1.7 - 1.7	290 + 150 - 100	370	11.3
GW230529_181500	1.94 + 0.04 - 0.04	0.39	-0.1 $^{+0.12}_{-0.17}$	5.1 + 0.6 - 0.6	201 + 102 - 96	_	11.6

2024/08/02 11:33:52

理科年表2025_02天文_078-090_indd18-5. indd

× KAGRA IT. 能對島心電でダメージなら 復帰に2025年初旬に観測を再開する

2024/08/02 11:33:51

理科年表2025_02天文_078-090_indd18-5. indd

理科年表2025_02天文_078-090_indd18-5.indd

重 力 波 2025-0825v4 版 田中・真貝 作成 8 月に出た初校に対する修正箇所・追記箇所を赤字で示す

重力波の生成機構 一般相対性理論によれば、大質量でコンパクトな天体が加速度運動することにより、重力波が発生する. 重力波源としては連星の合体や超新星爆発、非球対称な星の高速回転や、宇宙初期に起源をもつ重力波が宇宙空間を伝播していると考えられる. これらのうち、データとの相関解析を可能にする波形予測ができるのは、連星合体からの重力波である. 十分に合体前はニュートン力学に相対論補正を加えたポスト・ニュートン展開により、合体前後は数値シミュレーションにより、合体後ブラックホールが生じる場合にはブラックホール時空の摂動によっても波形モデルが得られる。これらのモデルと重力波干渉計で得られる信号の相関をとることで、連星ブラックホール(以下 BBH)や連星中性子星(BNS)、および中性子星・ブラックホール連星(NSBH)の合体現象による重力波の検出、および、パラメータ推定が 2015 年以来可能になった.

重力波の観測 これまでに、米欧のレーザー干渉計 LIGO, Virgo によって、O4a と呼ばれる観測期間終了までに、BBH 波源の重力波が 169 例、BNS 波源が 2 例、NSBH 波源が 3 例、片方が BH で相方が不明なもの 1 例、片方が NS で相方が不明なもの 1 例 の合計 176 例が、波源のパラメータを含めて 報告されている。日本の KAGRA(かぐら)も O3b の最後に共同観測に入った。KAGRA は能登半島地震でのダメージから復帰して 2025 年 6 月に観測を再開した。O4 観測は、2025 年 11 月まで行われた。その後、世界中の干渉計は精度向上のためのアップグレードを行い、O5 観測は 2028 年より行われる。

重力波イベントは、観測された年月日を用いて、GW150914の形で命名される. O3a 期より、時分秒を加えた名称が正式となった. 重力波イベントは速報体制が取られ、多波長電磁波追観測が可能になっているが、これまでに波源が特定されたのは GW170817 のみである.

重力波レーザー干渉計の位置と腕の向き

(例えば N 36° W は、北から西方に 36° の向きを指す.) 干渉計 所在地 腕長 (km) 緯度 Y-腕 X-腕 LIGO Hanford 46°27′19″ N 119°24′28″ W W 36° S N 36° W LIGO Livingston 米国 4W 18° S 30 33 46 N $90 \ 46 \ 27 \ \mathrm{W}$ S 18° E 欧州 Virgo 3 43 37 53 N 10 30 16 E N 19° E W 19° N KAGRA 日本 36 24 36 N 137 18 36 E E 28.3° N N 28.3° W

観測期間(Observing Ru	.n) 日付は UTC 表示
-------	--------------	----------------

観測期	Advanced LIGO	Advanced Virgo	KAGRA
	年月日 年月日	年月日 年月日	年月日 年月日
O1	$2015 \ \ 9 \ 12 \ -2016 \ \ 1 \ 19$	_	_
O2	$2016\ 11\ 30\ -2017\ \ 8\ 25$	$2017 \ 8 \ 1 - 2017 \ 8 \ 25$	_
O3a	$2019 \ 4 \ 1 - 2019 \ 9 \ 30$	同左	_
O3b	$2019\ 11\ 1\ -2020\ 3\ 27$	同左	(O3GK) 2020 4 7 -2020 4 21
O4a	$2023 \ 5 \ 24 \ -2024 \ 1 \ 16$	_	$2023 \ 5 \ 26 \ -2023 \ 6 \ 25$
O4b	$2024 \ 4 \ 10 - 2025 \ 1 \ 28$	同左	_
O4c	2025 1 29 - 2025 11 18	同左	2025 6 6 -2025 11 18

観測された中で特筆すべきイベント O4a までの結果をまとめた「突発的重力波カタログ 4(GWTC4)」として 2025 年 8 月に発表されたものが最新の重力波イベントカタログである.

GW150914 最初に報告された重力波直接観測イベント. BBH の存在を明らかにし、太陽質 量 (M_{\odot}) の 30 倍以上の BH の存在を初めて確認した. GW170817 最初に報告された BNS イ ベント. 直後に多くの追観測がなされ、マルチ・メッセンジャー天文学の初めての成功例となった. 重力波波形から得られた中性子星の状態方程式に対する制限は核密度 $ho_{
m nuc}=2.8 imes10^{14}{
m g/cm}^3$ の 2 倍の密度における圧力として $2\rho_{\text{nuc}} = 3.5^{+2.7}_{-1.7} \times 10^{34} \text{dyn/cm}^2 (90\% 信頼区間) である.$ γ線が重力波のピークと 1.7 秒差で到着したことから重力波伝播速度の光速からのずれの割 合は 1×10^{-15} 以下と制限された。また、可視・赤外における追観測から鉄以上の重元素合 成の形跡が見られ、r-過程元素合成の重要なチャンネルになっていることを示唆している. GW190412 明らかに質量比の大きな BBH からの重力波で、重力波の高次モードの検出が 試みられた. GW190425 2番目に発見された BNS. GW190521 合体後の総質量が $150 M_{\odot}$ 程度と考えられる BBH で、いわゆる中間質量 BH の領域の候補天体の初の発見となった. GW190814 星形成のシナリオでは不可能とされる $2-5M_{\odot}$ の質量領域(質量ギャップ)のコン パクト天体からの重力波と考えられる. GW200115: 初めて高い精度で NSBH 合体として報 告されたイベント. GW230529_181500 LIGO Livingston でのみ検出されたが、 $1.2-2.0M_{\odot}$ と $2.5-4.5M_{\odot}$ の連星合体で、一方は NS の質量領域だが他方は質量ギャップ領域である. GW230627_015337 総質量が 5.78M_☉ の最小の BBH. GW231123_135430 総質量が最大 の BBH で、合体後の質量が $190-265M_{\odot}$ と推定される。一方のブラックホールは対不安定 型超新星による質量ギャップを超える稀な大質量のものであり、他方の質量は質量ギャップ中 に入り、双方ともに高い自転を持つと推定されることから、GW190521 と同様に BBH の 第2世代の合体が示唆される.

得られた科学的成果 連星系については,その合体頻度について,BBH は赤方偏移 z=0 付近において 14-26 /Gpc³/yr,BNS は 7.6-250 /Gpc³/yr,NSBH は 9.1-84/Gpc³/yr と見積もられている.このほか,背景重力波に対して,宇宙膨張率に対して重力波のエネルギーが寄与する割合として(平坦なエネルギースペクトルを仮定した上で) $\Omega_{\rm GW}<2.7\times10^{-9}$ の上限が得られている.連続重力波の重力波振幅に対しては,おおよそ 1×10^{-25} 程度(200 Hz まわり)の上限が得られている.また,既知のパルサーからの連続重力波に対しても個々に上限が得られている.

一般相対性理論の検証も行われ、数あるテストすべてで、一般相対性理論から得られる予言と観測されている重力波信号との間に矛盾は生じていない。今後、発見数が増すにつれて連星系の形成シナリオが明らかになることが期待される。将来的には、銀河系形成シナリオや初期宇宙の情報などにも、重力波観測から多くの知見がもたらされるであろう。

報告されたおもな重力波(2025 年 8 月 現在)

連星の質量を M_1 , M_2 としたときの,チャープ質量 $M_c = (M_1 M_2)^{3/5}/(M_1 + M_2)^{1/5}$,質量比(中央値の比) M_2/M_1 ,有効スピン $\chi_{\rm eff}$,最終的に形成された BH の質量 $M_{\rm final}$ (NSを含む場合は全質量 $M_{\pm} = M_1 + M_2$),距離,波源特定精度(平方度) $\Delta\Omega$,シグナル・ノイズ比 (SNR) を示す.幅のある量は 90% の信頼区間.(種類ごとに日付順.BBH については,GW190521 と SNR が 17.5 より大きいもののみ.) イベント名赤字は新規追加,イベント名緑字は削除.

4 1 Halat 2 (0.1111)314							
イベント (BBH)	$M_c(M_{\odot})$	質量比	$\chi_{ m eff}$	$M_{\mathrm{final}}(M_{\bigodot})$	距離 (Mpc)	$\Delta\Omega$	SNR
GW150914	$28.6^{+1.7}_{-1.5}$	0.86	-0.01 + 0.12 -0.13	$63.1 + 3.4 \\ -3.0$	$440 + 150 \\ -170$	250	26
GW170814	$24.1 + 1.4 \\ -1.1$	0.82	$0.07 ^{+0.13}_{-0.12}$	$53.2 + 3.2 \\ -2.4$	$600 {+150 \atop -220}$	92	17.7
GW190412	$13.3^{+0.5}_{-0.5}$	0.32	$0.21 + 0.12 \\ -0.13$	$35.6 + 4.8 \\ -4.5$	$720 {+240 \atop -220}$	240	19.8
GW190521	$63.3^{+19.6}_{-14.6}$	0.58	$-0.13 \\ -0.14 + 0.5 \\ -0.45$	$147.4 ^{+40.0}_{-16.0}$	$3310 + 279 \\ -180$	1000	14.3
GW190521_074359	$32.8 + 3.2 \\ -2.8$	0.77	$0.1^{+0.13}_{-0.13}$	$72.6^{+6.5}_{5.4}$	$1080 + 580 \\ -530$	470	25.9
GW191109 ₋ 010717	$47.5^{+9.6}$	0.72	-0.29 + 0.42	$107^{+18.0}$	1290 + 1130	1600	17.3
GW191204_171526	$8.56^{+0.41}$	0.72	$0.16^{+0.08}_{-0.05}$	19.18 + 1.71	640 + 200	350	17.4
GW191216_213338	$8.33^{+0.22}_{-0.10}$	0.64	$0.11^{+0.13}_{-0.06}$	18.87 + 2.81	340^{+120}	490	18.6
GW200112_155838	$27.4^{+2.6}$	0.79	$0.06^{+0.15}$	60.8 + 5.3	$1250 + \overline{430}$	4300	19.8
GW200129_065458	$27.2^{+2.1}$	0.84	$0.11^{+0.11}_{-0.16}$	$60.2^{+4.1}$	890^{+260}	130	26.8
GW200224_222234	$31.1^{+3.3}$	0.82	$0.1^{+0.15}_{-0.16}$	68.7 + 6.7	1710 + 500	50.0	20
GW200311_115853	$26.6^{+2.4}_{-2.0}$	0.81	-0.02 + 0.16	$59^{+4.8}_{-3.9}$	1170^{+280}	35	17.8
GW230627_015337	$6.02 \begin{array}{r} +0.16 \\ -0.07 \end{array}$	0.70	0.02 + 0.08	$13.5^{+0.8}$	310^{+60}	99	28.7
GW230814_230901	26.8 + 0.8	0.85	-0.01 + 0.05	$58.9^{+1.8}$	200 + 100	25000	45.9
GW230914_111401	$39.8^{+7.5}_{-6.3}$	0.60	$0.1^{+0.2}_{-0.2}$	$91.5 + 1\overline{3.9}$	2600 + 1600	1600	17.7
GW230927_153832	$16.4 \begin{array}{c} +1.4 \\ -0.8 \end{array}$	0.75	$0.02 \begin{array}{c} +0.07 \\ -0.08 \end{array}$	36.6 + 3.1	1200 + 400	270	21.5
GW231028_153006	$62.0 \begin{array}{c} +13.0 \\ -10.0 \end{array}$	0.54	$0.4^{+0.2}$	145^{+27}	4100 + 1400	1200	22.9
GW231123_135430	$102 + 12 \\ -31$	0.75	$0.3^{+0.2}$	$225 + \overline{26}$	$2200 + \overline{1900}$	1200	22.6
GW231206_233901	$28.1 + 2.6 \\ -1.7$	0.76	-0.4 $-0.05 + 0.13$ -0.14	$63.0^{+4.7}$	1500 + 300	310	22.9
GW231226_101520	$32.5 + 1.5 \\ -1.3$	0.88	$-0.09 \begin{array}{l} +0.08 \\ -0.09 \end{array}$	$\begin{array}{c} -3.3 \\ 71.5 + 3.1 \\ -2.5 \end{array}$	$1200 { +200 \atop -300}$	150	40.7
イベント (BNS)	$M_c(M_{\odot})$	質量比	Xeff	$M_{\stackrel{\frown}{+}}(M_{\stackrel{\frown}{\circ}})$	距離 (Mpc)	$\Delta\Omega$	SNR
GW170817	$1.186 + 0.001 \\ -0.001$	0.87	0+0.02		$40 + 7.0 \\ -15.0$	16	33
GW190425	$1.44 + 0.02 \\ -0.02$	0.62	$0.07 + 0.07 \\ -0.05$	$3.4^{+0.3}_{-0.1}$	$150 + 80 \\ -60$	8700	12.4
イベント (NSBH)	$M_c(M_{\odot})$	質量比	Xeff	$M_{\triangle}(M_{\bigcirc})$	距離 (Mpc)	$\Delta\Omega$	SNR
GW190917_114630	$3.7^{+0.2}_{-0.2}$	0.22	-0.08 + 0.21 -0.43	$11.8^{+3.0}$	$720 {+300 \atop -310}$	2100	8.3
GW200115_042309	$2.43^{+0.05}$	0.24	$-0.15^{+0.23}_{-0.42}$	$7.4^{+1.7}$	290 + 150	370	11.3
GW230518_125908	$2.80 \begin{array}{r} -0.07 \\ +0.06 \\ -0.06 \end{array}$	0.17	-0.42 $-0.01 + 0.09$ -0.11	$9.4 { +0.7 \atop -0.8 \atop -0.8 \atop }$	$240 {+110 \atop -100}$	520	14.3
イベント (低質量ギャップ天体を含む)	$M_{\mathcal{C}}(M_{\odot})$	質量比	$\chi_{ m eff}$	$M_{\stackrel{\frown}{+}}(M_{\stackrel{\frown}{\cap}})$	距離 (Mpc)	$\Delta\Omega$	SNR
GW190814	$6.11 + 0.06 \\ -0.05$	0.11	$0^{+0.07}_{-0.07}$	$25.7 + 1.3 \\ -1.3$	230+40	22	25.3
GW230529_181500	$1.94 \begin{array}{r} -0.05 \\ +0.04 \\ -0.04 \end{array}$	0.36	-0.07 $-0.05 + 0.14$ -0.15	$5.04 ^{+0.82}_{-0.62}$	$200 {+110 \atop -100}$	24000	11.8
	-0.04		-0.10	-0.02	-100		

丸善出版

Scientific Tabl

)

2025年11月発売

Sの科学 Yの科学

Sの科学

physics 物理
mathematics 数学
statistics 統計学
genetics 遺伝学

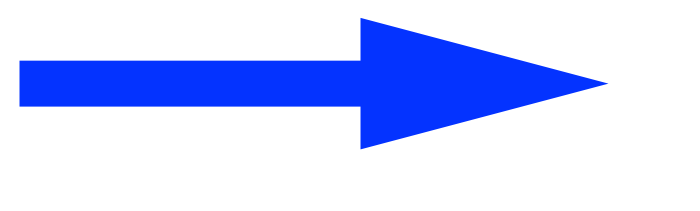
体系化の学問 対象物の性質を理論で説明

Yの科学

astronomy 天文学 economy 経済学 biology 生物学 archaeology 考古学 anthropology 人類学 sociology 社会学

発見の学問 対象物を分類し記載

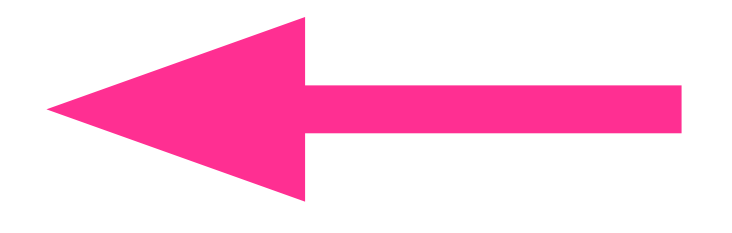
相対性理論



膨張宇宙 重力波

ブラックホール

宇宙物理学



2023年5月から 日米欧で重力波共同観測中

アメリカ・LIGO **図LIGO**



ヨーロッパ・VIRGO ((の))) VIRGO

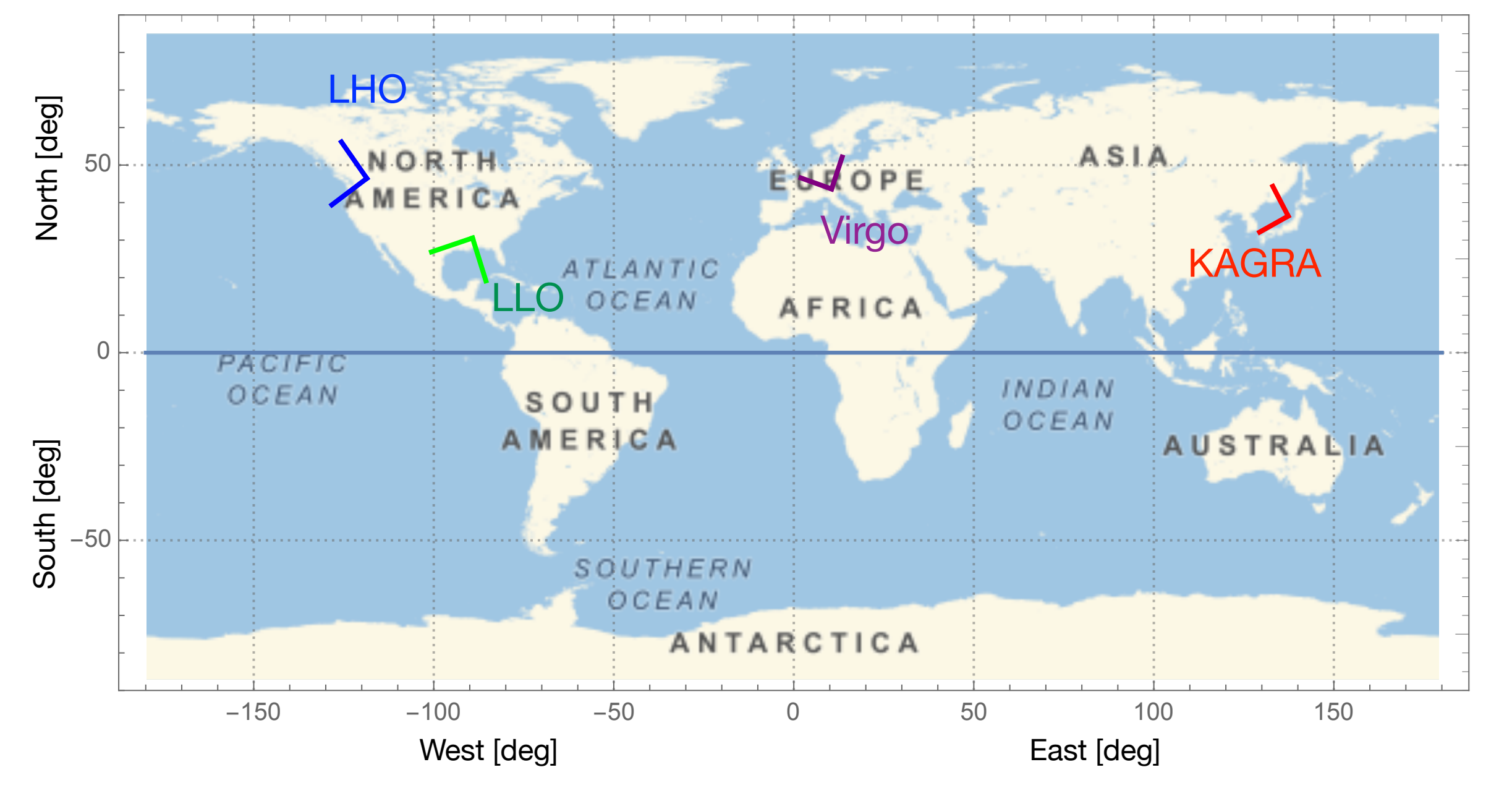


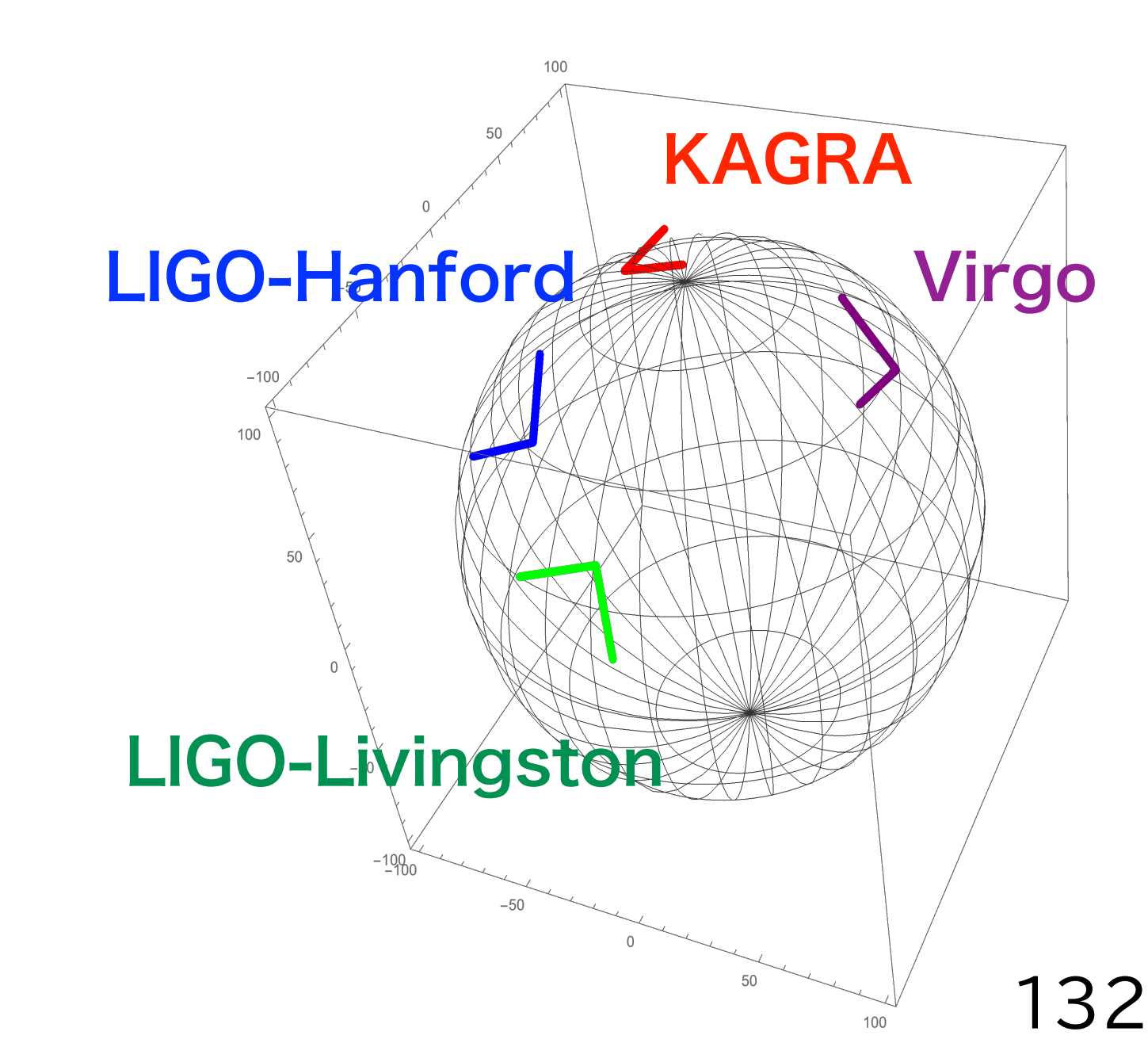
日本·KAGRA(岐阜·神岡)



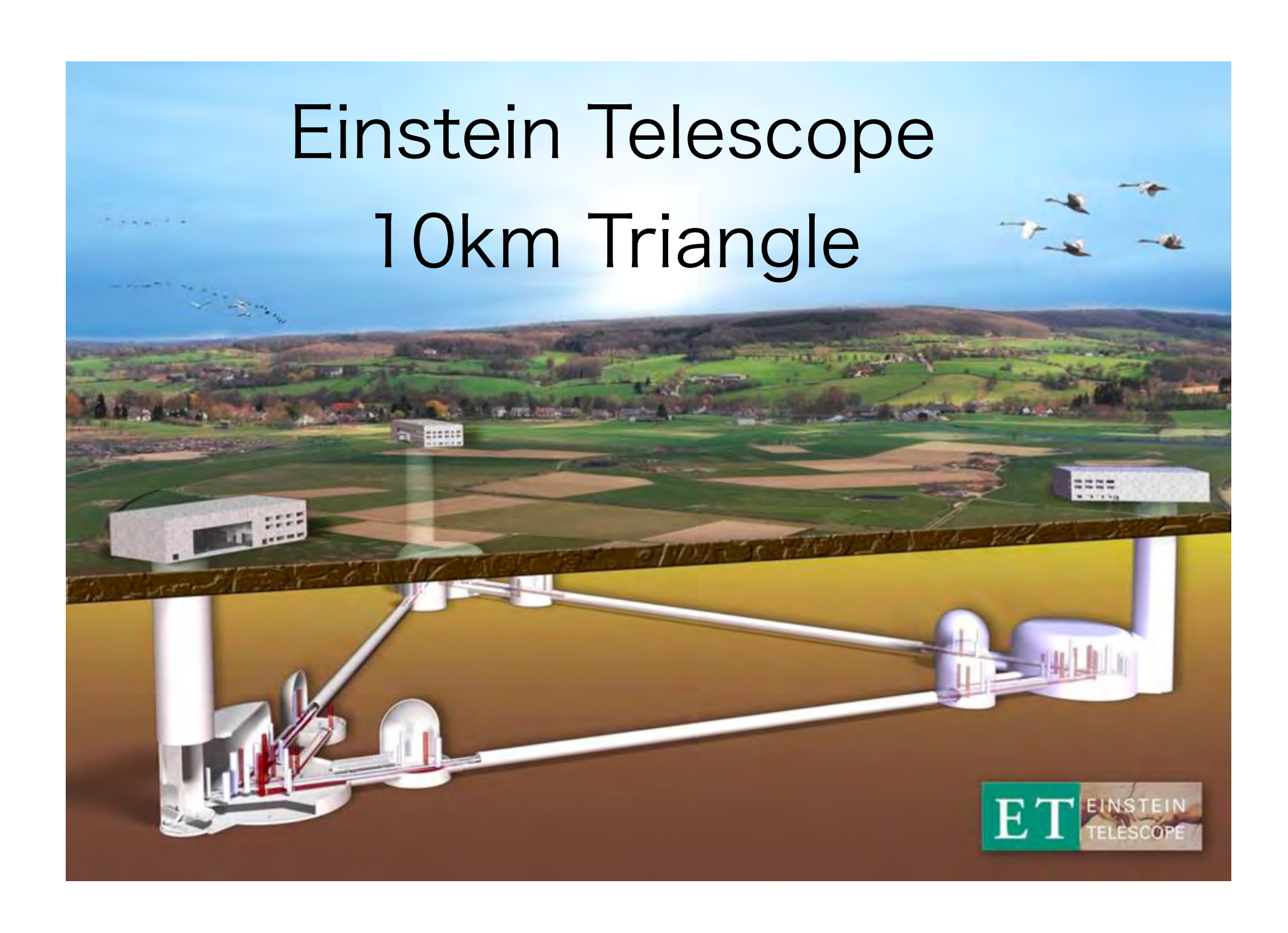








重力波観測装置(地上)の将来計画

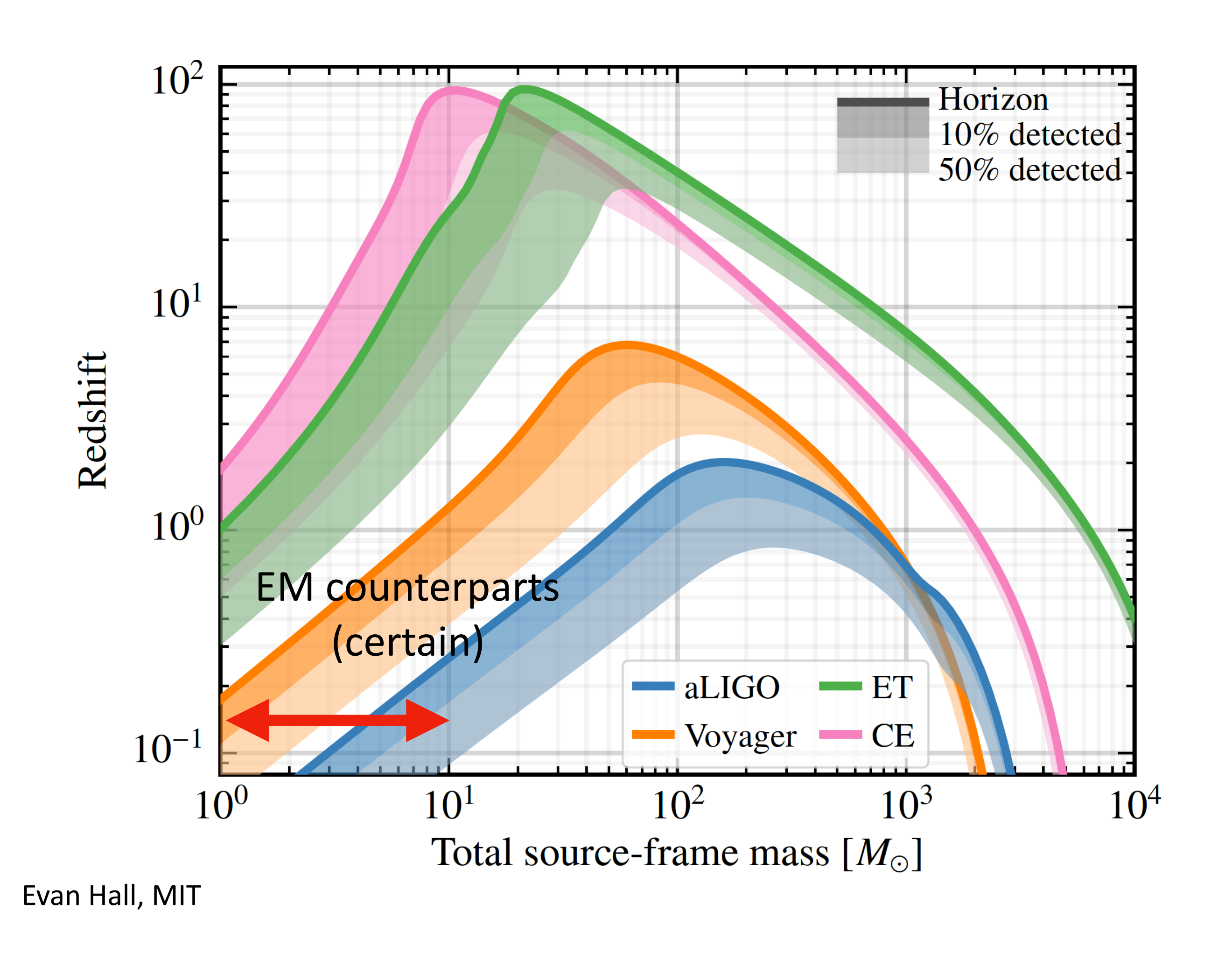


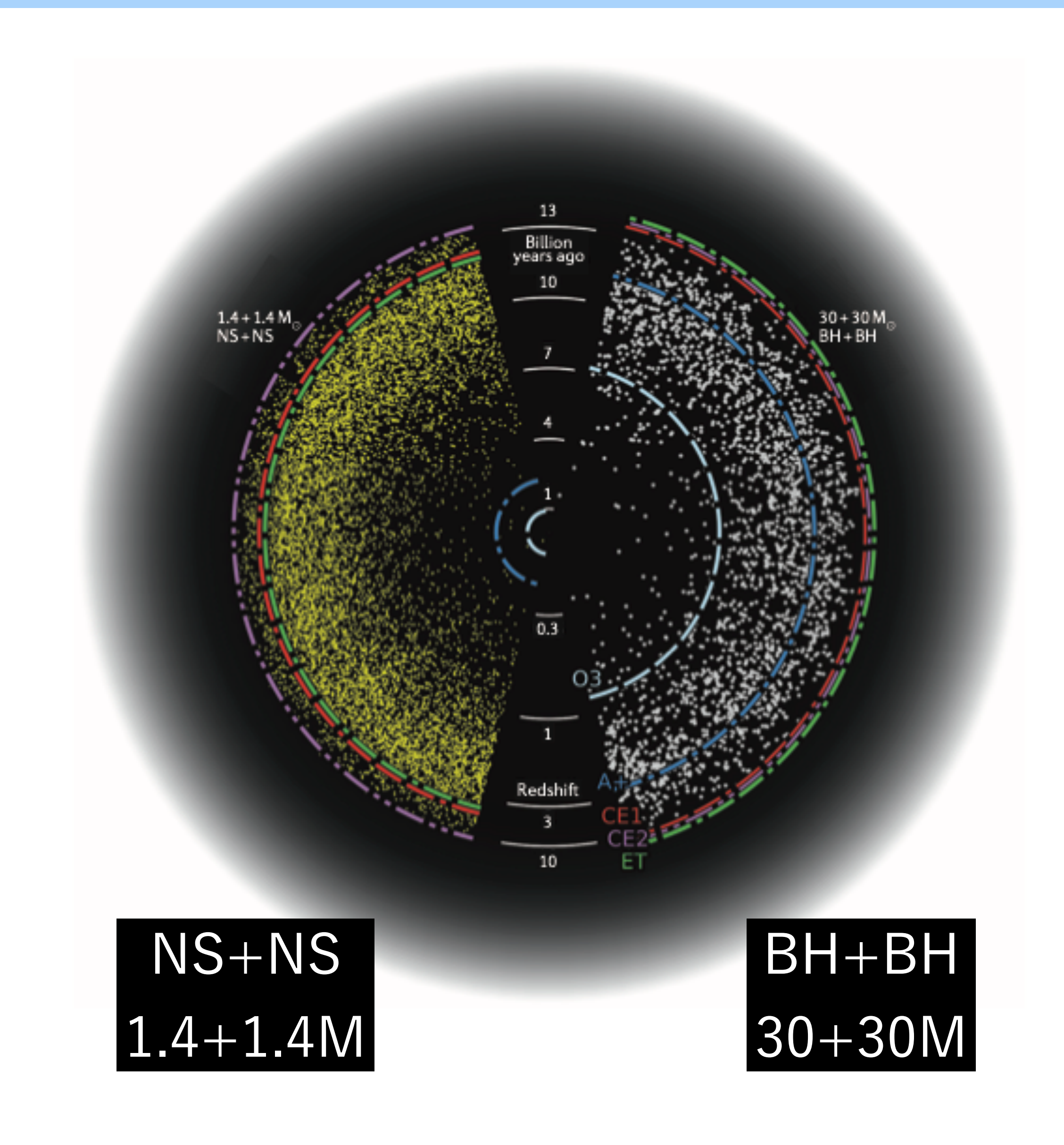
■ ヨーロッパの計画予算承認建設地未定(候補地2つ)

アメリカの計画 ► 予算申請準備

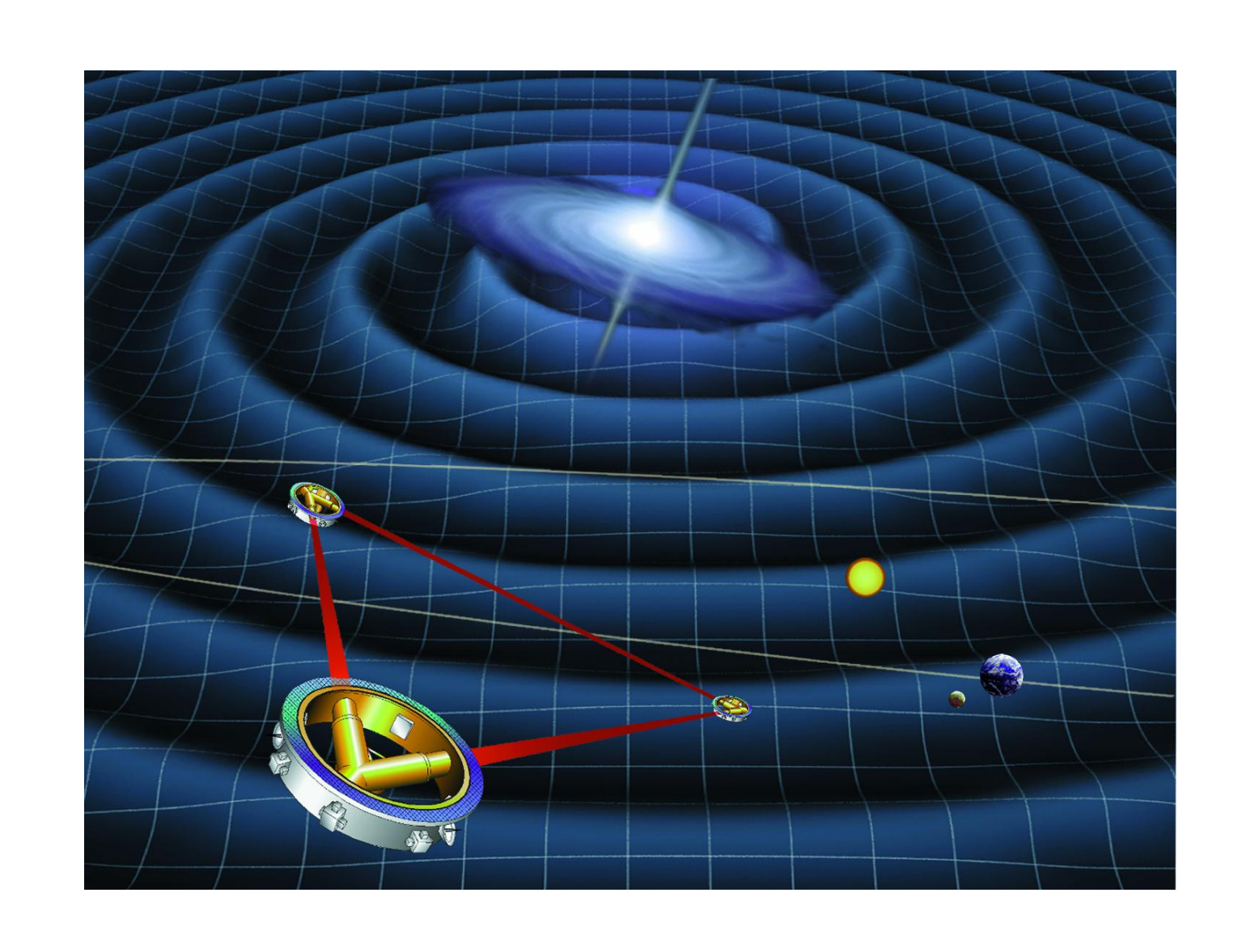


重力波観測装置(地上)の将来計画





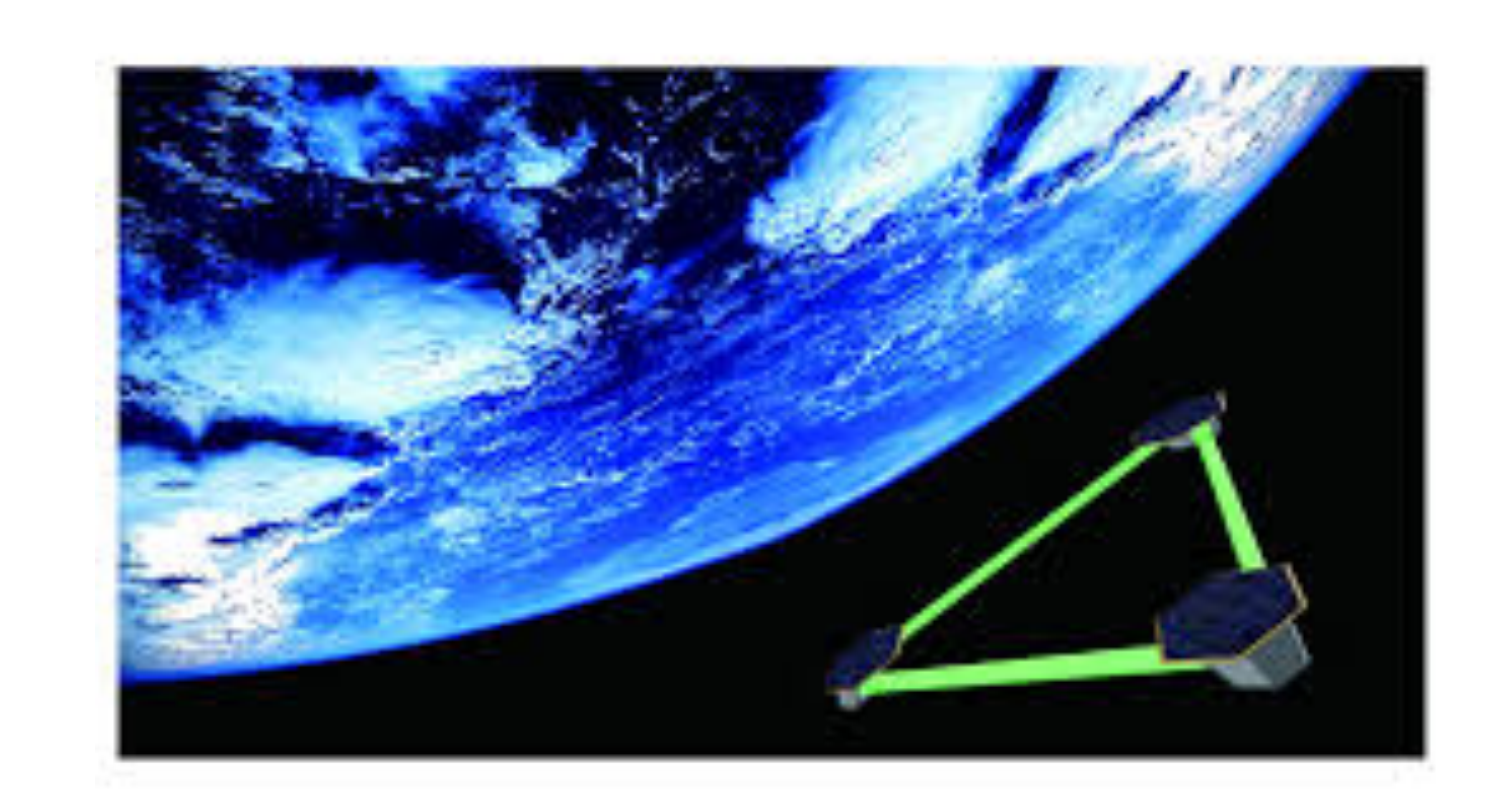
重力波観測装置(宇宙空間)の将来計画



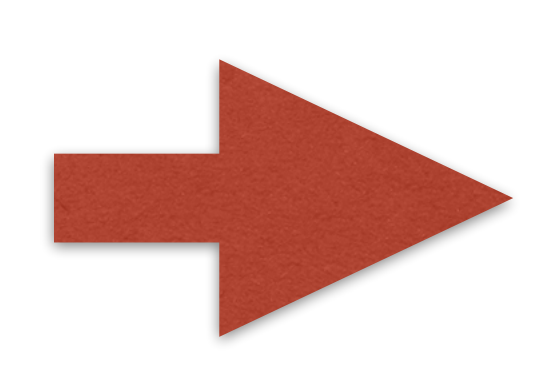
◀ ヨーロッパの計画

予算承認
2034年頃打ち上げ、3年間稼働
250万kmの腕の長さ
地球の公転軌道のL4
低周波数帯(mHzからHz帯)

日本の計画 ▶
予算申請準備
1000kmの腕の長さ
低周波数帯(deciHzからHz帯)



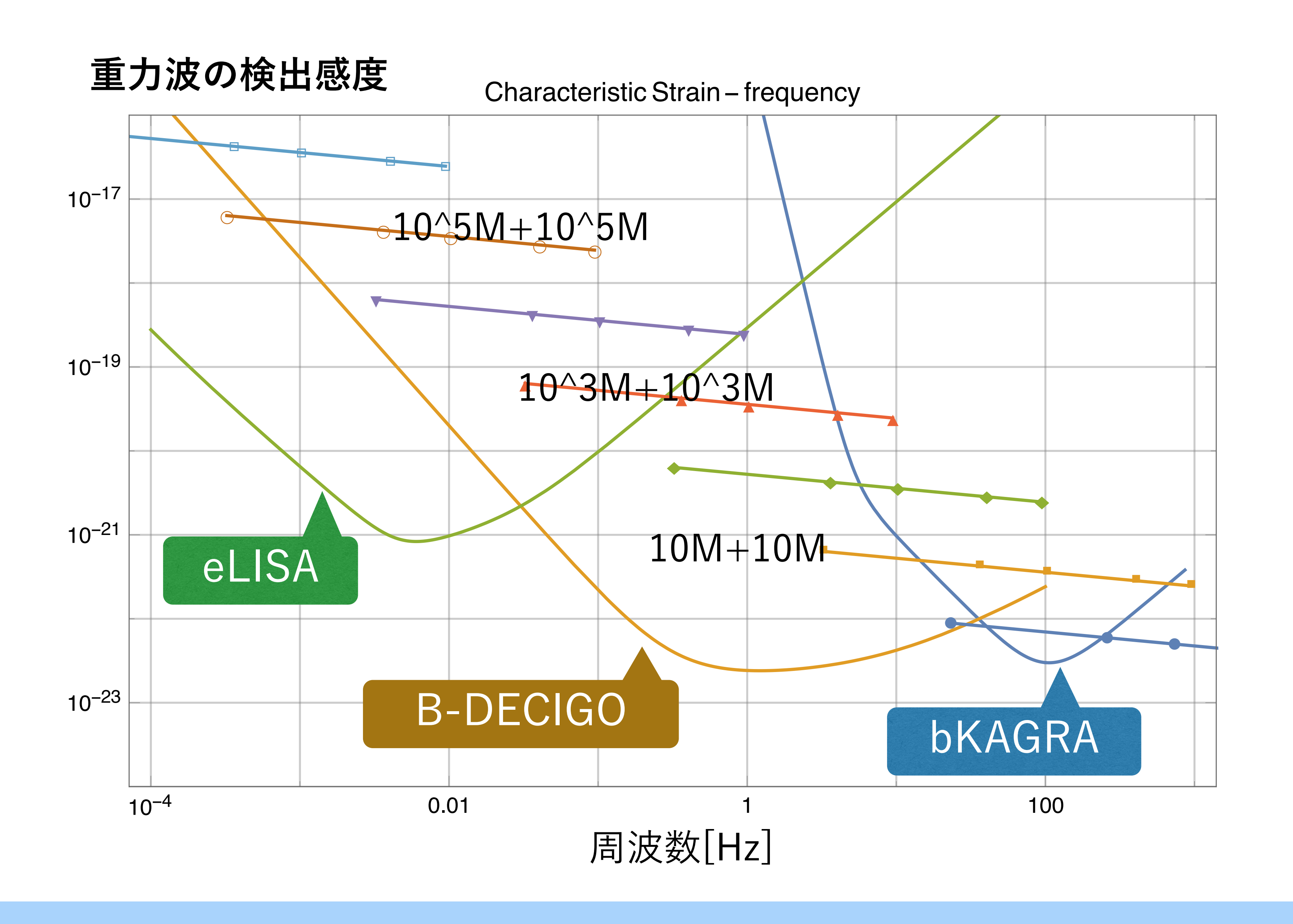
宇宙全体スケールで 巨大ブラックホール連星合体の 重力波が検出できる



銀河中心の超巨大BH形成過程がわかる

宇宙の膨張速度がわかる

重力波観測装置(宇宙空間)の将来計画



重力波でわかったこと, わからないこと

わかったこと

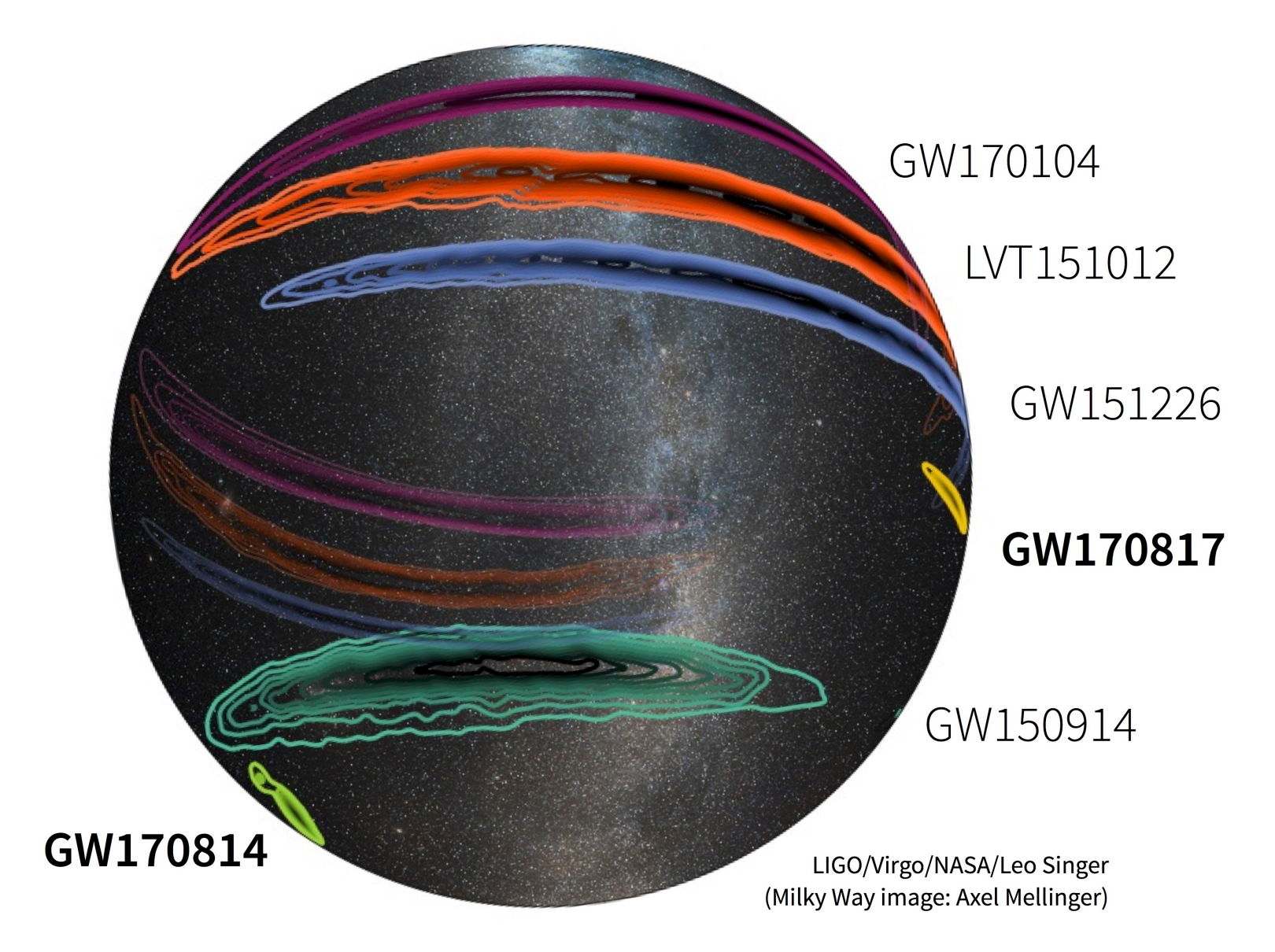
重力波は存在する 重力波は観測できる 相対性理論は正しいようだ 連星ブラックホール結構ある 連星中性子星あまりない 連星中性子星合体で元素合成 連星中性子星合体で元素合成

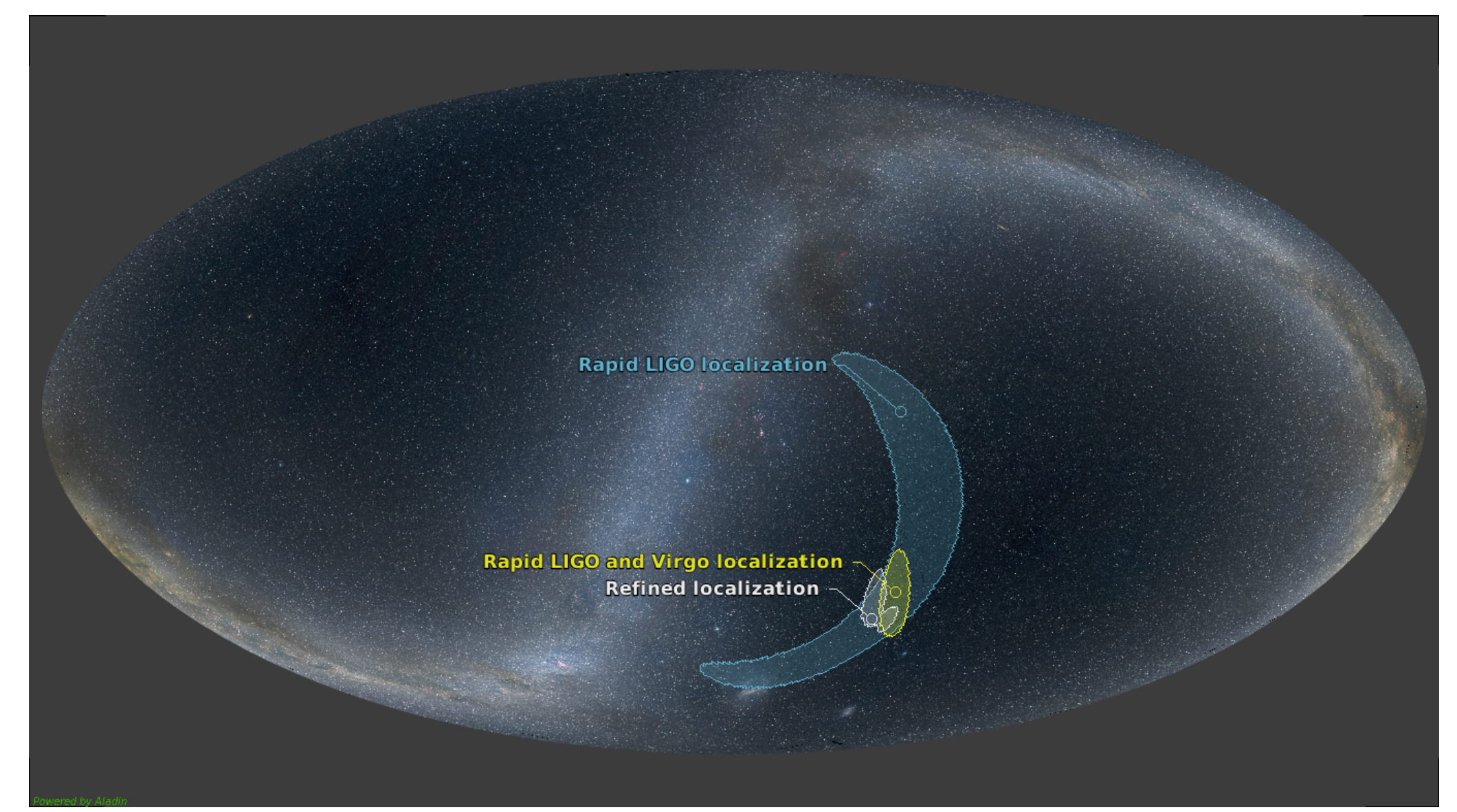
わからないこと

超新星爆発からの重力波? パルサーからの重力波? 相対性理論はどこまで正しいのか 今後どれだけ発見されるか 今後どれだけ発見されるか 元素合成のメカニズム γ線バーストのメカニズム ブラックホールはどう形成されたか 連星合体によるブラックホール成長? 原始ブラックホール? 銀河中心の巨大ブラックホール? 未知の重力波源?

重力波観測は,物理学から天文学へ







http://www.virgo-gw.eu/skymap.html

重力波源が特定されたのは、まだ1つ.

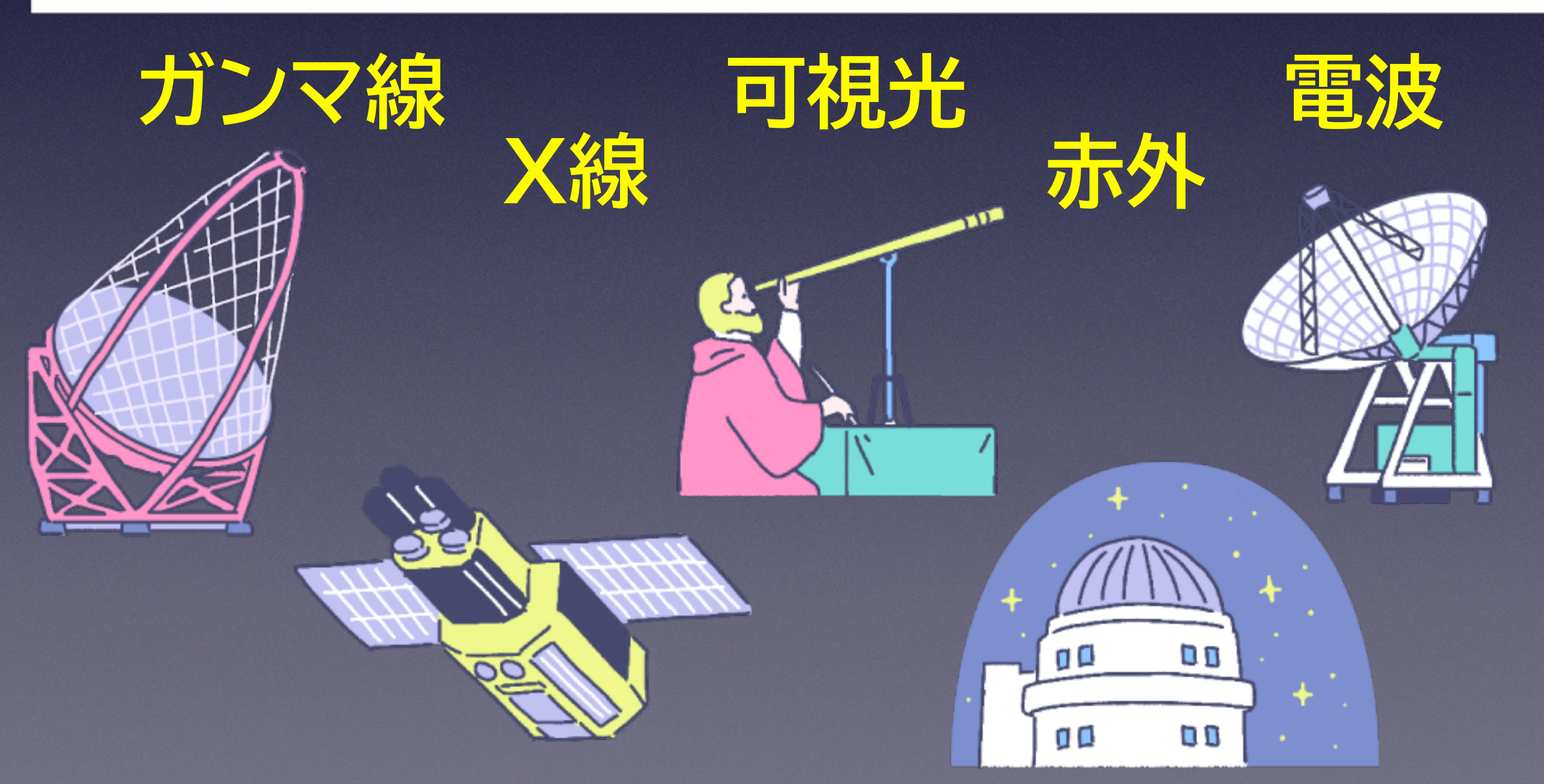


しかし O4観測がはじまれば, 週に数回, BH-BH 月に1回, NS-NS

宇宙空間での観測がはじまれば, 1日に10回, BH-BH ??

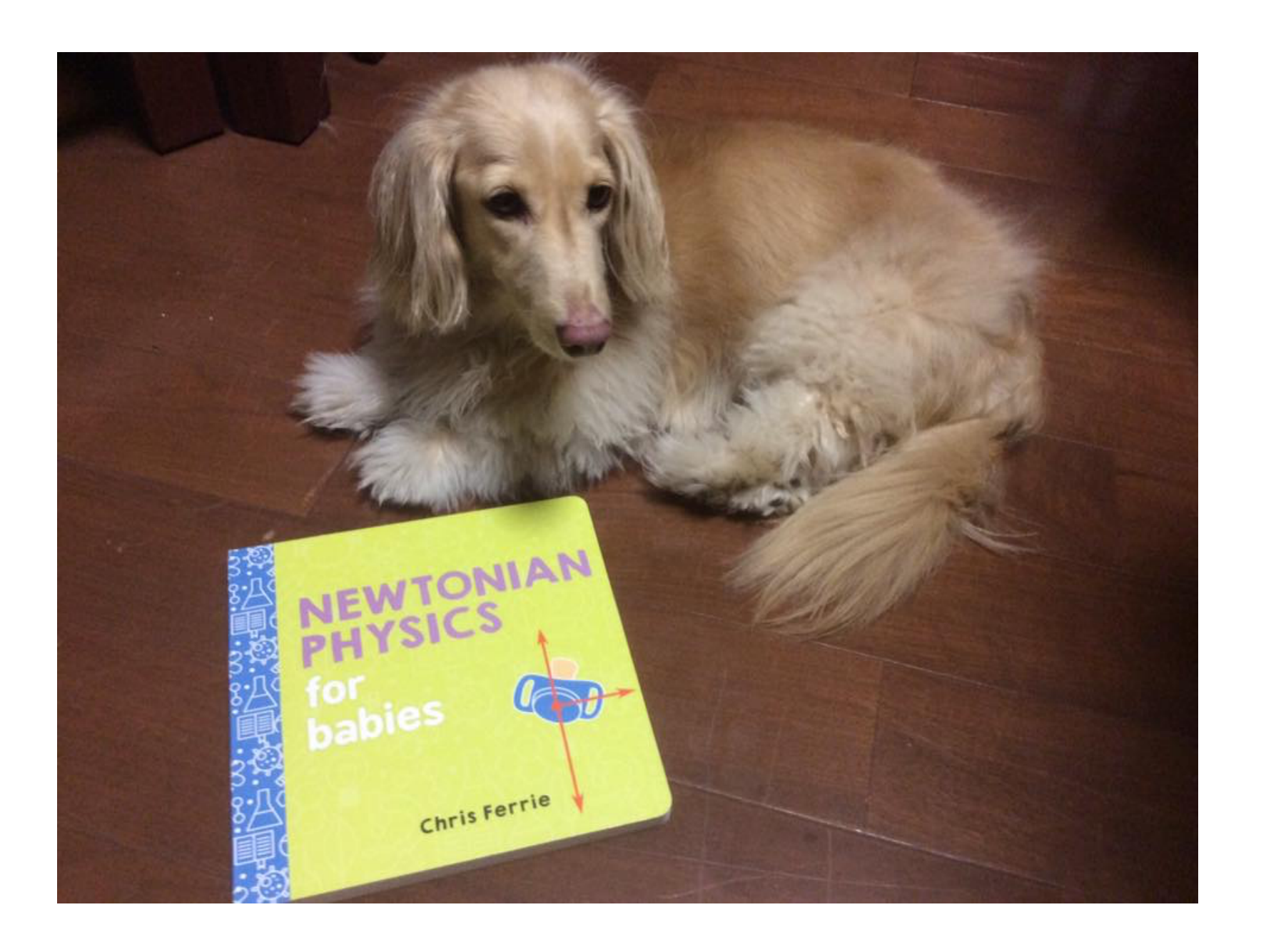
マルチ・メッセンジャー天文学の誕生

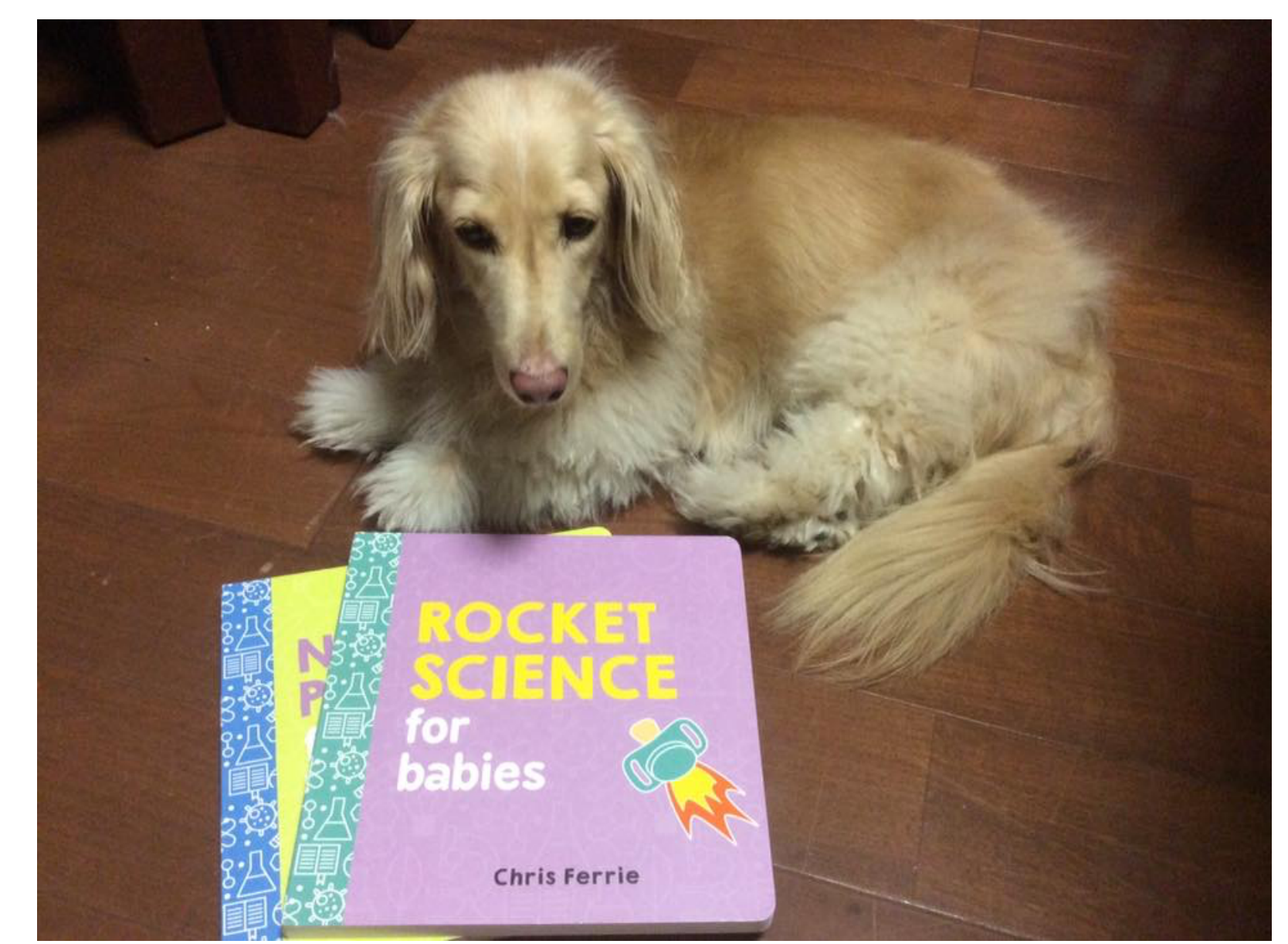
	宇宙線	ガンマ線	X 線		光			電磁波						
				紫外線	可視光線	赤外線	マイクロ波	超短波	短波	中波	長波	超長波		
波長[m] 波長[nm] 振動数[Hz]	10-	¹³ 10 ⁻¹ 3×10 ¹⁸			×10 ⁻⁷ 7.7	70) ⁻⁴ 1 ×10 ¹² 3×1		0 10 10 ⁷ 3		0 ³ 10 ⁴ 3×10 ⁵ 3	×10 ⁴		
利用例		医療/食品照射	医療/X線写真	殺菌	光学機器	赤外線写真	携帯電話	FMラジオ	短波ラジオ	AMラジオ	電波時計飛行機の通信			

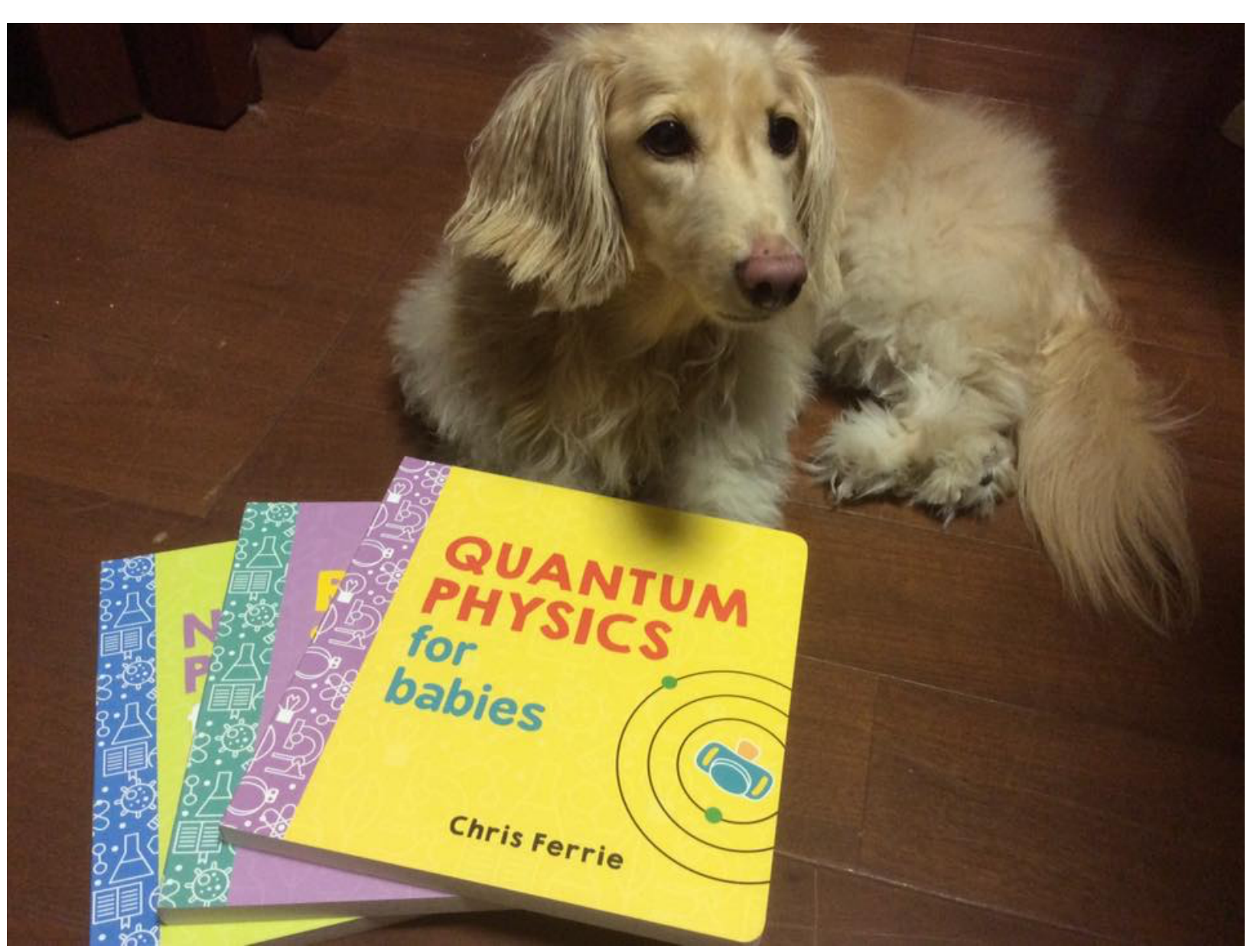


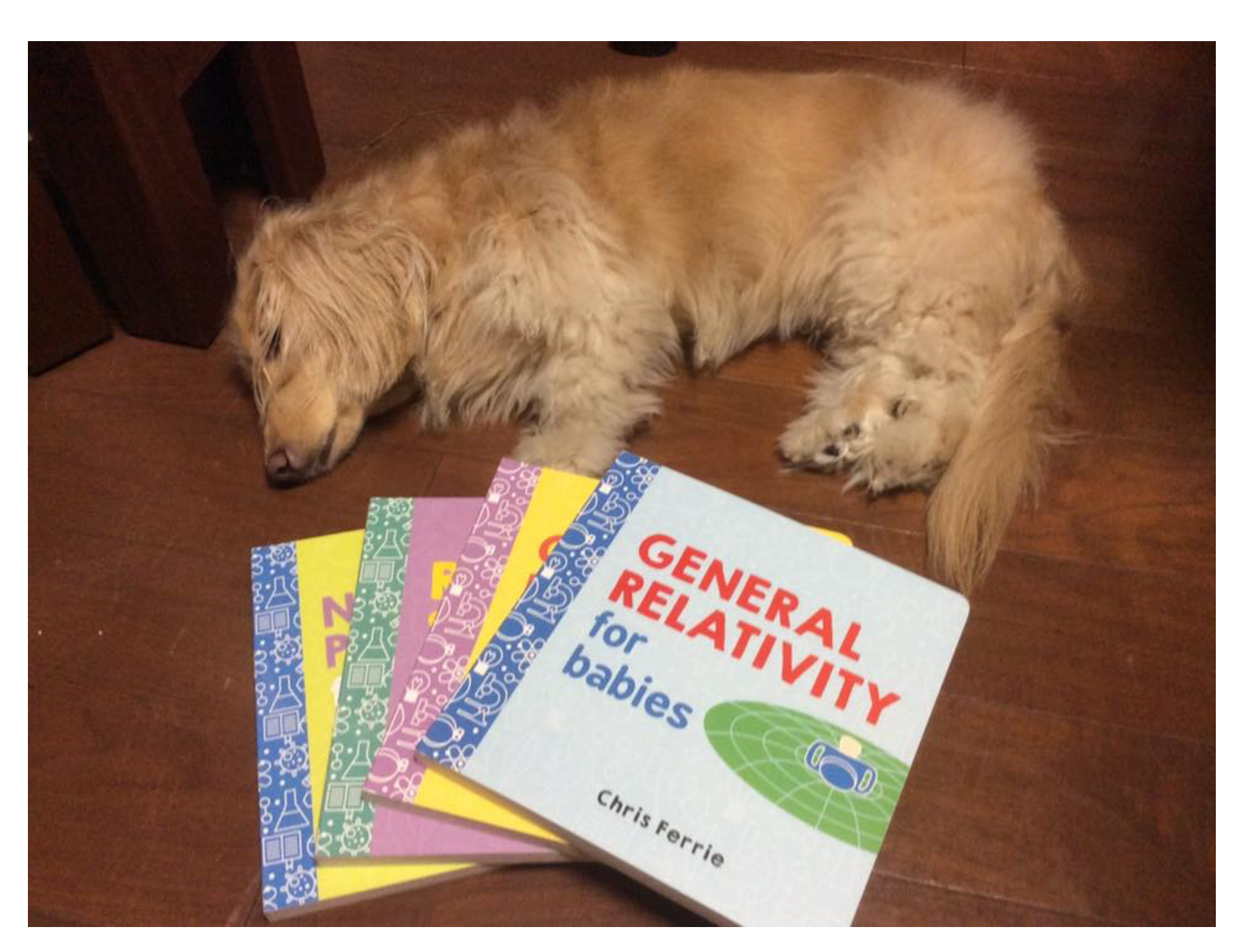
重力波











【9-1】(ここまでの復習)

次のそれぞれについて,

特殊相対性理論(SR)で説明できる / 一般相対性理論(GR)で説明できる / 両方の理論で説明できる/ 別の理論で説明できる に分類せよ.

(a) 双子のパラドックス

(e) 核反応の原理

(b) ブラックホール

(f) 重力波

(c) 光の湾曲

(g) ドップラー効果

(d) 未来に行くタイムマシン

(h) 水星の近日点移動

【9-2】通信欄. (感想・講義で取り上げて欲しい疑問・要望・連絡事項など、何かあれば)